



TUGAS AKHIR TERAPAN - 145501

**MODIFIKASI DESAIN STRUKTUR JEMBATAN PLAPAR KAB.
PONOROGO**

**ERWIN HAIDY PRASOJO
NRP.1011150000064**

**DITA ROSALINA ANGGRAENI HIMAWAN
NRP. 1011150000066**

**DOSEN PEMBIMBING
Ir. SUNGKONO, CES.
NIP. 19591130 198601 1 001**

**PROGRAM STUDI DIPLOMA III TEKNIK SIPIL
DEPARTEMEN TEKNIK INFRASTRUKTUR SIPIL
FAKULTAS VOKASI
INSTITUT TEKNOLOGI SEPULUH NOPEMBER
SURABAYA 2018**



ITS
Institut
Teknologi
Sepuluh Nopember

TUGAS AKHIR TERAPAN - 145501
MODIFIKASI DESAIN STRUKTUR JEMBATAN PLAPAR KAB.
PONOROGO

ERWIN HAIDY PRASOJO
NRP. 10111500000064

DITA ROSALINA ANGGRAENI HIMAWAN
NRP. 10111500000066

DOSEN PEMBIMBING
Ir. SUNGKONO, CES.
NIP. 19591130 198601 1 001

PROGRAM STUDI DIPLOMA III TEKNIK SIPIL
DEPARTEMEN TEKNIK INFRASTRUKTUR SIPIL
FAKULTAS VOKASI
INSTITUT TEKNOLOGI SEPULUH NOPEMBER
SURABAYA 2018



FINAL APPLIED PROJECT - 145501

**DESIGN MODIFICATION OF PLAPAR BRIDGE
STRUCTURE DISTRICT PONOROGO**

**ERWIN HAIDY PRASOJO
NRP.1011150000064**

**DITA ROSALINA ANGGRAENI HIMAWAN
NRP. 1011150000066**

**FINAL PROJECT SUPERVISIOR
Ir. SUNGKONO, CES.
NIP. 19591130 198601 1 001**

**DIPLOMA III PROGRAM OF CIVIL ENGINEERING
CIVIL INFRASTRUCTURE ENGINEERING DEPARTEMENT
VOCATIONAL FACULTY
SEPULUH NOPEMBER INSTITUTE OF TECHNOLOGY
SURABAYA 2018**

LEMBAR PENGESAHAN
MODIFIKASI DESAIN STRUKTUR JEMBATAN PLAPAR
KAB. PONOROGO

Surabaya, 08 Juli 2018

Disusun oleh :

Mahasiswa I



ERWIN HAIDY P
NRP . 10111500000064

Mahasiswa II



DITA ROSALINA A.H
NRP . 10111500000066



Mengetahui,
Dosen Pembimbing

30 JUL 2018

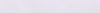
Jr. SLINGKONO, CES.
NIP . 19591130 198601 1 001



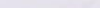
**BERITA ACARA
TUGAS AKHIR TERAPAN
PROGRAM STUDI DIPLOMA TIGA TEKNIK SIPIL
DEPARTEMEN TEKNIK INFRASTRUKTUR SIPIL
FAKULTAS VOKASI ITS**

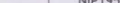
No. Agenda :
041523/IT2.VI.8.1/PP.05.02/2018

Tanggal : 10 Juli 2018

Judul Tugas Akhir Terapan	Desain Modifikasi Jembatan Plapar - Kabupaten Ponorogo		
Nama Mahasiswa	Erwin Haidy Prasojo	NRP	1011150000064
Nama Mahasiswa	Dita Rosalina Angraeni H.	NRP	1011150000066
Dosen Pembimbing 1	Ir. Sungkono, CES NIP 195911301986011001	Tanda tangan	
Dosen Pembimbing 2	- NIP -	Tanda tangan	

URAIAN REVISI	Dosen Pengaji
<p>Biafragma disarankan sihu ganda, Harus pakai brossor publikasi untuk elastomer. Gaya mik. dg/tanpa gesper untuk bau file tang panjang baja.</p>	
<p>Perbaiki perhitungan tiang puncang baja.</p>	<p>Ir. Ibnu Pudji R, MS NIP 196001051986031003</p>
<p>Baut mutu tinggi HTB. Daftar isi & gambar desain rincian diperbaiki.</p>	<p>Ir. Sungkono, CES NIP 195911301986011001</p>
<p>Jml baut pada badan dan sayap diperbaik</p>	
<p>Plat injak, pertimbangan apa yang mendukungnya untuk ukurannya.</p>	<p>Ir. Rachmad Basuki, MS NIP 196411141989031001</p>
<p>Jarak bau file $> 2,5D$; saran 3D; Tebal tiang pungang baja? disarankan tiang puncang miring $i = 10/2$</p>	
<p>4 Baris puncang</p>	
<p>PHT = Pile Head Treatment.</p>	

PERSETUJUAN HASIL REVISI			
Dosen Pengaji 1	Dosen Pengaji 2	Dosen Pengaji 3	Dosen Pengaji 4
			
Ir. Ibnu Pudji R, MS NIP 196001051986031003	Ir. Sungkono, CES NIP 195911301986011001	Ir. Rachmad Basuki, MS NIP 196411141989031001	Ir. Chomaedi, CES, Goe NIP 195503191984031001

Persetujuan Dosen Pembimbing Untuk Penjilidan Buku Laporan Tugas Akhir Terapan	Dosen Pembimbing 1	Dosen Pembimbing 2
	Ir. Sungkono, CES	
	NIP195911301986011001	NIP -



KEMENTERIAN RISET, TEKNOLOGI, DAN PENDIDIKAN TINGGI
INSTITUT TEKNOLOGI SEPULUH NOPEMBER
FAKULTAS VOKASI

DEPARTEMEN TEKNIK INFRASTRUKTUR SIPIL
Kampus ITS , Jl. Menur 127 Surabaya 60116
Telp. 031-5947637 Fax. 031-5938025
<http://www.diplomasipil-its.ac.id>

ASISTENSI TUGAS AKHIR TERAPAN

Nama : 1 ERWIN HAIDY P 2 DITA ROSALINA A.H
NRP : 1 1011150000064 2 1011150000066
Judul Tugas Akhir : Modifikasi Desain struktur Jembatan Plapar - Kab. Ponorogo
Dosen Pembimbing : Ir. Sungkono, CES

No	Tanggal	Tugas / Materi yang dibahas	Tanda tangan	Keterangan
1.)	08 Maret 2018	<ul style="list-style-type: none">• Pembebaran pada jembatan menggunakan SNI 1725:2016• Perhitungan Tulangan :<ul style="list-style-type: none">- Diameter tulangan- jarak tulanganDiperbaiki lagi sesuai dengan apa yang ada di lapangan		<input type="checkbox"/> B <input checked="" type="checkbox"/> C <input type="checkbox"/> K
2.)	05 April 2018	<ul style="list-style-type: none">• Pembebaran girder setelah komposit• SNP menggunakan buku pedoman.• Perhitungan shear connector menggunakan RSNI T-03-2005		<input type="checkbox"/> B <input checked="" type="checkbox"/> C <input type="checkbox"/> K
3.)	12 April 2018	<ul style="list-style-type: none">• Beban pada pelat lantai :<ul style="list-style-type: none">- Beban angin struktur dan kendaraan- Beban angin kendaraan khusus (cari spesifikasinya)		<input type="checkbox"/> B <input checked="" type="checkbox"/> C <input type="checkbox"/> K

Ket.

- B = Lebih cepat dari jadwal
C = Sesuai dengan jadwal
K = Terlambat dari jadwal



KEMENTERIAN RISET, TEKNOLOGI, DAN PENDIDIKAN TINGGI
INSTITUT TEKNOLOGI SEPULUH NOPEMBER

FAKULTAS VOKASI

DEPARTEMEN TEKNIK INFRASTRUKTUR SIPIL

Kampus ITS , Jl. Menur 127 Surabaya 60116

Telp. 031-5947637 Fax. 031-5938025

<http://www.diplomasipil-its.ac.id>

ASISTENSI TUGAS AKHIR TERAPAN

Nama : 1 ERWIN HAIDY P 2 DITA ROSALINA A.H
NRP : 1 101115 00000064 2 101115 00000066
Judul Tugas Akhir : Modifikasi Desain Struktur Jembatan Plapar.
Kab. Ponorogo
Dosen Pembimbing : Ir. Sungkono, CES

No	Tanggal	Tugas / Materi yang dibahas	Tanda tangan	Keterangan
		o Profil girder gunungan sumbu simetris tunggal.		
4)	26 April 2018	o Perhitungan shear connector bandingkan dengan SNI Perencanaan struktur baja untuk Gedung yang terbaru (2015).		B C K <input type="checkbox"/> <input checked="" type="checkbox"/> <input type="checkbox"/>
		o Diafragma : Tekuk lateral (lihat RSN T-03-2005)		B C K <input type="checkbox"/> <input type="checkbox"/> <input type="checkbox"/>
		o Menentukan rulai cb bisa dari hitungan atau langsung dari tabel.		B C K <input type="checkbox"/> <input type="checkbox"/> <input type="checkbox"/>
5)	24 Mei 2018	o Profil diafragma untuk bagian diagonal dan horizontal (disamakan saja)		B C K <input type="checkbox"/> <input checked="" type="checkbox"/> <input type="checkbox"/>
				B C K <input type="checkbox"/> <input type="checkbox"/> <input type="checkbox"/>
				B C K <input type="checkbox"/> <input type="checkbox"/> <input type="checkbox"/>
				B C K <input type="checkbox"/> <input type="checkbox"/> <input type="checkbox"/>
				B C K <input type="checkbox"/> <input type="checkbox"/> <input type="checkbox"/>
				B C K <input type="checkbox"/> <input type="checkbox"/> <input type="checkbox"/>

Ket.

- B = Lebih cepat dari jadwal
C = Sesuai dengan jadwal
K = Terlambat dari jadwal

MODIFIKASI DESAIN STRUKTUR JEMBATAN PLAPAR - KAB. PONOROGO

Nama Mahasiswa 1 : Erwin Haidy Prasojo
NRP Mahasiswa 1 : 10111500000064
Nama Mahasiswa 2 : Dita Rosalina Anggraeni Himawan
NRP Mahasiswa 2 : 10111500000066
Dosen Pembimbing : Ir. Sungkono, CES.
NIP : 19591130 198601 1 001

ABSTRAK

Jembatan Plapar terletak di Kecamatan Slahung Kab. Ponorogo. Jembatan ini merupakan satu-satunya akses jalan yang menghubungkan dua wilayah antara Kabupaten Pacitan dan Kabupaten Ponorogo. Jembatan ini awalnya menggunakan balok precast pada struktur girder. Penulis memodifikasi desain girder jembatan menjadi struktur baja balok menerus.

Jembatan Plapar digunakan sebagai objek proposal tugas akhir untuk memodifikasi desain struktur jembatan meliputi bangunan atas : plat lantai dan bangunan pengaman lainnya dengan acuan RSNI T-03-2005 dan SNI 1725-2016, . Perhitungan bangunan bawah meliputi : abutment, bored pile, elastomer yang mengacu pada SNI T-12-2004 dan pembebanan gempa mengacu pada SNI Gempa 2833-2013 (Jembatan). Jembatan plapar didesain ulang menggunakan struktur baja komposit dengan bentang jembatan 50 meter. Jembatan didesain menggunakan 7 gelagar memanjang, dimana profil gelagar didesain sendiri W 2700 x 800 x 40 x 80 dan profil diafragma W 120 x 120 x 13.

Kata kunci : Jembatan Plapar, Plat Lantai, Bored pile.

DESIGN MODIFICATION OF PLAPAR BRIDGE STRUCTURE DISTRICT PONOROGO

Student 1 : Erwin Haidy Prasojo
NRP : 10111500000064
Student 2 : Dita Rosalina Anggraeni H.
NRP : 10111500000066
Supervisor : Ir. Sungkono, CES
NIP : 19591130 198601 1 001

ABSTRACT

Plapar Bridge is located in Slahung, district Ponorogo. This bridge is the only access road that connects two areas between Pacitan and Ponorogo regency. The author modifies the design of the bridge girder into a continuous steel beam structure.

The Plapar Bridge is used as the object of the final task object to modify the design of the top bridge structure of the building, such as: floor plate and other security building with reference RSNI T-03-2005 and SNI 1725-2016,. The calculations of the lower buildings include: abutment, bored pile, elastomer referring to SNI T-12-2004 and earthquake loading based on SNI Earthquake 2833-2013 (Bridge). The redesigned plapar bridge uses a composite steel structure with a 50 meter bridge span. The bridge is designed using 7 elongated girder, in which the girder profile is self-designed W 2700 x 800 x 40 x 80 and diaphragm profile W 120 x 120 x 13.

Keywords : Plapar Bridge, floor plate, bored pile

KATA PENGANTAR

Dengan mengucap syukur kehadiran Allah SWT, atas rahmat dan hidayah-Nya Tugas Akhir kami yang berjudul “Modifikasi Desain Struktur Jembatan Plapar Kab. Ponorogo” dapat tersusun dengan baik dan kami dapat mempresentasikan pada Sidang Tugas Akhir.

Tugas Akhir Terapan ini merupakan salah satu syarat akademis pada program studi Diploma III Infrastruktur Teknik Sipil Institut Teknologi Sepuluh Nopember Surabaya.

Tersusunnya Tugas Akhir Terapan ini tidak lepas dari bantuan serta bimbingan orang sekitar. Dalam kesempatan ini kami mengucapkan terima kasih kepada semuah pihak yang telah membantu penyusunan Tugas Akhir ini, yaitu :

1. Bapak Ir. Sungkono, CES selaku dosen pembimbing dalam Tugas Akhir Terapan kami.
2. Orang tua dan keluarga kami yang telah memberi dorongan baik moral maupun materil yang tak terhingga, sehingga kami dapat menyelesaikan Tugas Akhir Terapan ini.
3. Rekan-rekan mahasiswa jurusan D III Infrastruktur Teknik Sipil ITS Surabaya yang telah banyak memberi dorongan dan masukan dalam menyelesaikan Tugas Akhir Terapan ini.
4. Seluruh pihak yang secara langsung ataupun tidak langsung telah membantu kami dalam menyelesaikan Tugas Akhir Terapan kami, yang tidak dapat disebutkan satu persatu.

Surabaya, 08 Juli 2018
Penulis

“Halaman ini sengaja dikosongkan”

DAFTAR ISI

ABSTRAK.....	i
ABSTRACT.....	ii
KATA PENGANTAR.....	iii
DAFTAR ISI.....	v
DAFTAR GAMBAR.....	x
DAFTAR TABEL.....	xiii
BAB I PENDAHULUAN.....	1
1.1 Umum.....	1
1.2 Latar Belakang	1
1.3 Rumusan Masalah.....	2
1.4 Batasan Masalah.....	2
1.5 Tujuan	3
1.6 Manfaat	3
1.7 Lokasi Proyek	4
BAB II TINJAUAN PUSTAKA.....	5
2.1 Kontruksi Komposit.....	5
2.1.1 Uraian	5
2.1.2 Aksi Komposit (<i>Composite Action</i>).....	5
2.1.3 Manfaat dan Keuntungan Struktur Komposit	6
2.1.4 Tegangan Pada Struktur Komposit.....	7
2.1.5 Lebar Efektif Lantai Beton.....	7
2.2 Dasar Perencanaan.....	8
2.3 Beban-beban Struktur Baja Komposit	8
2.3.1 Beban Permanen.....	8
2.3.2 Beban lalu lintas	11
2.3.3 Beban Sekunder	19
2.3.4 Kombinasi Beban	30
2.3.5 Kelangsingan Penampang	31
2.3.5.1 Kekuatan Unsur Terhadap Lentur.....	36
2.3.5.2 Kekuatan Unsur Terhadap Geser.....	37
2.3.5.3 Interaksi Geser Dan Lentur	38
2.3.6 Penulangan	38
2.3.6.1 Tulangan Lentur	38

2.3.6.2 Tulangan Geser	39
2.3.7 Material.....	41
2.4 Bangunan Atas (Superstructure)	43
2.4.1 Pipa Sandaran	43
2.4.2 Tiang Sandaran	45
2.4.3 Trotoar	46
2.4.4 Perencanaan Kerb	47
2.4.5 Pelat Lantai.....	47
2.4.6 Gelagar.....	48
2.4.6.1 Dimensi Efektif Penampang Komposit	48
2.4.6.2 Kekuatan Lentur Balok Komposit Tanpa Penyangga.....	48
2.4.7 Diafragma.....	52
2.4.8 Shear Connector.....	52
2.4.9 Sambungan	53
2.4.9.1 Luas Baut dan Gaya Tarikan Minimum	53
2.4.9.2 Kekuatan Geser Nominal Baut.....	54
2.4.9.3 Kekuatan Tarik Nominal Baut	55
2.4.9.4 Keadaan Batas Ultimate Baut	55
2.4.9.5 Syarat Jarak Sambungan Baut.....	56
2.4.10 Elastomer (Bearing Pad)	57
2.5 Bangunan Bawah	61
2.5.1 Kepala Jembatan (abutment)	61
2.5.2 Pondasi Telapak	63
2.5.3 Pondasi Tiang Pancang.....	64
2.6 Bangunan Pelengkap Jembatan.....	64
2.6.1 Pelat Injak	64
2.6.2 Tembok Sayap	65
BAB III METODOLOGI.....	67
3.1 Uraian	67
3.2 Melakukan Pengumpulan data-data.....	67
3.3 Studi Literatur	67
3.4 Spesifikasi Desain Jembatan	68
3.4.1 Metode Desain Jembatan	68
3.4.2 Urutan Desain Jembatan	69

3.4.2.1 Desain Elemen Struktur Bangunan Atas	69
3.4.2.2 Desain Elemen Struktur Bangunan Bawah.....	70
3.4.2.3 Desain Bangunan Pelengkap.....	71
3.5 Penggambaran.....	72
3.6 Flow Chart.....	73
BAB IV PERHITUNGAN BANGUNAN ATAS.....	77
4.1 Data Desain Jembatan.....	77
4.1.1 Data-Data Desain	77
4.2 Tiang Sandaran.....	78
4.2.1 Desain Tiang Sandaran	78
4.2.2 Pembebanan.....	78
4.2.3 Analisa Struktur	79
4.2.4 Penulangan pada Tiang Sandaran	80
4.3 Pipa Sandaran.....	82
4.3.1 Desain Dimensi Pipa Sandaran.....	82
4.3.2 Pembebanan.....	83
4.3.3 Analisa Struktur	83
4.3.4 Kontrol Terhadap Bahan dan Tegangan pada Pipa Sandaran	84
4.4 Trotoar.....	85
4.4.1 Data Trotoar.....	85
4.4.2 Pembebanan.....	86
4.4.3 Analisa Struktur	86
4.4.4 Penulangan Trotoar	86
4.5 Kerb	88
4.5.1 Data Perencanaan Kerb.....	88
4.5.2 Pembebanan.....	89
4.5.3 Analisa Struktur	89
4.5.4 Penulangan pada Kerb	89
4.6 Pelat Lantai Kendaraan	91
4.6.1 Desain Dimensi Pelat Lantai	91
4.6.2 Data Pelat Lantai Kendaraan	91
4.6.3 Pembebanan.....	92
4.6.4 Momen pada Pelat Kendaraan.....	95
4.6.4 Penulangan pada Pelat Lantai Kendaraan.....	101

4.6.4.1 Tulangan Lapangan (Tulangan lentur positif) ...	101
4.6.4.2 Tulangan Tumpuan (Tulangan lentur negatif) ..	103
4.6.5 Geser Pons.....	106
4.6.5.1 Geser Pons di Tengah Pelat.....	106
4.6.5.2 Geser Pons di Ujung Pelat.....	107
4.7 Gelagar Memanjang	109
4.7.1 Desain Dimensi Gelagar Memanjang.....	109
4.7.2 Data Gelagar Memanjang	109
4.7.3 Analisa Gelagar Sebelum dan Sesudah Komposit	114
4.7.3.1 Pelaksanaan Tanpa Perancah.....	114
4.7.3.2 Pelaksanaan Memakai Perancah	121
4.7.4 Kontrol Kapasitas Lentur.....	128
4.8 Shear Connector (Stud).....	131
4.8.1 Data	131
4.8.2 Perhitungan Shear Connector.....	132
4.9 Diafragma	134
4.9.1 Perencanaan Dimensi Diafragma.....	134
4.9.2 Pembebaan Diafragma.....	134
4.9.3 Analisa Kekuatan Diafragma	135
4.10 Sambungan Baja.....	136
4.10.1 Sambungan pada Gelagar Memanjang	136
4.10.2 Sambungan pada Simpul 1	139
4.10.3 Sambungan pada Simpul 2	142
4.11 Elastomer / Bearing Pad.....	144
4.11.1 Beban yang Bekerja pada Elastomer	144
4.11.2 Tahap Perencanaan Dimensi Elastomer.....	146
4.11.3 Kontrol Perletakan Elastomer.....	147
BAB V PERHITUNGAN BANGUNAN BAWAH.....	151
5.1 Abutment	151
5.1.1 Perencanaan Abutment (Kepala Jembatan)	151
5.2 Preliminar Abutment	151
5.2.1 Pembebaan pada Abutment	151
5.2.2 Perhitungan Gaya Aksial Tiang Pancang.....	167
5.2.3 Perhitungan Daya Dukung Tanah.....	172
5.2.4 Perhitungan Efisiensi Tiang Pancang.....	177

5.2.5 Kontrol Kekuatan Tiang Pancang	178
5.2.5.1 Kontrol terhadap Gaya Aksial Vertikal.....	178
5.2.5.2 Kontrol terhadap Beban Horizontal.....	180
5.2.5.3 Kontrol Daya Dukung Tiang Miring.....	183
5.2.6 Kontrol Stabilitas Abutment	184
5.2.6.1 Kontrol Stabilitas Guling	184
5.2.6.2 Kontrol Stabilitas Geser.....	186
5.2.8 Perhitungan Pile Cap (Poer).....	188
5.2.7.1 Analisis Pembebanan Pile Cap.....	188
5.2.7.2 Perhitungan Penulangan Pile Cap Abutment	194
5.2.9 Perhitungan Dinding Abutment	200
5.2.8.1 Analisis Pembebanan Dinding Abutment.....	200
5.2.8.2 Perhitungan Gaya dan Momen pada Dinding Abutment	205
5.2.8.3 Perhitungan Penulangan Dinding Abutment	205
5.2.10 Perhitungan Longitudinal Stopper	210
5.2.10.1 Analisis pembebanan longitudinal stopper	210
5.2.10.2 Perhitungan Gaya dan Momen Long Stopper .	213
5.2.10.3 Perhitungan Penulangan Longitudinal Stopper	213
5.2.11 Perhitungan Korbel Belakang	216
5.2.11.1 Analisa Pembebanan Korbel.....	216
5.2.11.2 Perhitungan Gaya Dan Momen Korbel	217
5.2.11.3 Perhitungan Penulangan Korbel	218
BAB VI PERHITUNGAN BANGUNAN LENGKAP.....	223
6.1 Perhitungan Pelat Injak	223
6.1.1 Analisa Pembebanan Pelat Injak	223
6.1.2 Perhitungan Gaya dan Momen Pelat Injak	224
6.1.3 Perhitungan Penulangan Pelat Injak	224
6.2 Perhitungan Wing Wall.....	227
6.2.1 Analisa Pembebanan Wing Wall	227
6.2.2 Perhitungan Penulangan Wing Wall.....	229
BAB VII PENUTUP.....	233
7.1 Kesimpulan	233
DAFTAR PUSTAKA.....	235
LAMPIRAN.....	237

“Halaman ini sengaja dikosongkan”

DAFTAR GAMBAR

Gambar 1. 1 Lokasi Jembatan Plapar.....	4
Gambar 2. 1 Beban Lajur "D".....	14
Gambar 2. 2 Momen Lentur pada Lapangan 1, 3 dan 5	14
Gambar 2. 3 Momen Lentur Positif pada Lapangan 2 dan 4	15
Gambar 2. 4 Momen Lentur Negatif Maksimum pada Pilar 2....	15
Gambar 2. 5 Distribusi Beban "D" dengan Lebar Jalur \leq 5,5 meter	16
Gambar 2. 6 Disribusi Beban "D" dengan Lebar Jalur > 5,5 meter	16
Gambar 2. 7 Distribusi Beban "D" dengan Lebar Jalur > 5,5 meter alternatif.....	17
Gambar 2. 8 Pembebanan Truk "T" (500 kN).....	18
Gambar 2. 9 Faktor Beban Dinamis untuk Beban T untuk Beban Lajur	19
Gambar 2. 10 Pembebanan untuk Pejalan Kaki	21
Gambar 2. 11 Spektrum rencana gempa.....	28
Gambar 2. 12 Mekanisme Pembebanan dan Asumsi Struktur Akibat Beban Vertikal pada Pipa	43
Gambar 2. 13 Permodelan Mekanika Teknik Pembebanan dan Asumsi Struktur Akibat Beban Vertikal pada Pipa	44
Gambar 2. 14 Resultan Momen pada Pipa Sandaran.....	45
Gambar 2. 15 Asumsi Struktur pada Tiang Sandaran.....	45
Gambar 2. 16 Permodelan beban yang bekerja pada kerb.....	47
Gambar 2. 17 Distribusi tegangan plastis	51
Gambar 2. 18 Representasi Perl letakan Bantalan Elastomer	59
Gambar 2. 19 Bentuk Abutment.....	62
Gambar2. 20 Macam-macam Bentuk Abutment Untuk Mereduksi Tekanan Tanah Aktif.....	62
Gambar 2. 21 Cara Meletakkan Tumit	63
Gambar 4. 1 Desain Tiang Sandaran.....	78
Gambar 4. 2 Pembebanan Tiang Sandaran.....	79
Gambar 4. 3 Potongan Pipa	82
Gambar 4. 4 Pembebanan Pipa Sandaran.....	83

Gambar 4. 5 Jarak Roda Belakang Truk	93
Gambar 4. 6 Pembebanan akibat beban mati pelat lantai.....	95
Gambar 4. 7 Analisis Q_{MS} pada SAP 2000.....	95
Gambar 4. 8 Pembebanan akibat beban mati tambahan pelat lantai	96
Gambar 4. 9 Analisis Q_{MA} pada SAP 2000	96
Gambar 4. 10 Pembebanan akibat 1 truk	96
Gambar 4. 1112 Analisis P_{TT} pada SAP 2000	97
Gambar 4. 13 Analisis Beban Kendaraan Khusus pada SAP 2000	97
Gambar 4. 14 Pembebanan akibat beban angina	97
Gambar 4. 15 Analisis Beban Angin pada SAP 2000	98
Gambar 4. 16 Geser Pons	106
Gambar 4. 17 Penampang Gelagar Memanjang.....	109
Gambar 4. 18 Garis netral plastis	128
Gambar 4. 19 Dimensi stud	132
Gambar 4. 20 Pelat Simpul ₁	139
Gambar 4. 21 Pelat Simpul ₂	142
Gambar 5. 1 Dimensi Berat Sendiri Abutment	152
Gambar 5. 2 Asumsi Beban Hidup Lalu-Lintas.....	154
Gambar 5. 3 Bentuk tipikal respons spektra di permukaan	164
Gambar 5. 4 Konfigurasi Tiang Pancang Abutment.....	169
Gambar 5. 5 Data Tanah SPT B1 dan B2.....	172
Gambar 5. 6 Titik Guling A pada Abutment	184
Gambar 5. 9 Beban pada Poer Abutment	188
Gambar 5. 10 Konfigurasi Tiang Pancang Abutment.....	190
Gambar 5. 11 Analisis Gaya dan Momen pada Poer Abutment	193
Gambar 5. 12 Analisa Pembebanan pada Dinding Abutment ...	200
Gambar 5. 13 Pembebanan pada Longitudinal Stopper Abutment	210
Gambar 5. 14 Pembebanan pada Korbel Abutment	216
Gambar 6. 1 Analisa pembebanan pada pelat injak.....	223
Gambar 6. 2 Analisa Pembebanan pada Wing Wall.....	227

DAFTAR TABEL

Tabel 2. 1 Berat Isi untuk Beban Mati	9
Tabel 2. 2 Faktor Berat Sendiri MS	10
Tabel 2. 3 Faktor Beban Mati Tambahan	11
Tabel 2. 4 Jumlah Lajur Lalu Lintas Rencana	12
Tabel 2. 5 Faktor Beban Untuk Beban Lajur "D"	13
Tabel 2. 6 Faktor Untuk Beban "T"	17
Tabel 2. 7 Intensitas Pembebanan Pejalan Kaki.....	21
Tabel 2. 8 Tekanan Angin Dasar.....	22
Tabel 2. 9 Komponen Beban Angin yang Bekerja pada Kendaraan.....	23
Tabel 2. 10 Temperatur Jembatan Rata-Rata Nominal	23
Tabel 2. 11 Sifat Bahan Rata-Rata Akibat Pengaruh.....	24
Tabel 2. 12 Spesifikasi Kelas Situs	26
Tabel 2.13 Faktor amplifikasi periode 0 detik dan 0.2 (F_{PGA}/FA).	27
Tabel 2. 14 Besarnya nilai faktor amplifikasi untuk periode 1 detik	27
Tabel 2. 15 Faktor Modifikasi Respons (R) untuk Bangunan Bawah.....	29
Tabel 2. 16 Faktor modifikasi respons (R) untuk hubungan antar elemen struktur	29
Tabel 2. 17 Perbandingan maksimum lebar terhadap tebal untuk elemen tertekan (Elemen Tanpa Pengaku)	31
Tabel 2. 18 Perbandingan maksimum lebar terhadap tebal untuk elemen tertekan (Elemen Dengan Pengaku)	33
Tabel 2. 19 Sifat Mekanis Baja	41
Tabel 2. 20 Gaya Tarik Minimum	53
Tabel 2. 21 Luas Baut	54
Tabel 2. 22 Faktor Reduksi.....	55
Tabel 2. 23 Jarak Tepi Minimum	56
Tabel 4. 1 Nilai V_0 dan Z_0 untuk berbagai variasi kondisi permukaan hulu	94
Tabel 4. 2 Tekanan angin dasar.....	94

Tabel 4. 3 Komponen beban angin yang bekerja pada kendaraan	95
Tabel 4. 4 Rekapitulasi Momen Pelat Lantai Kendaraan.....	98
Tabel 4. 5 Kombinasi kuat 1	99
Tabel 4. 6 Kombinasi kuat 2	99
Tabel 4. 7 Kombinasi kuat 3	100
Tabel 4. 8 Kombinasi Layan 1	100
Tabel 4. 9 Perhitungan garis netral	130
Tabel 4. 10 Dimensi perletakan elastomer	146
Tabel 4. 11 Data dan Spesifikasi elastomer.....	147
Tabel 5. 1 Berat Sendiri Bangunan Atas	151
Tabel 5. 2 Berat Sendiri Bangunan Bawah.....	153
Tabel 5. 3 Beban Angin (Vw) Abutment	157
Tabel 5. 4 Hasil Pengolahan Data N-SPT Tanah Abutment.....	161
Tabel 5. 5 Kelas situs (SNI Gempa 2833 - 2013 tabel 2)	162
Tabel 5. 6 Faktor amlifikasi untuk periode 0 dt & 0,2 dt (FPGA / Fa)	162
Tabel 5. 7 Besarnya nilai faktor amplifikasi untuk periode 1 detik (Fv)	163
Tabel 5. 8 Faktor Modifikasi Respons (R) untuk Hubungan Antar Elemen Struktur	165
Tabel 5. 9 Faktor Modifikasi Respons (R) untuk Bangunan Bawah	166
Tabel 5. 10 Perhitungan Gaya dan Momen pada Center Poer Abutment	167
Tabel 5. 11 Kombinasi 1 beban tegangan kerja pada abutment.	167
Tabel 5. 12 Kombinasi 2 beban tegangan kerja pada abutment.	168
Tabel 5. 13 Kombinasi 3 beban tegangan kerja pada abutment.	168
Tabel 5. 14 Kombinasi 4 beban tegangan kerja pada abutment.	168
Tabel 5. 15 Kombinasi 5 beban tegangan kerja pada abutment.	169
Tabel 5. 16 Perhitungan Kemampuan Gaya Aksial Per Tiang Abutment	171
Tabel 5. 17 Rekapitulasi Perhitungan Daya Dukung Tanah titik bor B1.....	174

Tabel 5. 18 Rekapitulasi Perhitungan Daya Dukung Tanah titik bor B2.....	176
Tabel 5. 19 ResUME Pijin tiang bor Ø0,8 m	179
Tabel 5. 20 Gaya-gaya Horizontal Searah Sumbu X pada Beban Sementara	180
Tabel 5. 21 Gaya-gaya Horizontal Searah Sumbu Y pada Beban Sementara	180
Tabel 5. 22 Daya dukung ijin vertikal.....	183
Tabel 5. 23 Berat timbunan tanah diatas pilecap.....	185
Tabel 5. 24 Rekapitulasi momen penahan abutment	185
Tabel 5. 25 Rekapitulasi momen guling abutment	185
Tabel 5. 35 Perhitungan Gaya dan Momen pada Center Poer abutment	189
Tabel 5. 36 Kombinasi 1 ultimit pada pile cap.....	189
Tabel 5. 37 Kombinasi 2 ultimit pada pile cap.....	189
Tabel 5. 38 Kombinasi 3 ultimit pada pile cap.....	190
Tabel 5. 39 Beban Ultimit Gaya Aksial Satu Tiang Abutment .	192
Tabel 5. 40 Perhitungan reaksi tiang pancang abutment	193
Tabel 5. 41 Perhitungan momen Poer abutment	193
Tabel 5. 42 Kombinasi 1 ultimit dinding abutment	205
Tabel 5. 43 Kombinasi 2 ultimit dinding abutment	205
Tabel 5. 44 Kombinasi 1 ultimit Long Stopper abutment	213
Tabel 5. 45 Kombinasi 2 ultimit Long Stopper abutment	213
Tabel 5. 46 Kombinasi 1 ultimit korbel abutment	217
Tabel 5. 47 Tekanan dan Momen akibat tekanan tanah aktif wing wall.....	228
Tabel 6. 1 Kombinasi ultimit pelat injak	224
Tabel 6. 2 Berat Sendiri Wing Wall.....	227

BAB I **PENDAHULUAN**

1.1 Umum

Jembatan adalah suatu konstruksi yang gunanya untuk meneruskan jalan melalui suatu rinangan yang berada lebih rendah. Rintangan ini biasanya jalan lain (jalan air atau jalan lalu lintas biasa). Jembatan yang merupakan bagian dari jalan, sangat diperlukan dalam sistem jaringan transportasi darat yang akan menunjang pembangunan pada daerah tersebut. Perencanaan pembangunan jembatan harus diperhatikan seefektif dan seefisien mungkin sehingga pembangunan jembatan dapat memenuhi keamanan dan kenyamanan bagi para pengguna jembatan (Struyk, 1984)

Keamanan jembatan menjadi faktor utama yang harus diperhatikan dalam perancangan jembatan. Beban primer, beban sekunder, dan beban khusus harus diperhitungkan dalam perancangan jembatan agar memiliki ketahanan dalam menopang beban – beban tersebut. Keselamatan dan keamanan pengguna jembatan menjadi hal penting yang harus diutamakan.

1.2 Latar Belakang

Keberadaan jembatan saat ini terus mengalami perkembangan, dari bentuk sederhana sampai yang paling kompleks, demikian juga bahan-bahan yang digunakan mulai dari bamboo, kayu, beton, dan baja. Penggunaan bahan baja untuk saat- saat sekarang maupun di masa mendatang untuk struktur jembatan akan memberikan keuntungan yang lebih terhadap perkembangan serta kelancaran sarana transportasi antar daerah maupun antar ulau yang ada di seluruh Indonesia (Siswanto,1999).

Jembatan Plapar terletak di Kecamatan Slahung Kab. Ponorogo, Jembatan Plapar merupakan satu-satunya akses jalan yang menghubungkan dua wilayah antara Kabupaten

Pacitan dan Kabupaten Ponorogo. Jembatan ini akan melintasi saluran dengan lebar 35,00 meter direncanakan dengan menggunakan balok I Girder dan bentang 50,00 m . Jembatan ini awalnya menggunakan balok precast pada struktur girder. Penulis memodifikasi jembatan ini dengan menggunakan struktur baja komposit .

1.3 Rumusan Masalah

Berdasarkan pada latar belakang diatas didapatkan rumusan masalah sebagai berikut :

1. Bagaimana memodifikasi desain struktur Jembatan Plapar dengan menggunakan struktur gelagar baja komposit?
2. Bagaimana menggambarkan hasil dari desain struktur jembatan?

1.4 Batasan Masalah

Untuk menghindari penyimpangan pembahasan dari rumusan masalah yang telah diuraikan diatas, maka diperlukan pembatasan masalah yang meliputi :

1. Perencanaan dilakukan dalam satu bentang jembatan yang bagian-bagiannya terdiri dari bangunan atas, bangunan bawah dan bangunan pelengkap pada jembatan.
2. Pembebaan pada jembatan adalah beban primer dan sekunder :
 - a. Pembebaan primer terdiri dari beban mati (berat sendiri pada struktur jembatan baja).
 - b. Beban sekunder terdiri dari beban hidup/bergerak (beban lalu lintas), beban angin, beban gempa dan gaya rem
3. Struktur yang dibahas dalam perancangan jembatan :
 - a. Struktur atas : dimensi jembatan, pelat lantai, gelagar, diafragma.
 - b. Struktur bawah : abutment dan pondasi
4. Studi proposal tugas akhir ini hanya meninjau segi

teknis saja, tanpa memperhitungkan segi waktu dan biaya.

5. Perencanaan tidak memantau aspek metode pelaksanaan pembangunan struktur jembatan

1.5 Tujuan

Adapun yang menjadi tujuan dalam penulisan proposal tugas akhir ini adalah sebagai berikut :

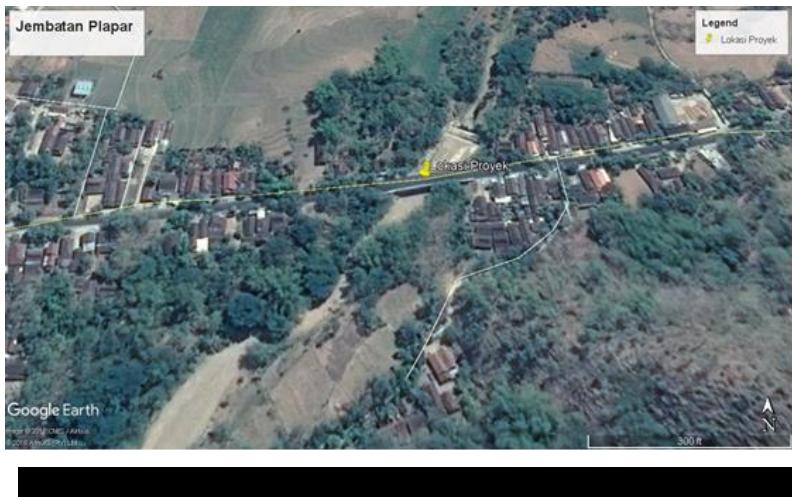
1. Untuk mendapatkan perhitungan perencanaan jembatan dengan menggunakan struktur gelagar baja komposit.
2. Untuk mendapatkan desain dan penulangan struktur bangunan atas, bangunan bawah dan bangunan lengkap.
3. Untuk mendapatkan hasil gambar dari struktur yang direncanakan.

1.6 Manfaat

Manfaat yang diharapkan terwujud dengan dibuatnya proposal tugas akhir ini antara lain :

1. Hasil perencanaan yang dilakukan dapat digunakan untuk mendirikan jembatan struktur gelagar baja komposit pada Jembatan Plapar.
2. Hasil analisis yang dilakukan dapat mengetahui keadaan dan kemampuan jembatan.
3. Tugas Akhir ini dapat menjadi referensi untuk melakukan perencanaan yang digunakan dan dipraktekan dalam mendirikan jembatan baja komposit.

1.7 Lokasi Proyek



BAB II

TINJAUAN PUSTAKA

2.1 Kontruksi Komposit

2.1.1 Uraian

Konstruksi komposit adalah sebuah konstruksi yang bahan-bahannya merupakan perpaduan dari dua jenis material yang berbeda sifat, yang disatukan sedemikian rupa sehingga bekerja sama dalam memikul beban. Konstruksi seperti ini ditemukan pada struktur jembatan, yaitu gabungan antara pelat lantai dari bahan beton dan gelagar dari bahan baja. Gabungan kedua elemen struktur ini dapat memikul beban lentur (momen) secara bersama-sama. Dalam bentuk lain adalah struktur tiang/kolom dimana lapis luar tiang/kolom digunakan besi hollow dari baja, dan didalamnya diisi dengan material beton.

Konstruksi komposit bisa merupakan perpaduan antara baja dengan beton, kayu dengan beton, dan lain-lain. Konstruksi komposit dibuat sedemikian rupa dengan memanfaatkan keunggulan dari masing-masing bahan, dari kedua jenis bahan yang berbeda tadi, terutama dalam kemampuannya memikul gaya tarik dan gaya tekan. Hal ini pada umumnya dijumpai pada baja dan beton.

2.1.2 Aksi Komposit (*Composite Action*)

Aksi komposit terjadi apabila dua batang/bagian struktur pemikul beban, misalnya konstruksi lantai beton dan balok profil baja, dihubungkan secara komposit menjadi satu, sehingga dapat melentur secara bersamaan dan menyatu, dengan kata lain tidak terjadi apabila anggapan-anggapan berikut ini dapat dipenuhi atau mendekati keadaan sebenarnya antara lain :

- a. Lantai beton dengan balok profil baja dihubungkan dengan penghubung geser secara tepat pada seluruh bentangnya.

- b. Gaya geser pada penghubung geser adalah sebanding secara proposional dengan beban pada penghubung geser.
- c. Distribusi tegangan adalah linier disetiap penampang.
- d. Lantai beton dan balok baja tidak akan terpisah secara vertikal dibagian manapun sepanjang bentangan.

2.1.3 Manfaat dan Keuntungan Struktur Komposit

Bila dibandingkan dengan konstruksi non komposit, konstruksi komposit memberikan beberapa keuntungan, antara lain :

- a. Profil baja dapat dihemat dibandingkan dengan balok non komposit.
- b. Penampang atau tinggi profil baja lebih rendah, sehingga dapat mengurangi atau menghemat tinggi lantai (*storey height*) pada bangunan gedung dan tinggi ruang bebas pada jembatan
- c. Kekakuan lantai beton bertulang semakin tinggi karena pengaruh komposit (menyatunya dengan gelagar baja), sehingga pelendutan pelat lantai (komposit) semakin kecil.
- d. Panjang bentang untuk batang tertentu dapat lebih besar, artinya dengan sistem komposit baja dan beton, untuk penampang yang sama, mempunyai momen pikul yang lebih besar.
- e. Kapasitas daya pikul beban bertambah dibandingkan dengan pelat beton yang bebas di atas gelagar baja.

2.1.4 Tegangan Pada Struktur Komposit

Tegangan dalam struktur komposit dibedakan atas :

- a) Tegangan pada profil baja

$$fs = M \cdot Y / I \quad (2.1)$$

- b) Tegangan pada penampang beton

$$fc = M \cdot Y / (n \cdot I) \quad (2.2)$$

Dimana :

M = momen pada potongan yang ditinjau.

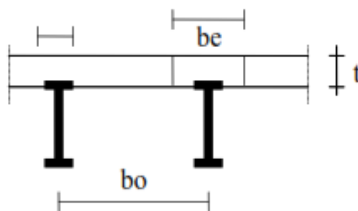
Y = jarak serat yang ditinjau terhadap garis netral.

I = momen inersia penampang komposit.

2.1.5 Lebar Efektif Lantai Beton

Suatu penampang komposit pada dasarnya merupakan suatu balok dengan flens yang lebar. Lebar efektif dalam perencanaan jembatan jalan raya menurut standart AASHTO (*Standard Specification for Highway Bridges*) adalah :

1. Untuk gelagar dalam dengan pelat di kedua sisi gelagar.



$$be < 12 ts \quad (2.3)$$

2. Untuk gelagar pinggir dengan pelat di salah satu sisi.

$$be < 1/12 \cdot L$$

$$be < \frac{1}{2}(bo + bf)$$

$$be < 6ts$$

$$(2.4)$$

2.2 Dasar Perencanaan

Adapun dalam modifikasi desain jembatan Plapar Kabupaten Ponorogo, penulis mengacu pada beberapa aturan sebagai berikut :

1. SNI 1725:2016 Pembebanan untuk Jembatan
2. RSNI T-03-2005 Perencanaan Struktur Baja Jembatan
3. RSNI T-12-2004 Perencanaan Struktur Beton untuk Jembatan
4. RSNI 2833:201X Perancangan Jembatan terhadap Beban Gempa

2.3 Beban-beban Struktur Baja Komposit

Adapun beban-beban yang akan dipikul oleh struktur jembatan berdasarkan **SNI 1725:2016** adalah sebagai berikut :

2.3.1 Beban Permanen

1. Umum

Massa setiap bagian bangunan harus dihitung berdasarkan dimensi yang tertera dalam gambar dan berat jenis bahan yang digunakan. Berat dari bagian-bagian bangunan tersebut adalah massa dikalikan dengan percepatan gravitasi (g). percepatan gravitasi yang digunakan dalam standar ini adalah 9.81 m/detik^2 . Besarnya kerapatan massa dan berat isi untuk berbagai macam bahan diberikan dalam

Tabel 2.1 Berat Isi untuk Beban Mati

No.	Bahan	Berat isi (kN/m ³)	Kerapatan massa (kg/m ³)
1	Lapisan permukaan beraspal (<i>bituminous wearing surfaces</i>)	22,0	2245
2	Besi tuang (<i>cast iron</i>)	71,0	7240
3	Timbunan tanah dipadatkan (<i>compacted sand, silt or clay</i>)	17,2	1755
4	Kerikil dipadatkan (<i>rolled gravel, macadam or ballast</i>)	18,8-22,7	1920-2315
5	Beton aspal (<i>asphalt concrete</i>)	22,0	2245
6	Beton ringan (<i>low density</i>)	12,25-19,6	1250-2000
7	Beton $f_c' < 35 \text{ Mpa}$	22,0-25,0	2320
	$35 < f_c' < 150 \text{ Mpa}$	$22 + 0,022 f_c'$	$2240 + 2,29 f_c'$
8	Baja (<i>steel</i>)	78,5	7850
9	Kayu (ringan)	7,8	800
10	kayu keras (<i>hard wood</i>)	11,0	1125

Pengembalian kerapatan massa yang besar, aman untuk suatu keadaan batas akan tetapi tidak untuk keadaan lainnya. Untuk mengatasi hal tersebut dapat digunakan faktor beban terkurangi. Akan tetapi, apabila kerapatan massa diambil dari suatu jajaran nilai, dan nilai yang sebenarnya tidak bisa ditentukan dengan tepat, perencanaan harus memilih di antara nilai tersebut yang memberikan keadaan paling kritis.

2. Berat Sendiri (MS)

Berat sendiri adalah berat bagian tersebut dan elemen-elemen struktural lain yang dipikulnya, termasuk dalam hal ini adalah berat bahan dan bagian jembatan yang merupakan elemen struktural, ditambah dengan elemen nonstruktural yang dianggap tetap. Adapun faktor beban yang digunakan untuk berat sendiri dapat dilihat pada

Tabel 2.2 Faktor Berat Sendiri MS

Tipe beban	Faktor beban (γ_{MS})		
	Keadaan Batas Layan (γ_{MS}^S)	Keadaan Batas Ultimit (γ_{MS}^U)	
	Bahan	Biasa	Terkurangi
Tetap	Baja	1.00	1.10
	Alumunium	1.00	1.10
	Beton pracetak	1.00	1.20
	Beton dicor ditempat	1.00	1.30
	Kayu	1.00	1.40

Sumber SNI 1725:2016

3. Beban mati tambahan/utilitas (MA)

Beban mati tambahan adalah berat seluruh bahan yang membentuk suatu beban pada jembatan yang merupakan elemen nonstruktural, dan besarnya dapat berubah selama umur jembatan. Dalam hal tertentu, nilai faktor beban mati tambahan yang berbeda dengan ketentuan pada tabel 2.3 boleh digunakan dengan persetujuan instansi yang berwenang.

Tabel 2.3 Faktor Beban Mati Tambahan

Tipe beban	Faktor beban (γ_{MA})			
	Keadaan Batas Layan (γ_{MA}^S)		Keadaan Batas Ultimit (γ_{MA}^U)	
	Keadaan		Biasa	Terkurangi
Tetap	Umum	1.00 ⁽¹⁾	2.00	0.70
	Khusus (terawasi)	1.00	1.40	0.80

Catatan(1) : Faktor beban layan sebesar 1.3 digunakan untuk berat utilitas

Sumber SNI 1725:2016

2.3.2 Beban lalu lintas

1. Umum

Beban lalu lintas untuk perencanaan jembatan terdiri atas beban lajur “D” dan beban truk “T”. Beban lajur “D” bekerja pada seluruh lebar jalur kendaraan dan menimbulkan pengaruh pada jembatan yang ekuivalen dengan suatu iring-iringan kendaraan yang sebenarnya. Jumlah total beban lajur “D” yang bekerja tergantung pada lebar jalur kendaraan itu sendiri.

Beban truk “T” adalah suatu kendaraan berat dengan 3 gandar yang ditempatkan pada beberapa posisi dalam lajur lalu lintas rencana. Tiap gandar terdiri atas dua bidang kotak pembebangan yang dimaksud sebagai simulasi pengaruh roda kendaraan berat. Hanya satu truk “T” diterapkan per lajur lalu lintas rencana.

2. Lajur lalu lintas rencana

Secara umum, jumlah lajur lalu lintas rencana ditentukan dengan mengambil bagian *integer* dari hasil pembagian lebar bersih jembatan (w) dalam mm dengan lebar lajur rencana sebesar 2750 mm. Perencana harus memperhitungkan kemungkinan berubahnya lebar bersih jembatan dimasa depan sehubungan dengan perubahan fungsi dari bagian jembatan. Jumlah maksimum lajur lalu lintas yang digunakan untuk berbagai lebar jembatan bisa dilihat dalam Tabel 2.4. Lajur lalu lintas rencana harus disusun sejajar dengan sumbu memanjang jembatan

Tabel 2.4 Jumlah Lajur Lalu Lintas Rencana

Tipe Jembatan	Lebar Bersih Jembatan (mm)	Jumlah Lajur
		Lalu Lintas Rencana (<i>n</i>)
Satu Lajur	$3000 \leq w < 5250$	1
	$5250 \leq w < 7500$	2
	$7500 \leq w < 10000$	3
Dua Arah, tanpa Median	$10000 \leq w < 12500$	4
	$12500 \leq w < 15250$	5
	$w \geq 5250$	6
	$5500 \leq w \leq 8000$	2
	$8250 \leq w \leq 10750$	3
Dua Arah, tanpa Median	$11000 \leq w \leq 13500$	4
	$13750 \leq w \leq 16250$	5
	$w \geq 16500$	6
Catatan (1): Untuk jembatan tipe lain, jumlah lajur lalu lintas rencana harus ditentukan oleh instansi yang berwenang.		
Catatan (2): Lebar jalur kendaraan adalah jarak minimum antara kerb atau rintangan untuk satu arah atau jarak antara kerb / rintangan / median dan median untuk banyak arah.		

Berdasarkan Tabel 2.4, bila lebar bersih jembatan berkisar antara 3000 mm sampai 5000 mm, maka jumlah jalur rencana harus diambil sebagai lebar jalur lalu lintas. Jika jembatan mempunyai lebar bersih antara 5250 mm

dan 7500 mm, maka jembatan harus direncanakan memiliki dua lajur rencana, masing-masing selebar lebar bersih jembatan dibagi dua. Jika jembatan mempunyai lebar bersih antara 7750 mm dan 10000 mm, maka jembatan harus direncanakan memiliki tiga lajur rencana, masing-masing selebar lebar bersih jembatan dibagi tiga.

3. Beban lajur “D”

Beban lajur “D” terdiri atas beban terbagi rata (BTR) yang digabung dengan beban garis (BGT) seperti terlihat dalam Gambar 2.1 Adapun faktor beban yang digunakan untuk beban lajur “D” seperti pada

Tabel 2.5 Faktor Beban Untuk Beban Lajur "D"

Tipe beban	Jembatan	Faktor beban (γ_{TD})	
		Keadaan Batas Layan (γ_{TD}^S)	Keadaan Batas Layan (γ_{TD}^U)
Transien	Beton	1,00	1,80
	Boks Girder		
	Baja	1,00	2,00

Sumber SNI 1725:2016

- Intensitas beban “D”

Beban terbagi rata (BTR) mempunyai intensitas q kPa dengan besaran q tergantung pada panjang total yang dibebani L yaitu seperti berikut :

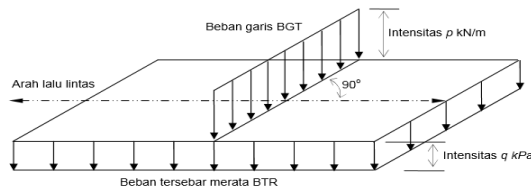
Jika $L \leq 30$ m : $q = 9,0$ kPa

$$\text{Jika } L > 30 \text{ m} : q = 9,0 \left(0,5 + \frac{15}{L} \right) \quad (2.5)$$

Keterangan:

q adalah intensitas beban terbagi rata (BTR) dalam arah memanjang jembatan (kPa)

L adalah panjang total jembatan yang dibebani (meter)

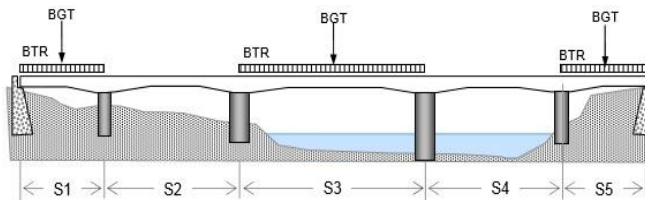


Gambar 2.1 Beban Lajur "D"

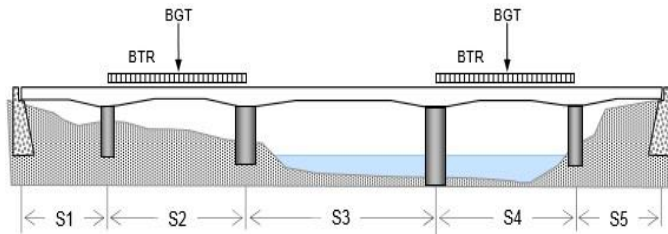
Beban garis terpusat (BGT) dengan intensitas p kN/m harus ditempatkan tegak lurus terhadap arah lalu lintas pada jembatan. Besarnya intensitas p adalah 49,0 kN/m. Untuk mendapatkan momen lentur negatif maksimum pada jembatan menerus, BGT kedua yang identik harus ditempatkan pada posisi dalam arah melintang jembatan pada bentang lainnya.

- Distribusi beban “D”

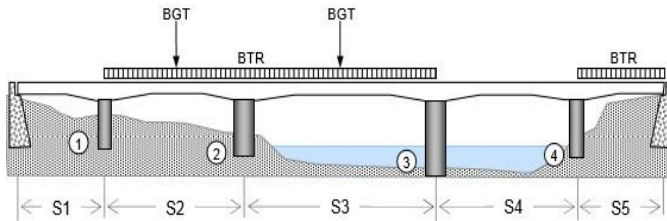
Beban “D” harus disusun pada arah melintang sedimikian rupa sehingga menimbulkan momen maksimum. Penyusunan komponen-komponen BTR dan BGT dari beban “D” secara umum dapat dilihat pada Gambar 2.4. Kemudian untuk alternatif penempatan dalam arah memanjang dapat dilihat pada Gambar 2.5.



Gambar 2.2 Momen Lentur pada Lapangan 1, 3 dan 5



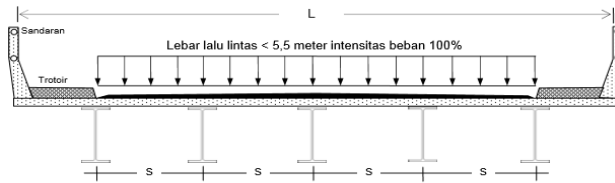
Gambar 2.3 Momen Lentur Positif pada Lapangan 2 dan 4



Gambar 2.4 Momen Lentur Negatif Maksimum pada Pilar 2

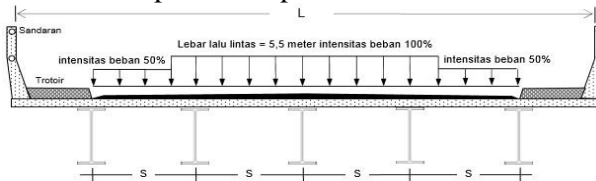
Selain Distribusi beban “D” arah memanjang, terdapat distribusi beban “D” arah melintang sehingga menimbulkan momen maksimum dan gaya geser. Penempatan beban “D” tersebar pada seluruh lebar balok (tidak termasuk parapet, trotoar, dan kerb). Adapun ketentuan yang digunakan sebagai berikut :

- a. Jika lebar jalur lalu lintas $\leq 5,5$ meter maka beban “D” ditempatkan pada seluruh jalur lalu lintas dengan intensitas 100 %.



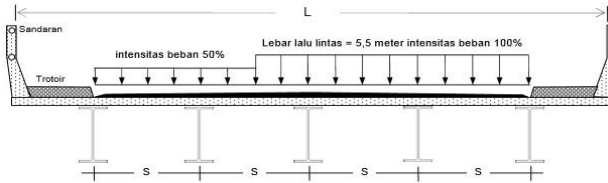
Gambar 2.5 Distribusi Beban "D" dengan Lebar Jalur \leq 5,5 meter

- b. Jika lebar jalur lalu lintas $>$ 5,5 meter maka beban "D" ditempatkan pada seluruh jalur lalu lintas (nl) dengan intensitas 100 % pada jumlah lajur lalu lintas rencana. Di dapatkan ekuivalen $n_l \times 2,75 q$ kN/m, beban terpusat ekuivalen sebesar $n_l \times 2,75 q$ kN/m, dan keduanya bekerja berupa *stip* pada jalur selebar $n_l \times 2,75$ m. Untuk jumlah lajur lalu lintas dapat dilihat pada tabel 2.4.



Gambar 2.6 Distribusi Beban "D" dengan Lebar Jalur $>$ 5,5 meter

- c. Jika lebar jalur lalu lintas $>$ 5,5 meter, pada lajur lalu lintas rencana yang membentuk *stip* dapat ditempatkan dimana saja. Beban "D" tambahan ditempatkan pada sisa jalur dengan intensitas sebesar 50 %.



Gambar 2.7 Distribusi Beban "D" dengan Lebar Jalur > 5,5 meter alternatif

4. Beban truk “T”

Beban truk “T” tidak dapat digunakan bersamaan dengan beban “D”. Beban truk dapat digunakan untuk perhitungan struktur lantai. Adapun faktor beban untuk beban “T” seperti terlihat pada tabel 2.6.

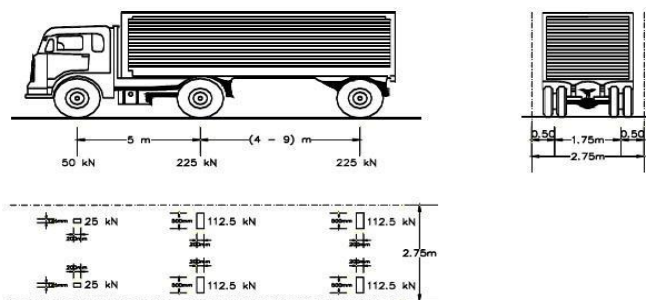
Tabel 2.6 Faktor Untuk Beban "T"

Tipe beban	Jembatan	Faktor beban (γ_{TD})	
		Keadaan Batas Layan (γ_{TT}^S)	Keadaan Batas Layan (γ_{TT}^U)
Transien	Beton	1,00	1,80
	Boks Girder	1,00	2,00
	Baja		

Sumber SNI 1725:2016

- Besarnya pembebanan truk “T”

Pembebanan truk “T” terdiri atas kendaraan truk semi-trailer yang mempunyai susunan dan berat gandar seperti terlihat pada Gambar 2.8. Berat tiap-tiap gandar disebarluaskan menjadi 2 beban merata sama besar yang merupakan bidang kontak antara roda dengan permukaan lantai. Jarak antar 2 gandar tersebut bisa diubah-ubah dari 4,0 m sampai dengan 9,0 m untuk mendapatkan pengaruh terbesar pada arah memanjang jembatan.



Gambar 2.8 Pembebanan Truk "T" (500 kN)

Sumber: SNI 1725:2016

5. Faktor Beban Dinamis

Faktor Beban Dinamis (FBD) merupakan hasil interaksi antara kendaraan yang bergerak dan jembatan. Besarnya FBD tergantung pada frekuensi dasar dari suspensi kendaraan, biasanya 2 Hz sampai 5 Hz untuk kendaraan berat, dan frekuensi dari getaran lentur jembatan. Untuk perencanaan, FBD dinyatakan sebagai beban statis ekuivalen.

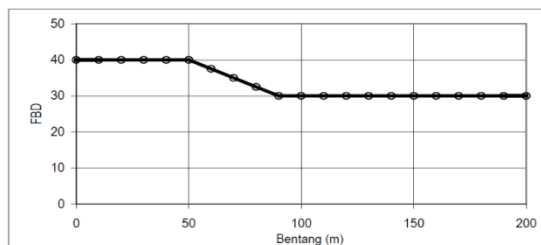
Besarnya BGT dari pembebanan lajur "D" dan beban roda dari Pembebanan Truk "T" harus cukup untuk memberikan terjadinya interaksi antar kendaraan yang bergerak dengan jembatan dengan dikali FBD. Besarnya nilai tambah dinyatakan dalam fraksi dari beban statis. FBD ini diterapkan pada keadaan batas daya layan dan batas ultimit. BTR dari pembebanan lajur "D" tidak dikali dengan FBD. Untuk pembebanan "D". FBD merupakan fungsi panjang bentang ekuivalen seperti tercantum dalam Gambar. Untuk bentang tunggal panjang bentang ekuivalen diambil sama dengan panjang bentang sebenarnya. Untuk bentang menerus panjang ekuivalen L_E diberikan dengan rumus :

$$L_E = \sqrt{L_{av} \times L_{max}} \quad (26)$$

Dimana :

- L_{av} Panjang bentang rata-rata dari kelompok bentang yang disambungkan secara menerus.
- L_{max} Panjang bentang maksimum dalam kelompok bentang yang disambung secara menerus.

Untuk pembebanan truk “T”, FBD diambil 30%. Nilai FBD yang dihitung digunakan pada seluruh bagian bangunan yang berada di atas permukaan tanah. Untuk bangunan yang terkubur, seperti halnya gorong-gorong dan struktur baja-tanah, nilai FBD jangan diambil kurang dari 40% untuk kedalaman nol dan jangan kurang dari 10% untuk kedalaman 2m.



Gambar 2. 9 Faktor Beban Dinamis untuk Beban T untuk Beban Lajur

2.3.3 Beban Sekunder

Merupakan beban sementara yang diperhitungkan pada perhitungan tegangan jembatan. Pada umumnya beban sekunder menghasilkan tegangan yang relatif kecil dibandingkan dengan beban primer. Berikut adalah beban sekunder berdasarkan *SNI 1725:2016*.

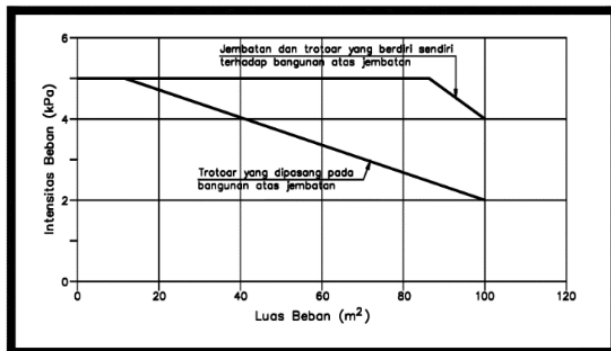
1. Gaya Rem (TB)

Muatan akibat gaya rem, disebabkan oleh gaya yang diakibatkan penggeraman kendaraan. Gaya rem harus ditempatkan pada semua lajur dengan arah yang sama dan bekerja pada titik tangkap 1,80 m diatas permukaan jalan. Gaya ini diambil terbesar dari 25% dari berat gandar truk desain atau, 5% dari berat truk rencana ditambah beban lajur terbagi rata (BTR).

Gaya rem tersebut harus ditempatkan di semua lajur rencana dan yang berisi lalu lintas dengan arah yang sama. Gaya ini harus diasumsikan untuk bekerja secara horizontal pada jarak 1800 mm diatas permukaan jalan pada masing-masing arah longitudinal dan dipilih yang paling menentukan. Untuk jembatan yang dimasa depan akan dirubah menjadi satu arah, maka semua lajur rencana harus dibebani secara simultan pada saat menghitung besarnya gaya rem.

2. Beban Pejalan Kaki

Semua elemen dari trotoar atau jembatan penyebrangan yang langsung memikul pejalan kaki harus direncanakan untuk beban nominal 5 kPa. Jembatan pejalan kaki dan trotoar pada jembatan jalan raya harus direncanakan untuk memikul beban per m^2 dari luas yang dibebani seperti pada Gambar 2.10. luas yang dibebani adalah luas yang terkait dengan elemen bangunan yang ditinjau. Apabila trotoar memungkinkan digunakan untuk kendaraan ringan atau ternak, maka trotoar harus direncanakan untuk bisa memikul beban hidup terpusat sebesar 20 kN.



Gambar 2.10 Pembebanan untuk Pejalan Kaki

Tabel 2.7 Intensitas Pembebanan Pejalan Kaki

Luas terpikul oleh unsur (m ²)	Intensitas Beban (kPa)
$A \leq 10$	5
$10 < A < 100$	$5.33 - A/30$
$LE \geq 100$	2
Bila kendaraan tidak dicegah naik ke kerb oleh penghaang rencana, troroar juga harus direncanakan agar menahan beban terpusat 20 kN.	

3. Beban Angin

- Beban angin pada struktur (E_{ws})

Jika dibenarkan oleh kondisi setempat, perencana dapat menggunakan kecepatan angin rencana dasar yang berbeda untuk kombinasi pembebeanan yang tidak melibatkan kondisi beban angin yang bekerja pada kendaraan. Arah angin rencana harus diasumsikan horizontal, kecuali ditentukan lain. Dengan tidak adanya data yang lebih tepat tekanan angin rencana dalam MPa dapat ditetapkan dengan menggunakan persamaan berikut :

$$P_D = P_B \left(\frac{V_{DZ}}{V_B} \right)^2 \quad (2.7)$$

Dimana :

P_A = tekanan angin dasar seperti yang ditentukan dalam Tabel di bawah ini.

Tabel 2.8 Tekanan Angin Dasar

Komponen bangunan atas	Angin tekan (Mpa)	Angin hisap (Mpa)
Rangka, kolom, dan pelengkung	0,0024	0,0012
Balok	0,0024	N/A
Permukaan datar	0,0019	N/A

- Gaya angin pada kendaraan (EW_1)

Tekanan angin rencana harus dikerjakan baik pada struktur jembatan maupun pada kendaraan yang melintasi jembatan. Jembatan harus direncanakan memikul gaya akibat tekanan angin pada kendaraan, dimana tekanan tersebut harus diasumsikan sebagai tekanan menerus sebesar 1,46 N/mm, tegak lurus dan bekerja 1800 mm diatas permukaan jalan. Kecuali jika ditentukan didalam pasal ini, jika angin yang bekerja tidak tegak lurus struktur, maka komponen yang bekerja tegak lurus maupun pararel terhadap kendaraan untuk berbagai sudut serang dapat diambil seperti yang ditentukan dalam Tabel 2.8 dimana arah sudut serang ditentukan tegak lurus terhadap arah permukaan kendaraan.

Tabel 2.9 Komponen Beban Angin yang Bekerja pada Kendaraan

Sudut	Komponen tegak lurus	Komponen sejajar
derajat	N/mm	N/mm
0	1,46	0,00
15	1,28	0,18
30	1,20	0,35
45	0,96	0,47
60	0,50	0,55

4. Pengaruh temperatur

Gaya akibat perbedaan suhu disebabkan adanya perubahan bentuk pada bagian-bagian jembatan, baik yang menggunakan bahan yang sama ataupun berbeda. Perbedaan suhu dilakukan berdasarkan keadaan setempat jembatan itu dibangun.

Tabel 2.10 Temperatur Jembatan Rata-Rata Nominal

Tipe bangunan atas	Temperatur min. Rata-rata	Temperatur maks. Rata-rata
Lantai beton diatas gelagar, box atau rangka	15°C	40°C
Lantai beton diatas gelagar, box atau rangka	15°C	40°C
Lantai pelat baja diatas gelagar, box atau rangka	15°C	45°C
Catatan(1) Temperatur jembatan rata-rata minimum bisa dikurangi 5°C untuk lokasi yang terletak pada ketinggian lebih besar dari 500 m diatas permukaan laut.		

Tabel 2.11 Sifat Bahan Rata-Rata Akibat Pengaruh Temperatur

Bahan Jembatan	Koefisien Muai akibat suhu	Modulus Elastisitas (MPa)
Baja	12×10^{-6} per $^{\circ}\text{C}$	200000
Beton dengan kuat tekan, $f_c' < 30$ Mpa	10×10^{-6} per $^{\circ}\text{C}$	25000
Beton dengan kuat tekan, $f_c' > 30$ Mpa	11×10^{-6} per $^{\circ}\text{C}$	34000
Aluminium	24×10^{-6} per $^{\circ}\text{C}$	70000

4. Gaya Akibat Gempa Bumi

Jembatan harus direncanakan agar memiliki kemungkinan kecil untuk runtuh namun dapat mengalami kerusakan yang signifikan dan gangguan terhadap pelayanan akibat gempa dengan kemungkinan terlampaui 7% dalam 75 tahun. Penggantian secara parsial atau lengkap pada struktur diperlukan untuk beberapa kasus.

Beban gempa diambil sebagai gaya horizontal yang ditentukan berdasarkan perkalian antara koefisien respons elastic (C_{sm}) dengan berat struktur ekuivalen yang kemudian dimodifikasi dengan faktor modifikasi respons (R) dengan formulasi sebagai berikut :

$$E_Q = \frac{C_{sm}}{R} \times W_t \quad (2.8)$$

keterangan :

E_Q adalah gaya gempa horizontal statis (kN)

C_{sm} adalah koefisien respons gempa elastik pada moda getar ke- m

R adalah faktor modifikasi respons

W_t adalah berat total struktur terdiri dari beban mati dan beban hidup yang sesuai (kN)

Koefisien respons elastic C_{sm} diperoleh dari peta percepatan batuan dasar dan spectra percepatan sesuai dengan daerah gempa dan periode ulang gempa rencana. Koefisien percepatan yang diperoleh berdasarkan peta gempa dikalikan dengan suatu faktor amplifikasi sesuai dengan kondisi tanah sampai kedalaman 30 m di bawah struktur jembatan.

Penentuan Kelas Situs Tanah

Klasifikasi situs pada hal ini ditentukan untuk lapisan setebal 30 m sesuai dengan yang didasarkan pada korelasi dengan hasil penyelidikan tanah lapangan dan laboratorium.

$$N = \frac{\sum t_i}{\sum \frac{t_i}{n}} \quad (2.9)$$

Keterangan :

t_i = tebal lapisan tanah ke - i

N_i = nilai hasil uji penetrasi standar lapisan tanah ke-i

Hasil yang didapat dari perhitungan diatas dislot kedalam tabel situs untuk menentukan kelas situs :

Tabel 2.12 Spesifikasi Kelas Situs

Kelas Situs	\bar{V}_s (m/s)	\bar{N}	S_u (kPa)
A. Batuan Keras	$\bar{V}_s \geq 1500$	N/A	N/A
B. Batuan	$750 < \bar{V}_s \leq 1500$	N/A	N/A
C. Tanah Sangat Padat dan Batuan Lunak	$350 < \bar{V}_s \leq 750$	$\bar{N} > 50$	$S_u \geq 100$
D. Tanah Sedang	$175 < \bar{V}_s \leq 350$	$15 \leq \bar{N} \leq 50$	$50 \leq S_u \leq 100$
E. Tanah Lunak	$\bar{V}_s < 175$	$\bar{N} < 15$	$S_u < 50$
Atau setiap profil lapisan tanah dengan ketebalan lebih dari 3 m dengan karakteristik sebagai berikut :			
<ul style="list-style-type: none"> 1. Indeks塑性itas, PI > 20, 2. Kadar air (w) $\geq 40\%$, dan 3. Kuat geser tak terdrainase $S_u < 25$ kPa 			
F. Lokasi yang membutuhkan penyelidikan geoteknik dan analisis respons dinamik spesifik	Setiap profil lapisan tanah yang memiliki salah satu atau lebih dari karakteristik seperti : <ul style="list-style-type: none"> - Rentan dan berpotensi gagal terhadap beban gempa seperti likufaksi, tanah lempung sangat sensitif, tanah tersementasi lemah - Lempung organik tinggi dan/atau gambut (dengan ketebalan > 3m) - Plastitas tinggi (ketebalan H > 7.5m dengan PI > 75) - Lapisan lempung lunak/medium kaku dengan ketebalan H > 35m 		

Catatan : N/A = tidak dapat digunakan

Faktor Situs

Untuk penentuan respons spektra di permukaan tanah, diperlukan suatu faktor amplifikasi pada periode nol detik, periode pendek ($T=0.2$ detik) dan periode 1 detik. Faktor implikasi meliputi faktor amplifikasi getaran terkait percepatan pada getaran periode nol detik (F_{PGA}), faktor amplifikasi periode pendek (F_a) dan faktor amplifikasi terkait percepatan yang mewakili getaran periode 1 detik (F_v). **Tabel 2.12** dan **Tabel 2.13** memberikan nilai-nilai F_{PGA} , F_a , dan F_v untuk berbagai klasifikasi jenis tanah.

Tabel 2.13 Faktor amplifikasi periode 0 detik dan 0.2 (F_{PGA}/FA)

Kelas situs	$PGA \leq 0.1$ $S_S \leq 0.25$	$PGA = 0.2$ $S_S = 0.5$	$PGA = 0.3$ $S_S = 0.75$	$PGA = 0.3$ $S_S = 1.0$	$PGA > 0.5$ $S_S \geq 1.25$
Batuhan Keras (SA)	0.8	0.8	0.8	0.8	0.8
Batuhan (SB)	1	1	1	1	1
Tanah Keras (SC)	1.2	1.2	1.2	1	1
Tanah sedang (SD)	1.6	1.4	1.2	1	1
Tanah lunak (SE)	2.5	1.7	1.2	0.9	0.9
Tanah Khusus (SF)	SS	SS	SS	SS	SS

Catatan : Untuk nilai-nilai antara dapat dilakukan interpolasi linier

Keterangan :

PGA adalah percepatan puncak batuan dasar mengacu pada Peta Gempa Indonesia 2010 (Gambar 1 atau Gambar 4).

 S_S adalah parameter respons spektral percepatan gempa untuk periode pendek ($T=0.2$ detik) mengacu pada Peta Gempa Indonesia 2010 (Gambar 2 atau Gambar 5).

SS adalah lokasi yang memerlukan investigasi geoteknik dan analisis respons dinamik spesifik.

Tabel 2.14 Besarnya nilai faktor amplifikasi untuk periode 1 detik

Kelas situs	$S_1 \leq 0.1$	$S_1 = 0.2$	$S_1 = 0.3$	$S_1 = 0.4$	$S_1 \geq 0.5$
Batuhan Keras (SA)	0.8	0.8	0.8	0.8	0.8
Batuhan (SB)	1	1	1	1	1
Tanah Keras (SC)	1.7	1.6	1.5	1.4	1.3
Tanah sedang (SD)	2.4	2	1.8	1.6	1.5
Tanah lunak (SE)	3.5	3.2	2.8	2.4	2.4
Tanah Khusus (SF)	SS	SS	SS	SS	SS

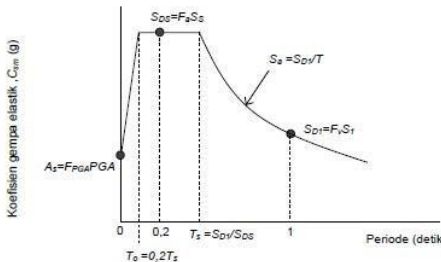
Catatan : Untuk nilai-nilai antara dapat dilakukan interpolasi linier

Keterangan :

 S_1 adalah parameter respons spectral percepatan gempa untuk periode 1 detik mengacu pada Peta Gempa Indonesia 2010 (Gambar 3 atau Gambar 6).

SS adalah lokasi yang memerlukan investigasi geoteknik dan analisis respons dinamik spesifik.

Respon spektrum rencana



Gambar 2. 11 Spektrum rencana gempa
Perumusan respons spektra adalah sebagai berikut :

$$A_s = F_{PGA} \times PGA$$

$$S_{DS} = F_a \times S_s$$

$$S_{D1} = F_y \times S_1$$

Koefisien respons gempa elastik

- Untuk periode lebih kecil dari T_0 , koefisian respons gempa elastis (C_{sm}) didapatkan dari persamaan berikut :

$$C_{sm} = (S_{DS} - A_s) \frac{T}{T_0} + A_s \quad (2.10)$$

- Untuk periode lebih besar atau sama dengan T_0 , dan lebih kecil atau sama dengan T_s , respons spectra percepatan, C_{sm} adalah sama dengan S_{ps} .
- Untuk periode lebih besar dari T_s , koefisien respons gempa elastis (C_{sm}) didapatkan dari persamaan berikut :

$$C_{sm} = \frac{S_{D1}}{T} \quad (2.11)$$

Keterangan :

S_{DS} nilai spektra permukaan tanah pada periode pendek ($T=0,2$ detik)

SD1 nilai spektra permukaan tanah pada periode 1.0 detik

T0 : 0,2 Ts

Ts : S_{D1} / S_{DS}

Faktor modifikasi respons

Gaya gempa rencana pada bangunan bawah dan hubungan antara elemen struktur ditentukan dengan cara membagi gaya gempa elastis dengan faktor modifikasi respons (R) sesuai dengan tabel berikut :

Tabel 2.15 Faktor Modifikasi Respons (R) untuk Bangunan Bawah

Bangunan bawah	Kategori kepentingan		
	Sangat penting	Penting	Lainnya
Pilar tipe dinding	1.5	1.5	2.0
Tiang/kolom beton bertulang			
Tiang vertikal	1.5	2.0	3.0
Tiang miring	1.5	1.5	2.0
Kolom tunggal	1.5	2.0	3.0
Tiang baja dan komposit			
Tiang vertikal	1.5	3.5	5.0
Tiang miring	1.5	2.0	3.0
Kolom majemuk	1.5	3.5	5.0

Catatan:

Pilar tipe dinding derencanakan sebagai kolom tunggal dalam arah sumbu lemah pilar

Tabel 2.16 Faktor modifikasi respons (R) untuk hubungan antar elemen struktur

Hubungan elemen struktur	Semua kategori kepentingan
Bangunan atas dengan kepala jembatan	0.8
Sambungan muai (diatas) pada bangunan atas	0.8
Kolom, pilar, atau tiang dengan bangunan atas	1.0
Kolom atau pilar dengan pondasi	1.0

2.3.4 Kombinasi Beban

Kombinasi pembebanan didasarkan pada ketentuan dalam SNI1725:2016 Standar Pembebanan Jembatan yaitu :

2.3.5 Kelangsingan Penampang

Kelangsingan (λ) penampang adalah ukuran dari kecenderungan untuk menekuk pada lentur atau beban aksial atau kombinasi keduanya. Kelangsingan penampang ini sangat mempengaruhi kecenderungan tekuk suatu unsur. Dengan kelangsingan besar, suatu unsur akan lebih mudah menekuk dibanding dengan kelangsingan kecil. Kelangsingan penampang dapat dirumuskan (lihat tabel 2.17 dan 2.18) :

Tabel 2.17 Perbandingan maksimum lebar terhadap tebal untuk elemen tertekan (Elemen Tanpa Pengaku)

Jenis Elemen	λ	Perbandingan maksimum lebar terhadap tebal	
		λ_p (kompak)	λ_r (tak kompak)
Pelat sayap balok-I dan kanal dalam lentur	b/t	$\frac{170}{\sqrt{f_y}} [c]$	$\frac{370}{\sqrt{f_y f_r}} [e]$
Pelat sayap balok-I hibrida atau balok tersusun yang di las dalam lentur	b/t	$\frac{170}{\sqrt{f_y f}}$	$\frac{420}{\sqrt{\frac{f_y f_r}{k_e}}} [e] [f]$
Pelat sayap dari komponen-komponen struktur tersusun dalam tekan	b/t	-	$\frac{290}{\sqrt{\frac{f_y}{k_e}}}$

Sayap bebas dari profil siku kembar yang menyatu pada sayap lainnya, pelat sayap dari komponen struktur kanal dalam aksial tekan, profil siku dan pelat yang menyatu dengan balok atau komponen struktur tekan	b/t	-	$\frac{250}{\sqrt{f_y}}$
Sayap dari profil siku tunggal pada penyongkong, sayap dari profil siku ganda dengan pelat kopel pada penyongkong, elemen yang tidak diperkakau, yaitu yang ditumpu pada salah satu sisinya.	b/t	-	$\frac{200}{\sqrt{f_y}}$
Pelat badan dari profil T	b/t	-	$\frac{335}{\sqrt{f_y}}$

Tabel 2.18 Perbandingan maksimum lebar terhadap tebal untuk elemen tertekan (Elemen Dengan Pengaku)

Jenis Elemen	λ	Perbandingan maksimum lebar	
		λ_p (kompak)	λ_r (tak kompak)
Pelat sayap dari penampang persegi panjang dan bujur sangkar berongga dengan ketebalan seragam yang dibebani lentur atau tekan; pelat penutup dari pelat sayap dan pelat diafragma yang terletak di antar baut-baut atau las	b/t	$\frac{500}{\sqrt{f_y}}$	$\frac{625}{\sqrt{f_y}}$
Bagian lebar yang tak terkekang dari pelat penutup berlubang [b]	b/t	-	$\frac{830}{\sqrt{f_y}}$
Bagian-bagian pelat badan dalam tekan akibat lentur [a]	h/tw	$\frac{1680}{\sqrt{f_y}} [c]$	$\frac{2550}{\sqrt{f_y}} [g]$

Bagian-bagian pelat badan dalam kombinasi tekan dan lentur		Untuk $\frac{Nu}{\phi b Ny} \leq 0,125$ [c] $\frac{1680}{\sqrt{f_y}} \left(1 - \frac{2,75 Nu}{\phi b Ny} \right)$	$\frac{2550}{\sqrt{f_y}} \left(1 - \frac{0,74 Nu}{\phi b Ny} \right)$ [g]
	h/tw	Untuk $\frac{Nu}{\phi b Ny} \leq 0,125$ [c] $\frac{500}{\sqrt{f_y}} \left(2,33 - \frac{Nu}{\phi b Ny} \right)$ $H \frac{665}{\sqrt{f_y}}$	
Elemen-elemen lainnya yang diperkuat dalam tekan murni; yaitu dikekang sepanjang kedua sisinya	b/t h/tw	-	$\frac{665}{\sqrt{f_y}}$

Penampang bulat berongga :	D/t	$[d] - \frac{14800}{f_y}$	$\frac{22000}{\frac{f_y}{62000}}$ f_y
[a] Untuk balok hibrida, gunakan tegangan leleh pelat sayap f_y sebagai f_y .			
[b] Ambil luas netto pelat pada lubang terbesar.			
[c] Dianggap kapasitas rotasi inelastis sebesar 3. Untuk struktur-struktur pada zona tinggi diperlukan kapasitas rotasi yang lebih besar.			
[d] Untuk perencanaan plastis gunakan $9000/f_y$			
[e] $F_r = $ tegangan tekan residual pada pelat sayap $= 70 \text{ MPa}$ untuk penampang di rol $= 115 \text{ MPa}$ untuk penampang di las			
[fe] $k_e = \frac{4}{\sqrt{h/t_w}}$; $0,35 \leq k_e \leq 0,763$			
[g] f_y adalah tegangan leleh minimum (dinyatakan dalam satuan MPa)			

2.3.5.1 Kekuatan Unsur Terhadap Lentur

Kekuatan unsur terhadap momen lentur ultimate rencana (M_u) tergantung pada tekuk pada penampang elemen unsur, sehingga ditentukan :

$$M_u \leq \phi M_n \quad (2.12)$$

1. Kuat Nominal Lentur Penampang dengan Pengaruh Tekuk Lokal

9 Batasan Momen

Momen leleh (M_y) adalah momen lentur yang menyebabkan penampang mulai mengalami tegangan leleh.

$$M_y = f_y \times S \quad (2.13)$$

Kuat lentur plastis (M_p) adalah momen lentur yang menyebabkan seluruh penampang mengalami tegangan leleh.

$$M_p = Z \times f_y \text{ atau } M_p = 1,5 M_y \quad (2.14)$$

Nilai momen yang diambil adalah yang lebih kecil dari nilai kuat lentur plastis (M_p).

Momen batas tekuk (M_r) diambil sama dengan $S(f_y - f_r)$

9 Penampang Kompak

Jika unsur berpenampang kompak atau yang memenuhi $\lambda \leq \lambda_p$ maka kuat lentur nominal penampang adalah :

$$M_n = M_p \quad (2.15)$$

9 Penampang Tidak Kompak

Untuk penampang tidak kompak atau yang memenuhi $\lambda_p \leq \lambda \leq \lambda_r$, kuat lentur nominal penampang sebagai berikut :

$$M_n = M_p - (M_p - M_r) \frac{\lambda \leq \lambda_p}{\lambda_r \leq \lambda_p} \quad (2.16)$$

Dimana :

- f_Z = Modulus penampang plastis;
- f_S = Modulud penampang elastis;
- f_\emptyset = faktor reduksi kekuatan bahan;
- f_{fr} = tegangan sisa
- f_{Mu} = Momen lentur terfaktor;
- f_{Mn} = Momen ultimate unsur;
- f_{Mp} = Momen nominal penampang;
- f_{My} = Momen leleh;
- f_{Mr} = Momen batas tekuk.

2.3.5.2 Kekuatan Unsur Terhadap Geser

Pelat badan yang memikul gaya geser terfaktor (V_u) harus memenuhi :

$$V_u \leq \emptyset V_n \quad (2.17)$$

Kuat geser nominal pelat badan harus dihitung sebagai berikut :

$$V_n = 0,6 f_y A_w \quad (2.18)$$

Kuat geser nominal (V_n) penampang pipa dihitung sebagai berikut :

$$V_n = 0,36 x f_y x A_e \quad (2.19)$$

Dimana,

- $f_V u$ = Gaya geser terfaktor, (N);
- f_\emptyset = faktor reduksi;
- $f_V n$ = Kuat geser nominal pelat bada, (N);
- $f_A w$ = Luas kotor pelat badan (mm^2);
- $f_A e$ = Luas kotor penampang bulat berongga (mm^2)

2.3.5.3 Interaksi Geser Dan Lentur

Jika momen lentur dianggap dipikul oleh seluruh penampang, maka selain memenuhi kuat lentur dan kuat geser, balok harus direncanakan untuk memikul kombinasi lentur dan geser yaitu :

$$\frac{M_u}{\phi M_n} + 0,625 \frac{V_u}{\phi V_n} \leq 1,375 \quad (2.20)$$

Dimana,

V_n = Kuat geser nominal;

M_n = Kuat lentur nominal.

2.3.6 Penulangan

2.3.6.1 Tulangan Lentur

Rasio tulangan lentur berdasarkan SNI 03 – 2847-2013 :

$$\rho_{min} = 1,4/f_y$$

$$\rho_{balance} = 0,75 \times \frac{0,85 f_{c'}}{f_y} \times \beta \times \frac{600}{600 + f_y}$$

$$\rho_{max} = 0,75 \times \rho_b$$

Dimana "d" didapat,

$D = b - decking - \frac{1}{2}$ tulangan lentur – tulangan bagi

$$M_n = \frac{M_u}{\phi}$$

$$R_n = \frac{M_n}{b \times d^2}$$

$$m = \frac{0,85 f_{c'}}{f_y}$$

$$\rho = \frac{1}{m} \times \left(1 - \sqrt{1 - \frac{2m R_n}{f_y}} \right)$$

$$\rho_{min} < \rho < \rho_{max}$$

$$A_s = \rho \times b \times d \quad (2.22)$$

Dimana ρ diambil dari nilai yang berbeda ditengah-tengah antara ρ_{min} dan ρ_{max} .

$$As' = \frac{1}{4} \pi D^2 n \quad (2.23)$$

Dimana,

N = jumlah tulangan;

D = diameter tulangan.

Jarak antar tulangan

$$s = \frac{\frac{1}{4} \pi D^2 \times b}{As} \quad (2.24)$$

2.3.6.2 Tulangan Geser

Berdasarkan SNI 03 – 2847- 2013 pasal 11 kekuatan nominal terhadap geser

$$Vn = Vc + Vs \quad (2.25)$$

Dimana :

Vn = Kekuatan geser nominal

Vc = Kekuatan geser nominal yang disumbangkan oleh beton.

Vs = Kekuatan geser nominal yang disumbangkan oleh tulangsn geser.

φ = faktor reduksi kapasitas untuk geser
 $= 0,75$ (SNI 03 – 2847 – 2013 Pasal 9.3.2)

Kuat geser yang disumbangkan oleh Beton :

$$Vc = \frac{1}{6} \sqrt{fc'} bd \quad (2.26)$$

Syarat Perencanaan :

1. Kondisi 1 (2.27)

$Vu \leq 0,50 \varphi Vc$, tidak perlu tulangan geser

2. Kondisi 2 (2.28)

$0,50 \varphi Vc \leq Vu \leq \varphi Vc$, perlu tulangan geser minimum
 Beban geser minimum yang dipikul oleh tulangan,

$$Vs_{min} = \frac{1}{3} b_w d$$

Luas tulangan geser minimum,

$$Av_{\min} = \frac{b_w S}{3 f_y}$$

Spasi tulangan geser maksimum,

$$S_{\max} \leq \frac{d}{2} \leq 60 \text{ cm}$$

Kecuali pelat, pondasi telapak, balok-balok kecil ($h < 25 \text{ cm}$) tidak memerlukan tulangan geser minimum.

3. Kondisi 3

(2.29)

$\phi V_c \leq V_u \leq \phi (V_c + V_{s,\min})$, perlu tulangan geser minimum.

Beban geser minimum yang dipikul oleh tulangan,

$$V_{s,\min} = \frac{1}{3} b_w \quad \text{dan } V_{s,\max} = \frac{2}{3} \sqrt{f c' b w d}$$

Luas tulangan geser minimum,

$$Av_{\min} = \frac{b_w S}{3 f_y}$$

Spasi tulangan geser maksimum,

$$S_{\max} \leq \frac{d}{2} \leq 60 \text{ cm}$$

4. Kondisi 4

(2.30)

$\phi V_c \leq V_u \leq \phi (V_c + V_{s,\min})$, perlu tulangan geser minimum.

Beban geser minimum yang dipikul oleh tulangan,

$$V_{s,\min} = \frac{1}{3} b_w \quad \text{dan } V_{s,\max} = \frac{2}{3} \sqrt{f c' b w d}$$

Luas tulangan geser minimum,

$$Av_{\min} = \frac{b_w S}{3 f_y}$$

Spasi tulangan geser maksimum,

$$S_{\max} \leq \frac{d}{2} \leq 60 \text{ cm}$$

5. Kondisi 5 (2.31)

$\varphi V_c \leq V_u \leq \varphi (V_c + V_{s,\min})$, perlu tulangan geser minimum.

Beban geser minimum yang dipikul oleh tulangan,

$$V_{s,\min} = \frac{1}{3} b_w \text{ dan } V_{s,\max} = \frac{2}{3} \sqrt{f'_c} b_w d$$

Luas tulangan geser minimum,

$$A_{v,\min} = \frac{b_w S}{3 f_y}$$

Spasi tulangan geser maksimum,

$$S_{\max} \leq \frac{d}{2} \leq 60 \text{ cm}$$

2.3.7 Material

Menurut SNI 2002, baja struktural dapat dibedakan berdasarkan kekuatannya menjadi beberapa jenis, yaitu BJ 34, BJ 37, BJ 41, BJ 50, dan BJ 55.. Sifat mekanis baja struktural yang digunakan dalam perencanaan harus memenuhi persyaratan minimum yang diberikan pada berikut:

Tabel 2.19 Sifat Mekanis Baja

Jenis Baja	Tegangan putus minimum, f_u [Mpa]	Tegangan leleh minimum, f_y [Mpa]	Peregangan minimum [%]
BJ 34	340	210	22
BJ 37	370	240	20
BJ 41	410	250	18
BJ 50	500	290	16
BJ 55	550	410	13

Sifat-sifat bahan struktur yang paling penting dari baja adalah sebagai berikut :

1. Modulus Elastisitas (E)

Modulus elastisitas untuk semua baja 28000 sampai 30000 ksi atau 193000 sampai 207000 MPa. Nilai untuk desain lazimnya diambil sebesar 29000 ksi atau

200000 MPa. Berdasarkan Peraturan Perencanaan Bangunan Indonesia (PPBBI), nilai modulus elastisitas baja adalah $2,1 \times 10^6$ kg/cm² atau $2,1 \times 10^5$ MPa.

2. Modulus Geser (G)

Modulus geser setiap bahan elastis dihitung berdasarkan formula :

$$G = \frac{E}{2(1+\mu)} \quad (2.32)$$

Dimana μ = perbandingan poisson yang diambil sebesar 0,3 untuk baja. Dengan menggunakan $\mu = 0,3$ maka akan memberikan $G = 11000$ ksi atau 77000 MPa. nilai modulus geser baja adalah $0,81 \times 10^6$ kg/cm² atau $0,81 \times 10^5$ MPa.

3. Koefisien Ekspansi (α)

Koefisien ekspansi adalah koefisien pemuaian linier. Koefisien ekspansi baja diambil sebesar 12×10^{-6} per $^{\circ}\text{C}$.

4. Tegangan Leleh

Tegangan leleh adalah tegangan yang terjadi pada saat baja mulai meleleh. Tegangan leleh ditentukan berdasarkan mutu baja.

5. Sifat – sifat lain yang penting.

Sifat – sifat ini termasuk massa jenis baja, yang sama dengan 490 pcf atau 7,850 t/m³, atau dalam berat satuan, nilai untuk baja sama dengan 490 pcf atau 76, 975 kN/m³, berat jenis baja umumnya adalah sebesar 7,85 t/m³.

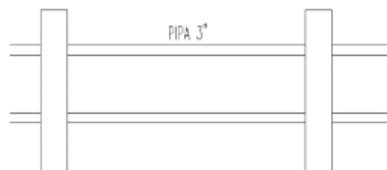
2.4 Bangunan Atas (Superstructure)

Merupakan struktur yang langsung menerima semua beban termasuk beban hidup lalu-lintas dan berat sendiri struktur, bentuk struktur bangunan atas ini menggambarkan tipe atau jenis struktur jembatan. Bangunan atas terdiri dari bagian-bagian, diantaranya:

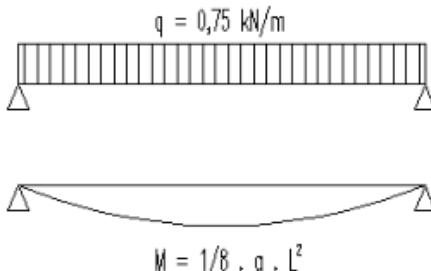
2.4.1 Pipa Sandaran

Pemilihan dimensi pipa sandaran didasarkan pada buku Tabel Prifil Konstruksi Baja (Ir. Rudy Gunawan 1988). Sehingga didapatkan data dimensi profil pipa yaitu:

- Diameter pipa, D (mm)
- Berat pipa, W/G (kg/m)
- Tebal dinding pipa, t (mm)
- Section Modulus, ω (cm^3)
- Luas pipa, A (cm^2)
- Inersia pipa, I (cm^4)



Gambar 2.12 Mekanisme Pembebaan dan Asumsi Struktur Akibat Beban Vertikal pada Pipa



Gambar 2.13 Permodelan Mekanika Teknik Pembebatan dan Asumsi Struktur Akibat Beban Vertikal pada Pipa

- a. Permodelan yang diatas menjelaskan mekanisme pembebatan pada pipa sandaran akibat beban hidup vertikal sehingga didapatkan analisa seperti berikut :

$$Rva = Rvb = \frac{1}{2} \times q \quad (2.33)$$

$$M_{max} = \frac{1}{8} \times q \times l^2 \quad (2.34)$$

- b. Dan juga menjelaskan mekanisme pembebatan pada pipa sandaran akibat beban hidup horizontal sehingga didapatkan analisa seperti berikut :

$$Rha = Rhb \quad (2.35)$$

$$M_{max} = \frac{1}{8} \times q \times l^2 \quad (2.36)$$

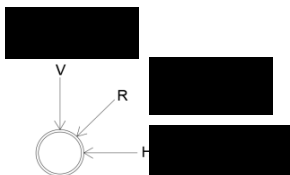
- c. Akibat berat sendiri pipa sandaran :

$$Ra = Rb = \frac{1}{2} \times q \times l \quad (2.37)$$

$$M_{max} = \frac{1}{8} \times q \times l^2 \quad (2.38)$$

- d. Beban Kombinasi

$$M_{kombinasi} v = (M_{hv} \times 2) + (M_{mvx} 1,1)$$



Gambar 2.14 Resultan Momen pada Pipa Sandaran

2.4.2 Tiang Sandaran

Tiang sandaran yang dilengkapi dengan pipa sandaran merupakan bagian struktur jembatan yang dipasang dibagian tepi luar lantai trotoar sepanjang bentang jembatan berfungsi sebagai pengaman untuk pejalan kaki yang lewat di atas trotoar juga merupakan konstruksi pelindung bila terjadi kecelakaan lalu-lintas.

Pipa sandaran pada jembatan berguna sebagai pembatas atau pengaman bagi pejalan kaki yang melintas diatas jembatan agar tidak jatuh kesisi luar dari jembatan. Perencanaan pipa sandaran sesuai dengan *SNI T-02-2005 Standar Pembebanan Jembatan*, harus direncanakan untuk dua pembebanan yang bekerja secara bersamaan dalam arah vertical dan horizontal dengan masing-masing beban sebesar $W^* = 0,75 \text{ kN/m}$.



Gambar 2.15 Asumsi Struktur pada Tiang Sandaran
Dari asumsi pembebanan didapatkan analisa struktur sebagai berikut :

- a. Reaksi yang terjadi pada tiang akibat beban mati dari berat sendiri :

$$R_v = 1 \times q_{\text{pipa}} \times l$$

- b. Reaksi yang terjadi pada tiang akibat beban hidup yang bekerja :

$$R_v = 1 \times q_{\text{hidup}} \times l$$

2.4.3 Trotoar

Merupakan bagian layanan jembatan yang digunakan untuk sarana pejalan kaki, yang berada dibagian pinggir kiri-kanan lantai kendaraan. Ketinggian permukaan lantai trotoar dibuat lebih tinggi dari pada ketinggian permukaan lapisan aus lantai kendaraan.

- Persyaratan Perencanaan Trotoar

“Lebar bersih minimum trotoar antara sandaran atau penghalang-penghalang adalah 1.5 m. apabila tidak terdapat sandaran dalam atau penghalang maka lebar bersih trotoar dapat dikurangi sampai 1.0 m”. BDC, BMS Pasal 1.5.1 hal 1-24 sampai 1-25.

- Analisa Pembebanan

Beban Mati yang bekerja pada trotoar :

- f Beban Sendiri Trotoar,
- f Beban Sendiri Plat Lantai,
- f Beban Pipa Sandaran,
- f Beban Tiang Sandaran,

Beban Mati Tambahan yang bekerja pada trotoar :

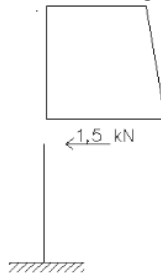
- f Beban air hujan,

Beban Hidup yang bekerja pada trotoar

- f Beban pejalan kaki.

2.4.4 Perencanaan Kerb

Beban hidup pada kerb diperhitungkan sebesar 15 kN/m sesuai dengan *SNI 1725:2016 Standar Pembebanan Jembatan* yang bekerja pada bagian atas kerb sepanjang jembatan dengan horizontal.



Gambar 2.16 Permodelan beban yang bekerja pada kerb

2.4.5 Pelat Lantai

Merupakan bagian konstruksi jembatan yang langsung menerima beban lalu lintas yang berjalan di atasnya, yang di dalam perencanaan diperhitungkan terhadap beban hidup "T" dari tekanan gandar roda kendaraan dan berat konstruksi yang dipikulnya (termasuk berat sendiri lantai). Hubungan antara pelat beton dan balok baja menggunakan hubungan geser, dapat dihitung menggunakan prinsip komposit. Pada perencanaan lantai kendaraan pada jembatan komposit, yang digunakan adalah dek bergelombang. Pelat lantai yang berfungsi sebagai jalan kendaraan pada jembatan harus mempunyai tebal minimum ts sesuai dengan *SNI T-02-2005 Standar Pembebanan Jembatan*.

$$\begin{aligned} ts &\geq 200 \text{ mm} \\ ts &\geq (100 + 40l) \text{ mm} \end{aligned} \quad (2.39)$$

keterangan:

l = bentang pelat diukur dari pusat ke pusat tumpuan (dalam meter)

2.4.6 Gelagar

Unsur komposit terbentuk dari gelagar baja dan lantai beton yang digabungkan agar menghasilkan ketahanan kombinasi yang melebihi jumlah dari bagian tersendiri tanpa digabungkan.

2.4.6.1 Dimensi Efektif Penampang Komposit

Berdasarkan *SNI 1725:2016 hal 51-132* lebar lantai yang dicakup oleh balok baja dalam menghitung besaran penampang komposit adalah nilai terkecil dari :

$$x \frac{1}{5} \text{ panjang bentang} \quad (2.40)$$

$$x \text{ Jarak pusat ke pusat antara badan balok} \quad (2.41)$$

$$x 12 \text{ kali tebal pelat lantai} \quad (2.42)$$

2.4.6.2 Kekuatan Lentur Balok Komposit Tanpa Penyangga

Untuk pelaksanaan tanpa penyangga selama beton masih basah, gelagar baja tidak komposit direncanakan mendukung berat sendiri dan beban pelaksanaan. Setelah beton mengerass, aksi komposit terjadi dan flens atas dianggap tertahan penuh. Gelagar komposit harus memenuhi syarat sebagai berikut :

$$M_n \leq \phi M_s \quad (2.43)$$

a. Penampang Kompak

Untuk penampang komposit dalam daerah momen positif (sub-pasal 8.3.1.2) dengan gelagar tanpa menggunakan pengaku badan memanjang dan tanpa lubang pada pelat sayap profil baja yang tertarik serta sumbu garis netral momen plastis berada di atas bagian sayap, harus direncanakan memenuhi persyaratan pada persamaan dibawah ini :

$$\frac{2h_{cp}}{t_w} \leq 3.76 \sqrt{\frac{E}{f_y}} \quad (2.44)$$

Dimana,

h_{cp} = tinggi badan profil baja yang tertekan pada

perhitungan plastis yang dihitung dengan persamaan 2.53 dan 2.54 (mm)

t_w = ketebalan pelat badan profil pelat baja (mm)

$$\frac{h_{cp}}{h'} G5 \quad (2.45)$$

$$\text{Dengan , } h' = \beta \frac{(H+t_p+t_h)}{7,5} \quad (2.46)$$

$B = 0.9$ untuk $f_y \leq 250$ MPa dan $\beta = 0.7$
untuk $f_y > 250$ MPa

H = tinggi total girder (dari serat atas sampai serat bawah) (mm)

t_p = ketebalan pelat lantai (mm)

t_h = ketebalan bantalan antara pelat lantai dengan serat atas profil baja

Untuk distribusi tekanan plastis dihitung sebagai berikut :

1. Kekuatan tekanan pada pelat lantai, C , sama dengan yang paling kecil untuk nilai-nilai yang diberi oleh persamaan berikut :

$$C = 0,85 f_c b_p t_p + (A f_y)_c \quad (2.47)$$

Dimana,

b_p = lebar plat lantai efektif, yang ditetapkan pasal 8.2.1

t_p = ketebalan pelat lantai, dinyatakan dalam milimeter (mm)

$(A f_y)_c = A$, luas daerah pelat lantai beton yang tertekan (mm^2); f_y , tegangan leleh baja tulangan yang tertekan pada pelat lantai (MPa)

$$C = (A f_y)_{bf} + (A f_y)_{tf} + (A f_y)_w \quad (2.48)$$

Dimana,

$(A f_y)_{bf}$ = A , luas daerah pelat baja serat bawah

(mm^2) ; f_y , tegangan leleh pelat baja serat bawah (MPa)

$(A f_y)_{tf}$ = A , luas daerah pelat baja serat atas (mm^2); f_y , tegangan leleh pelat baja serat atas (MPa)

$(A f_y)_w$ = A , luas daerah badan (mm^2); f_y , tegangan leleh pelat baja serat atas (MPa)

2. Kedalaman daerah tekan pada pelat lantai,a, (mm) dihitung dengan persamaan sebagai berikut :

$$a = \frac{C - (A f_y)_c}{0,85 f_{c'bp}} \quad (2.49)$$

3. Ketika kekuatan tekan pada pelat lantai kurang dari nilai yang diberi oleh persamaan 2.50, maka bagian serat atas profil baja akan tertekan dengan nilai yang diberi oleh persamaan yang berikut :

$$C'' = \frac{\sum(A f_y) - C}{2} \quad (2.50)$$

4. Penempatan garis netral, di dalam profil baja yang diukur dari puncak profil baja adalah ditentukan sebagai berikut :

$$\text{Untuk } C' < (A f_y)_{tf}, \bar{y} = \frac{C''}{(A f_y)_{tf}} t_{tf} \quad (2.51)$$

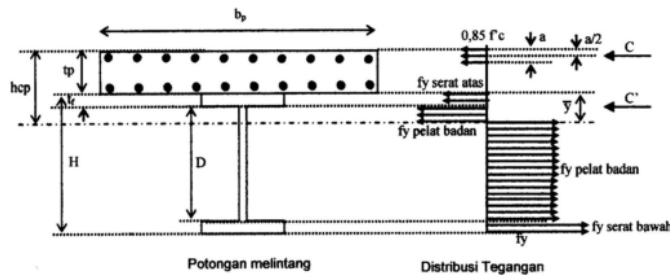
$$\text{Untuk } C' \geq (A f_y)_{tf}, \bar{y} = \frac{C'' - (A f_y)_{tf}}{(A f_y)_w} D \quad (2.52)$$

Dimana,

y = garis netral dari serat atas profil pelat baja (mm);

t_f = ketebalan profil pelat baja pada daerah serat atas (mm);

D = tinggi bersih badan profil baja (mm).



Gambar 2.17 Distribusi tegangan plastis

Untuk kekuatan lentur nominal penampang Ms, harus ditentukan dari rumus sebagai berikut :

1. Untuk $h_{cp} \leq h'$

$$M_s = M_p \quad (2.53)$$

x Mp = kekuatan lentur nominal penampang yang ditentukan dengan teori plastis sederhana.

2. Untuk $h' \leq h_{cp} \leq 5h'$ (2.54)

$$M_s = \frac{5Mp - 0,85My}{4} + \frac{0,85My - Mp}{4} \left(\frac{h_{cp}}{h'} \right) \quad (2.55)$$

Dimana.

M_p = kekuatan lentur nominal penampang yang ditentukan dengan teori plastis sederhana, ($N \cdot m$)

M_y = momen kapasitas pada saat terjadi leher pertama pada gelagor baja komposit akibat momen positif, $f_y Z (N \cdot m)$

Z = modulus penampang bagian profil gelagar yang tertarik dan untuk transformasi penampang beton menjadi baja dapat digunakan modulus rasio, n .

- H = tinggi total girder (dari serat atas sampai serat bawah) (mm)
 tp = ketebalan pelat lantai, dinyatakan dalam milimeter, (mm)
 th = tebal bantalan antara pelat lantai dengan serat atas profil baja (mm)

2.4.7 Diafragma

Diafragma merupakan pengaku dari gelagar-gelagar memanjang dan tidak memikul beban plat lantai dan diperhitungkan seperti balok biasa.

Gelagar melintang jembatan berfungsi untuk menerima beban-beban yang bekerja diatasnya dan menyalurkan ke bangunan dibawahnya. Pembebanan pada gelagar melintang meliputi :

- x Beban mati
Beban mati terdiri dari berat sendiri gelagar

Momen akibat lendutan perlu diperhitungkan karena mempengaruhi besarnya momen yang dipikul pada diafragma.

2.4.8 Shear Connector

Menurut AISC-LRFD kekuatan nominal paku/stud (Qn) adalah :

$$Q_n = \frac{0,0005 \times A_s \times \sqrt{f_{c'} - E_c}}{SF} kN \quad (2.56)$$

Dimana,

- AS = luas penampang penghubung geser jenis paku (konektor stud) (mm^2)
 fc' = kuat tekan beton, (MPa)
 Ec = modulus elastis beton, (MPa)
 SF = momen statis
 Qn = kuat nominal geser untuk penghubung geser, (N)

Untuk perencanaan struktur komposit penuh, maka gaya geser horisontal ditentukan oleh kapasitas tekan beton (V_{hc}) atau kapasitas tarik baja (V_{hs}), diambil yang terkecil :

$$V_{hc} = \frac{0,85 \times f_{c'} \times b_e \times t_b}{SF} \quad (2.57)$$

$$V_{hs} = \frac{A_s \times f_y}{SF} \quad (2.58)$$

2.4.9 Sambungan

2.4.9.1 Luas Baut dan Gaya Tarikan Minimum

Alat sambung mutu tinggi boleh digunakan bila memenuhi ketentuan berikut :

- Komposisi kimiawi dan sifat mekanisnya sesuai dengan ketentuan yang berlaku;
- Diameter batang, luas tumpu kepala baut, dan mur atau penggantinya, harus lebih besar dari nilai nominal yang ditetapkan dalam ketentuan yang berlaku. Ukuran lainnya boleh berbeda;
- Persyaratan gaya tarik minimum alat sambung ditentukan pada Tabel 2.20 di bawah ini :

Tabel 2.20 Gaya Tarik Minimum

Diameter Nominal Baut (Mm)	Gaya Tarik Minimum (kN)
16	95
20	145
24	210
30	335
36	490

Luas baut tarik minimum diberikan dalam Tabel 2.21. tarikan baut minimum diperlukan

untuk baut metrik dalam sambungan, geser diberikan dalam Tabel 2.20.

Tabel 2.21 Luas Baut

Diameter Nominal Baut	Luas Baut (mm ²)		
df (1)	Ae (2)	As (3)	A0 (4)
M16	144	817	201
M20	225	245	314
M24	324	353	452
M30	519	561	706
M36	759	817	1016

Catatan :

- ¾ Ae (2) = luas inti baut, diukur pada diameter lebih kecil dari benang;
- ¾ As (3) = luas untuk menghitung kekuatan tarik;
- ¾ A0 (4) = luas bagian polos nominal baut berdasarkan diameter nominal baut.

2.4.9.2 Kekuatan Geser Nominal Baut

Kekuatan geser V_f , dari baut harus dihitung sebagai berikut :

$$V_f = 0,62 f_{uf} k_r (n_n A_e + n_x A_0) \quad (2.59)$$

Dimana,

f_{uf} = kekuatan tarik minimum baut, (MPa)

k_r = faktor reduksi, untuk memperhitungkan panjang sambungan lebih L_j yang dibaut dapat dilihat pada, untuk semua sambungan lain, $k_r = 1.0$.

n_n = jumlah bidang geser melalui bagian baut.

A_e = luas diameter lebih kecil pada baut, (mm²)

n_x = jumlah bidang geser melalui bagian baut

A_o = luas batang polos nominal pada baut, (mm²)

Tabel 2.22 Faktor Reduksi

Panjang	Faktor Reduksi, Kr
$L_j < 300$	1.0
$300 < L_j < 1300$	$1.075 - L_j/4000$
$L_j > 1300$	0.75

2.4.9.3 Kekuatan Tarik Nominal Baut

Kekuatan tarik nominal baut, N_{tf} , harus dihitung sebagai berikut :

$$N_{tf} = A_s \times f_{uf} \quad (2.60)$$

Dimana,

A_s = luas tegangan tarik baut, mm^2
(lihat Tabel 2.20)

2.4.9.4 Keadaan Batas Ultimate Baut**a. Baut dalam geser**

Baut yang memikul gaya geser rencana, Vf^* harus memenuhi :

$$Vf^* \leq \varphi Vf \quad (2.61)$$

Dimana :

φ = faktor reduksi kekuatan.

Vf = Kekuatan tarik nominal baut, (N)

b. Baut dalam tarik

Baut yang memikul gaya tarik rencana, $(N)tf^*$ harus memenuhi :

$$Ntf^* \leq \varphi Ntf \quad (2.62)$$

Dimana :

φ = faktor reduksi kekuatan.

Ntf = Kekuatan tarik nominal baut, (N)

c. Baut yang memikul kombinasi geser dan tarik

Baut yang memikul gaya geser rencana, Vf^* , dan gaya tarik rencana (N) tf^* , pada waktu sama harus memenuhi :

$$\left(\frac{Ntf^*}{\varphi Ntf} \right) + \left(\frac{Ntf^*}{\varphi Ntf} \right)^2 \leq \varphi 1,0 \quad (2.63)$$

Dimana :

φ = faktor reduksi kekuatan.

Vf = Kekuatan tarik nominal baut, (N)

Ntf = Kekuatan tarik nominal baut, (N)

2.4.9.5 Syarat Jarak Sambungan Baut

a. Jarak minimum

Jarak antara pusat lubang pengencang tidak boleh kurang dari 2,5 kali diameter nominal pengencang.

b. Jarak tepi minimum

Jarak minimum dari pusat pengencang ke tepi pelat atau sayap penampang giling harus sesuai spesifikasi dalam Tabel 2.23

Tabel 2.23 Jarak Tepi Minimum

Pemotongan Tepi dengan Geser atau Tangan dan Api	Pelat Giling, Pemotongan Mesin dengan Api, Gergaji atau Tepi Diratakan	Tepi Hasil Giling dari Penampang Giling
1,75 df	1,50 df	1,25 df

c. Jarak maksimum

Jarak maksimum antara pusat pengencang harus nilai terkecil dari 15 tp (di mana tp adalah tebal pelat lapis tertipis didalam sambungan) atau 200 mm.

Bagaimanapun, dalam hal berikut, jarak maksimum harus sebagai berikut :

- Untuk pengencang yang tidak perlu memikul gaya rencana dalam daerah yang tidak mudah

- berkarat, nilai terkecil dari 32 tp atau 300 mm
- Untuk baris luar dari pengencang dalam arah gaya renacana, nilai terkecil dari $4tp + 100$ mm atau 200 mm.

d. Jarak tepi maksimum

Jarak maksimum dari pusat tiap pengencang ke tepi terdekat dari bagian yang saling bersambungan harus sebesar 12 dikali tebal pelat lapis luar tertipis dalam hubungan, tetapi tidak boleh melebihi 150 mm.

2.4.10 Elastomer (Bearing Pad)

Perancangan bantalan elastomer tipe berlapis dengan perkuatan pelat baja membutuhkan keseimbangan kekakuan untuk menopang beban tekan yang besar untuk mengakomodasi translasi dan rotasi. Tebal bantalan tergantung pada besarnya pergerakan yang diisyaratkan.

Regangan geser akibat translasi harus dibatasi kurang dari 0.5 mm/mm untuk mencegah guling dan kelelahan berlebihan. Ketebalan total elastomer, harus dirancang dua kali lebih besar dari translasi rencana. Untuk memastikan kestabilannya, ketebalan total bantalan karet tidak boleh melebihi $L/3$ dan/atau $W/3$. Semua lapisan internal di dalam bantalan karet harus memiliki ketebalan yang sama dan lapisan karet penutup tidak boleh lebih dari 70% ketebalan lapisan internal layer.

Beban yang harus dihitung diterima oleh bantalan adalah beban hidup ditambah beban mati rencana. Di dalam perhitungan beban-beban ini harus di konversi menjadi tegangan rata-rata berdasarkan luas area bantalan yang menerima beban seperti rumus di bawah ini :

$$\sigma_s = \frac{P_{DL} + P_{LL}}{A} \quad (2.64)$$

$$\sigma_L = \frac{P_{LL}}{A} \quad (2.65)$$

Dimana :

- σ_s = tegangan rata-rata akibat beban total (MPa);
- σ_L = tegangan rata-rata akibat beban hidup (MPa);
- P_{DL} = beban mati rencana (N);
- P_{LL} = beban hidup rencana (N);
- A = luas keseluruhan (bonded surface area) (mm^2)

Kekakuan dari bantalan karet ketika dalam kondisi terbebani pada permukaannya terkekang terhadap gelincir, yang tergantung pada faktor bentuk (S) yang merupakan rasio dari daerah yang tertekan (*area under compression*) terhadap area yang bebas untuk menjadi gembung (*area free to bulge*). Faktor bentuk untuk lapisan-lapisan elastomer tanpa lubang harus dihitung sebagai berikut :

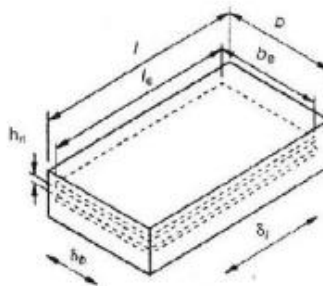
$$S = \frac{A}{I_p h_{ri}} \quad (2.66)$$

$$I_p = 2(L + W) \quad (2.67)$$

$$A = L \cdot W \quad (2.68)$$

Dimana :

- S = faktor bentuk
- A = luas keseluruhan (*bonded surface area*) (mm^2)
- I_p = keliling elastomer, termasuk lubang (*bonded surface perimeter*) (mm)
- h_{ri} = ketebalanefektif karet pada lapisan antara (*internal layer*) (mm)
- L = panjang efektif keseluruhan elastomer (mm)
- W = lebar efektif keseluruhan elastomer (mm)



Gambar 2.18 Representasi Perletakan Bantalan Elastomer

Faktor bentuk (S) harus berada pada batas berikut ini :

$$\times \text{ Untuk bantalan tipe berlapis, } 4 < S < 12 \quad (2.69)$$

Terlepasnya elastomer dari pelat penguatnya juga menjadi hal penting untuk dipertimbangkan. Hal ini dapat dikendalikan dengan membatasi tegangan tekan maksimum akibat kombinasi beban pada elastomer sebesar 7,0 MPa untuk bantalan yang mengalami deformasi geser. Terlepasnya elastomer dari pelat penguatnya dicegah dengan menggabungkan batasan tekan yang dipenuhi berdasarkan persamaan di bawah ini :

$$\sigma_s \leq 7,0 \text{ MPa} \quad (2.70)$$

$$\sigma_s \leq 1,0 \text{ GS} \quad (2.71)$$

Dimana,

G = modulus geser elastomer (MPa);

S = faktor bentuk;

σ_s = tegangan rata-rata akibat beban total (MPa).

Untuk bantalan karet tipe berlapis yang dikekang terhadap deformasi geser, besarnya tegangan

dapat dinaikkan sebesar 10%.

Pemisahan (*separation*) antara ujung bantalan dengan struktur yang menumpu harus dicegah pada saat terjadinya rotasi, karena pemisahan dapat menyebabkan tegangan tarik pada elastomer dan berpotensi menyebabkan sobek (*delaminasi*). Pemisahan dicegah dengan menggabungkan batasan tekan dan rotasi. Toleransi rotasi untuk pelaksanaan yang diizinkan menurut *AASTHO LRFD 4th Edition tahun 2005* sebesar 0.005 radian.

$$\sigma_s \geq 0,5 GS \left(\frac{L}{h_{ri}} \right)^2 \frac{\theta_{s,x}}{n} \quad (2.72)$$

$$\sigma_s \geq 0,5 GS \left(\frac{W}{h_{ri}} \right)^2 \frac{\theta_{s,x}}{n} \quad (2.73)$$

Dimana,

n = jumlah lapisan internal karet

G = modulus geser elastomer (MPa)

$\theta_{s,x}$ = maksimum perputaran pada setiap sumbu (rad)

S = faktor bentuk

h_{ri} = ketebalan lapisan internal (mm)

W = lebar dari bantalan elastomer (tegak lurus terhadap sumbu memanjang jembatan) (mm)

L = panjang dari bantalan elastomer (sejajar dengan sumbu memanjang jembatan) (mm)

Tegangan tarik akan terjadi pada pelat baja karena menahan pergerakan karet. Tegangan tarik ini dapat menentukan tebal pelat yang dibutuhkan, sehingga tebal pelat harus ditentukan berdasarkan :

$$hs \geq \frac{3h_{rmax}\sigma_s}{f_y} \quad (2.74)$$

Untuk perhitungan ketahanan fatik berdasarkan *AASTHO LRFD 4th Edition tahun 2007 pasal 6.6.1.2.5*, kebutuhan pelat ditentukan berdasarkan :

$$h_s \geq \frac{2h_{r\max}\sigma_L}{\Delta F_{TH}} \quad (2.75)$$

Dimana,

- $h_{r\max}$ = ketebalan maksimum lapisan elastomer pada bantalan elastomer (mm)
- h_s = ketebalan lapisan pelat pada elastomer berlapis pelat (mm)
- f_y = batas ulur dari pelat baja yang digunakan (MPa)
- ΔF_{TH} = batas fatik (*constant amplitude fatigue threshold*) yang digunakan (MPa)
- σ_s = tegangan rata-rata akibat beban total (MPa)
- σ_L = tegangan rata-rata akibat beban hidup (MPa)

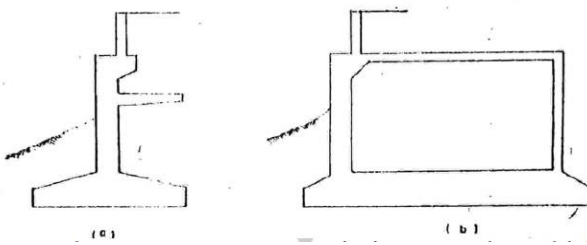
2.5 Bangunan Bawah

Menurut Departemen Pekerjaan Umum (modul Pengantar Dan Prinsip-Prinsip Perencanaan Bangunan Bawah / Pondasi Jembatan, 1998), fungsi utama bangunan bawah adalah memikul beban – beban pada bangunan atas dan pada bangunan bawahnya sendiri untuk disalurkan ke pondasi. Yang selanjutnya beban-beban tersebut oleh pondasi disalurkan ke tanah. Macam dan bentuk bangunan bawah.

Bangunan bawah jembatan ada dua macam:

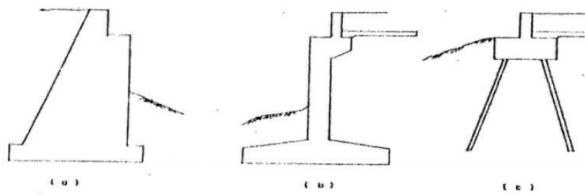
2.5.1 Kepala Jembatan (abutment)

Karena letak abutment yang berada di ujung jembatan maka abutment ini berfungsi juga sebagai penahan tanah. Umumnya abutment dilengkapi dengan konstruksi sayap yang berfungsi menahan tanah dalam arah tegak lurus as jembatan.



Gambar 2.19 Bentuk Abutment

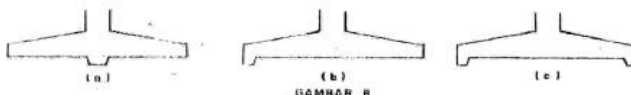
Bentuk umum abutment pada **Gambar 2.19** Sering kita jumpai baik pada jembatan-jembatan baru dan jembatan-jembatan lama. **Gambar 2.19(a)** menunjukkan abutment dari pasangan batu, dan **Gambar 2.19 (b)** dan **Gambar 2.19 (c)** dari beton bertulang (*reinforced concrete*). Bila abutment ini makin tinggi, maka berat tanah timbunan dan tekanan tanah aktif makin tinggi pula, sehingga sering kali dibuat bermacam-macam bentuk untuk mereduksi pengaruh-pengaruh tersebut.



Gambar 2.12 (a). menunjukkan abutment yang dibuat edemikian rupa sehingga dapat mereduksi momen / tekanan tanah aktif. Dan **Gambar 2.12 (b)** menunjukkan abutment yang dibelakangnya dibuat (dikombinasikan) dengan semacam box kosong. Disini dimaksudkan untuk mengurangi berat tanah timbunan.

Disamping beban-beban vertical dan momen tersebut, kadang-kadang gaya-gaya horizontal yang timbul asih cukup besar sehingga, misalnya pada abutment dengan pondasi

langsung yang mana didalam perhitungannya masih didapatkan koefisien keamanan terhadap geser yang belum mencukupi persyaratan, maka sering ditempuh cara lain misalnya dengan memberikan semacam kaki atau tumit pada pondasinya. Cara meletakkan tumit bias bermacam-macam (lihat gambar 2.13).



Gambar 2.21 Cara Meletakkan Tumit

2.5.2 Pondasi Telapak

Pondasi merupakan bagian struktur paling bawah dari suatu struktur bangunan yang berfungsi sebagai menyalurkan beban terpusat dari bangunan bawah ke dalam tanah pendukung sehingga hasil tegangan dan gerakan tanah dapat dipikul oleh struktur keseluruhan. Jenis pondasi yang umum digunakan adalah pondasi dangkal berupa pondasi langsung dan sumuran, dan pondasi dalam berupa pondasi tiang pancang, tiang bor dan sumuran (*Bridge Design Manual, BMS hal 3-3*). Penentuan jenis pondasi dipengaruhi oleh keadaan tanah sekitar bangunan dan jenis bangunan itu sendiri.

Tahapan perencanaan pondasi menurut BMS adalah sebagai berikut:

1. Periksa rencana tahanan lateral ultimit (*Bridge Design Manual, BMS hal 9-3*).

$$SF = \frac{\text{Jumlah momen U.L.S yang menahan geser}}{\text{Jumlah momen U.L.S yang menyebabkan geser}} \geq 1,1 \quad (2.76)$$
2. Periksa stabilitas terhadap putar rotasi (*Bridge Design Manual, BMS hal 9-12*)

$$SF = \frac{\text{Jumlah momen U.L.S yang menahan guling}}{\text{Jumlah momen U.L.S yang menyebabkan guling}} \geq 1,1 \quad (2.77)$$

3. Periksa rencana kapasitas daya dukung ultimate (*Bridge Design Manual, BMS hal 9-14*)

$$SF = \frac{\text{Rencana kap. daya dukung ultimate}}{\text{Jumlah beban U.L.S yang bekerja}} \geq 1 \quad (2.78)$$

4. Periksa agar penurunan, perpindahan geseran lateral dan rotasi (*Bridge Design Manual, BMS hal 9-25*).

Terangkatnya pondasi tidak menyebabkan jembatan menjadi tidak layak.

2.5.3 Pondasi Tiang Pancang

Pondasi tiang pancang direncanakan untuk memiliki tahanan aksial dan lateral terfaktor yang cukup dan menahan gaya horizontal yang dihasilkan akibat penjalaraan lateral.

Tahap perencanaan tiang pancang menurut *BMS – Bridge Design Code* adalah sebagai berikut :

- Rencanakan panjang tiang dan penampang sehingga dapat direncanakan kapasitas aksial ultimate. (*Bridge Design Code, BMS hal 8-2*).
- Periksa apakah rencana kapasitas beban lateral ultimate melebihi rencana pembebanan lateral ultimate. (*Bridge Design Code, BMS hal 8-19*).
- Periksa apakah penurunan vertical tidak akan menyebabkan keruntuhan struktur (*Bridge Design Code, BMS hal 8-37*).
- Periksa apakah lendutan lateral tidak menyebabkan keruntuhan struktur. (*Bridge Desugn Code, BMS hal 8-44*)
- Periksa stabilitas keseluruhan untuk pondasi tiang.
- Rencanakan tiang pancang untuk keawetan syarat structural baik. (*Bridge Design Code, BMS hal 8-51*)

2.6 Bangunan Pelengkap Jembatan

2.6.1 Pelat Injak

Pelat injak berfungsi memberi bidang datar sebelum memasuki lantai jembatan sehingga dapat meminimalisir kerusakan pada lantai jembatan, dan juga digunakan

untuk mengurangi penurunan tanah timbunan yang terdapat pada bagian belakang abutment.

Berdasarkan *Bridge Design Manual, BMS hal 3-31* untuk dimensi permulaan Panjang pelat injak dapat diambil sebesar 2500 mm dan tebal sebesar 200 mm. Dan untuk lebar tergantung pad akelas jembatan, umumnya lebar jalan kendaraan dengan kebebasan 600 mm terhadap tembok sayap.

2.6.2 Tembok Sayap

Tembok sayap atau wing wall berfungsi untuk menahan tanah timbunan yang berada pada bagian belakang abutment tidak longsong kesamping jika terdapat beban lalu lintas.

Berdasarkan *Bridge Design Manual, BMS hal 3-31* untuk lebar tembok sayap dapat diambil sebagai 1/20 tinggi tembok sayap atau minimum sebesar 200 mm

Untuk pembebanan tembok sayap diasumsikan bahwa tembok sayap dibebani oleh gaya horizontal yang tegak lurus dinding (*Bridge Design Code, BMS hal 6-96 pasal 6.9.2.4*).

“Halaman ini sengaja dikosongkan”

BAB III **METODOLOGI**

3.1 Uraian

Persoalan awal yang dihadapi dalam perencanaan jembatan adalah penetapan panjang, bentang efektif, posisi pangkal dan pilar jembatan, arah lintasan, kebebasan ruang, dan penurunan pondasi. Faktor-faktor ini dipengaruhi oleh kondisi topografi, kekuatan dasar tanah, karakteristik perlintasan, dan kondisi lingkungan pada lokasi perencanaan. Sehingga diperlukan survey yang memadai sesuai dengan faktor-faktor yang dipertimbangkan tersebut. Pengumpulan data-data dalam proses perencanaan sangatlah penting, oleh karena itu sebelum sampai pada tahap pelaksanaan konstruksi, paling tidak seorang perancang telah memiliki data-data, baik data sekunder maupun primer.

3.2 Melakukan Pengumpulan data-data

Data-data yang diperlukan dalam perencanaan ulang jembatan adalah sebagai berikut :

1. Data penyelidikan tanah
2. Data survey topografi
3. Data perencanaan jembatan
4. Gambar-gambar perencanaan jembatan

3.3 Studi Literatur

Buku-buku referensi sangat diperlukan dalam pembuatan laporan proposal tugas akhir ini, karena dengan itu kita dapat dengan mudah menambahkan informasi lebih banyak tentang perencanaan jembatan dari para penulis yang telah banyak pengalaman dalam dunia teknik sipil khususnya dunia proyek. Selain itu juga, buku-buku tersebut dapat digunakan sebagai acuan dalam perencanaan pembangunan jembatan ini.

Dalam perencanaan jembatan, tentunya diperlukan peraturan-peraturan yang mengatur tentang perencanaan jembatan, seperti di bawah ini :

1. SNI 1725:2016 Pembebanan untuk Jembatan
2. RSNI T-03-2005 Perencanaan Struktur Baja Jembatan
3. RSNI T-12-2004 Perencanaan Struktur Beton untuk jembatan
4. SNI 2833:2008 Standar Perencanaan Ketahanan Gempa untuk Jembatan
5. RSNI 2833:201X Perancangan Jembatan terhadap Beban Gempa

BMS'92 (*Bridge Management System*), BDM (*Bridge Desain Manual*), dan lain-lain. Dengan buku peraturan tersebut, kita dapat merencanakan ulang jembatan sesuai peraturan yang telah ditetapkan didalamnya.

3.4 Spesifikasi Desain Jembatan

3.4.1 Metode Desain Jembatan

Modifikasi Jembatan Plapar didesain menjadi jembatan baja komposit untuk bentang sepanjang 50 m. Jembatan Pelapar didesain memiliki lebar lantai kendaraan 10,0 m yang terbagi atas dua jalur yang pada setiap jalur terdiri dari satu lajur dan didesain terdapat trotoar selebar 1,0 m di setiap sisi jembatan. Pembebanan menggunakan rencana keadaan batas yaitu mengalikan beban dengan faktor beban untuk keadaan ultimate. Untuk beban mati ultimate dikalikan dengan faktor beban 1,3 dan untuk beban hidup ultimate dikalikan faktor beban 1,8 hal ini berlaku untuk setiap menghitung bangunan atas jembatan.

3.4.2 Urutan Desain Jembatan

3.4.2.1 Desain Elemen Struktur Bangunan Atas

Setelah mengetahui beban-beban yang bekerja pada struktur, maka proses selanjutnya adalah proses analisa struktur. Dalam proses analisa struktur menggunakan analisa perhitungan yang bersumber dari peraturan yang masih berlaku. Langkah-langkah dalam analisa struktur antara lain :

a. Desain Dimensi Struktur

Merencanakan setiap dimensi struktur penyusun bangunan atas jembatan disesuaikan dengan peraturan-peraturan yang digunakan. Desain struktur bangunan atas jembatan antara lain adalah sebagai berikut :

- x Desain pipa dan tiang sandaran;
- x Desain trotoar dan kerb;
- x Desain pelat lantai;
- x Desain gelagar komposit;
- x Desain diafragma;
- x Desain shear connector;
- x Desain sambungan baja;
- x Desain elastomer.

b. Pembebanan Struktur

Menganalisa seluruh beban yang diterima struktur jembatan yang didesain untuk bangunan atas, adapun diantaranya :

- x Beban mati, yaitu beban sendiri bangunan;
- x Beban mati tambahan, yaitu beban aspal dan beban air hujan;
- x Beban hidup, yaitu beban truk, BGT dan BTR.

c. Penulangan

Penulangan menggunakan rumus yang telah dijelaskan pada Bab II untuk mendapatkan tulangan lentur, tulangan bagi dan tulangan geser.

d. Perhitungan Kekuatan Gelagar

Perhitungan kekuatan gelagar baja komposit menggunakan rumus yang telah dijelaskan pada Bab II untuk mendapatkan momen lentur gelagar

3.4.2.2 Desain Elemen Struktur Bangunan Bawah

Bangunan bawah jembatan meliputi bangunan kepala jembatan sampai pada pondasi. Pada perencanaan Jembatan Gondang kali ini, meliputi :

a. Desain Dimensi Struktur

Merencanakan setiap dimensi struktur penyusun bangunan atas jembatan disesuaikan dengan peraturan-peraturan yang digunakan. Desain struktur bangunan bawah jembatan antara lain adalah sebagai berikut :

- x Abutment;
- x Pondasi.

b. Pembebanan Struktur

Menganalisa seluruh beban yang diterima struktur jembatan yang didesain untuk bangunan atas, adapun diantaranya :

- x Beban akibat aksi tetap : berupa beban struktur sendiri dan beban tekanan tanah;
- x Beban akibat lalu lintas : berupa beban lajur "D", beban pejalan kaki, dan gaya rem;
- x Beban akibat lingkungan : berupa beban angin, beban gempa, dan beban tekanan tanah dinamis.

c. Penulangan

Penulangan menggunakan rumus yang telah dijelaskan pada Bab II untuk mendapatkan tulangan lentur, tulangan bagi dan tulangan geser.

d. Kontrol

Kontrol pada bangunan bawah meliputi kontrol terhadap momen guling dan geser.

3.4.2.3 Desain Bangunan Pelengkap**a. Desain Dimensi Struktur**

Merencanakan setiap dimensi struktur penyusun bangunan atas jembatan disesuaikan dengan peraturan-peraturan yang digunakan. Desain struktur bangunan bawah jembatan antara lain adalah sebagai berikut :

- x Pelat injak;
- x Dinding sayap (wing wall).

b. Pembebanan Struktur

Menganalisa seluruh beban yang diterima struktur jembatan yang didesain untuk bangunan atas, adapun diantaranya :

- x Beban mati berupa beban struktur sendiri
- x Beban hidup
- x Beban akibat tekanan tanah
- x Beban gempa
- x Beban tekanan tanah dinamis

c. Penulangan

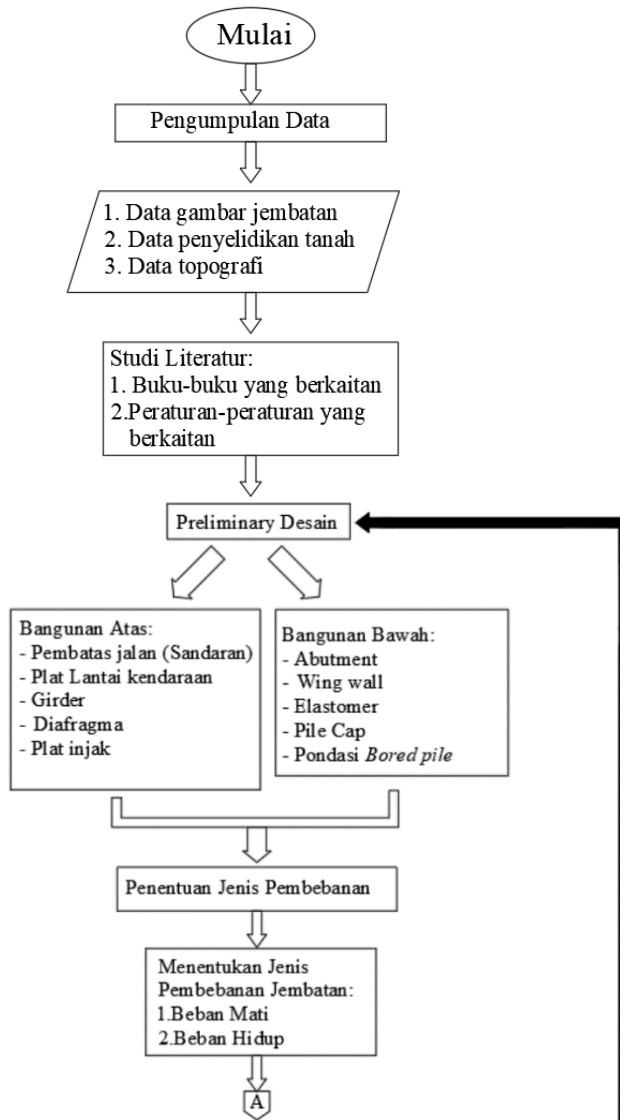
Penulangan menggunakan rumus yang telah dijelaskan pada Bab II untuk mendapatkan tulangan lentur, tulangan bagi dan tulangan geser.

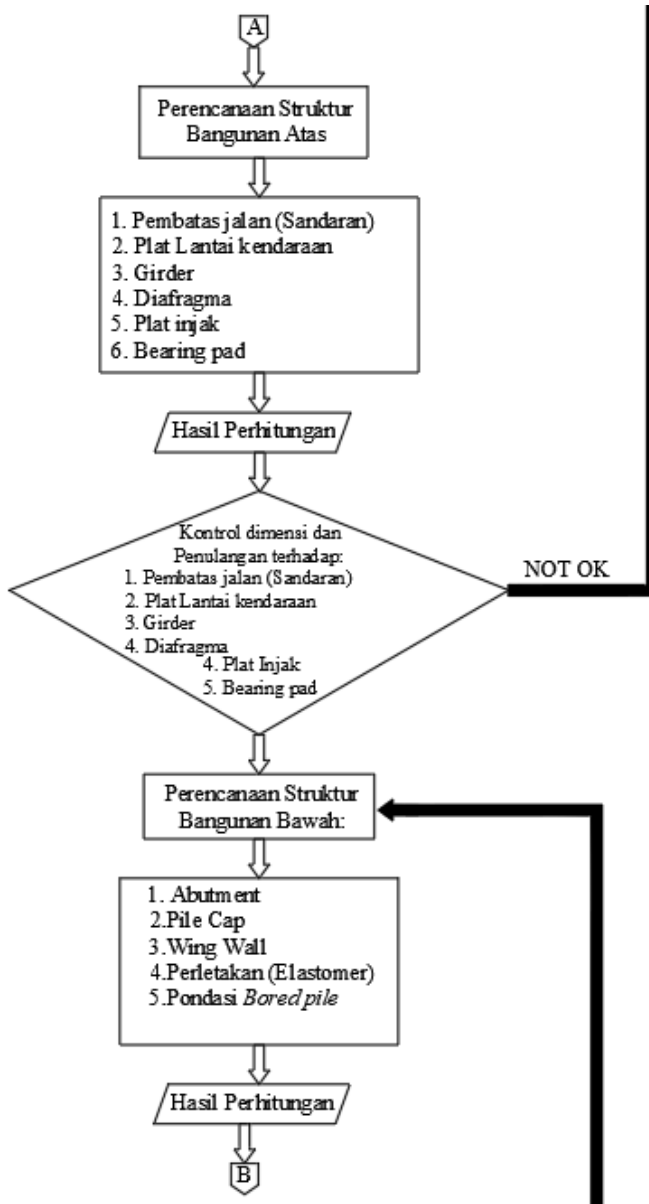
3.5 Penggambaran

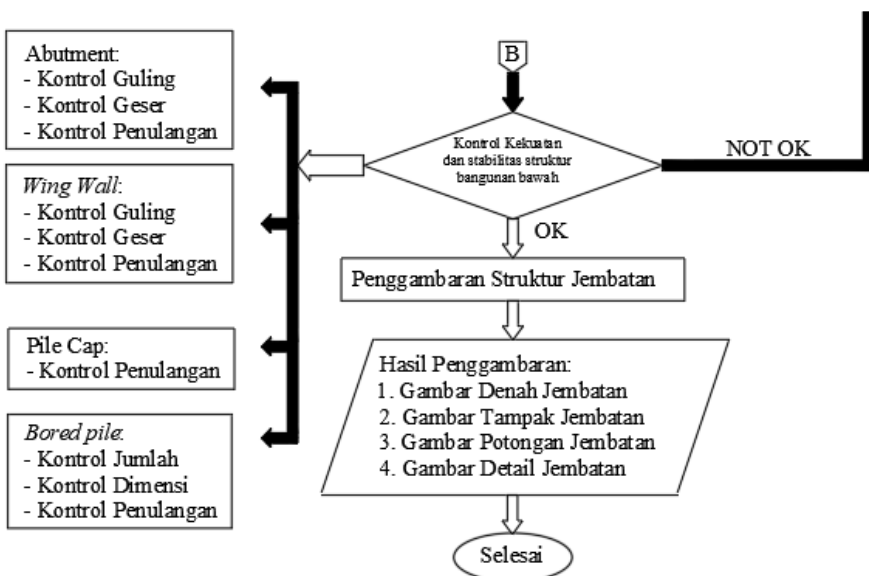
Hasil penggambaran yang dilakukan berupa :

1. Gambar layout/ denah jembatan;
2. Gambar tampak jembatan;
3. Gambar potongan;
 - f* Potongan memanjang jembatan;
 - f* Potongan melintang jembatan.
4. Gambar detail
 - f* Detai penulangan tiang sandaran;
 - f* Detail penulangan trotoar;
 - f* Detail penulangan pelat lantai;
 - f* Detail penulangan abutment;
 - f* Detai penulangan pondasi;
 - f* Detail penulangan pelat injak
 - f* Detail penulangan dinding sayap/wing wall

3.6 Flow Chart







“Halaman ini sengaja dikosongkan”

BAB IV

PERHITUNGAN BANGUNAN ATAS

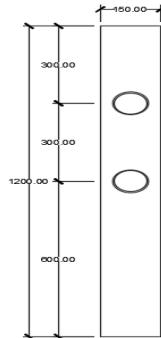
4.1 Data Desain Jembatan

4.1.1 Data-Data Desain

Nama Jembatan	:	Jembatan Plapar
Lokasi Jembatan	:	
Kelas Jembatan	:	
Konstruksi Jembatan	:	
x Bentang Jembatan (L)	:	50 m
x Lebar Jembatan (B)	:	12 m
x Lebar Jalur	:	10 m
x Lebar Trotoar	:	1.0 m
Spesifikasi Bahan		
1. Beton		
x Mutu Beton	:	
x Kuat Tekan Beton (f_c')	:	
x Modulus Elastisitas	:	
2. Baja Tulangan		
x Mutu Baja $d \geq 12$ mm	:	
- Tegangan Ultimate (f_u)	:	
- Tegangan Leleh (f_y)	:	
3. Baja Gelagar		
x Mutu baja $d \leq 12$ mm	:	
- Tegangan Ultimate (f_u)	:	
- Tegangan Leleh (f_y)	:	
4. Berat Isi Beban Mati		
x Lapisan Beraspal (W_a)	:	22 kN/m^3
x Beton Bertulang (W_c)	:	25 kN/m^3
x Beton Tak Bertulang ($W'c$)	:	24 kN/m^3
x Baja	:	77 kN/m^3
x Air (W_t)	:	$9,8 \text{ kN/m}^3$

4.2 Tiang Sandaran

4.2.1 Desain Tiang Sandaran



Gambar 4.1 Desain Tiang Sandaran

Data-data tiang :

Panjang tiang sandaran	(h)	= 0,2 m
Lebar tiang sandaran	(b)	= 0,15 m
Tinggi tiang sandaran	(t)	= 1,2 m
Tebal selimut beton	(d')	= 20 mm
Jarak antar tiang sandaran	(l)	= 2 m
Tegangan leleh baja	(fy)	= 240 MPa
Kuat tekan beton	(fc')	= 25 MPa
Bj beton	(Wc)	= 25 kN/m ³
Diameter tulangan lentur	(ø)	= 12 mm
Diameter tulangan bagi	(ø)	= 10 mm

4.2.2 Pembebanan

Beban yang terjadi pada tiang sandaran berasal dari berat pipa sandaran (V), berat tiang sandaran sendiri (S), dan gaya horizontal.

- Beban Vertikal

- Beban Mati :

$$\begin{aligned}
 \text{Berat pipa (P}_1\text{)} &= q \times l \times n \\
 &= 0,0713 \text{ kN/m} \times 2 \text{ m} \times 2 \\
 &= 0,2852 \text{ kN}
 \end{aligned}$$

$$\begin{array}{rcl}
 \text{Berat tiang } (P_2) & = & h \times b \times t \times W_c \\
 & = & 1,2\text{m} \times 0,2\text{m} \times 0,15\text{m} \times 25\text{kN/m}^3 \\
 & = & 0,900 \text{ kN} \\
 \hline
 P_D & = & 1,185 \text{ kN}
 \end{array} \quad +$$

- Beban hidup
- Beban rencana sandaran pejalan kaki
(qL) = 1 kN/m

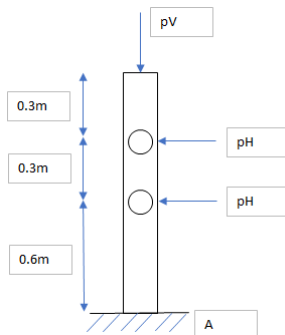
$$\begin{aligned}
 P_L &= qL \times L \times 2 \\
 &= 1 \text{ kN/m} \times 2 \text{ m} \times 2 \\
 &= 4 \text{ kN}
 \end{aligned}$$

Beban ultimate vertikal

$$\begin{aligned}
 qv &= 1,3 P_D + 1,8 P_L \\
 &= 1,3 (1,185 \text{ kN}) + 1,8 (4 \text{ kN}) \\
 &= 8,74 \text{ kN}
 \end{aligned}$$

- Beban Horizontal
- $$\begin{aligned}
 qh &= 1,8 \times qL \times 1 \\
 &= 1,8 \times 1 \text{ kN/m} \times 2 \text{ m} \\
 &= 3,60 \text{ kN}
 \end{aligned}$$

4.2.3 Analisa Struktur



Gambar 4.2 Pembebanan Tiang Sandaran

$$\begin{aligned} HA &= n \times qh \\ &= 2 \times 3,60 \text{ kN} \\ &= 7,20 \text{ kN} \end{aligned}$$

$$VA = qv = 8,74 \text{ kN}$$

$$\begin{aligned} M_{\max} &= (qh \times 0,9) + (qh \times 0,6) \\ &= (3,60 \text{ kN} \times 0,9) + (3,60 \text{ kN} \times 0,6) \\ &= 5,40 \text{ kN.m} \end{aligned}$$

4.2.4 Penulangan pada Tiang Sandaran

$$\begin{aligned} d &= h - d' - \frac{1}{2}\varnothing \text{ tul. utama} - \varnothing \text{ tul.bagi} \\ &= 200 - 20 - \frac{1}{2}(12) - 10 \\ &= 164 \text{ mm} \end{aligned}$$

$$M_n = \frac{M_{\max}}{\phi} = \frac{5400000}{0,8} = 6750000 \text{ Nmm}$$

$$R_n = \frac{M_n}{bd^2} = \frac{6750000 \text{ Nmm}}{150 \text{ mm} \times 26896 \text{ mm}^2} = 1,67 \text{ N/mm}^2$$

$$m = \frac{f_y}{0,85 f_c} = \frac{240}{0,85 \times 25 \text{ MPa}} = 11,29$$

$$\begin{aligned} \rho &= \frac{1}{m} \times \left(1 - \sqrt{1 - \left(\frac{2mR_n}{f_y} \right)} \right) \\ &= \frac{1}{15,06} \times \left(1 - \sqrt{1 - \left(\frac{2 \times 15,06 \times 1,67}{240} \right)} \right) \\ &= 0,007 \end{aligned}$$

$$\begin{aligned} \rho_{\min} &= \frac{1,4}{f_y} = \frac{1,4}{240} \\ &= 0,006 \end{aligned}$$

$$\begin{aligned}
 \rho_{\text{maks}} &= 0,75 \times \frac{0,85 f_{c'}}{f_y} \times \beta_1 \times \frac{600}{600+f_y} \\
 &= 0,75 \times \frac{0,85 \times 25}{240} \times 0,85 \times \frac{600}{600+240} \\
 &= 0,047
 \end{aligned}$$

Cek,

$$\rho_{\text{min}} < \rho < \rho_{\text{maks}}$$

$$0,006 < 0,007 < 0,047$$

$$\text{Maka } \rho = 0,007$$

OK

a. Perhitungan Tulangan Utama

$$\begin{aligned}
 As &= \rho \times b \times d \\
 &= 0,007 \times 150 \times 164 \\
 &= 178,84 \text{ mm}^2
 \end{aligned}$$

Digunakan tulangan **4 Ø 12 untuk satu sisi**

$$\begin{aligned}
 As_{\text{pasang}} &= \frac{1}{4} \pi \times \varnothing p^2 \times n \\
 &= \frac{1}{4} \pi \times (12 \text{ mm})^2 \times 4 \\
 &= 452,39 \text{ mm}^2
 \end{aligned}$$

b. Tulangan Bagi

$$\begin{aligned}
 As_{\text{geser}} &= 20\% \times As_{\text{pasang}} \\
 &= 20\% \times 452,39 \text{ mm}^2 \\
 &= 90,48 \text{ mm}^2
 \end{aligned}$$

Dipasang tulangan geser Ø10, maka jarak minimum antar tulangan :

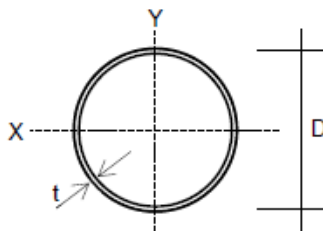
$$\begin{aligned}
 s &= \frac{\frac{1}{4} \times \pi \times \varnothing g^2 \times b}{As} \\
 &= \frac{\frac{1}{4} \times \pi \times (10 \text{ mm})^2 \times 150 \text{ mm}}{90,48 \text{ mm}^2} \\
 &= 130,208 \text{ mm}
 \end{aligned}$$

Maka dipasang tulangan bagi Ø10 – 100 mm

4.3 Pipa Sandaran

4.3.1 Desain Dimensi Pipa Sandaran

Desain dimensi pipa sandaran didasarkan pada buku *Tabel Profil Konstruksi Baja (Ir. Rudy Gunawan 1998)*.



Gambar 4.3 Potongan Pipa

Berat pipa	q	= 7,13 kg/m
Ketebalan	t	= 0,42 cm
Diameter pipa sandaran	d	= 89,1 cm
Jari-jari girasi	r	= 2,56 cm
Panjang pipa sandaran	l	= 2 m
Luas penampang pipa	A_g	= 9,085 cm ²
Modulus penampang	S	= 15,5 cm ³
Momen inersia	I	= 59,5 cm ⁴

Mutu Baja BJ - 37

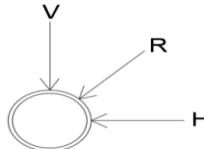
Tegangan leleh baja (f_u) = 370 MPa

 (f_y) = 240 MPa

Tegangan ijin baja σ_{ijin} = 160 MPa

Modulus elastisitas baja Es = 200000 MPa

4.3.2 Pembebanan



Gambar 4.4 Pembebanan Pipa Sandaran

Beban Vertikal (qv)

$$\text{Beban hidup (qd)} = 1,00 \text{ kN/m}$$

$$\text{Berat pipa (ql)} = 0,0713 \text{ kN/m}$$

$$\begin{aligned} qv &= 1,3qd + 1,8 ql \\ &= (1,3 \times 0,0713 \text{ kN/m}) + (1,8 \times 1 \text{ kN/m}) \\ &= 0,821 \text{ kN/m} \end{aligned}$$

Beban Horizontal

$$\begin{aligned} qh &= 1,8 ql \\ &= 1,8 \times 1 \text{ kN/m} \\ &= 1,8 \text{ kN/m} \end{aligned}$$

4.3.3 Analisa Struktur

$$\begin{aligned} R &= \sqrt{quv^2 + quh^2} \\ &= \sqrt{(1,893 \text{ kN.m})^2 + (1,8 \text{ kN.m})^2} \\ &= 2,612 \text{ kN.m} \end{aligned}$$

$$\begin{aligned} Va &= Vb = \frac{1}{2} \times q \times L \\ &= \frac{1}{2} \times 2,612 \text{ kN/m} \times 2 \text{ m} \\ &= 2,612 \text{ kN} \end{aligned}$$

$$\begin{aligned} M_{max} &= \frac{1}{8} \times q \times L^2 \\ &= \frac{1}{8} \times 2,612 \text{ kN} \times (2)^2 \\ &= 1,306 \text{ kN.m} \end{aligned}$$

4.3.4 Kontrol Terhadap Bahan dan Tegangan pada Pipa Sandaran

- Periksa kelangsungan penampang

$$\frac{D}{t} \leq \frac{14800}{f_y}$$

$$\frac{89,1 \text{ mm}}{4,2 \text{ mm}} \leq \frac{14800}{240 \text{ MPa}}$$

$$21,21 \leq 61,67$$

Penampang Kompak

- Kontrol terhadap momen

$$Mu = 1,306 \text{ kN.m}$$

$$Mp = Mn = \frac{Mu}{\phi}$$

$$= \frac{1,306}{0,9}$$

$$= 1,451 \text{ kN.m}$$

$$Mp = 1,5 My$$

$$= 1,5 \times f_y \times S$$

$$= 1,5 \times 240 \text{ MPa} \times 15600 \text{ mm}^3$$

$$= 5616000 \text{ N.mm}$$

$$= 5,616 \text{ kN.m}$$

Berdasarkan RSNI T-03-2005 momen lentur harus diambil yang lebih kecil dari Mpa dan 1,5 My yaitu sebesar 0,624 kN.m

- Terhadap lendutan/kekakuan

$$\frac{5 \times q \times l^4}{384 \times E \times I} \leq \frac{l}{240}$$

$$\frac{5 \times 2,612 \text{ kNm} \times (2000 \text{ mm})^4}{384 \times 200000 \text{ MPa} \times 595000 \text{ mm}^4} \leq \frac{2000 \text{ mm}}{240}$$

$$4,573 \text{ mm} \leq 8,33 \text{ mm}$$

Lendutan OKE

- Terhadap geser

$$\begin{aligned} V_n &= 0,36 \times f_y \times A_g \\ &= 0,36 \times 240 \text{ MPa} \times 908,5 \text{ mm}^2 \\ &= 78494,4 \text{ N} = 78,4944 \text{ kN} \end{aligned}$$

Syarat,

$$\begin{array}{lcl} V_u & \leq & \phi \cdot V_n \\ 0,419 \text{ kN} & \leq & 0,9 \times 78,494 \text{ kN} \\ 0,419 \text{ kN} & \leq & 70,645 \text{ kN} \end{array}$$

Geser OKE

- Kontrol terhadap interaksi geser dan lentur

$$\begin{array}{lcl} \text{Syarat, } \frac{M_u}{\phi M_n} + 0,625 \frac{V_u}{\phi V_n} & \leq & 1,375 \\ \frac{1,306 \text{ kN.m}}{1,306 \text{ kN.m}} + 0,625 \frac{2,612 \text{ kN}}{70,645 \text{ kN}} & \leq & 1,375 \\ 1 + 0,037 & \leq & 1,375 \\ 1,037 & \leq & 1,375 \end{array}$$

Interaksi geser dan lentur OKE

4.4 Trotoar

4.4.1 Data Trotoar

Tebal pelat lantai

Tebal trotoar t_t = 200 mm

Lebar trotoar b = 1000 m

Lebar yang ditinjau b_2 = 1000 m

Diameter tulangan utama = 12 mm

Diameter tulangan bagi = 10 mm

Tebal selimut beton d' = 35 mm

Kuat tekan beton $f_{c'}$ = 25 MPa

Tegangan leleh baja f_y = 320 MPa

Berat isi beton bertulang = 25 kN/m³

Berat isi beton tak bertulang = 24 kN/m³

Beban pejalan kaki q = 5 kN/m²

4.4.2 Pembebanan

o Beban mati

$$\begin{aligned} - \text{ Berat sendiri } q_1 &= b_2 \times h \times W'c \\ &= 1m \times 0,20m \times 25\text{kN/m}^3 \\ &= 5 \text{kN/m} \end{aligned}$$

$$\begin{aligned} - \text{ Berat pelat lantai } q_2 &= b_2 \times t_s \times W_c \\ &= 1m \times 0,3m \times 25 \text{kN/m}^3 \\ &= 7,5 \text{kN/m} \end{aligned}$$

$$qd = 12,5 \text{kN/m} +$$

o Beban Hidup

$$qL = h_l \times q = 0,20 \text{ m} \times 5 \text{kN/m}^2 = 1,00 \text{kN/m}$$

4.4.3 Analisa Struktur

$$\begin{aligned} M_D &= 1/8 \times qD \times l^2 \\ &= 1/8 \times 12,5 \text{kN/m} \times (1\text{m})^2 \\ &= 1,562 \text{kN.m} \end{aligned}$$

$$\begin{aligned} M_L &= qL \times l^2 \\ &= 1,00 \text{kN/m} \times (1\text{m})^2 \\ &= 1,00 \text{kN.m} \end{aligned}$$

$$\begin{aligned} Mu &= 1,3 M_D + 1,8 M_L \\ &= (1,3 \times 1,56 \text{kN.m}) + (1,8 \times 1,00 \text{kN.m}) \\ &= 3,831 \text{kN.m} \end{aligned}$$

4.4.4 Penulangan Trotoar

$$\begin{aligned} d &= h - d' - \frac{1}{2}\varnothing \text{ tul lentur} - \varnothing \text{ tul bagi} \\ &= 200 - 35 - (\frac{1}{2}12) - 10 \\ &= 149 \text{ mm} \end{aligned}$$

$$Mn = \frac{M_{max}}{\phi} = \frac{3831250}{0,8} = 4789063 \text{ Nmm}$$

$$R_n = \frac{M_n}{bd^2} = \frac{4789062,5 \text{ Nmm}}{1000 \text{ mm} \times 22201 \text{ mm}^2} = 0,22 \text{ N/mm}^2$$

$$m = \frac{f_y}{0,85 f_{c'}} = \frac{320}{0,85 \times 25 \text{ MPa}} = 15,06$$

$$\begin{aligned} \rho &= \frac{1}{m} \times \left(1 - \sqrt{1 - \left(\frac{2 m R_n}{f_y} \right)} \right) \\ &= \frac{1}{15,06} \times \left(1 - \sqrt{1 - \left(\frac{2 \times 15,06 \times 0,22}{320} \right)} \right) \\ &= 0,0006 \end{aligned}$$

$$\begin{aligned} \rho_{\min} &= \frac{1,4}{f_y} = \frac{1,4}{320} \\ &= 0,004 \end{aligned}$$

$$\begin{aligned} \rho_{\max} &= 0,75 \times \frac{0,85 f_{c'}}{f_y} \times \beta_1 \times \frac{600}{600+f_y} \\ &= 0,75 \times \frac{0,85 \times 25}{320} \times 0,85 \times \frac{600}{600+320} \\ &= 0,032 \end{aligned}$$

Cek,

$$\begin{aligned} \rho_{\min} &< \rho < \rho_{\max} \\ 0,004 &> 0,0006 < 0,047 \\ \text{Maka } \rho &= 0,004 \end{aligned}$$

NO OK

- a. Perhitungan Tulangan Utama
Perhitungan luas tulangan lentur

$$\begin{aligned} As &= \rho \times b \times d \\ &= 0,004 \times 1000 \times 149 \\ &= 651,88 \text{ mm}^2 \end{aligned}$$

$$\begin{aligned} As \text{ pasang} &= \frac{1}{4} \times \pi \times D^2 \\ &= \frac{1}{4} \times \pi \times 12^2 \\ &= 113,10 \end{aligned}$$

Dipasang tulangan geser D 12, maka jarak minimum antar tulangan :

$$\begin{aligned} s &= \frac{\frac{1}{4} \times \pi \times D^2 \times b}{As} \\ &= \frac{\frac{1}{4} \times \pi \times (12\text{mm})^2 \times 1000 \text{ mm}}{651,88 \text{ mm}^2} \\ &= 173,494 \text{ mm} \end{aligned}$$

Maka dipasang tulangan bagi D 12 – 150 mm

b. Tulangan Geser

$$\begin{aligned} As \text{ geser} &= 50\% \times As \text{ pasang} \\ &= 50\% \times 753,98 \text{ mm}^2 \\ &= 376,99 \text{ mm}^2 \end{aligned}$$

Dipasang tulangan geser D 10, maka jarak minimum antar tulangan :

$$\begin{aligned} s &= \frac{\frac{1}{4} \times \pi \times D^2 \times b}{As} \\ &= \frac{\frac{1}{4} \times \pi \times (10\text{mm})^2 \times 1000 \text{ mm}}{376,99 \text{ mm}^2} \\ &= 208,333 \text{ mm} \end{aligned}$$

Maka dipasang tulangan bagi D 10 – 200 mm

4.5 Kerb

4.5.1 Data Perencanaan Kerb

Tinggi kerb	h	= 200 mm
Lebar kerb	b ₁	= 200 mm
	b ₂	= 150 mm
Lebar yang ditinjau		= 1000 mm
Tebal selimut beton	d'	= 25 mm
Tegangan leleh baja		= 320 MPa
Diameter tulangan lentur ø		= 12 mm
Diameter tulangan bagi ø		= 8 mm

Kuat tekan beton	= 25 MPa
Berat isi beton bertulang	= 25 kN/m ³
Beban pejalan kaki q	= 5 kN/m ²

4.5.2 Pembebanan

Berdasarkan RSNI T-02-2005 pasal 12.1, kerb harus direncanakan untuk menahan beban rencana ultimit sebesar 15 kN/m yang bekerja sepanjang bagian atas jembatan serta gaya horizontal melintang jembatan sebesar 500 kg/m yang bekerja di puncak kerb.

a. Beban Mati

$$\begin{aligned} \text{- Berat Sendiri (P)} &= t \times b \times W_c \\ &= 0,20m \times 1m \times 25\text{kN/m}^3 \\ &= 5,0 \text{ kN/m} \end{aligned}$$

b. Beban Hidup

$$\begin{aligned} \text{- Beban pejalan kaki (q)} &= 5 \text{ kN/m}^2 \\ \text{- Beban horizontal (Ph)} &= t \times q \\ &= 0,2m \times 5\text{kN/m}^2 \\ &= 1 \text{ kN/m} \end{aligned}$$

4.5.3 Analisa Struktur

$$\begin{aligned} M_D &= \frac{1}{2} \times P \times t^3 \\ &= \frac{1}{2} \times 5,0 \text{ kN/m} \times (0,20m)^2 \\ &= 0,10 \text{ kN.m} \end{aligned}$$

$$\begin{aligned} M_L &= Ph \times t \\ &= 1,0 \text{ kN/m} \times (0,2 \text{ m})^2 \\ &= 0,2 \text{ kN.m} \end{aligned}$$

$$\begin{aligned} Mu &= 1,3 M_D + 1,8 M_L \\ &= (1,3 \times 0,10 \text{ kN.m}) + (1,8 \times 0,2 \text{ kN.m}) \\ &= 0,49 \text{ kN.m} \end{aligned}$$

4.5.4 Penulangan pada Kerb

$$\begin{aligned} d &= h - d' - \frac{1}{2} \text{ tul.lentur} - \text{ tul.bagi} \\ &= 200 \text{ mm} - 25 \text{ mm} - \frac{1}{2} \times 12 \text{ mm} - 10 \text{ mm} \\ &= 159 \text{ mm} \end{aligned}$$

$$\begin{aligned}M_n &= \frac{M_{\max}}{\phi} = \frac{490000 \text{ N.mm}}{0,8} \\&= 612500 \text{ Nmm}\end{aligned}$$

$$\begin{aligned}R_n &= \frac{M_n}{bd^2} = \frac{612500 \text{ Nmm}}{1000\text{mm} \times (159 \text{ mm})^2} \\&= 0,02 \text{ N/mm}^2\end{aligned}$$

$$\begin{aligned}m &= \frac{f_y}{0,85 f_{c'}} = \frac{320 \text{ MPa}}{0,85 \times 25 \text{ MPa}} \\&= 15,06\end{aligned}$$

$$\begin{aligned}\rho &= \frac{1}{m} \times \left(1 - \sqrt{1 - \left(\frac{2m R_n}{f_y} \right)} \right) \\&= \frac{1}{15,06} \times \left(1 - \sqrt{1 - \left(\frac{2 \times 15,06 \times 0,02}{320} \right)} \right) \\&= 0,00008\end{aligned}$$

$$\begin{aligned}\rho_{\min} &= \frac{1,4}{f_y} = \frac{1,4}{320 \text{ MPa}} \\&= 0,004\end{aligned}$$

$$\begin{aligned}\rho_{\max} &= 0,75 \times \frac{0,85 f_{c'}}{f_y} \times \beta_1 \times \frac{600}{600+f_y} \\&= 0,75 \times \frac{0,85 \times 25 \text{ MPa}}{320 \text{ MPa}} \times 0,85 \times \frac{600}{600+320 \text{ MPa}} \\&= 0,032\end{aligned}$$

Cek,

$$\rho_{\min} < \rho < \rho_{\max}$$

$$0,004 > 0,00008 < 0,032$$

NO OK

Karena $\rho < \rho_{\min}$ sehingga dipakai $\rho_{\min} = 0,004$

a. Tulangan Utama

$$\begin{aligned}As &= \rho \times b \times d \\&= 0,004 \times 1000 \text{ mm} \times 159 \text{ mm} \\&= 695,63 \text{ mm}^2\end{aligned}$$

Dipakai tulangan $\emptyset 12 - 150$ untuk satu sisi

$$\begin{aligned} \text{As pasang} &= \frac{\frac{1}{4} \times \pi \times D^2 \times b}{\text{As}} \\ &= \frac{\frac{1}{4} \times \pi \times (12\text{mm})^2 \times 1000 \text{ mm}}{150 \text{ mm}^2} \\ &= 753,98 \text{ mm} \end{aligned}$$

b. Tulangan Bagi

$$\begin{aligned} \text{As geser} &= 20\% \times \text{As pasang} \\ &= 20\% \times 753,98 \text{ mm}^2 \\ &= 150,80 \text{ mm}^2 \end{aligned}$$

$$\begin{aligned} \text{As pasang} &= \frac{1}{4} \times \pi \times D^2 \times n \\ &= \frac{1}{4} \times \pi \times (8)^2 \times 4 \\ &= 201,06 \end{aligned}$$

Maka dipasang tulangan bagi $4\emptyset 8 - 200 \text{ mm}$

4.6 Pelat Lantai Kendaraan

4.6.1 Desain Dimensi Pelat Lantai

Menurut *SNI T -12-2004*, tebal minimum pelat lantai kendaraan,

$$d \geq 200 \text{ mm}$$

$$d \geq (100 + 40 L) \text{ mm}$$

$$d \geq (100 + (40 \times 1,75 \text{ m})) \text{ mm}$$

$$d \geq 170 \text{ mm}$$

Dengan, L = dalam (meter) jarak antar gelagar

Direncanakan tebal pelat lantai kendaraan 300 mm

4.6.2 Data Pelat Lantai Kendaraan

A. Data Geometris Jembatan

$$\text{Tebal slab lantai jembatan} \quad ts = 300 \text{ mm}$$

$$\text{Tebal lapisan aspal + overlay} \quad ta = 70 \text{ mm}$$

$$\text{Tebal genangan air hujan} \quad th = 50 \text{ mm}$$

$$\text{Jarak antara gelagar baja} \quad s = 1,75 \text{ m}$$

$$\text{Lebar jalur lalu-lintas} \quad b_1 = 10 \text{ m}$$

Lebar Trotoar	b_2	= 1 m
Lebar total jembatan	b_t	= 12 m
Panjang bentang jembatan	L	= 50 m

B. Data Material

a. Mutu Beton

Kuat tekan beton $f_c' = 0,83 (K/10)$	= 25 MPa
Modulus elastis, $E_c = 4700 \sqrt{f_c'}$	= 23500 MPa
Angka poison, μ	= 0,2
Modulus geser $G = E_c / (2 \times (1 + \mu))$	= 9791,667 MPa
Koef. muai panjang, α	= 0,00001/°C

b. Mutu Baja

Baja tulangan $\phi > 12 U$	= 39
Tegangan leleh f_y	= 390 MPa
Baja tulangan $\phi \leq 12 U$	= 24
Tegangan leleh f_y	= 240 MPa

c. Berat Jenis

Berat beton bertulang	W_c	= 25 kN/m ³
Berat beton tak-bertulang	W'_c	= 22 kN/m ³
Berat aspal	W_a	= 22 kN/m ³
Berat jenis air	W_w	= 9,8 kN/m ³
Berat baja	W_s	= 77 kN/m ³

4.6.3 Pembebanan

Ditinjau lantai selebar 1 meter pada arah memanjang jembatan.

1. Berat Sendiri M_s

Faktor beban layan ($\gamma^s M_s$)	= 1
Faktor beban ultimit ($\gamma^u M_s$)	= 1,3
Lantai Jembatan Q_{M_s}	= $t_s \times b \times W_c$
	= $0,3m \times 1m \times 25kN/m^3$
	= 7,50 kN/m

2. Beban Mati Tambahan (MA)

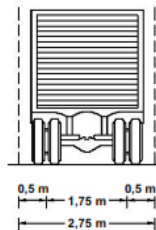
$$\begin{aligned}
 \text{Faktor beban layan } (\gamma^S_{\text{MA}}) &= 1 \\
 \text{Faktor beban ultimit } (\gamma^U_{\text{MA}}) &= 2 \\
 \text{Lapisan aspal + overlay (Qa)} &= t_a \times b \times W_a \\
 &= 0,07\text{m} \times 1\text{m} \times \\
 &\quad 2\text{kN/m}^3 \\
 &= 1,54 \text{ kN/m}
 \end{aligned}$$

$$\begin{aligned}
 \text{Genangan air hujan (Q}_H\text{)} &= t_h \times b \times W_w \\
 &= 0,05\text{m} \times 1\text{m} \times 9,8\text{kN/m}^3 \\
 &= 0,49\text{kN/m}
 \end{aligned}$$

$$\begin{aligned}
 Q_{\text{MA}} &= Q_A + Q_H \\
 &= 1,54\text{kN/m} + 0,49 \text{ kN/m} \\
 &= 2,03 \text{ kN/m}
 \end{aligned}$$

3. Beban Truk "T" (TT)

$$\begin{aligned}
 \text{Faktor beban layan } (\gamma^S_{\text{TT}}) &= 1 \\
 \text{Faktor beban ultimit } (\gamma^U_{\text{TT}}) &= 1,8 \\
 \text{Panjang jembatan} &= 50 \text{ m} \\
 \text{Faktor beban dinamis} &= 30 \% \\
 \text{Beban hidup lantai jembatan berupa roda ganda truk} \\
 (\text{beban T}) &= 112,5 \text{ kN} \\
 \text{Beban Truk "T" menjadi Ptt} &= (1+FBD) \times T \\
 &= (1+0,3) \times 112,5 \\
 &= 146,250 \text{ kN}
 \end{aligned}$$



Gambar 4.5 Jarak Roda Belakang Truk

4. Beban Angin pada kendaraan (SNI 1725-2016)

9 Tekanan angin Horizontal

Tabel 4.1 Nilai V_0 dan Z_0 untuk berbagai variasi kondisi permukaan hulu

Kondisi	Lahan Terbuka	Sub Urban	Kota
V_0 (km/jam)	13.2	17.6	19.3
Z_0 (mm)	70	1000	2500

$$\begin{aligned}
 V_{DZ} &= 2,5 V_o \left(\frac{V_{10}}{V_B} \right) \ln \left(\frac{Z}{Z_0} \right) \\
 &= 2,5 \times 13,2 \left(\frac{100}{100} \right) \ln \left(\frac{3500}{70} \right) \\
 &= 129 \text{ km/jam} \\
 &= 35,86 \text{ m/s}
 \end{aligned}$$

9 Beban angin pada struktur (Ew_s)

Tabel 4.2 Tekanan angin dasar

Komponen bangunan atas	Angin tekan (Mpa)	Angin hisap (Mpa)
Rangka, kolom, dan pelengkung	0.0024	0.0012
Balok	0.0024	N/A
Permukaan datar	0.0019	N/A

$$\begin{aligned}
 P_D &= P_B \left(\frac{V_{DZ}}{V_B} \right)^2 \\
 &= 0,0019 \left(\frac{129,10}{100} \right)^2 \\
 &= 0,00216 \text{ MPa} \\
 &= 215,88 \text{ kg/m}^2
 \end{aligned}$$

Beban angin yang diterima oleh plat

$$\begin{aligned}
 P_D &= 215,88 \text{ kg/m}^2 \times ts \times 1 \\
 &= 64,764 \text{ kg} \\
 &= 0,648 \text{ kN}
 \end{aligned}$$

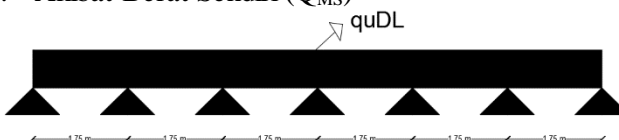
9 Beban angin pada kendaraan

Tabel 4.3 Komponen beban angin yang bekerja pada kendaraan

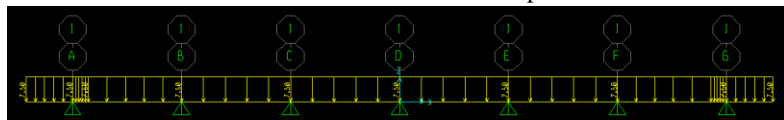
Sudut	Komponen tegak lurus	Komponen sejajar
derajat	N/mm	N/mm
0	1.46	0.00
15	1.28	0.18
30	1.20	0.35
45	0.96	0.47
60	0.50	0.55

4.6.4 Momen pada Pelat Kendaraan

a. Akibat Berat Sendiri (Q_{MS})



Gambar 4.6 Pembebanan akibat beban mati pelat lantai



Gambar 4.7 Analisis Q_{MS} pada SAP 2000

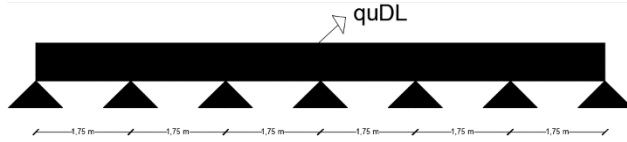
Momen tumpuan maksimum

$$M_{MS}^T = 2,00 \text{ kN.m}$$

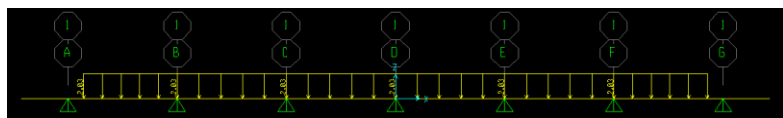
Momen lapangan maksimum

$$M_{MS}^L = 1,00 \text{ kN.m}$$

b. Akibat Beban Mati Tambahan (Q_{MA})



Gambar 4.8 Pembebanan akibat beban mati tambahan pelat lantai



Gambar 4.9 Analisis Q_{MA} pada SAP 2000

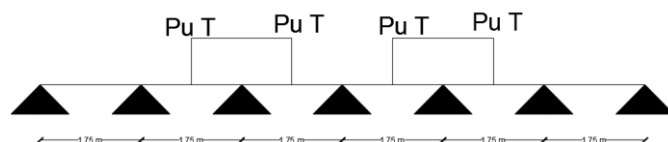
Momen tumpuan maksimum

$$M_{MA}^T = 0,77 \text{ kN.m}$$

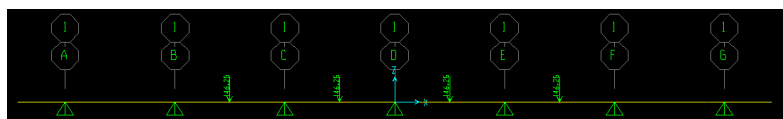
Momen lapangan maksimum

$$M_{MA}^L = 0,39 \text{ kN.m}$$

c. Akibat Beban Truk "T" (P_{TT})



Gambar 4.10 Pembebanan akibat 1 truk





Gambar 4.1112 Analisis P_{TT} pada SAP 2000

Momen tumpuan maksimum

$$M_{TT}^T = 35,41 \text{ kN.m}$$

Momen lapangan maksimum

$$M_{LL}^L = 38,61 \text{ kN.m}$$

d. Akibat Beban Kendaraan Khusus



Gambar 4.13 Analisi Beban Kendaraan Khusus pada SAP 2000

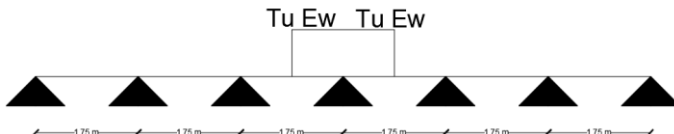
Momen tumpuan maksimum

$$M_{TT}^T = 35,19 \text{ kN.m}$$

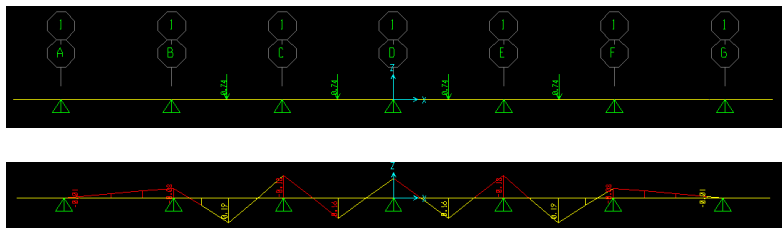
Momen lapangan maksimum

$$M_{LL}^L = 39,47 \text{ kN.m}$$

e. Akibat Beban Angin (K_{EW})



Gambar 4.14 Pembebanan akibat beban angin



Gambar 4.15 Analisi Beban Angin pada SAP 2000

Momen tumpuan maksimum

$$M_{TT}^T = 0,18 \text{ kN.m}$$

Momen lapangan maksimum

$$M_{LL}^L = 0,19 \text{ kN.m}$$

f. Rekapitulasi Momen

Tabel 4.4 Rekapitulasi Momen Pelat Lantai Kendaraan

NO	Jenis beban	Faktor beban	M Tumpuan (kNm)	M Lapangan (kNm)
1	Berat sendiri	γ_{MS}	2.20	1.00
2	Beban mati tambahan	γ_{MA}	0.61	0.47
3	Beban truk "T"	γ_{TT}	35.41	38.61
4	Beban truk khusus		36.19	39.47
5a	Beban Angin	K_{EW}	0.18	
5b	Beban Angin	K_{EW}		0.19

Kombinasi 1
x Kuat 1

Tabel 4.5 Kombinasi kuat 1

NO	Jenis beban	Faktor beban	M Tumpuan Layan (kNm)	M Lapangan Layan (kNm)	Mu tumpuan (kNm)	Mu lapangan (kNm)
1	Berat sendiri	1.3	2.20	1.00	2.86	1.30
2	Beban mati tambahan	2.0	0.61	0.47	1.22	0.94
3	Beban truk "T"	1.8	35.41	38.61	63.74	69.50
4	Pengaruh Temperatur	1.2	-	-	-	-
5a	Beban angin	-	0.18	-	-	-
5b	Beban angin	-	-	0.19	-	-
Total Momen ultimit slab					67.82	71.73

Kombinasi 2
x Kuat 2

Tabel 4.6 Kombinasi kuat 2

NO	Jenis beban	Faktor beban	M Tumpuan Layan (kNm)	M Lapangan Layan (kNm)	Mu Tumpuan (kNm)	Mu Lapangan (kNm)
1	Berat sendiri	1.3	2.20	1.00	2.86	1.30
2	Beban mati tambahan	2.0	0.61	0.47	1.22	0.94
3	Beban kendaraan khusu	1.8	36.19	39.47	65.14	71.05
4	Pengaruh Temperatur	1.2	-	-	-	-
5a	Beban angin	-	0.18	-	-	-
5b	Beban angin	-	-	0.19	-	-
Total Momen ultimit slab					69.22	73.28

Kombinasi 3
 x Kuat 3

Tabel 4.7 Kombinasi kuat 3

NO	Jenis beban	Faktor beban	M Tumpuan Layan (kNm)	M Lapangan Layan (kNm)	Mu Tumpuan (kNm)	Mu Lapangan (kNm)
1	Berat sendiri	1.3	2.20	1.00	2.86	1.30
2	Beban mati tambahan	1.4	0.61	0.47	0.85	0.66
3	Beban truk "T"	-	-	-	-	-
4	Pengaruh Temperatur	1.2	-	-	-	-
5a	Beban angin	1.4	0.18		0.25	
5b	Beban angin	1.4		0.19		0.27
Total Momen ultimit slab					4.22	2.22

Kombinasi 4
 x Layan 1

Tabel 4.8 Kombinasi Layan 1

NO	Jenis beban	Faktor beban	M Tumpuan Layan (kNm)	M Lapangan Layan (kNm)	Mu Tumpuan (kNm)	Mu Lapangan (kNm)
1	Berat sendiri	1.0	2.20	1.00	2.20	1.00
2	Beban mati tambahan	1.0	0.61	0.47	0.61	0.47
3	Beban truk "T"	1.0	35.41	38.61	35.41	38.61
4a	Beban angin	1.0	0.18		0.18	
4b	Beban angin	1.0		0.19		0.19
Total Momen ultimit slab					38.40	40.27

4.6.4 Penulangan pada Pelat Lantai Kendaraan

4.6.4.1 Tulangan Lapangan (Tulangan lentur positif)

Kuat 1

Momen Maksimum	= 73.281 kNm
	= 73281320 Nmm
Mutu beton (fc')	= 25 MPa
Mutu baja (fy)	= 390 MPa
Selimut beton (d')	= 30 mm
Lebar yang ditinjau b	= 1000 mm
tulangan lentur	= 16 mm
tulangan bagi	= 13 mm
Tebal efektif (d)	= ts - d' = 300 mm - 30 mm = 270 mm

a. Tulangan Lentur

$$M_n = \frac{M_{max}}{\phi} = \frac{73281320}{0,8} = 91601650 \text{ Nmm}$$

$$R_n = \frac{M_n}{bd^2} = \frac{91601650 \text{ Nmm}}{1000 \text{ mm} \times 72900 \text{ mm}^2} = 1,260 \text{ N/mm}^2$$

$$m = \frac{f_y}{0,85 f_{c'}} = \frac{390}{0,85 \times 25 \text{ MPa}} = 18,353$$

$$\rho_{min} = \frac{1,4}{f_y} = \frac{1,4}{390 \text{ MPa}} = 0,0035$$

$$\begin{aligned} \rho_b &= \frac{0,85 f_{c'}}{f_y} \times \beta_1 \times \frac{600}{600+f_y} \\ &= \frac{0,85 \times 25}{390} \times 0,85 \times \frac{600}{600+390} \\ &= 0,028 \end{aligned}$$

$$\begin{aligned} \rho_{maks} &= 0,75 \times \rho_b \\ &= 0,75 \times 0,028 \\ &= 0,021 \end{aligned}$$

Rasio tulangan yang diperlukan :

$$\begin{aligned}\rho &= \frac{1}{m} \times \left(1 - \sqrt{1 - \left(\frac{2 m R_n}{f_y}\right)}\right) \\ &= \frac{1}{18,353} \times \left(1 - \sqrt{1 - \left(\frac{2 \times 18,353 \times 1,260}{390}\right)}\right) \\ &= 0,0033\end{aligned}$$

Cek,

$$\rho_{\min} < \rho < \rho_{\max}$$

$$0,0036 > 0,0033 < 0,021$$

NO OK

Karena $\rho < \rho_{\min}$ sehingga dipakai $\rho_{\min} = 0,0036$

Luas tulangan lentur yang diperlukan

$$\begin{aligned}As &= \rho \times b \times d \\ &= 0,0036 \times 1000\text{mm} \times 270\text{ mm} \\ &= 969,231\text{ mm}^2\end{aligned}$$

Jarak terjauh antar tulangan untuk, $b = 1000\text{ mm}$

$$\begin{aligned}s &= \frac{\frac{1}{4} \times \pi \times D^2 \times b}{As} \\ &= \frac{\frac{1}{4} \times \pi \times (16\text{mm})^2 \times 1000\text{ mm}}{969,231\text{ mm}^2} \\ &= 207,4\text{ mm}\end{aligned}$$

Rencana tulangan lentur D 16 – 200 mm

$$\begin{aligned}As_{\text{Rencana}} &= \frac{\frac{1}{4} \times \pi \times D^2 \times b}{s} \\ &= \frac{\frac{1}{4} \times \pi \times (16\text{ mm})^2 \times 1000\text{ mm}}{200\text{ mm}} \\ &= 1005,31\text{ mm}^2\end{aligned}$$

Dengan As rencana > As perlu (Memenuhi)

b. Tulangan Bagi

$$\begin{aligned} \text{As geser} &= 50\% \times \text{As perlu} \\ &= 50\% \times 100,31 \text{ mm}^2 \\ &= 502,655 \text{ mm}^2 \end{aligned}$$

Dipasang tulangan geser ϕ , maka jarak minimum antar tulangan :

$$\begin{aligned} s &= \frac{\frac{1}{4} \times \pi \times \phi g^2 \times b}{As} \\ &= \frac{\frac{1}{4} \times \pi \times (13 \text{ mm})^2 \times 1000 \text{ mm}}{502,655 \text{ mm}^2} \\ &= 264,062 \text{ mm} \end{aligned}$$

Maka dipasang tulangan bagi D 13 – 150 mm

4.6.4.2. Tulangan Tumpuan (Tulangan lentur negatif)

Kuat 1

$$\begin{aligned} \text{Momen Maksimum} &= 69,22 \text{ kNm} \\ &= 69222000 \text{ Nmm} \\ \text{Mutu beton (fc')} &= 25 \text{ MPa} \\ \text{Mutu baja (fy)} &= 390 \text{ MPa} \\ \text{Selimut beton (d')} &= 30 \text{ mm} \\ \text{Lebar yang ditinjau } b &= 1000 \text{ mm} \\ \text{tulangan lentur} &= 16 \text{ mm} \\ \text{tulangan bagi} &= 10 \text{ mm} \\ \text{Tebal efektif (d)} &= ts - d' \\ &= 300 \text{ mm} - 30 \text{ mm} = 270 \text{ mm} \end{aligned}$$

a. Tulangan Lentur

$$M_n = \frac{M_{max}}{\phi} = \frac{69222000}{0,8} = 86527500 \text{ Nmm}$$

$$R_n = \frac{M_n}{bd^2} = \frac{86527500 \text{ Nmm}}{1000 \text{ mm} \times 70225 \text{ mm}^2} = 1,19 \text{ N/mm}^2$$

$$m = \frac{f_y}{0,85 f_{c'}} = \frac{390}{0,85 \times 25 \text{ MPa}} = 18,353$$

$$\rho_{\min} = \frac{1,4}{f_y} = \frac{1,4}{390 \text{ MPa}} = 0,0035$$

$$\begin{aligned}\rho_b &= \frac{0,85 f_{c'}}{f_y} \times \beta_1 \times \frac{600}{600+f_y} \\ &= \frac{0,85 \times 25}{390} \times 0,85 \times \frac{600}{600+390} \\ &= 0,028\end{aligned}$$

$$\begin{aligned}\rho_{\max} &= 0,75 \times \rho_b \\ &= 0,75 \times 0,028 \\ &= 0,021\end{aligned}$$

Rasio tulangan yang diperlukan :

$$\begin{aligned}\rho &= \frac{1}{m} \times \left(1 - \sqrt{1 - \left(\frac{2 m R_n}{f_y} \right)} \right) \\ &= \frac{1}{18,353} \times \left(1 - \sqrt{1 - \left(\frac{2 \times 18,353 \times 1,19}{390} \right)} \right) \\ &= 0,0031\end{aligned}$$

Cek,

$$\rho_{\min} < \rho < \rho_{\max}$$

$$0,0036 > 0,0031 < 0,021 \quad \text{NO OK}$$

Karena $\rho < \rho_{\min}$ sehingga dipakai $\rho_{\min} = 0,0036$

Luas tulangan lentur yang diperlukan

$$\begin{aligned}As &= \rho \times b \times d \\ &= 0,0036 \times 1000 \text{ mm} \times 270 \text{ mm} \\ &= 969,23 \text{ mm}^2\end{aligned}$$

Jarak terjauh antar tulangan untuk, $b = 1000 \text{ mm}$

$$\begin{aligned}s &= \frac{\frac{1}{4} \times \pi \times D^2 \times b}{As} \\ &= \frac{\frac{1}{4} \times \pi \times (16 \text{ mm})^2 \times 1000 \text{ mm}}{969,23 \text{ mm}^2} \\ &= 207,445 \text{ mm}\end{aligned}$$

Rencana tulangan lentur D 16 – 200 mm

$$\begin{aligned} \text{As Rencana} &= \frac{\frac{1}{4} \times \pi \times D^2 \times b}{S} \\ &= \frac{\frac{1}{4} \times \pi \times (16 \text{ mm})^2 \times 1000 \text{ mm}}{200 \text{ mm}} \\ &= 1005,31 \text{ mm}^2 \end{aligned}$$

Dengan As rencana > As perlu (Memenuhi)

b. Tulangan Bagi

$$\begin{aligned} \text{As geser} &= 50\% \times \text{As perlu} \\ &= 50\% \times 1005,31 \text{ mm}^2 \\ &= 502,56 \text{ mm}^2 \end{aligned}$$

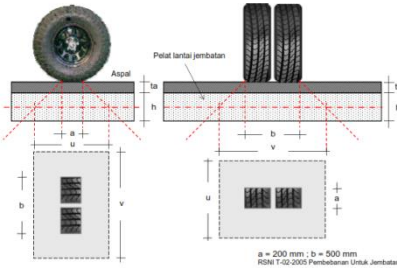
Dipasang tulangan geser ϕ , maka jarak minimum antar tulangan :

$$\begin{aligned} S &= \frac{\frac{1}{4} \times \pi \times \phi g^2 \times b}{As} \\ &= \frac{\frac{1}{4} \times \pi \times (10 \text{ mm})^2 \times 1000 \text{ mm}}{502,56 \text{ mm}^2} \\ &= 156,25 \text{ mm} \end{aligned}$$

Maka dipasang tulangan bagi D 10 – 150 mm

4.6.5 Geser Pons

4.6.5.1 Geser Pons di Tengah Pelat



Gambar 4.16 Geser Pons

Diketahui :

$$f \quad d' \quad = 30 \text{ mm}$$

$$f \quad a \quad = 250 \text{ mm}$$

$$f \quad b \quad = 750 \text{ mm}$$

$$f \quad ta \quad = 70 \text{ mm}$$

$$f \quad ts \quad = 300 \text{ mm}$$

$$\begin{aligned} u &= a + 2ta + ts \\ &= 250 \text{ mm} + (2 \times 70 \text{ mm}) + 300 \text{ mm} \\ &= 690 \text{ mm} = 0,69 \text{ m} \end{aligned}$$

$$\begin{aligned} v &= b + 2ta + ts \\ &= 750 \text{ mm} + (2 \times 70 \text{ mm}) + 300 \text{ mm} \\ &= 1190 \text{ mm} = 1,190 \text{ m} \end{aligned}$$

$$\begin{aligned} b' &= 2u + 2v \\ &= (2 \times 0,69 \text{ m}) + (2 \times 1,190 \text{ m}) \\ &= 3,760 \text{ m} \end{aligned}$$

$$\begin{aligned} A_{pons} &= 2 \times b' \times ts \\ &= 2 \times 3,760 \text{ m} \times 0,3 \text{ m} \\ &= 2,030 \text{ m}^2 \end{aligned}$$

Kekuatan nominal lantai geser tanpa tulangan geser :

$$\begin{aligned}
 Vc &= 1/6 \times \sqrt{fc'} \times A_{\text{pons}} \\
 &= 1/6 \times \sqrt{25 \text{ MPa}} \times 2,030 \text{ m}^2 \\
 &= 1692000 \text{ N} \\
 &= 1692 \text{ kN}
 \end{aligned}$$

Beban hidup pada lantai jembatan berupa beban roda gandar oleh truk (beban T) besarnya = 112,5 kN

Beban Truk menjadi $= (1+FBD) \times T$

$$\begin{aligned}
 P_{TT} &= (1 + 0,3) \times 112,5 \text{ kN} \\
 P_{TT} &= 146,250 \text{ kN}
 \end{aligned}$$

Kekuatan geser terfaktor :

$$\begin{aligned}
 Y_{TT}^U \times P_{TT} &\leq \phi \times Vc \\
 2 \times 146,250 &\leq 0,7 \times 1692 \\
 263,250 \text{ kN} &\leq 1184,167 \text{ kN}
 \end{aligned}$$

Pelat lantai tanpa tulangan geser aman terhadap geser pons

4.6.5.2 Geser Pons di Ujung Pelat

Diketahui :

$$\begin{aligned}
 f & d' &= 30 \text{ mm} \\
 f & a &= 250 \text{ mm} \\
 f & b &= 750 \text{ mm} \\
 f & ta &= 70 \text{ mm} \\
 f & ts &= 300 \text{ mm}
 \end{aligned}$$

$$\begin{aligned}
 u' &= \frac{1}{2} u + \frac{1}{2} a \\
 &= (\frac{1}{2} \times 690 \text{ mm}) + (\frac{1}{2} \times 250 \text{ mm}) \\
 &= 240 \text{ mm} = 0,24 \text{ m}
 \end{aligned}$$

$$\begin{aligned}
 b' &= 2u' + 2v \\
 &= (2 \times 0,24 \text{ m}) + (2 \times 1,190 \text{ m}) \\
 &= 2,86 \text{ m}
 \end{aligned}$$

$$\begin{aligned}
 A_{\text{pons}} &= 2 \times b' \times t_s \\
 &= 2 \times 2,86 \times 0,3 \text{ m} \\
 &= 1,716 \text{ m}^2
 \end{aligned}$$

Kekuatan nominal lantai geser tanpa tulangan geser :

$$\begin{aligned}
 V_c &= 1/6 \times \sqrt{f_{c'}} \times A_{\text{pons}} \\
 &= 1/6 \times \sqrt{25 \text{ MPa}} \times 1,716 \text{ m}^2 \\
 &= 1430000 \text{ N} \\
 &= 1430 \text{ kN}
 \end{aligned}$$

Beban hidup pada lantai jembatan berupa beban roda gandar oleh truk (beban T) besarnya = 112,5 kN

$$\begin{aligned}
 \text{Beban Truk menjadi} &= (1+FBD) \times T \\
 P_{TT} &= (1 + 0,3) \times 112,5 \text{ kN} \\
 P_{TT} &= 146,250 \text{ kN}
 \end{aligned}$$

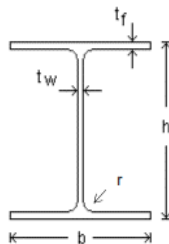
Kekuatan geser terfaktor :

$$\begin{aligned}
 Y_{TT}^U \times P_{TT} &\leq \phi \times V_c \\
 2 \times 146,250 &\leq 0,7 \times 1430 \\
 263,250 \text{ kN} &\leq 1001 \text{ kN}
 \end{aligned}$$

Pelat lantai tanpa tulangan geser aman terhadap geser pons.

4.7 Gelagar Memanjang

4.7.1 Desain Dimensi Gelagar Memanjang



Gambar 4.17 Penampang Gelagar Memanjang

x Tinggi	h	= 2700 mm
x Lebar	b	= 800 mm
x Tebal sayap	tf	= 80 mm
x Tebal badan	tw	= 40 mm
x Luas penampang	As	= 2296 cm ²
x yt	= 1350 mm	
x y_b	= 1350 mm	
x hs	= 2540 mm	

4.7.2 Data Gelagar Memanjang

A. Data Geometris Jembatan

9 panjang jembatan	L	= 50 m
9 tebal aspal	ta	= 7 cm
9 tebal pelat lantai kendaraan	ts	= 300 mm
9 jarak antar gelagar	s	= 1,75 m

B. Data Material

9 mutu beton	$= K - 300$
9 kuat tekan beton	fc' = 25 Mpa
9 modulus elastis beton	E_c = 2345,95 MPa
9 mutu baja tulangan	$= BJ - 41$
9 tegangan ultimit	f_u = 410 Mpa
9 tegangan leleh	f_y = 250 MPa

$$9 \text{ modulus elastis baja} \quad E_s = 200000 \text{ MPa}$$

A. Momen Nominal

1. Tinjauan kekuatan lentur berdasarkan tekuk lokal

$\frac{3}{4}$ Cek kekompakan profil

- Pelat Sayap Atas (Flens)

$$\begin{aligned} \lambda_f &\leq \lambda_p \\ \frac{b}{2tf} &\leq \frac{170}{\sqrt{f_y}} \\ \frac{800 \text{ mm}}{2 \times 80 \text{ mm}} &\leq \frac{170}{\sqrt{250 \text{ MPa}}} \\ 5,00 &< 10,75 \end{aligned}$$

(Penampang Kompak)

- Pelat Badan (Web)

$$\begin{aligned} \lambda_w &\leq \lambda_p \\ \frac{h}{tw} &\leq \frac{1680}{\sqrt{f_y}} \\ \frac{2540 \text{ mm}}{40 \text{ mm}} &\leq \frac{1680}{\sqrt{250 \text{ MPa}}} \\ 63,50 &< 106,25 \end{aligned}$$

(Penampang Kompak)

Modulus Section (Zx Penampang)

Rumus Modulus Plastis penampang balok IWF untuk arah sumbu kuat seperti di bawah :

$$Z_x = (b \times tf) (h - tf) + tw(1/2h - tf) (1/2h - tf)$$

Dimana:

$$tf = \text{tebal flange} \quad h = \text{tinggi profil}$$

$$tw = \text{tebal web} \quad b = \text{lebar profil}$$

$$\begin{aligned} Z_x &= (800\text{mm} \times 80\text{mm})(2700\text{mm} - 80\text{mm}) + (40\text{mm} \times \\ &(1/2.2700\text{mm} - 80\text{mm}) (1/2.2700\text{mm} - 80\text{mm})) \\ &= 232196000 \text{ mm}^3 \end{aligned}$$

$$\begin{aligned} Z_x \text{ penampang} &> Z_x \text{ beban kerja (tanpa berat profil)} \\ 232196000 \text{ mm}^3 &> 61731944 \text{ mm}^3 \quad \text{Memenuhi} \end{aligned}$$

$$\begin{aligned}
 \mathbf{Zy} &= (0,5b^2tf) + (0,25 tw^2 (d - 2tf)) \\
 &= (0,5 \times (800\text{mm})^2 \times 80\text{mm} + (0,25 \times (40\text{mm})^2 \times \\
 &\quad (2540\text{ mm} - 2 \times 80\text{mm})) \\
 &= 26552000 \text{ mm}^3
 \end{aligned}$$

Inersia

$$\begin{aligned}
 - \quad \mathbf{Ix} &= (0,08 tw d^3) + (0,08 2b tf^3) + (2b tf (yt+0,5tf)) \\
 &= (0,08 \cdot 40\text{mm} \cdot (2540\text{mm})^3 + (0,08 \cdot 2 \cdot 800\text{mm} \cdot \\
 &\quad (80\text{mm})^3 + 2 \cdot 800\text{mm} \cdot 80\text{mm} \cdot (1350\text{mm} + \\
 &\quad 0,5 \cdot 80\text{mm})) \\
 &= 52682060800 \text{ mm}^4 = 5268206,08 \text{ cm}^4 \\
 - \quad \mathbf{Iy} &= 2(0,08 tf b^3) + (0,08 tw^3 d) \\
 &= 2(0,08 \cdot 80\text{mm} \cdot (800\text{mm})^3 + (0,08 \cdot (40\text{mm})^3 \cdot \\
 &\quad 2540 \text{ mm}) \\
 &= 6566604800 \text{ mm}^4 = 656660,48 \text{ cm}^4
 \end{aligned}$$

Luas Penampang

$$\begin{aligned}
 As &= 2(tf \times b) + (h - 2tf)tw \\
 &= 2(8 \text{ cm} \times 80 \text{ cm}) + (270 \text{ cm} - 2 \times 8\text{cm})4\text{cm} \\
 &= 2296,0 \text{ cm}^2
 \end{aligned}$$

Berat Profil

$$\begin{aligned}
 W &= (Ws \times As) \\
 &= 77 \text{ kN/m} \times 0,2296 \text{ m}^2 \\
 &= 17,68 \text{ kN/m}
 \end{aligned}$$

Radius Girasi

$$\begin{aligned}
 rx &= \sqrt{\frac{Ix}{As}} = \sqrt{\frac{5268206,08\text{cm}^4}{2296 \text{ cm}^2}} = 47,90 \text{ cm} = 479,01 \text{ mm} \\
 ry &= \sqrt{\frac{Iy}{As}} = \sqrt{\frac{656660,48\text{cm}^4}{2296 \text{ cm}^2}} = 16,91 \text{ cm} = 169,12 \text{ mm}
 \end{aligned}$$

^{3/4} Momen Nominal (Mn)

$$\begin{aligned}
 Mn &= Mp = Zx \times fy \\
 &= 232196000 \text{ mm}^3 \times 250 \text{ N/mm}^2 \\
 &= 90556440000 \text{ N.mm} \\
 &= 90556,44 \text{ kN.m}
 \end{aligned}$$

Momen nominal terfaktor,

$$\begin{aligned}
 Mu &= \varnothing \times Mn \\
 &= 0,9 \times 90556,44 \text{ kN.m} \\
 &= 81500,80 \text{ Nm}
 \end{aligned}$$

2. Tinjauan kekuatan lentur berdasarkan tekuk lateral

^{3/4} Sifat profil WF

$$\begin{aligned}
 Sx &= Ix / (0,5d) \\
 &= 5268206,08 \text{ cm}^4 / (0,5 \times 254 \text{ cm}) \\
 &= 41481,94 \text{ cm}^3 = 41481937,6 \text{ mm}^3
 \end{aligned}$$

Modulus geser,

$$\begin{aligned}
 G &= \frac{E}{2 \times (1 + \mu)} \\
 &= \frac{200000 \text{ MPa}}{2 \times (1 + 0,3)} \\
 &= 76923 \text{ MPa}
 \end{aligned}$$

Konstanta torsi,

$$\begin{aligned}
 J &= 0,33((2b tf^3) + (h tw^3)) \\
 &= 0,33 (2.800\text{mm}.(80\text{mm})^3 + 2700\text{mm}.(40\text{mm})^3) \\
 &= 327360000 \text{ mm}^4
 \end{aligned}$$

Konstanta warping,

$$\begin{aligned}
 Cw &= 1/12 \times tf \times b^2 \times h^2 \\
 &= 1/12 \times 80 \text{ mm} \times (800 \text{ mm})^2 \times (2700 \text{ mm})^2 \\
 &= 31104000000000 \text{ mm}^5
 \end{aligned}$$

$\frac{3}{4}$ Batas panjang bentang antara dua pengaku lateral

$$L_b = 8000 \text{ mm}$$

$$\begin{aligned} F_1 &= f_y - f_r \\ &= 250 \text{ MPa} - 115 \text{ MPa} \\ &= 135 \text{ MPa} \end{aligned}$$

$$\begin{aligned} X_1 &= \frac{\pi}{S_x} \sqrt{\frac{E G J A}{2}} \\ &= \frac{\pi}{\frac{41481937,6 \text{ mm}^3}{76923 \text{ MPa} \times 310464000 \text{ mm}^4}} \sqrt{\frac{200000 \text{ MPa} \cdot 76923 \text{ MPa} \cdot 327360000 \text{ mm}^4 \cdot 2296 \text{ mm}^2}{2}} \\ &= 57586,13 \text{ MPa} \end{aligned}$$

$$\begin{aligned} X_2 &= 4 \left(\frac{S_x}{G J} \right)^2 \frac{C_w}{I_y} \\ &= 4 \left(\frac{41481937,6 \text{ mm}^3}{76923 \text{ MPa} \times 310464000 \text{ mm}^4} \right)^2 \frac{31104000000000 \text{ mm}^5}{6566604800 \text{ mm}^4} \\ &= 0,0000000514 \text{ mm}^4/\text{N}^2 \end{aligned}$$

Periksa Tekuk Torsi Lateral

$$\begin{aligned} L_p &= 1,76 r_y \sqrt{\frac{E}{f_y}} \\ &= 1,76 \times 169,12 \text{ mm} \times \sqrt{\frac{200000 \text{ MPa}}{250 \text{ MPa}}} \\ &= 8419 \text{ mm} = 8,419 \text{ m} \end{aligned}$$

$$\begin{aligned} L_r &= r_y \left(\frac{x_1}{f_y - f_r} \right) \sqrt{1 + \sqrt{1 + X_2(f_y - f_r)^2}} \\ &= 169,12 \left(\frac{57586,13}{(250-115)} \right) \sqrt{1 + \sqrt{0,0000000514(250-115)^2}} \\ &= 102032 \text{ mm} = 102,032 \text{ m} \end{aligned}$$

$$L_p = 8419 \text{ mm} < L_b = 8000 \text{ mm} < L_r = 102032 \text{ mm}$$

Maka, **Balok Bentang Pendek ($L_b \leq L_p$)**

$\frac{3}{4}$ Kekuatan lentur nominal

$$\begin{aligned} M_n &= M_p = Z_x \times f_y \\ &= 232196000 \text{ mm}^3 \times 250 \text{ N/mm}^2 \\ &= 90556440000 \text{ N.mm} \\ &= 90556,44 \text{ kN.m} \end{aligned}$$

4.7.3 Analisa Gelagar Sebelum dan Sesudah Komposit

4.7.3.1 Pelaksanaan Tanpa Perancah

Sebelum Komposit

Pembebatan

1. Beban Mati (q DL)

$$\begin{array}{ll} \text{Berat sendiri profil} & = 17,06 \text{ kN/m} \\ \text{Plat lantai beton} & = t_s \times s \times W_c \\ & = 0,3 \text{ m} \times 1,75 \text{ m} \times 25 \text{ kN/m}^3 \\ & = 13,13 \text{ kN/m} \\ \text{Berat bekisting} & = 0,15 \text{ kN/m} \\ \hline q_{DL} & = 30,95 \text{ kN/m} \end{array}$$

2. Beban Hidup (q LL)

$$\begin{array}{ll} \text{Beban pekerja} & = q \times s \\ & = 5 \text{ kN/m}^2 \times 1,75 \text{ m} \\ & = 8,75 \text{ kN/m} \end{array}$$

Kombinasi pembebatan :

$$\begin{aligned} &= 1,3 \text{ DL} + 2 \text{ LL} \\ &= (1,3 \times 30,95 \text{ kN/m}) + (2 \times 8,75 \text{ kN/m}) \\ &= 57,74 \text{ kN/m} \end{aligned}$$

Momen lentur

Momen maksimum yang terjadi ditengah bentang :

$$\begin{aligned} M_{maks} &= 1/8 \times q_u \times L^2 \\ &= 1/8 \times 57,74 \text{ kN/m} \times (50 \text{ m})^2 \\ &= 18042,23 \text{ kN.m} \\ &= 18042233688 \text{ N.mm} \end{aligned}$$

Tegangan yang terjadi pada gelagar baja

- Pada tepi atas profil gelagar

$$\begin{aligned} F_{sa} &= \frac{M \times \frac{hs}{2}}{Io} = \frac{18042233688 \text{ Nmm} \times \frac{2540 \text{ mm}}{2}}{27435261,33 \times 10^4 \text{ cm}^4} \\ &= 835,19 \text{ MPa} \quad (\text{Tekan}) \end{aligned}$$

- Pada tepi bawah profil gelagar

$$\begin{aligned} F_{sb} &= \frac{M \times \frac{hs}{2}}{Io} = \frac{18042233688 \text{ Nmm} \times \frac{2540 \text{ mm}}{2}}{27435261,33 \times 10^4 \text{ cm}^4} \\ &= 835,19 \text{ MPa} \quad (\text{Tarik}) \end{aligned}$$

Lendutan

$$\delta_{ijin} = \frac{L}{800} = \frac{50000 \text{ mm}}{800} = 62,5 \text{ mm}$$

$$\begin{aligned} \delta_{terjadi} &= \frac{5 \times qu \times L^4}{384 \times E \times Io} \\ &= \frac{5 \times 57,74 \text{ kN/m} \times (50000 \text{ mm})^4}{384 \times 200000 \times 27435261,33 \text{ mm}^4} \\ &= 85,6 \text{ mm} \end{aligned}$$

Maka, $\delta_{terjadi} < \delta_{ijin}$

$$85,6 \text{ mm} > 62,5 \text{ mm}$$

NO OK

Sesudah Komposit

Pembebanan

1. Beban Mati (q D)

$$\text{Berat sendiri profil} = 17,06 \text{ kN/m}$$

$$\text{Plat lantai beton} = ts \times s \times W_c$$

$$= 0,3 \text{ m} \times 1,75 \text{ m} \times 25 \text{ kN/m}^3$$

$$= 13,13 \text{ kN/m} \quad +$$

$$qD_{\text{total}} = 30,80 \text{ kN/m}$$

Beban Mati Tambahan (MA)

$$\text{Berat Aspal} = ta \times s \times W_a$$

$$= 0,07 \text{ m} \times 1,00 \text{ m} \times 22 \text{ kN/m}^3$$

$$= 1,54 \text{ kN/m}$$

$$\begin{array}{rcl}
 \text{Berat Air Hujan} & = tw \times s \times Ww \\
 & = 0,05 \text{ m} \times 1,00 \text{ m} \times 9,8 \text{ kN/m}^3 \\
 & = 0,49 \text{ kN/m} \\
 \hline
 qMa_{\text{total}} & = 2,03 \text{ kN/m}
 \end{array}$$

2. Beban Hidup (q LL)

Beban Merata

Sesuai dengan *SNI 1725 – 2016 Pasal 8.3.1* beban terbagi rata (BTR) mempunyai q dengan besaran yang tergantung pada panjang total yang dibebani L yaitu :

x Jika $L \leq 30 \text{ m}$: $q = 9,0 \text{ kPa}$

x Jika $L > 30 \text{ m}$: $q = 9,0 (0,5 + 15/L) \text{ kPa}$

Untuk $\lambda = 50 \text{ m}$, maka $L = 50 \text{ m} > 30 \text{ m}$

$$\begin{aligned}
 \text{Maka : } q &= 9,0 (0,5 + 15/50) \\
 &= 7,2 \text{ kPa}
 \end{aligned}$$

$$\begin{aligned}
 P_{\text{BTR}} &= q \times s \\
 &= 7,20 \text{ kN/m}^2 \times 1 \text{ m} \\
 &= 12,6 \text{ kN/m}
 \end{aligned}$$

Beban Terpusat

Sesuai dengan *SNI 1725 – 2016 Pasal 8.3.1*, BGT dengan intensitas $p \text{ kN/m}$ harus ditempatkan tegak lurus terhadap arah lalu lintas pada jembatan. Besarnya intensitas p adalah $49,0 \text{ kN/m}$.

Kombinasi pembebanan :

$$\begin{aligned}
 &= 1,3D + 2MA + 1,8 L_{\text{BTR}} \\
 &= (1,3 \times 30,80 \text{ kN/m}) + (2 \times 2,03 \text{ kN/m}) + (1,8 \times 7,20 \text{ kN/m}) \\
 &= 57,06 \text{ kN/m}
 \end{aligned}$$

$$\begin{aligned}
 &= 1,8L_{\text{BTR}} \\
 &= 1,8 \times 49 \text{ kN/m} \times 1 \text{ m} \\
 &= 88,2 \text{ kN}
 \end{aligned}$$

Momen lentur

Momen maksimum yang terjadi ditengah bentang :

$$\begin{aligned} M_{\text{maks}} &= \frac{1}{8} \times q_u \times L^2 \\ &= \frac{1}{8} \times 57,06 \text{ kN/m} \times (50 \text{ m})^2 \\ &= 17831,30 \text{ kN.m} \\ &= 17831296188 \text{ N.mm} \end{aligned}$$

$$\begin{aligned} M_{\text{maks}} &= \frac{1}{4} \times p \times L \\ &= \frac{1}{4} \times 88,2 \text{ kN} \times 50 \text{ m} \\ &= 1102,5 \text{ kN.m} \\ &= 1102500000 \text{ N.mm} \end{aligned}$$

$$\begin{aligned} \text{Jumlah momen} &= M_{\text{maks}_1} + M_{\text{maks}_2} \\ &= 18933796188 \text{ N.mm} \\ &= 18933,80 \text{ kN.m} \end{aligned}$$

Garis Netral Struktur Komposit

- a. Garis Netral Penampang Komposit

Lebar efektif (**RSNI T - 03 - 2005**)

$$\begin{aligned} b_E &= L/5 = 10 \text{ m} \\ b_E &= b_o = 1,75 \text{ m} \text{ (menentukan)} \\ b_E &= 12.h_c = 3,6 \text{ m} \end{aligned}$$

$$\begin{aligned} \text{Modulus rasio (n)} &= E_s/E_c \\ &= 200000 \text{ MPa} / 23452,95 \text{ MPa} \\ &= 8,53 \end{aligned}$$

$$\begin{aligned} \text{Lebar equivalen baja} &= b_E/n \\ &= 1,75 \text{ m} / 8,53 \\ &= 0,205 \text{ m} = 205,21 \text{ mm} \end{aligned}$$

- b. Letak Garis Netral Komposit

- Luas penampang baja equivalen

$$\begin{aligned} A_c &= b_E \times h/n \\ &= 1750 \text{ mm} \times 300 \text{ mm} / 8,53 \\ &= 61564 \text{ mm}^2 \end{aligned}$$

$$A_s = 229600 \text{ mm}^2$$

$$\text{Luas total, } A_{\text{tot}} = 291164 \text{ mm}^2$$

- Statis momen ke sisi atas pelat beton,
 $A_{\text{total}} \cdot y_a = A_c h_c/2 + A_s (h_s/2 + h_c)$
 $291164 \cdot y_a = 61564 \cdot 150 + 229600 \cdot 1570$
 $y_a = \frac{369706600 \text{ mm}^3}{291164 \text{ mm}^2}$
 $y_a = 1269,75 \text{ mm}$
- Statis momen ke sisi bawah flens bawah profil
 $A_{\text{total}} \cdot y_b = A_c (h_s + h_c/2) + A_s (h_s/2)$
 $291164 \cdot y_b = 61564 \cdot 2690 + 229600 \cdot 1270$
 $y_b = \frac{457199164 \text{ mm}^3}{291164 \text{ mm}^2}$
 $y_b = 1570,25 \text{ mm}$

- Statis momen sisi atas flens
 $y_{ts} = y_a - t_s$
 $= 1269,75 \text{ mm} - 300 \text{ mm}$
 $= 969,75 \text{ mm}$

Kontrol

$y_a + y_b$	= $h_s + h_c$
1269,75+1570,25	= 2540 + 300
2840 mm	= 2840 mm

Memenuhi

c. Momen inersia penampang komposit

x Luas penampang baja equivalen

$$A_c = 61564,00 \text{ mm}^2$$

$$= 615,64 \text{ cm}^2$$

Momen inersia terhadap diri sendiri

$$I_{oc} = \frac{1}{2} \times \text{lebar equivalen} \times h_c^3$$

$$= \frac{1}{2} \times 205,21 \text{ mm} \times (300\text{mm})^3$$

$$= 461730010,3 \text{ mm}^4 = 46173,0 \text{ cm}^4$$

Letak titik pusat berat penampang baja equivalen terhadap garis netral komposit,

$$\begin{aligned} d_1 &= ya - hc/2 \\ &= 1269,75 \text{ mm} - 300\text{mm}/2 \\ &= 1120 \text{ mm} = 112 \text{ cm} \end{aligned}$$

Momen inersia penampang baja equivalen terhadap garis netral komposit,

$$\begin{aligned} I_c &= I_{oc} + A_c \cdot d_1^2 \\ &= 46173,0 \text{ cm}^4 + 615,64 \text{ cm}^2 \cdot (112\text{cm})^2 \\ &= 7765367 \text{ cm}^4 \end{aligned}$$

$$x \text{ Luas profil Wf, } A_s = 2296 \text{ cm}^2$$

Momen inersia terhadap diri sendiri
 $I_{os} = 27435261 \text{ cm}^4$

Letak titik pusat berat profil WF terhadap garis netral komposit,

$$\begin{aligned} d_2 &= yb - hs/2 \\ &= 1570,25 \text{ mm} - 2540\text{mm}/2 \\ &= 300 \text{ mm} = 30,0 \text{ cm} \end{aligned}$$

Momen inersia profil WF terhadap garis netral komposit,

$$\begin{aligned} I_s &= I_{os} + A_s \cdot d_2^2 \\ &= 27435261\text{cm}^4 + 2296 \text{ cm}^2 \cdot (30,0\text{cm})^2 \\ &= 29595954 \text{ cm}^4 \end{aligned}$$

d. Momen inersia penampang komposit,

$$\begin{aligned} I &= I_c + I_s \\ &= 7765367 \text{ cm}^4 + 29595954 \text{ cm}^4 \\ &= 32270420,90 \text{ cm}^4 \\ &= 372704209024,52 \text{ mm}^4 \end{aligned}$$

- e. Tegangan yang terjadi pada penampang komposit
Pada tepi atas pelat beton

$$\begin{aligned} F_{ca} &= \frac{M \cdot ya}{n \cdot I} \\ &= \frac{18933796188 \text{ Nmm} \cdot 1269,75 \text{ mm}}{8,53 \times 372704209024,52 \text{ mm}^4} \\ &= 7,56 \text{ MPa} \quad (\text{Tekan}) \end{aligned}$$

Pada tepi bawah pelat beton

$$\begin{aligned} F_{cb} &= \frac{M \cdot (ya - hc)}{n \cdot I} \\ &= \frac{18933796188 \text{ Nmm} \cdot (1269,75 \text{ mm} - 300 \text{ mm})}{8,53 \times 372704209024,52 \text{ mm}^4} \\ &= 5,78 \text{ MPa} \quad (\text{Tekan}) \end{aligned}$$

Pada tepi atas flens atas profil WF

$$\begin{aligned} F_{sa} &= \frac{M \cdot (ya - hc)}{I} \\ &= \frac{18933796188 \text{ Nmm} \cdot (1269,75 \text{ mm} - 300 \text{ mm})}{372704209024,52 \text{ mm}^4} \\ &= 49,26 \text{ MPa} \quad (\text{Tekan}) \end{aligned}$$

Pada tepi bawah flens bawah profil WF

$$\begin{aligned} F_{sb} &= \frac{M \cdot yb}{I} \\ &= \frac{18933796188 \text{ Nmm} \cdot 1570,25 \text{ mm}}{372704209024,52 \text{ mm}^4} \\ &= 79,77 \text{ MPa} \end{aligned}$$

- f. Jumlah tegangan pada penampang komposit

Pada tepi atas flens atas profil WF

$$\begin{aligned} F_{sa} &= 835,19 \text{ MPa} + 49,26 \text{ Mpa} \\ &= 884,45 \text{ MPa} \end{aligned}$$

Pada tepi bawah flens bawah profil WF

$$\begin{aligned} F_{sb} &= 835,19 \text{ MPa} + 79,77 \text{ MPa} \\ &= 914,96 \text{ Mpa} \end{aligned}$$

g. Lendutan

$$\delta_{ijin} = \frac{L}{800} = \frac{50000 \text{ mm}}{800} = 62,5 \text{ mm}$$

$$\begin{aligned}\delta_{terjadi} &= \frac{5 \times qu \times L^4}{384 \times E \times I_o} \\ &= \frac{5 \times 57,06 \text{ kN/m} \times (50000 \text{ mm})^4}{384 \times 200000 \times 372704209024,52 \text{ mm}^4} \\ &= 62,3 \text{ mm}\end{aligned}$$

$$\begin{aligned}\delta_{terjadi} &= \frac{1 \times Rbv \times L^3}{48 \times E \times I_o} \\ &= \frac{1 \times 88200 \text{ kN/m} \times (50000 \text{ mm})^3}{48 \times 200000 \times 372704209024,52 \text{ mm}^4} \\ &= 3,1 \text{ mm}\end{aligned}$$

$$\begin{aligned}\text{Jumlah } \delta_{terjadi} &= 62,3 \text{ mm} + 3,1 \text{ mm} \\ &= 65,4 \text{ mm}\end{aligned}$$

Maka, $\delta_{terjadi} < \delta_{ijin}$
 $65,4 \text{ mm} > 62,5 \text{ mm}$ **NO OK**

Pelaksanaan perlu menggunakan perancah ditengah bentang

4.7.3.2 Pelaksanaan Memakai Perancah

Sebelum Komposit

Pembebanan

1. Beban Mati (q DL)

Berat sendiri profil = 17,06 kN/m

Plat lantai beton = $ts \times s \times W_c$

= $0,3 \text{ m} \times 1,75 \text{ m} \times 25 \text{ kN/m}^3$

= 13,13 kN/m

Berat bekisting = 0,15 kN/m

+

$$q_{DL_{total}} = 30,95 \text{ kN/m}$$

2. Beban Hidup (q LL)

$$\begin{aligned} \text{Beban pekerja} &= q \times s \\ &= 5 \text{ kN/m}^2 \times 1,75 \text{ m} \\ &= 8,75 \text{ kN/m} \end{aligned}$$

Kombinasi pembebanan :

$$\begin{aligned} &= 1,3D + 2L \\ &= (1,3 \times 30,95 \text{ kN/m}) + (2 \times 8,75 \text{ kN/m}) \\ &= 57,74 \text{ kN/m} \end{aligned}$$

Analisa Struktur

Momen maksimum yang terjadi pada tumpuan B dan lapangan A – B

$$\begin{aligned} M \text{ maks negatif} &= 1/8 \times q_u \times L^2 \\ &= 1/8 \times 57,74 \text{ kN/m} \times (50 \text{ m})^2 \\ &= 4510,56 \text{ kN.m} \\ &= 4510558422 \text{ N.mm} \end{aligned}$$

Reaksi perletakan

$$\begin{aligned} R_{AV} &= 3/16 \times q \times L \\ &= 3/16 \times 57,74 \text{ kN/m} \times 50 \text{ m} \\ &= 541,27 \text{ kN} \end{aligned}$$

$$\begin{aligned} R_{BV} &= 5/8 \times q \times L \\ &= 5/8 \times 57,74 \text{ kN/m} \times 50 \text{ m} \\ &= 1804,22 \text{ kN} \end{aligned}$$

Momen maksimum positif terdapat pada titik dimana gaya lintang = 0

$$\begin{aligned} D_x &= R_{AV} - q_x \\ &= 0 \end{aligned}$$

$$\begin{aligned} x &= \frac{R_{AV}}{q} = \frac{\frac{3}{16} \times L}{q} = \frac{3}{16} \times \frac{L}{q} \\ &= \frac{3}{16} \times 50 \text{ m} \\ &= 9,375 \text{ m} \quad \text{dari tumpuan A} \end{aligned}$$

$$\begin{aligned}
 M_{\text{maks}} &= 9/512 \times q \times L^2 \\
 &= 9/512 \times 57,74 \text{ kN/m} \times (50 \text{ m})^2 \\
 &= 2537,19 \text{ kN.m} \\
 &= 2537189112 \text{ N.mm}
 \end{aligned}$$

Tegangan yang terjadi pada gelagar baja

- a. Pada daerah momen maksimum negatif (pada tumpuan B)

- Pada tepi atas flens atas profil WF

$$\begin{aligned}
 F_{\text{sa}} &= \frac{M_B \times \frac{hs}{2}}{I_{\text{os}}} = \frac{4510558422 \text{ Nmm} \times \frac{2540 \text{ mm}}{2}}{274352613333,33 \text{ mm}^4} \\
 &= 221,95 \text{ MPa} \quad (\text{Tekan})
 \end{aligned}$$

- Pada tepi bawah flens bawah profil WF

$$\begin{aligned}
 F_{\text{sb}} &= \frac{M_B \times \frac{hs}{2}}{I_{\text{os}}} = \frac{4510558422 \text{ Nmm} \times \frac{2540 \text{ mm}}{2}}{274352613333,33 \text{ mm}^4} \\
 &= 221,95 \text{ MPa} \quad (\text{Tarik})
 \end{aligned}$$

- b. Pada daerah momen maksimum positif (3/16 L dari tumpuan A)

- Pada tepi atas flens atas profil WF

$$\begin{aligned}
 F_{\text{sa}} &= \frac{M_{\text{maks}} \times \frac{hs}{2}}{I_{\text{os}}} = \frac{2537189112 \text{ Nmm} \times \frac{2540 \text{ mm}}{2}}{274352613333,33 \text{ mm}^4} \\
 &= 124,85 \text{ MPa} \quad (\text{Tekan})
 \end{aligned}$$

- Pada tepi bawah flens bawah profil WF

$$\begin{aligned}
 F_{\text{sb}} &= \frac{M_{\text{maks}} \times \frac{hs}{2}}{I_{\text{os}}} = \frac{2537189112 \text{ Nmm} \times \frac{2540 \text{ mm}}{2}}{274352613333,33 \text{ mm}^4} \\
 &= 124,85 \text{ MPa} \quad (\text{Tarik})
 \end{aligned}$$

Lendutan (*deflection*)

Lendutan di tengah bentang tidak terjadi karena ditahan perancah.

$$\delta = 0 \text{ mm}$$

 **Sesudah Komposit**
Pembebatan

1. Beban Mati (q DL)

$$\begin{aligned}
 \text{Berat sendiri profil} &= 17,06 \text{ kN/m} \\
 \text{Plat lantai beton} &= ts \times s \times W_c \\
 &= 0,3 \text{ m} \times 1,75 \text{ m} \times 25 \text{ kN/m}^3 \\
 &= 13,13 \text{ kN/m} \\
 \hline
 q_{DL_{total}} &= 30,80 \text{ kN/m}
 \end{aligned}$$

Beban Mati Tambahan (MA)

$$\begin{aligned}
 \text{Berat Aspal} &= ta \times s \times Wa \\
 &= 0,07 \text{ m} \times 1,00 \text{ m} \times 22 \text{ kN/m}^3 \\
 &= 1,54 \text{ kN/m} \\
 \text{Berat Air Hujan} &= tw \times s \times Ww \\
 &= 0,05 \text{ m} \times 1,00 \text{ m} \times 9,8 \text{ kN/m}^3 \\
 &= 0,49 \text{ kN/m} \\
 \hline
 q_{LL_{total}} &= 2,03 \text{ kN/m}
 \end{aligned}$$

2. Beban Hidup (q LL)

Beban Merata

Sesuai dengan *SNI 1725 – 2016 Pasal 8.3.1*
 beban terbagi rata (BTR) mempunyai q dengan
 besaran yang tergantung pada panjang total yang
 dibebani L yaitu :

- x Jika $L \leq 30 \text{ m}$: $q = 9,0 \text{ kPa}$
- x Jika $L > 30 \text{ m}$: $q = 9,0 (0,5 + 15/L) \text{ kPa}$

Untuk $\lambda = 50 \text{ m}$, maka $L = 50 \text{ m} > 30 \text{ m}$

$$\begin{aligned}
 \text{Maka : } q &= 9,0 (0,5 + 15/50) \\
 &= 7,2 \text{ kPa}
 \end{aligned}$$

$$\begin{aligned}
 P_{BTR} &= q \times s \\
 &= 7,20 \text{ kN/m}^2 \times 1,00 \text{ m} \\
 &= 7,20 \text{ kN/m}
 \end{aligned}$$

Beban Terpusat

Sesuai dengan *SNI 1725 – 2016 Pasal 8.3.1*, BGT dengan intensitas p kN/m harus ditempatkan tegak lurus terhadap arah lalu lintas pada jembatan. Besarnya intensitas p adalah 49,0 kN/m.

Kombinasi pembebanan :

$$\begin{aligned} &= 1,3D + 2 MA + 1,8L_{BTR} \\ &= (1,3 \times 30,80 \text{ kN/m}) + (2 \times 2,03 \text{ kN/m}) + (1,8 \times 7,20 \text{ kN/m}) \\ &= 57,06 \text{ kN/m} \end{aligned}$$

$$\begin{aligned} &= 1,8 L_{BGT} \\ &= 1,8 \times 49 \text{ kN/m} \times 1 \text{ m} \\ &= 49 \text{ kN} \end{aligned}$$

Momen lentur

Momen maksimum yang terjadi ditengah bentang :

$$\begin{aligned} M_{\text{maks}} &= \frac{1}{8} \times qu \times L^2 \\ &= \frac{1}{8} \times 57,06 \text{ kN/m} \times (50 \text{ m})^2 \\ &= 17831,30 \text{ kN.m} \\ &= 17831296188,19 \text{ N.mm} \end{aligned}$$

$$\begin{aligned} M_{\text{maks}} &= \frac{1}{4} \times p \times L \\ &= \frac{1}{4} \times 49 \text{ kN} \times 50 \text{ m} \\ &= 2701,125 \text{ kN.m} \\ &= 2701125000 \text{ N.mm} \end{aligned}$$

$$\begin{aligned} \text{Jumlah momen} &= M_{\text{maks}_1} + M_{\text{maks}_2} \\ &= 20532421188,19 \text{ N.mm} \\ &= 20532,42 \text{ kN.m} \end{aligned}$$

Tegangan yang terjadi pada penampang komposit :

- Pada tepi atas pelat beton

$$F_{ca} = \frac{M_b \times y_a}{n \times I}$$

$$= \frac{20532421188,19 \text{ N.mm} \times 1269,76 \text{ mm}}{8,53 \times 372704209024,52 \text{ mm}^4}$$

$$= 8,20 \text{ MPa}$$

- Pada tepi bawah pelat beton

$$F_{cb} = \frac{Mb \times (ya - hc)}{I}$$

$$= \frac{20532421188,19 \text{ N.mm} \times (1269,76 \text{ mm} - 300 \text{ mm})}{8,53 \times 372704209024,52 \text{ mm}^4}$$

$$= 6,26 \text{ MPa}$$

- Pada tepi atas flens atas profil WF

$$F_{sa} = \frac{Mb \times (ya - hc)}{I}$$

$$= \frac{20532421188,19 \text{ N.mm} \times (1269,76 \text{ mm} - 300 \text{ mm})}{372704209024,52 \text{ mm}^4}$$

$$= 53,42 \text{ MPa}$$

- Pada tepi bawah flens bawah profil WF

$$F_{sb} = \frac{Mb \times yb}{I}$$

$$= \frac{20532421188,19 \text{ N.mm} \times 1570,25 \text{ mm}}{8,53 \times 372704209024,52 \text{ mm}^4}$$

$$= 8,32 \text{ MPa}$$

Jumlah tegangan pada penampang komposit

- Pada tepi atas flens atas profil WF

$$F_{sa} = 221,95 \text{ MPa} - 53,42 \text{ Mpa}$$

$$= 168,53 \text{ MPa}$$

- Pada tepi bawah flens bawah profil WF

$$F_{sb} = - 221,95 \text{ MPa} + 86,51 \text{ MPa}$$

$$= - 135,44 \text{ Mpa}$$

Lendutan

$$\delta_{ijm} = \frac{L}{800} = \frac{50000 \text{ mm}}{800} = 62,5 \text{ mm}$$

$$\delta_{\text{terjadi}} = \frac{5 \times q_u \times L^4}{384 \times E \times I_o}$$

$$= \frac{5 \times 57,06 \text{ kN/m} \times (50000 \text{ mm})^4}{384 \times 200000 \times 372704209024,52 \text{ mm}^4}$$

$$= 62,30 \text{ mm}$$

$$\delta_{\text{terjadi}} = \frac{1 \times R_b v \times L^3}{48 \times E \times I_o}$$

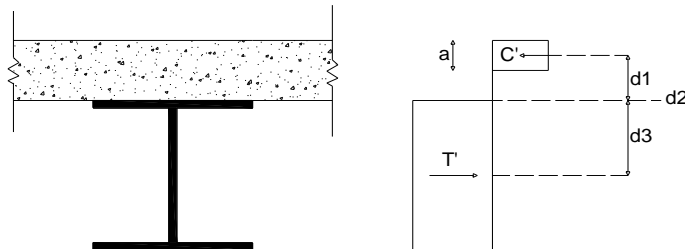
$$= \frac{1 \times 1804,22 \text{ kN/m} \times (50000 \text{ mm})^3}{48 \times 200000 \times 372704209024,52 \text{ mm}^4}$$

$$= 0,0630 \text{ mm}$$

$$\begin{aligned} \text{Jumlah } \delta_{\text{terjadi}} &= 62,30 \text{ mm} + 0,0630 \text{ mm} \\ &= 62,36 \text{ mm} \end{aligned}$$

Maka, $\delta_{\text{terjadi}} < \delta_{\text{jjin}}$
 $62,36 \text{ mm} < 62,5 \text{ mm}$ **OK**

4.7.4 Kontrol Kapasitas Lentur



Gambar 4.18 Garis netral plastis

A. Lebar efektif (**RSNI T – 03 – 2005**)

$$b_E = L/5 = 10 \text{ m}$$

$$b_E = b_o = 1,75 \text{ m} \text{ (menentukan)}$$

$$b_E = 12.h_c = 3,6 \text{ m}$$

B. garis netral plastis (anggap garis netral plastis berada pada gelagar)

- Kekuatan tekan pada pelat lantai C

$$(A \times f_y) = \text{jumlah tulangan} \times \frac{1}{4} \times D^2 \times f_y \\ = 18 \times \frac{1}{4} \times (16)^2 \times 390 \text{ MPa}$$

$$= 1410739 \text{ N}$$

$$0,85.f'_c.b.e.h_c = 0,85 \times 25 \times 1750 \times 300 \\ = 11111625 \text{ N}$$

dambil nilai yang terkecil C = 1410739 N

- Kedalaman daerah tekan pada lantai

$$a = \frac{C}{0,85 \times f'_c \times b \times h_c} \\ = \frac{1410739 \text{ N}}{0,85 \times 25 \text{ MPa} \times 300 \text{ mm}} \\ = 38,09 \text{ mm}$$

- Kapasitas momen

$$\begin{aligned}d_1 &= hc - a/2 \\&= 300 \text{ mm} - (38,09 \text{ mm}/2) \\&= 280,96 \text{ mm}\end{aligned}$$

$$d_2 = 0 \text{ (profil baja tidak mengalami tekan)}$$

$$\begin{aligned}d_3 &= d/2 \\&= 2700 \text{ mm} /2 \\&= 1350 \text{ mm}\end{aligned}$$

$$\begin{aligned}Py &= As \times fy \\&= 2296 \text{ mm}^2 \times 250 \text{ MPa} \\&= 57400000 \text{ N}\end{aligned}$$

$$\begin{aligned}Mn &= C(d_1 + d_2) + Py(d_3 - d_2) \\&= (1410739 \times 280,96) + (57400000 \times 1350) \\&= 77886355504 \text{ Nmm} \\&= 778863,55 \text{ kg.m}\end{aligned}$$

$$\begin{array}{ccc}Mu & \leq & \varphi Mn \\2053242.1 \text{ kg.m} & \leq & 0,9 \times 778863,55 \text{ kg.m} \\2053242.1 \text{ kg.m} & \leq & 7009772 \text{ kg.m} \\ \text{OK} & & \end{array}$$

C. Menghitung momen inersia penampang

- Menentukan nilai n

$$Es = 200000 \text{ MPa}$$

$$Ec = 23453 \text{ MPa}$$

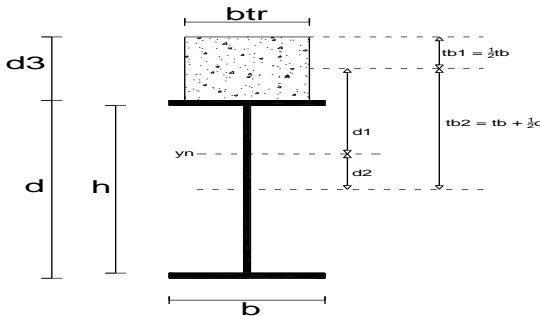
$$\begin{aligned}n &= \frac{Es}{Ec} \\&= \frac{200000 \text{ MPa}}{23453 \text{ MPa}} \\&= 8,53\end{aligned}$$

- Luas konversi terhadap baja

$$btr = \frac{beff}{n} = \frac{175 \text{ cm}}{8,53} = 20,5 \text{ cm}$$

- Luas total (Atr)

$$\begin{aligned} Atr &= btr \times d_3 \\ &= 20,5 \text{ cm} \times 30 \text{ cm} \\ &= 616 \text{ cm}^2 \\ &= 61564 \text{ mm}^2 \end{aligned}$$



- Berdasarkan gambar di atas

$$\begin{aligned} tb_1 &= \frac{1}{2} \times d_3 \\ &= \frac{1}{2} \times (300 \text{ mm}) \\ &= 150 \text{ mm} \\ tb_2 &= d_3 + (\frac{1}{2} \times d) \\ &= 300 \text{ mm} + (\frac{1}{2} \times 2700 \text{ mm}) \\ &= 1650 \text{ mm} \end{aligned}$$

D. Mencari garis netral

Tabel 4.9 Perhitungan garis netral

	An	Jarak serat atas ke titik berat benda	An x yn
Beton	61564.00	150	9234600.207
Baja	229600	1650	378840000.00
Jumlah	291164.0	-	388074600.2

$$Y_n = \frac{\sum A_n \times Y_n}{\sum A_n}$$

$$= 1332,8 \text{ mm}$$

Maka bias dicari :

$$\begin{aligned} d_1 &= Y_n - \frac{1}{2} d_3 \\ &= 1332,8 \text{ mm} - (\frac{1}{2} \times 300 \text{ mm}) \\ &= 1182,84 \text{ mm} \\ d_2 &= tb_2 - Y_n \\ &= 1650 \text{ mm} - 1332,8 \text{ mm} \\ &= 317,2 \text{ mm} \end{aligned}$$

4.8 Shear Connector (Stud)

4.8.1 Data

- Tebal slab	ts	= 300 mm
- Panjang gelagar	L	= 50000 mm
- Panjang antar gelagar	s	= 1750 mm

Data Material

-Beton

Kuat tekan	fc'	= 24,9 MPa
Wc		= 2500 kg/m ³
Ec		= 23453 MPa

4.8.2 Perhitungan Shear Connector

Shear Studs held in stock

D Diameter	Nominal Length	L Length	A	H	Burn off
M13	50	54	8	25	4
M13	100	104			
M13	150	154			
M16	65	69	8	32	4
M16	100	104			
M16	150	154			
M16	50	55			
M19	75	80			
M19	80	85			
M19	95	100			
M19	100	105	10	32	5
M19	125	130			
M19	150	155			
M19	175	180			
M19	200	205			
M19	250	255			
M19	300	305			
M22	100	105			
M22	125	130			
M22	150	155			
M22	200	205			
M22	250	255			
M25	100	106	10	35	5
M25	125	131			
M25	200	206	13	41	6

Gambar 4.19 Dimensi stud

Syarat diameter maksimum

$$\begin{aligned} 1,5 \text{ tf} &= 1,5 \times 80 \text{ mm} \\ &= 120 \text{ mm} \\ &= 12 \text{ cm} \end{aligned}$$

Dipakai konektor 19 x 150

$$\begin{array}{lll} D & = 19 \text{ mm} & < 120 \text{ mm} \quad \text{OK} \\ L & = 150 \text{ mm} & \\ f_u & = 410 \text{ MPa} & \\ f_y & = 345 \text{ MPa} & \\ A_{sc} & = 283,5 \text{ mm}^2 & \end{array}$$

Jarak antar konektor tidak boleh melebihi

- 600 = 600 mm = 60 cm
- 2 hc = 2 x 300 mm = 60 cm
- 4 L = 4 x 150 mm = 60 cm

Kapasitas nominal 1 stud

$$\begin{aligned} Q_n &= 0,5 \times A_{sc} \times (f_c' \times E_c)^{0,5} \\ &= 0,5 \times 283,5 \text{ mm}^2 \times (25 \text{ MPa} \times 23453 \text{ MPa})^{0,50} \end{aligned}$$

$$= 108334,2 \text{ N}$$

$$\begin{aligned} VL_s &= 0,55 n V_{su} \\ &= 0,55 \times 2 \times 108334,2 \text{ N} \\ &= 119167,61 \text{ N} \end{aligned}$$

Gaya geser yang bekerja
 $V = 441830,1 \text{ N}$

Gaya geser persatuan panjang

$$\begin{aligned} V_L^* &= \frac{VA_t Y_c}{It} \\ &= \frac{441830,1 \text{ N} \times 615,6 \text{ cm}^2 \times 133,3 \text{ cm}}{37270420,9 \text{ cm}^4} \\ &= 958,4 \text{ N} \end{aligned}$$

$$\begin{array}{rcl} V_L^* & \leq & \phi V_{LS} \\ 958,4 \text{ N} & \leq & 0,75 \times 119167,61 \text{ N} \\ 958,4 \text{ N} & \leq & 89375,7 \text{ N} \end{array} \quad \text{OK}$$

$$\begin{aligned} Vh &= 0,85 \times f'_c \times b_{eff} \times t_s \\ &= 0,85 \times 25 \text{ MPa} \times 1750 \text{ mm} \times 300 \text{ mm} \\ &= 11111625 \text{ N} \end{aligned}$$

Jumlah shear connector (n) $\frac{1}{2}$ bentang

$$\begin{aligned} n &= \frac{Vh}{Qn} \\ &= \frac{11111625 \text{ N}}{108334,2 \text{ N}} \\ &= 103 \text{ buah} \end{aligned}$$

Jadi jumlah shear connector yang dibutuhkan sepanjang gelagar memanjang adalah

$$2 n = 205 \text{ buah}$$

Jarak antar konektor yang digunakan

$$= \frac{L}{n} = \frac{5000}{103} = 49 \text{ cm}$$

Jarak longitudinal minimum

$$\begin{aligned} 6D &= 6 \times 19 \text{ mm} \\ &= 114 \text{ mm} \\ &= 11,4 \text{ cm} \end{aligned}$$

Jarak longitudinal maksimum

$$\begin{aligned} 8ts &= 8 \times 300 \text{ mm} \\ &= 2400 \text{ mm} \\ &= 240 \text{ cm} \end{aligned}$$

Jarak tegak lurus longitudinal

$$\begin{aligned} 4D &= 4 \times 19 \text{ mm} \\ &= 76 \text{ mm} \\ &= 7,6 \text{ cm} \end{aligned}$$

4.9 Diafragma

4.9.1 Perencanaan Dimensi Diafragma

Data Perencanaan

Mutu baja	= BJ - 37	
Tegangan leleh	= 240 MPa	
Bentang/panjang diafragma	= 6m	
Profil L 120 x 120 x 13		
b	= 120 mm	$W_x = W_y = 46 \text{ cm}^3$
d	= 13 mm	$F = 29,7 \text{ cm}^2$
r	= 13 mm	$k_x = k_y = 2,24$
$i_x = i_y$	= 3,64 cm	
W	= 23,3 kg/m	
$I_x = I_y$	= 394 cm^4	

4.9.2 Pembebanan Diafragma

$$\begin{aligned} \text{Berat sendiri diafragma (q)} &= 0,288 \text{ kN/m} \\ \text{Gaya tekan vertikal} & \end{aligned}$$

$$\begin{aligned}
 V_a &= V_b = \frac{1}{2} \times q \times L \\
 &= \frac{1}{2} \times 0,288 \text{ kN/m} \times 8 \text{ m} \\
 &= 0,91
 \end{aligned}$$

Momen Lentur

$$\begin{aligned}
 M_{\text{maks}} &= \frac{1}{2} \times q \times L^2 \\
 &= 7,312 \text{ kNm}
 \end{aligned}$$

$$\begin{aligned}
 M_u &= M \times K_u \\
 &= 7,312 \text{ kNm} \times 1,3 \\
 &= 9,505 \text{ kNm}
 \end{aligned}$$

4.9.3 Analisa Kekuatan Diafragma

x Kontrol Penampang

Pelat Sayap

$$\begin{array}{ccc}
 \frac{b}{2d} & \leq & \frac{170}{\sqrt{f_y}} \\
 \frac{120 \text{ mm}}{2 \times 13 \text{ mm}} & \leq & \frac{170}{\sqrt{250 \text{ MPa}}} \\
 4,62 & < & 10,75
 \end{array}$$

(Penampang Kompak)

Pelat Badan (Web)

$$\begin{array}{ccc}
 \frac{b}{d} & \leq & \frac{1680}{\sqrt{f_y}} \\
 \frac{120 \text{ mm}}{12 \text{ mm}} & \leq & \frac{1680}{\sqrt{250 \text{ MPa}}} \\
 9,23 & < & 106,25
 \end{array}$$

(Penampang Kompak)

x Perhitungan yang terjadi

$$\delta_{ijin} = \frac{L}{240} = \frac{800}{240} = 3,33 \text{ cm}$$

Tegangan yang terjadi akibat beban horizontal

$$\delta_{\text{terjadi}} = \frac{5 \times q \times L^4}{384 \times E \times I_x}$$

$$= \frac{5 \times 0,91 \times (8)^4}{384 \times 200000 \text{ MPa} \times 3940000 \text{ mm}^4}$$

δ terjadi < δ ijin OK

4.10 Sambungan Baja

Alat sambung yang digunakan adalah baut mutu tinggi (HTB) yang perencanaannya berdasarkan AISC-LRFD.

4.10.1 Sambungan pada Gelagar Memanjang

Data-data perencanaan :

Profil gelagar memanjang WF 2700 x 800 x 40 x 80

Baut d_b = 24 mm ; A325 (830 Mpa)

Luas Baut = $4,52 \text{ cm}^2 = 452,39 \text{ mm}^2$

- Perhitungan gaya dalam pada sambungan :

a. Jarak sambungan dari perletakan $L_s = 1,8 \text{ m}$

b. $M_u = 18933,80 \text{ kN.m} = 18933796,19 \text{ N.m}$

c. $V_u = 190,91 \text{ kN} = 190908,266 \text{ N}$

d. $D_u = \frac{V_{max.0,5L}}{L_s}$

$$= \frac{1514703,7 \text{ kN} \times 0,5 \times 50 \text{ m}}{8 \text{ m}} \\ = 4733449,05 \text{ N}$$

$$\begin{aligned} e. \quad M_{u \text{ badan}} &= \frac{I_{\text{badan}}}{I_{\text{profil}}} \cdot M_u \\ &= \frac{0,274 \text{ m}^4}{0,060 \text{ m}^4} \cdot 18933796,19 \text{ N.m} \\ &= 4137244,771 \text{ N.m} \end{aligned}$$

$$\begin{aligned} f. \quad M_{u \text{ sayap}} &= M_u - M_{u \text{ badan}} \\ &= 18933796,19 \text{ N.m} - 4137244,771 \text{ N.m} \\ &= 14796551,42 \text{ N.m} \end{aligned}$$

Perencanaan Sambungan Sayap

Digunakan pelat penyambung (tp) = 15 mm

a. Kuat geser tumpu baut :

$$\begin{aligned} V_f &= m \times r_1 \times f_u^b \times A_b \\ &= 2 \times 0,5 \times 830 \text{ MPa} \times 452 \text{ mm}^2 \\ &= 375483 \text{ N} \\ \varnothing \cdot V_f &= 0,75 \times 292990 \text{ N} \\ &= 281612 \text{ N} \end{aligned}$$

b. Kuat geser tumpu plat :

$$\begin{aligned} V_b &= 2,4 \times D_f \times tp \times f_u \\ &= 2,4 \times 24 \text{ mm} \times 15 \text{ mm} \times 410 \text{ Mpa} \\ &= 354240 \text{ N} \\ \varnothing \cdot V_b &= 0,75 \cdot 717120 \text{ N} \\ &= 265680 \text{ N} \end{aligned}$$

c. Jumlah baut yang diperlukan:

$$\begin{aligned} n &= \frac{M_u \text{ sayap}}{V_f} \\ &= \frac{14796551,42 \text{ N.m}}{281612,4 \text{ N}} \\ &= 52,542 \text{ buah} \quad (4 \text{ baris}) \end{aligned}$$

Dalam 1 baris = 13 buah

Baut yang terpasang = 56 buah

d. Kontrol syarat :

$$\begin{aligned} V_f^* &< \varnothing \cdot V_f \\ Vu/n &< 219742,5 \text{ N} \\ 3602,0 \text{ N} &< 219742,5 \text{ N} \quad \text{OK} \end{aligned}$$

e. Jarak baut

f. Jarak antar pusat lubang baut

$3 \cdot Db < s < 15 \cdot tp$ atau 200 mm

$72 \text{ mm} < 112 \text{ mm} < 225 \text{ mm}$ atau 200 mm

$S = 112 \text{ mm}$

- f* Jarak antar baut tepi dengan ujung pelat
 $1,5 \cdot D_b < s < 4 \cdot t_p + 100$ atau 150 mm
 $36 \text{ mm} < 40 \text{ mm} < 160 \text{ mm}$ atau 150 mm
 $S = 40 \text{ mm}$

Penercanaan Sambungan Badan

Digunakan pelat penyambung (*t_p*) = 15 mm

- a. Kuat geser tumpu baut :

$$\begin{aligned} V_f &= m \times r_1 \times f_u^b \times A_b \\ &= 2 \times 0,5 \times 830 \text{ MPa} \times 452 \text{ mm}^2 \\ &= 375483 \text{ N} \\ \varnothing \cdot V_f &= 0,75 \times 292990 \text{ N} \\ &= 281612 \text{ N} \end{aligned}$$

- b. Kuat geser tumpu plat :

$$\begin{aligned} V_b &= 2,4 \times D_f \times t_p \times f_u \\ &= 2,4 \times 24 \text{ mm} \times 15 \text{ mm} \times 410 \text{ MPa} \\ &= 354240 \text{ N} \\ \varnothing \cdot V_b &= 0,75 \cdot 717120 \text{ N} \\ &= 265680 \text{ N} \end{aligned}$$

$$\begin{aligned} \text{Asumsikan } e &= 100 \text{ mm} \\ M_u \text{ total} &= M_u \text{ badan} + D_u \cdot e \\ &= 4137244,8 \text{ Nm} + (4733449 \text{ N} \times \\ &\quad 0,1 \text{ m}) \\ &= 4610589,68 \text{ N.m} \end{aligned}$$

Karena memikul beban kombinasi maka *R_u* direduksikan 0,7

Karena susunan baut lebih dari 1 baris maka *R_u* dinaikkan 1,2

Jumlah baut :

$$n = \sqrt{\frac{6 \cdot M_u}{\mu \cdot R_u}}$$

$$\begin{aligned}
 &= \sqrt{\frac{6 \times 4610589,68 \text{ N.m}}{0,2 \times 281612,365 \text{ N}}} \\
 &= 22,16 \text{ buah} \\
 &= 23 \text{ buah} \quad (4 \text{ baris})
 \end{aligned}$$

Jumlah baut per baris = 6 buah

Baut yang terpasang = 24 buah

c. Jarak baut

f Jarak antar pusat lubang baut

$3.D_b < s < 15.tp$ atau 200 mm

$72 \text{ mm} < 120 \text{ mm} < 225 \text{ mm}$ atau 200 mm

$S = 120 \text{ mm}$

f Jarak antar baut tepi dengan ujung pelat

$1,5.D_b < s < 4.tp + 100$ atau 200 mm

$36 \text{ mm} < 160 \text{ mm} < 160 \text{ mm}$ atau 200 mm

$S = 160 \text{ mm}$

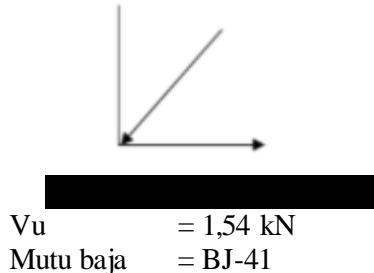
d. Kontrol syarat :

$V_f^* < \emptyset \cdot V_f$

$V_u/n < 219742,5 \text{ N}$

$116515,7 \text{ N} < 219742,5 \text{ N} \quad \text{OK}$

4.10.2 Sambungan pada Simpul 1



f_u	= 410 Mpa
f_y	= 250 Mpa
Baut tipe	= tinggi (A325)
D_b	= 16 mm
F_u	= 825 Mpa
A_e	= 144 Mpa
A_s	= 157 mm ²
A_o	= 201 mm ²
K_r	= 1
N_n	= 1
N_x	= 1

- Gaya geser pada baut

$$\begin{aligned} V_f &= 0,62 \times f_u \times k_r (n_n \cdot A_e + n_x \cdot A_o) \\ &= 0,62 \cdot 825 \cdot 1(1 \cdot 144 + 1 \cdot 201) \\ &= 176467,5 \text{ kN} \end{aligned}$$

$$\begin{aligned} \emptyset \cdot V_f &= 0,75 \cdot 176467,5 \text{ kN} \\ &= 132350,63 \text{ kN} \end{aligned}$$
- Gaya Tarik pada baut

$$\begin{aligned} N_{tf} &= A_s \cdot f_u \\ &= 157 \times 825 \\ &= 129525 \text{ kN} \end{aligned}$$

$$\begin{aligned} \emptyset \cdot N_{tf} &= 0,75 \cdot 129525 \text{ kN} \\ &= 97143,75 \text{ kN} \end{aligned}$$
- Jumlah baut :

$$\begin{aligned} n &= \frac{V_u}{\emptyset \cdot V_f} \\ &= \frac{1,54 \text{ kN}}{132350,63 \text{ kN}} \\ &= 0,000012 = 2 \text{ baut} \end{aligned}$$
- Perhitungan kontrol baut
Baut dalam geser
Syarat,

$$\frac{\frac{V_u}{n}}{\frac{0,77 \text{ kN}}{3}} \leq 132350,63 \text{ kN} \quad \text{OK}$$

Buat dalam Tarik

Syarat,

$$\frac{\frac{V_u}{2}}{\frac{0,77 \text{ kN}}{3}} \leq 97143,75 \text{ kN} \quad \text{OK}$$

- Syarat jarak baut

Jarak antar baut

Syarat,

- f* Jarak antar baut

$$2,5 \cdot df < s < 15 \cdot tp \quad \text{atau } 200 \text{ mm}$$

$$40 \text{ mm} < 100 \text{ mm} < 225 \text{ mm} \quad \text{atau } 200 \text{ mm}$$

$$S = 100 \text{ mm}$$

- f* Jarak tepi baut

$$1,5 \cdot Df < s < 4 \cdot tp \quad \text{atau } 200 \text{ mm}$$

$$24 \text{ mm} < 40 \text{ mm} < 60 \text{ mm} \quad \text{atau } 200 \text{ mm}$$

$$S = 40 \text{ mm}$$

- Sambungan pelat simpul ke batang horizontal

$$P_u = V_u \sin \alpha$$

$$\tan \alpha = 1,997 \text{ m} / 0,798 \text{ m} = 2,50$$

$$\alpha = 68,22^\circ$$

$$P = V_u \cos \alpha$$

$$= 0,961 \text{ kN}$$

$$= 96,131 \text{ kg}$$

Dipakai sambungan las sudut dengan design sebagai berikut :

$$\text{Digunakan las (a)} = 10 \text{ mm}$$

$$\text{Te} = 0,707 \text{ a}$$

$$= 7,07$$

Kuat rencana las sudut ukuran 10 mm per mm panjang:

$$\begin{aligned}\Phi.R_{nw} &= \phi \cdot T_e (0,6 f_{uw}) \\ &= 0,75 \times 7,07 (0,6 \cdot 490) \\ &= 1558,935 \text{ N/mm}\end{aligned}$$

Panjang total las :

$$\frac{P}{\Phi.R_{nw}} = \frac{961,131 \text{ N}}{1558,935 \text{ N/mm}} = 0,62 \text{ mm} = 1 \text{ mm}$$

4.10.3 Sambungan pada Simpul 2



V _u	= 1,54 kN
Mutu baja	= BJ-41
f _u	= 410 Mpa
f _y	= 250 Mpa
Baut tipe	= tinggi (A325)
D _b	= 16 mm
F _u	= 825 Mpa
A _e	= 144 Mpa
A _s	= 157 mm ²
A _o	= 201 mm ²
K _r	= 1
N _n	= 1
N _x	= 1

- Gaya geser pada baut
- | | |
|------------------|--|
| V _f | = 0,62.f _u .K _r (n _n .A _e + n _x .A _o) |
| | = 0,62.825.1(1. 144 + 1. 201) |
| | = 176467,5 kN |
| Ø.V _f | = 0,75 . 176467,5 kN |
| | = 132350,625 kN |

- Gaya Tarik pada baut
- $$\begin{aligned} Ntf &= As \times fu \\ &= 157 \times 825 \\ &= 129525 \text{ kN} \\ \varnothing.Ntf &= 0,75 \cdot 129525 \text{ kN} \\ &= 97143,75 \text{ kN} \end{aligned}$$

- Jumlah baut :
- $$\begin{aligned} n &= \frac{Vu}{\varnothing.Vf} \\ &= \frac{1,54}{297693} \\ &= 0,000012 = 2 \text{ baut} \end{aligned}$$

- Perhitungan kontrol baut
Baut dalam geser
Syarat,
- $$\begin{aligned} \frac{Vu}{2} &\leq \varnothing.Vf \\ \frac{1,54 \text{ kN}}{2} &\leq 132350,625 \text{ kN} \end{aligned} \quad \text{OK}$$

Buat dalam Tarik
Syarat,

$$\begin{aligned} \frac{Vu}{2} &\leq \varnothing.Ntf \\ \frac{1,54 \text{ kN}}{2} &\leq 97143,75 \text{ kN} \end{aligned} \quad \text{OK}$$

- Syarat jarak baut
Jarak antar baut
Syarat,
- | | | |
|---|------------------|-------------|
| f | Jarak antar baut | |
| $2,5 df < s < 15 tp$ | | atau 200 mm |
| $40 \text{ mm} < 132,5 \text{ mm} < 225 \text{ mm}$ | | atau 200 mm |
| $S = 132,5 \text{ mm}$ | | |

$$\begin{aligned}
 f & \text{ Jarak tepi baut} \\
 1,5.\text{Db} < s < 4.\text{tp} & \text{ atau } 200 \text{ mm} \\
 24 \text{ mm} < 42 \text{ mm} < 60 \text{ mm} & \text{ atau } 200 \text{ mm} \\
 S = 42 \text{ mm} &
 \end{aligned}$$

- Sambungan pelat simpul ke batang horizontal

$$P_u = V_u \sin \alpha$$

$$\tan \alpha = 0,798 \text{ m} / 1,997 \text{ m} = 0,40$$

$$\alpha = 21,78$$

$$P = V_u \cos \alpha$$

$$= 0 \text{ kN}$$

Dipakai sambungan las sudut dengan design sebagai berikut :

$$\text{Digunakan las (a)} = 10 \text{ mm}$$

$$T_e = 0,707 \text{ a}$$

$$= 7,07$$

Kuat rencana las sudut ukuran 10 mm per mm panjang:

$$\begin{aligned}
 \Phi.R_{nw} & = \phi \cdot T_e (0,6 \text{ fuw}) \\
 & = 0,75 \times 7,07 (0,6490) \\
 & = 1558,935 \text{ N/mm}
 \end{aligned}$$

Panjang tota las :

$$\frac{P}{\Phi.R_{nw}} = \frac{0 \text{ N}}{1558,935 \text{ N/mm}} = 0 \text{ mm}$$

4.11 Elastomer / Bearing Pad

4.11.1 Beban yang Bekerja pada Elastomer

e. Gaya vertikal yang bekerja

$$- \text{ Tiang dan pipa sandaran } Q_t = 1,2516 \text{ kN}$$

$$\begin{aligned}
 - \text{ Aspal, } Q_a & = t_a \times S \times L \times W_a \\
 & = 0,07 \text{ m} \times 1,75 \times 50 \times 22 \text{ kN/m}^3 \\
 & = 134,75 \text{ kN}
 \end{aligned}$$

$$\begin{aligned}
 - \text{ Air Hujan, } Q_h & = t_h \times S \times L \times W_w \\
 & = 0,05 \text{ m} \times 1,75 \times 50 \times 9,8 \text{ kN/m}^3 \\
 & = 42,875 \text{ kN}
 \end{aligned}$$

- Pelat lantai,Qs = ts x S x L x Wc
 $= 0,3 \text{ m} \times 1,75 \times 50 \times 9,8 \text{ kN/m}^3$
 $= 656,25 \text{ kN}$

- Diafragma
 $Q_{\text{horizontal}} = W \times \text{jumlah diafragma} \times L$
 $= 0,228 \text{ kN} \times 42 \times 50 \text{ m}$
 $= 479,839 \text{ kN}$

$Q_{\text{diagonal}} = W \times \text{jumlah diafragma} \times L$
 $= 0,228 \text{ kN} \times 42 \times 50 \text{ m}$
 $= 479,839 \text{ kN}$

- Gelagar = W x jumlah gelagar x L
 $= 17,06 \text{ kN} \times 4 \times 50 \text{ m}$
 $= 3412,640 \text{ kN}$

- Beban Hidup
 $\text{Beban garis (p)} = 49 \text{ kN/m} \times S$
 $= 49 \text{ kN/m} \times 1,75 \text{ m}$
 $= 85,75 \text{ kN}$
 $\text{Beban merata (q)} = 9 \text{ kN/m} \times S \times L$
 $= 9 \text{ kN/m} \times 1,75 \text{ m} \times 50 \text{ m}$
 $= 787,5 \text{ kN}$

- Total gaya vertikal = $Qt + Qa + Qh + Qs + Q_{\text{hor}}$
 $+ Q_{\text{diag}} + Q_{\text{gel}} + \text{BTR} + \text{BGT}$
 $= 6080,696 \text{ kN}$

V = $qv \times 0,5$
 $= 6080,696 \text{ kN}$
 $= 3040,348 \text{ kN}$

Gaya reaksi terhadap total girder
 $= 3040,348 \text{ kN} / 7$
 $= 434,3306 \text{ kN}$

c. Gaya horizontal yang bekerja	
- Akibat Gempa struktur atas	= 3498,592 kN
- Akibat rem	= 104,771 kN
H total	= 3603,363 kN

Untuk tiap tumpuan menahan gaya horizontal setengahnya

$$\begin{aligned} H &= 0,5 \text{ Htotal} \\ &= 0,5 \times 3603,363 \text{ kN} \\ &= 1801,681 \text{ kN} \end{aligned}$$

4.11.2 Tahap Perencanaan Dimensi Elastomer

Penentuan dimensi rencana elastomer menggunakan brosur *freyssy.net* direncanakan :

a. Panjang elastomer	= 150 mm
b. Lebar elastomer	= 300 mm
c. Tebal pelat baja elastomer	= 3 mm
d. Tebal lapis elastomer	= 8 mm
e. Tebal total elastomer	= 37 mm
f. Tebal selimut atas dan bawah	= 3 mm
g. Daya dukung (V max)	= 715 kN

Tabel 4. 10 Dimensi perletakan elastomer

Jumlah Lapis karet	Tebal karet dalam	Tinggi Keseluruhan	Tebal selimut sisi	Tebal selimut atas	Tebal pelat baja
n	mm	mm	mm	mm	mm
8	4	37	5	3	3

Tabel 4.11 Data dan Spesifikasi elastomer

No	Deskripsi Besaran	Simbol	Nilai	Satuan
1	Kekerasan karet	IHRD	59	
2	Modulus Geser	G	0,69	Mpa
3	Modulus Total	B	2000	Mpa
4	Panjang Perletakan	a	150	mm
5	Lebar Perletakan	b	300	mm
6	Tebal Selimut	tc	10	mm
7	Tebal Lapis Dalam	ti	21	mm
8	Tebal lapis eff selimut	te	8	mm
9	Tebal lapis eff dalam	te	21	mm
10	Tebal pelat baja	ts	3	mm
11	Tebal total elastomer	t	37	mm
12	Jumlah lubang baut	N	-	-
13	Diamter lubang baut	D	-	-
14	Luas denah total karet	At	45000	mm ²
15	Luas denah permukaan	A	-	-

4.11.3 Kontrol Perletakan Elastomer

Sesuai dengan BMS BDM pasal 8.3 terdapat beberapa tahap pemeriksaan pada perletakan elastomer :

1. Pemeriksaan tahap 1 (terhadap luas efektif minimum)

Menghitung gerakan tangential :

$$\delta a = \delta b = \frac{H \times t}{1000 \times A \times G}$$

$$= \frac{1801,681 \text{ kN} \times 37 \text{ mm}}{1000 \times 45000 \times 0,69}$$

$$= 0,002147$$

Menghitung luas efektif minimum

$$\begin{aligned} A_{\text{eff}} &= A_t \times \left(1 - \frac{\delta a}{450} - \frac{\delta b}{600}\right) \\ &= 45000 \times \left(1 - \frac{0,00215}{150} - \frac{0,00215}{300}\right) \\ &= 44999,03 \end{aligned}$$

Kontrol tahap 1 :

$$\frac{A_{\text{eff}}}{0,80 \text{ At}} \geq 1,0$$

$$\frac{44999,03}{0,80 \cdot 45000} \geq 1,0$$

$$1,25 \geq 1,0 \quad \text{OK}$$

Kontrol faktor bentuk : $4 \leq S \leq 12$

$$S = \frac{a \times b}{2 \times (a+b) \times t_e}$$

$$= \frac{150 \times 300}{2 \times (150+300) \times 16}$$

$$= 3,125 \quad \text{OK}$$

2. Pemeriksaan tahap 2 (terhadap regangan max)

Untuk nilai $A_{\text{eff}} > 0,9 A$, maka diambil data pemeriksaan sebagai berikut :

$$\epsilon_{sh \max} = 0,7$$

$$\epsilon_{sh} = 0,000019$$

Kontrol :

$$\frac{\epsilon_{sh \ max}}{\epsilon_{sh}} \geq 1,0$$

$$\frac{0,7}{0,000019} \geq 1,0$$

$$36191,193 \geq 1,0 \quad \text{OK}$$

3. Pemeriksaan tahap 3 (terhadap tegangan max rata - rata)

Kontrol

$$\frac{15 \times A_t}{V} \geq 1,0$$

$$\frac{15 \times 45000}{434330,657 \text{ kN}} \geq 1,0$$

$$1,55 \geq 1,0 \quad \text{OK}$$

4. Pemeriksaan tahap 4 (terhadap stabilitas tekan)

Kontrol :

$$\frac{2 \times b \times G \times S \times A_{\text{eff}}}{1000 \times V} \geq 1,0$$

$$\frac{2 \times 300 \times 0,69 \times 3,125 \times 4999,03}{1000 \times 434,331} \geq 1,0$$

$$134,039 \geq 1,0 \quad \text{OK}$$

5. Pemeriksaan tahap 5 (tebal baja minimum)

ts (tebal pelat baja) = 3,0 mm

Kontrol:

$$\frac{ts}{3} \geq 1,0$$

$$\frac{3}{3} \geq 1,0$$

$$1,00 \geq 1,0$$

$$\frac{ts \times A \times f_{sy}}{3000 \times V \times t_i} \geq 1,0$$

$$\frac{3 \times 45000 \times 950}{3000 \times 434,330 \times 21} \geq 1,0$$

$$4,687 \geq 1,0 \quad \text{OK}$$

6. Pemeriksaan tahap 6 (tahanan gesek terhadap geseran)

$$\frac{0,1 \cdot V + (3000 \times A_{eff})}{H \times 1000} \geq 1,0$$

$$\frac{43433,07 + 134997101,64}{1801681,433} \geq 1,0$$

$$74,962 \geq 1,0 \quad \text{OK}$$

BAB V

PERHITUNGAN BANGUNAN BAWAH

5.1 Abutment

5.1.1. Perencanaan Abutment (Kepala Jembatan)

Abutment (Kepala Jembatan) merupakan suatu bangunan bawah / bagian dari konstruksi jembatan yang menerima beban dari bangunan atas dan tekanan tanah yang selanjutnya akan disalurkan ke pondasi. Desain awal kepala jembatan secara umum harus disesuaikan dengan jenis pondasi yang digunakan dan ketinggian dari jembatan yang direncanakan.

5.2 Preliminari Abutment

5.2.1 Pembebanan pada Abutment

1. Beban Mati Bangunan Atas

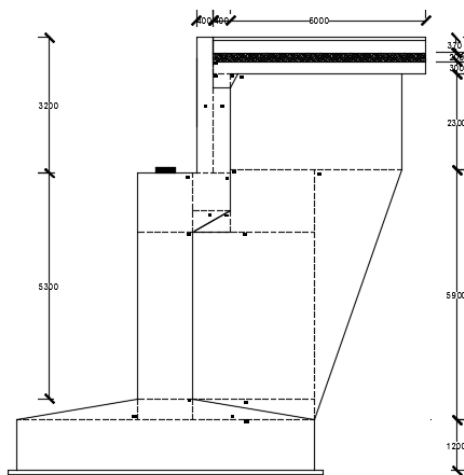
Beban yang diterima oleh satu abutment akibat beban sendiri bangunan atas sepanjang 25 m adalah sebagai berikut :

Tabel 5.1 Berat Sendiri Bangunan Atas

Beban	Parameter Volume (m)			Berat Jenis kN/m ³	Berat (kN)
	b	t	L		
Slab Jembatan	12	0.3	25	25	2250.0
Lapisan Aspal + Overlay	10	0.07	25	22	385.0
Balok Diafragma		0.003	25	77	5.775
Balok Baja		0.2296	25	77	441.980
Trotoar	1	0.25	25	25	156.250
Tiang Sandaran	0.2	1.2	25	25	150.0
Total berat sendiri struktur atas (Wms)					3389.005

2. Beban Sendiri Abutment

Dalam perhitungan beban mati bangunan bawah dibagi atas beberapa segmen. Hal ini untuk memudahkan dalam analisis beban mat abutment. Pembagian segmen ditunjukkan pada gambar di bawah ini :



Gambar 5.1 Dimensi Berat Sendiri Abutment

Analisis berat abutment didapat dari volume dikalikan dengan berat jenis. Kemudian dicari titik berat abutment dengan metode statis momen, perhitungan berat dan statis momen dapat dilihat pada tabel 5.2 di bawah :

Tabel 5.2 Berat Sendiri Bangunan Bawah

Bagian		Parameter berat bagian (m)		γ kN/m ³	Berat/W kN	lengan thd alas		W.x kN.m	W.z kN.m
		Luas	L			x (m)	z (m)		
ABUTMENT	A1	0.800	14	25	280.00	1.33	8.04	372.40	2251.20
	A2	1.280	14	25	448.00	0.93	8.63	416.64	3867.58
	A3	0.792	14	25	277.20	1.09	6.58	302.15	1823.98
	A4	0.220	14	25	77.00	0.17	7.17	12.83	551.83
	A5	1.820	14	25	637.00	0.00	6.33	0.00	4032.21
	A6	5.070	14	25	1774.50	0.00	3.64	0.00	6459.18
	A7	0.650	14	25	227.50	0.00	1.45	0.00	329.88
	A8	0.338	14	25	118.13	0.82	1.37	96.47	161.44
	A9	0.338	14	25	118.13	0.82	1.37	96.47	161.44
	A10	4.800	14	25	1680.00	0.00	0.60	0.00	1008.00
PELAT INJAK	P1	1.500	14	25	525.00	3.63	9.52	1905.75	4995.90
	P2	0.126	14	25	44.24	1.33	9.21	58.84	407.36
	P3	0.026	14	25	9.12	3.63	9.28	33.12	84.63
WINGWALL	W1	8.559	0.5	25	106.99	1.39	9.155	148.18	979.49
	W2	9.647	0.5	25	120.58	3.73	3.17	449.97	381.84
	W3	0.691	0.5	25	8.64	1.77	3.65	15.24	31.52
	W4	0.225	0.5	25	2.81	1.47	7	4.13	19.69
	W5	5.265	0.5	25	65.81	1.33	3.67	87.20	241.53
	W6	0.338	0.5	25	4.22	1.63	1.37	6.89	5.77
Berat Abutment Wh =					6524.86			4006.28	27794.46

Sehingga didapatkan titik berat atau titik tangkap gaya terhadap titik O :

$$X = \frac{\sum \text{Momen } x}{\sum \text{Berat}} = \frac{4006,28 \text{ kN.m}}{6524,86 \text{ m}} = 0,61 \text{ m}$$

$$Y = \frac{\sum \text{Momen } Y}{\sum \text{Berat}} = \frac{27794,46 \text{ kN.m}}{6524,86 \text{ m}} = 4,26 \text{ m}$$

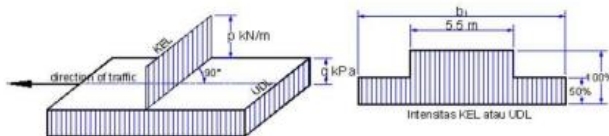
Rekapitulasi Berat Sendiri

No	Jenis Konstruksi	Pms (kN)
1	Struktur Atas	3389.005
2	Strukur Bawah	6524.86
	Pms	9913.866

3. Beban Hidup Lalu Lintas

Beban lalu lintas (lajur "D") berdasarkan **SNI 1725 – 2016 Pasal 8.6**

untuk rencana bangunan bawah jembatan jalan raya terdiri dari BTR dan BGT dimana akan ditempatkan melintang pada lebar penuh dari jalan kendaraan jembatan dan menghasilkan pengaruh pada jembatan ekuivalen dengan rangkaian kendaraan sebenarnya. Jumlah total pembebanan lajur "D" yang ditempatkan tergantung pada lebar jalan kendaraan jembatan.



Gambar 5.2 Asumsi Beban Hidup Lalu-Lintas

Data teknis:

$$\text{Panjang bentang jembatan (L)} = 25 \text{ m}$$

$$\text{Lebar perkerasan (b)} = 10 \text{ m}$$

- Beban terbagi rata

Berdasarkan **SNI 1725 – 2016 Pasal 8.3.1** beban akibat terbagi rata sebagai berikut :

Panjang bentang yang ditinjau pada abutment adalah 25 meter maka digunakan

$$q = 9,0 \text{ kPa} = 9 \text{ kN/m}^2$$

$$\begin{aligned} P_{\text{BTR}} &= (5,5 \times q_{\text{BTR}}) + [(b - 5,5) \times \frac{1}{2}q_{\text{BTR}}] \times L \\ &= (5,5 \times 9 \text{ kN/m}^2) + [(10\text{m}-5,5\text{m}) \times \frac{1}{2} \times 0,9 \text{ kN/m}^2] \times 25 \text{ m} \\ &= 555,750 \text{ kN} \end{aligned}$$

- Beban lajur terpusat

Berdasarkan **SNI 1725 – 2016 Pasal 8.3.1** beban lajur terpusat (BGT) tegak lurus terhadap arah lalu lintas pada jembatan, dengan posisi arah melintang jembatan.

$$P = 49 \text{ kN/m}$$

$$\text{DLA} = 40\% \text{ untuk } L = 25 \text{ m}$$

$$\begin{aligned}
 P_{BGT} &= 5,5 \times [P_{BGT} \times (1 + FBD) + (b - 5,5 \\
 &\quad \times (P_{BGT} \times (1 + DLA)))] \\
 &= 5,5 \times [49 \text{ kN/m} \times (1 + 0,4) + (10\text{-} \\
 &\quad 5,5\text{m} \times (49 \text{ kN/m} \times (1 + 0,4))] \\
 &= 491,960 \text{ kN}
 \end{aligned}$$

Rekapitulasi, P_{total} dikalikan 2 karena terdapat 2 lajur.

$$\begin{aligned}
 P_{TD} &= (P_{BTR} + P_{BGT}) \times 2 \\
 &= (555,750 \text{ kN} + 491,960 \text{ kN}) \times 2 \\
 &= 2095,420 \text{ kN}
 \end{aligned}$$

4. Beban Pejalan Kaki (Pedestrian)

Berdasarkan **SNI 1725 – 2016 Pasal 8.9** beban pejalan kaki direncanakan 5 kN/m^2 . Beban akan disalur seluas bidang trotoar dengan rumus :

$$P_{TP} = A \times q \text{ pejalan kaki}$$

Dimana,

$$A = \text{Luas trotoar (m}^2\text{)}$$

$$q = \text{beban pejalan kaki (5 kN/m}^2\text{)}$$

sehingga di dapatkan beban pejalan kaki pada trotoar sebesar :

$$\text{Panjang jembatan, } L = 25 \text{ m}$$

$$\text{Lebar trotoar, } b = 1 \text{ m}$$

$$\text{Jumlah trotoar, } n = 2$$

$$\begin{aligned}
 \text{Luas trotoar, } A &= 25\text{m} \times 1 \text{ m} \times 2 \\
 &= 50 \text{ m}^2
 \end{aligned}$$

$$\begin{aligned}
 P_{TP} &= 50 \text{ m}^2 \times 5 \text{ kN/m}^2 \\
 &= 250 \text{ Kn}
 \end{aligned}$$

5. Gaya Rem

Gaya rem berdasarkan **SNI 1725 – 2016 Pasal 8.7**, pada bentang dengan 2 lajur lalu lintas sebesar 5% dari total beban lajur “D” tanpa faktor beban dinamis. Pengaruh pengereeman lalu lintas diperhitungkan sebagai gaya dalam arah memanjang.

Faktor beban ultimit $K_{TB} = 2,0$

$$\begin{aligned} P_{TB} &= 5\% \times (P_{BTR} + P_{BGT}) \times K_{TB} \\ &= 104,771 \text{ kN} \end{aligned}$$

$$\begin{aligned} \text{Panjang lengan gaya rem terhadap pondasi (Ytb)} \\ &= \text{hgirder} + \text{h dinding abutmen} + \text{pilecap abutmen} \\ &= 2,7 \text{ m} + 5,3 \text{ m} + 1,7 \text{ m} \\ &= 9,7 \text{ m} \end{aligned}$$

Momen pada pondasi akibat gaya rem

$$\begin{aligned} M_{TB} &= P_{TB} \times Y_{TB} \\ &= 104,771 \text{ Kn} \times 9,7 \text{ m} \\ &= 1016,279 \text{ kNm} \end{aligned}$$

6. Beban Angin

Terdapat dua beban angin yaitu beban angin melintang jembatan dan beban angina yang meniup kendaraan yang berjalan di atas jembatan.

Beban angin dengan arah melintang jembatan dihitung dengan rumus :

$$T_{ew} = 0,0006 \times C_w \times V_w^2 \times A_b$$

Tabel 5.3 Beban Angin (Vw) Abutment

Keadaan Batas	Lokasi	
	Sampai 5 km dari pantai	> 5 km dari pantai
Daya layan	30 m/s	25 m/s
Ultimit	35 m/s	30 m/s

Berdasarkan **SNI 1725 – 2016** didapat nilai koefisien seret, $C_w = 1,2$

Beban angin, V_w (tabel 5.3)

Kondisi layan = 25 m/s

Kondisi ultimit = 30 m/s

Luasan bidang yang terkena gaya akibat angin,

A_{b1} = tinggi bangunan atas x panjang bentang

$$= 1,5 \text{ m} \times 25 \text{ m}$$

$$= 37,5 \text{ m}$$

Beban angin pada struktur atas,

$$T_{EW1} = 0,0006 \times 1,2 \times (25\text{m/s})^2 \times 37,5 \text{ m}^2$$

$$= 16,875 \text{ kN}$$

Lengan terhadap pondasi,

$$Y_{EW1} = \text{tinggi pilecap} + h \text{ dinding abutment} +$$

$$Ha/2$$

$$= 1,7 \text{ m} + 5,3 \text{ m} + 5,3/2 \text{ m}$$

$$= 9,650 \text{ m}$$

Momen terhadap pondasi,

$$M_{EW1} = T_{EW1} \times Y_{EW1}$$

$$= 162,844 \text{ kN.m}$$

Beban angin yang meniup kendaraan dihitung dengan rumus:

$$T_{EW} = 0,00012 \times C_w \times V_w^2$$

$$= 0,00012 \times 1,2 \times 25^2$$

$$= 0,9 \text{ kN}$$

Tinggi bidang samping kendaraan, $hk = 1,5 \text{ m}$
 Jarak antara roda kendaraan, $x = 1,75 \text{ m}$
 Gaya pada abutment akibat transfer beban angin ke lantai jembatan

$$\begin{aligned} T_{EW2} &= 2 \times \frac{0,5 \times h}{x} \times T_{EW} \times L \\ &= 2 \times \frac{0,5 \times 1,5 \text{ m}}{1,75 \text{ m}} \times 0,9 \text{ kN} \times 25 \text{ m} \\ &= 19,286 \text{ kN} \end{aligned}$$

Lengan terhadap pondasi,

$$\begin{aligned} Y_{EW2} &= h \text{ pilecap} + h \text{ dinding abutment} + ha \\ &= 1,7 \text{ m} + 5,3\text{m} + 5,3 \text{ m} \\ &= 12,3 \text{ m} \end{aligned}$$

Momen terhadap pondasi,

$$\begin{aligned} M_{EW2} &= T_{EW2} \times Y_{EW2} \\ &= 237,214 \text{ kN.m} \end{aligned}$$

Rekapitulasi beban angin total

Total beban angin pada abutment	$T_{EW} = T_{EW1} + T_{EW2}$	36.161 kN
Total momen pada abutment	$M_{EW} = M_{EW1} + M_{EW2}$	400.058 kN.m

7. Tekanan Tanah Aktif

Beban akibat tekanan tanah berdasarkan **SNI 1725 – 2016 Pasal 7.4**, dihitung berdasarkan sifat-sifat tanah (kepadatan, kadar kelembapan, kohesi sudut geser, dan lain sebagainya). Pada bagian tanah di belakang dinding abutment terdapat beban tambahan yang setara dengan tanah setebal 0,7 m berupa beban merata ekuivalen beban kendaraan pada bagian tersebut. Beban tekanan tanah akan membebani tembok penahan tanah dari kepala jembatan dengan arah horizontal, sehingga tekanan tanah ini dapat menimbulkan efek guling pada

abutment.

Data teknis :

$$\text{Berat jenis tanah, } \gamma_t = 17 \text{ kN/m}^3$$

$$\text{Tinggi timbunan, } H = 9,0 \text{ m}$$

$$\text{Sudut geser tanah, } \phi = 26,11^\circ$$

$$\text{Lebar abutmen, } By = 14 \text{ m}$$

Beban merata akibat berat timbunan tanah setinggi 0,7 m, merupakan ekivalen berat kendaraan.

$$\begin{aligned} q &= 0,7m \times \gamma_t \\ &= 0,7 \times 17 \text{ kN/m}^3 \\ &= 11,9 \text{ kN/m}^2 \end{aligned}$$

$$\begin{aligned} K_a &= \tan^2(45^\circ - \phi/2) \\ &= \tan^2(45^\circ - 26,11^\circ/2) \\ &= 0,389 \end{aligned}$$

$$\begin{aligned} P_{Ta_1} &= q \times K_a \times H \times By \\ &= 11,9 \text{ kN/m}^2 \times 0,389 \times 9,0 \text{ m} \times 14 \text{ m} \\ &= 582,961 \text{ kN} \end{aligned}$$

$$\begin{aligned} M_{Ta_1} &= P_{Ta_1} \times H/2 \\ &= 2623,326 \text{ kN.m} \end{aligned}$$

$$\begin{aligned} P_{Ta_2} &= \frac{1}{2} \times K_a \times \gamma t \times H^2 \times By \\ &= 11,9 \text{ kN/m}^3 \times 0,389 \times (9\text{m})^2 \times 14 \text{ m} \\ &= 3474,609 \text{ kN} \end{aligned}$$

$$\begin{aligned} M_{Ta_2} &= P_{Ta_2} \times H/3 \\ &= 11241,862 \text{ kN.m} \end{aligned}$$

Rekapitulasi beban tekanan tanah

Total beban akibat tekanan tanah	$Ta = Ta_1 + Ta_2$	4330,570 kN.m
Total momen pada abutment	$M = MTa_1 + MTa_2$	13866,151 kN.m

8. Beban Tekanan Tanah Aktif Akibat Gempa

Pada perhitungan tekanan tanah aktif akibat gempa, diasumsikan tembok penahan tanah bersifat Pada perhitungan tekanan tanah aktif akibat gempa, diasumsikan tembok penahan tanah bersifat flexibel sesuai dengan **RSNI Gempa Jembatan 2833 – 2013**
Pasal 9.6.

Data teknis :

Tinggi timbunan	(H)	= 9,0 m
Berat jenis tanah	(γt)	= 17 kN/m ³
Sudut geser tanah	(ϕ)	= 26,11 °
Rencana sudut geser tembok	(δ)	= 20°
Sudut Kemiringan timbunan	(α)	= 0,00°
Sudut kemiringan tepi belakang tembok(β)		= 0,00°
Koefisien tanah aktif (Ka)		= 0,389
Koefisien gempa horizontal (Kh)		= As x 0,5 = 0,188
Sudut geser tanah nominal (θ)		= $\tan^{-1} Kh$ = 10,640°

a. Koefisien Tekanan tanah dinamis (K_{AE})

$$\begin{aligned}\mu &= \left(1 + \sqrt{\frac{\sin(\phi + \delta) \sin(\phi - \theta - \alpha)}{\cos(\delta + \beta + \phi) \cos(\beta - \alpha)}} \right)^2 \\ &= \left(1 + \sqrt{\frac{0,192}{0,693}} \right)^2 \\ &= 2,330\end{aligned}$$

$$\begin{aligned}K_{AE} &= \frac{\cos^2(\phi - \theta - \beta)}{\mu \cos \theta \cos 2\beta \cos(\delta + \beta + \theta)} \\ &= \frac{0,929}{2,330 \times 0,983 \times 1 \times 0,801} \\ &= 0,506\end{aligned}$$

b. Tekanan Tanah Dinamis Akibat Gempa

$$\begin{aligned} E_{AE} &= \frac{\gamma t \times H^2}{2} \times (1 - K_v) \times K_{AE} \\ &= \frac{18 \times 9^2}{2} \times (1 - 0) \times 0,506 \\ &= 348,482 \text{ kN/m} \end{aligned}$$

Dari hasil diatas dikalikan dengan lebar abutment (By)

$$\begin{aligned} E_{AE} &= 348,482 \text{ kN/m} \times 14 \text{ m} \\ &= 4878,747 \text{ kN} \end{aligned}$$

9. Beban Gempa

Perencanaan ketahanan gempa merupakan bagian yang penting dalam rangka pembangunan konstruksi jembatan. Analisis beban gempa pada jembatan mengacu pada **SNI Gempa 2833 – 2013 Pasal 9.6**.

Beban gempa dianggap sebagai gaya horizontal koefisien elastic (C_{sm}) dengan berat struktur ekuivalen kemudian dibagi dengan faktor modifikasi respon (R).

$$E_Q = \frac{C_{sm}}{R} \times W_t \text{ (RSNI Gempa 2833 – 2013 pasal 5.1)}$$

Menentukan kelas situs tanah

Tabel 5.4 Hasil Pengolahan Data N-SPT Tanah Abutment

Tebal lapisan tanah (t)	Jenis Tanah	Nilai hasil uji penetrasi (N)	ti/N
2.5	Lempung	4	0.630
4.5	Lempung	13	0.150
6.5	Lempung	13	0.150
8.5	Lanau Kepasiran	16	0.130
10.5	Lempung	20	0.100
12.5	Padas Muda	42	0.050
14.5	Padas	51	0.040
30		Jumlah	1.558

$$N = \frac{\sum ti}{\sum(\frac{ti}{N})} = \frac{30,5}{1,558} = 19,57$$

Dengan nilai $N = 19,57$ maka dari tabel dibawah didapatkan kelas situs, tanah sedang.

Tabel 5.5 Kelas situs (SNI Gempa 2833 - 2013 tabel 2)

Kelas Situs	\bar{V}_s (m/s)	\bar{N}	ξ_u (kPa)
A. Batuan Keras	$\bar{V}_s \geq 1500$	N/A	N/A
B. Batuan	$750 < \bar{V}_s \leq 1500$	N/A	N/A
C. Tanah Sangat Padat dan Batuan Lunak	$350 < \bar{V}_s \leq 750$	$\bar{N} > 50$	$\xi_u \geq 100$
D. Tanah Sedang	$175 < \bar{V}_s \leq 350$	$15 \leq \bar{N} \leq 50$	$50 \leq \xi_u \leq 100$
E. Tanah Lunak	$\bar{V}_s < 175$	$\bar{N} < 15$	$\xi_u < 50$
	Atau setiap profil lapisan tanah dengan ketebalan lebih dari 3 m dengan karakteristik sebagai berikut :		
	<ol style="list-style-type: none"> Indeks plastisitas, $PI > 20$, Kadar air (w) $\geq 40\%$, dan Kuat geser tak terdrainase $\xi_u < 25$ kPa 		
F. Lokasi yang membutuhkan penyelidikan geoteknik dan analisis respons dinamik spesifik	Setiap profil lapisan tanah yang memiliki salah satu atau lebih dari karakteristik seperti : <ul style="list-style-type: none"> Rentan dan berpotensi gagal terhadap beban gempa seperti likufaksi, tanah lempung sangat sensitif, tanah tersementasi lemah Lempung organik tinggi dan/atau gambut (dengan ketebalan > 3m) Plastisitas tinggi (ketebalan $H > 7.5$m dengan $PI > 75$) Lapisan lempung lunak/medium kaku dengan ketebalan $H > 35$m 		

Menentukan faktor situs

Penentuan faktor amplifikasi periode pendek didapatkan dari **Peta Zona Gempa Indonesia 2010** sesuai daerah lokasi jembatan.

Tabel 5.6 Faktor amplifikasi untuk periode 0 dt & 0,2 dt (FPGA / Fa)

Kelas situs	PGA ≤ 0,1 $S_s \leq 0,25$	PGA = 0,2 $S_s = 0,5$	PGA = 0,3 $S_s = 0,75$	PGA = 0,4 $S_s = 1,0$	PGA > 0,5 $S_s \geq 1,25$
Batuan Keras (SA)	0.8	0.8	0.8	0.8	0.8
Batuan (SB)	1.0	1.0	1.0	1.0	1.0
Tanah Keras (SC)	1.2	1.2	1.1	1.0	1.0
Tanah Sedang (SD)	1.6	1.4	1.2	1.1	1.0
Tanah Lunak (SE)	2.5	1.7	1.2	0.9	0.9
Tanah Khusus (SF)	SS	SS	SS	SS	SS

Didapat dari peta Gempa PUSJATAN

$$PGA = 0,332$$

$$S_s = 0,642$$

$$S_1 = 0,335$$

Interval F PGA

0.2	1.4
0.335	1.13
0.3	1.2

Interval Fa

0.5	1.4
0.642	1.29
0.75	1.2

Didapat nilai $F_{PGA} = 1,13$ dan $F_a = 1,29$ dengan menggunakan interpolasi.

Tabel 5.7 Besarnya nilai faktor amplifikasi untuk periode 1 detik (F_v)

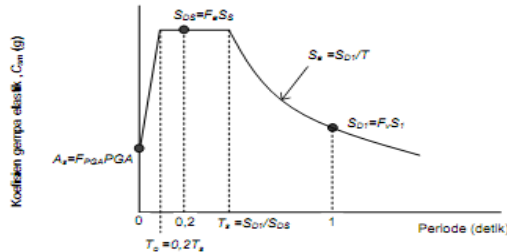
Kelas situs	$S_1 \leq 0.1$	$S_1 = 0.2$	$S_1 = 0.3$	$S_1 = 0.4$	$S_1 \geq 0.5$
Batuhan Keras (SA)	0.8	0.8	0.8	0.8	0.8
Batuhan (SB)	1.0	1.0	1.0	1.0	1.0
Tanah Keras (SC)	1.7	1.6	1.5	1.4	1.3
Tanah Sedang (SD)	2.4	2.0	1.8	1.6	1.5
Tanah Lunak (SE)	3.5	3.2	2.8	2.4	2.4
Tanah Khusus (SF)	SS	SS	SS	SS	SS

Interval Fv

0.2	2
0.335	1.73
0.3	1.8

Didapat nilai $F_v = 1,73$ dengan menggunakan interpolasi.

Menentukan Respons Spektrum



Gambar 5.3 Bentuk tipikal respons spektra di permukaan

Respon spektrum rencana

Dengan nilai yang didapat dari PGA, S_s , dan S_1 serta nilai faktor implifikasi F_{PGA} , F_a , F_v . Maka dapat dihitung

$$\begin{aligned} A_s &= F_{PGA} \times PGA \\ &= 1,13 \times 0,332 \\ &= 0,375 \end{aligned}$$

$$\begin{aligned} S_{DS} &= F_a \times S_s \\ &= 1,286 \times 0,642 \\ &= 0,826 \end{aligned}$$

$$\begin{aligned} S_{D1} &= F_v \times S_1 \\ &= 1,730 \times 0,335 \\ &= 0,580 \end{aligned}$$

Dari perhitungan diatas dapat digunakan menghitung periode (T)

$$T = 0,2 \text{ (Periode pendek)}$$

$$T_s = \frac{S_{D1}}{S_{DS}} = \frac{0,580}{0,826} = 0,702$$

$$\begin{aligned} T_0 &= 0,2 \times T_s \\ &= 0,2 \times 0,702 \\ &= 0,140 \end{aligned}$$

Didapatkan nilai $T_0 = 0,14 < T=0,2 < Ts = 0,702$, berdasarkan **RSNI Gempa Jembatan 2833 – 2013 Pasal 5.4.2**, memenuhi syarat ke dua sehingga nilai C_{SM} adalah $C_{SM} = S_{DS} = 0,826$

Menentukan faktor modifikasi respons (R)

Tabel 5.8 Faktor Modifikasi Respons (R) untuk Hubungan Antar Elemen Struktur

Hubungan elemen struktur	Semua katagori kepentingan
Bangunan atas dengan kepala jembatan	0.8
Sambunga muai (diatas) pada bangunan atas	0.8
Kolom, pilar, atau tiang dengan bangunan atas	1.0
Kolom atau pilar dengan pondasi	1.0

Maka didapat R sebesar 0,8, sehingga beban gempa akibat bangunan atas sebesar :

$$W_T = \text{Berat sendiri bangunan atas} + \text{Beban mati tambahan}$$

$$W_T = 3389,005 \text{ kN}$$

$$\begin{aligned} E_{Q1} &= \frac{C_{SM}}{R} \times W_T \\ &= \frac{0,826}{0,8} \times 3389,005 \text{ kN} \\ &= 3498,592 \text{ kN} \end{aligned}$$

Tabel 5.9 Faktor Modifikasi Respons (R) untuk Bangunan Bawah

Bangunan bawah	Kategori kepentingan		
	Sangat penting	Penting	Lainnya
Pilar tipe dinding	1.5	1.5	2.0
Tiang/kolom beton bertulang			
Tiang vertikal	1.5	2.0	3.0
Tiang miring	1.5	1.5	2.0
Kolom tunggal	1.5	2.0	3.0
Tiang baja dan komposit			
Tiang vertikal	1.5	3.5	5.0
Tiang miring	1.5	2.0	3.0
Kolom majemuk	1.5	3.5	5.0

Catatan:

Pilar tipe dinding derencanakan sebagai kolom tunggal dalam arah sumbu lemah pilar

Maka didapat R sebesar 1,5, sehingga beban gempa akibat bangunan bawah sebesar :

$$W_T = \text{Beban mati abutment}$$

$$W_T = 6524,861 \text{ kN}$$

$$\begin{aligned} E_{Q1} &= \frac{Csm}{R} \times W_T \\ &= \frac{0,826}{1,5} \times 6524,861 \text{ kN} \\ &= 3592,453 \text{ kN} \end{aligned}$$

Sehingga beban gempa total yang terjadi adalah

$$\begin{aligned} \text{Total } E_Q &= E_{Q1} + E_{Q2} \\ &= 3498,592 \text{ kN} + 3592,453 \text{ kN} \\ &= 7091,045 \text{ kN} \end{aligned}$$

5.2.2 Perhitungan Gaya Aksial Tiang Pancang

Dari beberapa analisis yang dihasilkan, langkah selanjutnya adalah analisis momen dan gaya. Perhitungan momen dan gaya dipusatkan pada center poer.

Tabel 5. 10 Perhitungan Gaya dan Momen pada Center Poer Abutment

URAIAN	V	Hx	Hy	Mx	My
	kN	kN	kN	kN.m	kN.m
Beban Tetap					
Struktur atas	3389.005				
Struktur abutment	6524.86			6524.86	
Tek. Tanah Aktif 1		582.961		2623.326	
Tek. Tanah Aktif 2		3747.609		11242.826	
Pengaruh beban hidup					
BTR +BGT	1047.71				
Pejalan kaki	250				
Beban Rem		52.3855		1016.279	
Beban Angin			36.161		400.058
Aksi Lingkungan					
Eq. Struktur Atas		3498.592	3498.592	31487.327	31487.327
Eq. Struktur Bawah		3592.453	3592.453	15303.051	15303.051
Eq. Tek.Tanah dinamis		4878.747		14636.240	

Kombinasi-kombinasi untuk perhitungan kekuatan pondasi :

Kombinasi 1 (MS+MA+TD+TP+TA)

Tabel 5. 11 Kombinasi 1 beban tegangan kerja pada abutment

No	Aksi / Beban	Faktor Beban	Vu kN	Hx kN	Hy kN	Mx kN.m	My kN.m
1	Berat Sendiri	1.0	9913.87			6524.861	
2	Pejalan kaki	1.0	250				
3	Beban lajur	1.0	1047.71				
5	Tek. Tanah	1.0		4330.570		13866.151	
Total			11211.58	4330.570		20391.012	

Kombinasi 2 (MS+MA+TB+TD+TA)

Tabel 5.12 Kombinasi 2 beban tegangan kerja pada abutment

No	Aksi / Beban	Faktor Beban	Vu	Hx	Hy	Mx	My
			kN	kN	kN	kN.m	kN.m
1	Berat Sendiri	1.0	9913.866			6524.861	
2	Beban Rem	1.0		52.386		1016.279	
3	Beban lajur	1.0	1047.710				
4	Tek. Tanah	1.0		4330.570		13866.151	
Total			10961.576	4382.955		21407.291	

Kombinasi 3 (MS+MA+TB+TD+TA+EW)

Tabel 5.13 Kombinasi 3 beban tegangan kerja pada abutment

No	Aksi / Beban	Faktor Beban	Vu	Hx	Hy	Mx	My
			kN	kN	kN	kN.m	kN.m
1	Berat Sendiri	1.0	9913.866			6524.861	
2	Beban Rem	1.0		52.386		1016.279	
3	Beban lajur	1.0	1047.710				
4	Tek. Tanah	1.0		4330.570		13866.151	
5	Beban Angin	1.0			36.161		400.058
Total			10961.576	4382.955	36.161	21407.291	400.058

Kombinasi 4 (MS+MA+EQ+TAQ)

Tabel 5.14 Kombinasi 4 beban tegangan kerja pada abutment

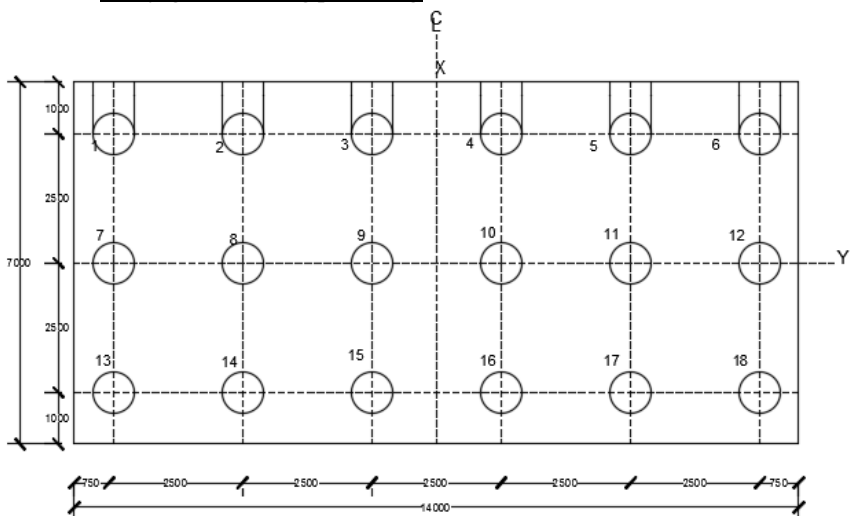
No	Aksi / Beban	Faktor Beban	Vu	Hx	Hy	Mx	My
			kN	kN	kN	kN.m	kN.m
1	Berat Sendiri	1.0	9913.866			6524.861	
2	Beban Gempa	1.0		7091.045	2127.313	46790.378	14037.113
3	Tek.Dinamis Axial Gempa	1.0		4878.747		14636.240	
Total			9913.866	11969.791	2127.313	67951.479	14037.113

Kombinasi 5 (MS+MA+EQ)

Tabel 5.15 Kombinasi 5 beban tegangan kerja pada abutment

No	Aksi / Beban	Faktor Beban	Vu	Hx	Hy	Mx	My
			kN	kN	kN	kN.m	kN.m
1	Berat Sendiri	1.0	9913.866			6524.861	
2	Beban Gempa	1.0		2127.313	7091.045	14037.113	46790.378
3	Tek.Dinamis Axial Gempa	1.0		4878.747		14636.240	
Total			9913.866	7006.060	7091.045	35198.215	46790.378

Konfigurasi tiang pancang



Gambar 5.4 Konfigurasi Tiang Pancang Abutment

Tiang-tiang dalam satu kelompok disatukan oleh sebuah kepala tiang (poer) bekerja beban vertikal (V), horizontal (H), dan momen (M), maka beban vertikal ekivalen (P_v) yang bekerja pada sebuah tiang adalah :

$$\begin{aligned} X &= \text{jarak tiang terhadap sumbu X (m)} \\ &= 2,5 \text{ m} \end{aligned}$$

- Y = jarak tiang terhadap sumbu Y (m)
 = 2,5 m
 n = jumlah tiang pancang
 = 18

$$P_{\max} = \frac{V}{n} + \frac{My \cdot X}{\sum Y^2} + \frac{Mx \cdot Y}{\sum X^2}$$

Dimana,

- V = beban vertical dari kolom
 n = banyak tiang dalam 1 group
 Mx = Momen terhadap sumbu X
 My = Momen terhadap sumbu Y
 X = absis terjauh terhadap titik berat kelompok tiang
 Y = koordinat terjauh terhadap titik berat kelompok tiang
 $\sum X$ = jumlah dari kuadrat absis tiap tiang terhadap garis netral group
 $\sum X$ = jumlah dari kuadrat koordinat tiap tiang terhadap garis netral group

Tabel 5.16 Perhitungan Kemampuan Gaya Aksial Per Tiang
Abutment

No	x	y	x^2	y^2	Komb.1	Komb.2	Komb.3	Komb.4	Komb.5
1	2.50	-6.25	6.250	39.063	234.465	201.219	214.554	-275.640	832.799
2	2.50	-3.75	6.250	14.063	389.825	364.322	377.657	242.086	1189.297
3	2.50	-1.25	6.250	1.563	545.185	527.425	540.760	759.811	1545.795
4	2.50	1.25	6.250	1.563	700.545	690.528	703.863	1277.537	1902.293
5	2.50	3.75	6.250	14.063	855.905	853.631	866.966	1795.262	2258.791
6	2.50	6.25	6.250	39.063	1011.266	1016.734	1030.070	2312.988	2615.289
7	0.00	-6.25	0.000	39.063	234.465	201.219	201.219	-743.544	-340.475
8	0.00	-3.75	0.000	14.063	389.825	364.322	364.322	-225.818	16.023
9	0.00	-1.25	0.000	1.563	545.185	527.425	527.425	291.908	372.521
10	0.00	1.25	0.000	1.563	700.545	690.528	690.528	809.633	729.019
11	0.00	3.75	0.000	14.063	855.905	853.631	853.631	1327.359	1085.518
12	0.00	6.25	0.000	39.063	1011.266	1016.734	1016.734	1845.084	1442.016
13	-2.50	-6.25	6.250	39.063	234.465	201.219	187.883	-1211.447	-1513.749
14	-2.50	-3.75	6.250	14.063	389.825	364.322	350.986	-693.722	-1157.251
15	-2.50	-1.25	6.250	1.563	545.185	527.425	514.090	-175.996	-800.753
16	-2.50	1.25	6.250	1.563	700.545	690.528	677.193	341.729	-444.254
17	-2.50	3.75	6.250	14.063	855.905	853.631	840.296	859.455	-87.756
18	-2.50	6.25	6.250	39.063	1011.266	1016.734	1003.399	1377.180	268.742
			75.00	328.13					

Dari perhitungan di atas gaya yang terjadi pada 1 pilar tiang pancang adalah

$$P_{\text{max gempa}} = 2615,289 \text{ kN} = 261,529 \text{ ton}$$

$$P_{\text{max tanpa gempa}} = 1030,070 \text{ kN} = 103,007 \text{ ton}$$

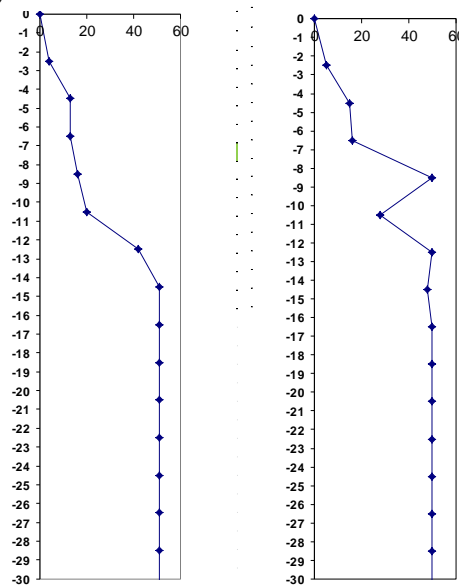
$$P_{\text{cabut gempa}} = 1513,749 \text{ kN} = 151,375 \text{ ton}$$

$$P_{\text{cabut tanpa gempa}} = 187,883 \text{ kN} = 18,788 \text{ ton}$$

5.2.3 Perhitungan Daya Dukung Tanah

Dari tabel 5.16 dapat diketahui nilai maksimum gaya aksial tiang pancang (P_{max}) akibat beban tetap (Kombinasi 1,2,3,4,5) sebesar 2615,29 kN. Dalam hal ini di dapatkan berupa kemampuan tiang dalam menahan gaya aksial tekan saja, maka akan dikontrol dengan daya dukung tanah akibat tekan. Perhitungan daya dukung berdasarkan tiang bor (*bored pile*) dan berdasarkan data penyelidikan tanah SPT pada titik bor B2 (Abutment kiri) dan B1 (Abutment kanan). Daya dukung tanah dihitung berdasarkan rumus *kazuto nakazawa* (Suyono sosrodarsono & Kazuto Nakazawa, 2000 : hal 99) yang akan ditunjukkan hasilnya dalam tabel 5.17 dan tabel 5.18

Berikut adalah perhitungan daya dukung tanah berdasarkan penyelidikan data tanah SPT.



Gambar 5.5 Data Tanah SPT B1 dan B2

R_u	$= qd \cdot A + U \cdot \sum li \cdot fi$
R_a	$= \frac{1}{n} (R_u - W_s) + W_s - W$
$qd \cdot A$	= Daya dukung ujung tanah/ <i>End bearing</i> (T)
$U \cdot \sum li \cdot fi$	= Daya dukung lekatan tanah/ <i>slide friction</i> (T)
qd	= Daya dukung terpusat tiang bor (T)
A	= Luas penampang tiang (m^2)
U	= Panjang keliling tiang (m)
li	= Tebal lapisan tanah yang ditinjau (m)
fi	= Gaya geser pada selimut tiang cor
n	= Tanah pasir $N/2 \leq 12$ (T)
n	= Tanah kohesif $N/2$ atau $C/2 \leq 12$ (T)
W_s	= Berat efektif tanah yang dipindahkan oleh tiang (ton)
W	= Berat efektif tiang dan tanah di dalam tiang (ton)

Data Perencanaan Tiang Pancang Baja:

D	$= 100 \text{ cm}$
	$= 1 \text{ m}$
A	$= 0,785 \text{ } m^2$
U	$= 3,142 \text{ m}$
n	= 2, untuk beban gempa
n	= 3, untuk beban tetap

Rekapitulasi Perhitungan Daya Dukung Tanah Tiap Meter

Tabel 5.17 Rekapitulasi Perhitungan Daya Dukung Tanah titik bor B1

Depth (m)	Jenis Tanah	Kode	N (SPT)	f _i (t/m ²)	li . tebal (t/m)	U .Σli . f _i (t/m)
0	Lempung	C	0	0	0.00	0.00
-2.5	Lempung	C	4	2	4.00	4.00
-4.5	Lempung	C	13	6.5	13.00	53.41
-6.5	Lempung	C	13	6.5	13.00	94.25
-8.5	Lanau Kepasiran	C	16	8	16.00	144.51
-10.5	Lempung	C	20	10	20.00	207.35
-12.5	Padas Muda	S	42	8.4	16.80	260.12
-14.5	Padas	S	51	10	20.00	322.96
-16.5	Padas	S	51	10	20.00	385.79
-18.5	Padas	S	51	10	20.00	448.62
-20.5	Padas	S	51	10	20.00	511.45
-22.5	Padas	S	51	10	20.00	574.28
-24.5	Padas	S	51	10	20.00	637.11
-26.5	Padas	S	51	10	20.00	699.95
-28.5	Padas	S	51	10	20.00	762.78
-30.5	Padas	S	51	10	20.00	825.61

Lanjutan Perhitungan Daya Dukung Tanah titik bor B1

Depth	qd	A . Qd	Ru	Ra = Ru / n	
(m)	(t/m ²)	(t/m ²)	(ton)	n = 2	n = 3
0	0.00	0.00	0.00	-1.26	-1.02
-2.5	15.60	12.25	11.34	4.42	2.76
-4.5	50.70	39.82	84.39	40.94	27.11
-6.5	50.70	39.82	121.30	59.40	39.41
-8.5	62.40	49.01	176.83	87.16	57.92
-10.5	78.00	61.26	247.99	122.74	81.64
-12.5	300.00	235.62	471.20	234.34	156.05
-14.5	300.00	235.62	530.10	263.80	175.68
-16.5	300.00	235.62	589.01	293.25	195.32
-18.5	300.00	235.62	647.91	322.70	214.95
-20.5	300.00	235.62	706.82	352.15	234.59
-22.5	300.00	235.62	765.72	381.61	254.22
-24.5	300.00	235.62	824.63	411.06	273.86
-26.5	300.00	235.62	883.53	440.51	293.49
-28.5	300.00	235.62	942.44	469.96	313.13
-30.5	300.00	235.62	1001.34	499.42	332.76

Tabel 5.18 Rekapitulasi Perhitungan Daya Dukung Tanah titik bor B2

Depth (m)	Jenis Tanah	Kode	N	f _i	l _i . tebal	U .Σl _i . f _i
			(SPT)	(t/m ²)	(t/m)	(t/m)
0	Lempung	C	0	0	0.00	0.00
-2.5	Lempung	C	5	2.5	5.00	5.00
-4.5	Lempung	C	15	7.5	15.00	62.83
-6.5	Lempung	C	16	8	16.00	113.10
-8.5	Batu	S	50	10	20.00	175.93
-10.5	Pasir	S	28	5.6	11.20	211.12
-12.5	Gravel	S	50	10	20.00	273.95
-14.5	Padas	S	48	9.6	19.20	334.27
-16.5	Padas	S	50	10	20.00	397.10
-18.5	Padas	S	50	10	20.00	459.93
-20.5	Padas	S	50	10	20.00	522.76
-22.5	Padas	S	50	10	20.00	585.59
-24.5	Padas	S	50	10	20.00	648.42
-26.5	Padas	S	50	10	20.00	711.26
-28.5	Padas	S	50	10	20.00	774.09
-30.5	Padas	S	50	10	20.00	836.92

Lanjutan Perhitungan Daya Dukung Tanah titik bor B2

Depth	qd	A . Qd	Ru	Ra = Ru / n	
(m)	(t/m²)	(t/m²)	(ton)	n = 2	n = 3
0	0.00	0.00	0.00	-1.26	-1.02
-2.5	19.50	15.32	15.41	6.45	4.11
-4.5	58.50	45.95	99.94	48.71	32.29
-6.5	62.40	49.01	149.34	73.42	48.76
-8.5	300.00	235.62	394.86	196.17	130.60
-10.5	28.00	21.99	212.49	104.99	69.81
-12.5	300.00	235.62	485.02	241.25	160.65
-14.5	300.00	235.62	541.41	269.45	179.45
-16.5	300.00	235.62	600.32	298.90	199.09
-18.5	300.00	235.62	659.22	328.36	218.72
-20.5	300.00	235.62	718.13	357.81	238.36
-22.5	300.00	235.62	777.03	387.26	257.99
-24.5	300.00	235.62	835.94	416.71	277.63
-26.5	300.00	235.62	894.84	446.17	297.26
-28.5	300.00	235.62	953.75	475.62	316.90
-30.5	300.00	235.62	1012.65	505.07	336.53

5.2.4 Perhitungan Efisiensi Tiang Pancang

Untuk menghitung daya dukung tiang kelompok direncanakan konfigurasi dan koefisien. Efisiensi tiang kelompok dihitung dengan rumus Seiler Keeney :

$$\eta = \left(1 - \frac{36 \times s \times (m+n-2)}{(75 \times s^2 - 7) \times (m+n-1)} \right) + \left(\frac{0,3}{m+n} \right)$$

Dimana,

m = Jumlah tiang dalam satu kolom (buah)

n = Jumlah tiang dalam satu baris (buah)

s = Jarak antar tiang (m)

$$\eta = \left(1 - \frac{36 \times 2,5 \times (6+3-2)}{(75 \times (2,5)^2 - 7) \times (6+3-1)} \right) + \left(\frac{0,3}{6+3} \right)$$

$$= 0,863$$

Daya dukung tiang $= \eta \times \text{jumlah tiang} \times \text{DDT}_1$
 $= 0,863 \times 18 \times 293,248 \text{ ton}$
 $= 4554,188 \text{ ton}$

$$= \eta \times \text{jumlah tiang} \times \text{DDT}_2$$

$$= 0,863 \times 18 \times 298,903 \text{ ton}$$

$$= 4642,009 \text{ ton}$$

Efisiensi tiang	>	Gaya vertikal
4554,188 ton	>	1121,158 ton

5.2.5 Kontrol Kekuatan Tiang Pancang

Tiang pancang yang akan didesain harus memiliki kekuatan tiang yang bisa menahan gaya aksial P, momen serta geser pons. Selanjutnya dilakukan analisa dari tiang pancang dengan spek beton tulangan dan diameter yang telah dipilih.

Berikut spek yang dipakai :

- Diameter Pancang baja (D) = 1000 mm
- Decking beton (d') = 75 mm
- Mutu beton (fc') = 25 MPa
- Mutu tulangan (fy) = 390 MPa

5.2.5.1 Kontrol terhadap Gaya Aksial Vertikal

Daya dukung suatu tiang harus ditinjau berdasarkan kekuatan tanah tempat tiang bor yang akan di cor. Hasil daya dukung yang terendah adalah yang menentukan yang dipakai sebagai daya dukung ijin tiang.

- Berdasarkan kekuatan bahan

Kekuatan tekan maximum tiang pancang terhadap gaya aksial yang terjadi akibat struktur atas dan struktur bawah dihitung berdasarkan persamaan

berikut :

$$\begin{aligned}\text{Pu bahan} &= (0,45 \times f_c \times 10) \times A_{\text{tiang}} \\ &= (0,45 \times f_c \times 10) \times (\frac{1}{4} \times \pi \times D^2) \\ &= 565486.68 \text{ kg} \\ &= 565,487 \text{ ton}\end{aligned}$$

Didapatkan kekuatan tekan maximum tiang pancang sebesar 565,487 ton sedangkan gaya aksial terjadi yang diterima tiang pancang sebesar 261,529 ton untuk masing-masing tiang pancang abutment kiri dan abutment kanan.

- Berdasarkan daya dukung tanah

Berdasarkan analisa perhitungan daya dukung tanah (data SPT) didapatkan besarnya daya dukung ijin tanah terhadap pondasi tiang pancang diameter 0,8 m. Qijin seperti yang ditabelkan berikut ini :

Tabel 5. 19 Resume Pijin tiang bor $\phi 0,8$ m

Data Tanah	P ijin beban SF : 2 (kN)	P ijin beban SF:3 (kN)	Kedalaman (m)
B1	2932.48	1953.15	16.5
B2	2989.03	1990.85	16.5

P DDT	>	P aksial terjadi	
SF2: 2932,48 kN	>	2615,29 kN	OK
SF3: 1953,15 kN	>	1030,07 kN	OK

5.2.5.2 Kontrol terhadap Beban Horizontal

Gaya yang bekerja searah sumbu x diantaranya :

Beban rem, 100% beban akibat gempa (struktur atas dan struktur bawah), tekanan tanah dinamis aktif

Mencari gaya-gaya Horizontal yang Bekerja

a. Gaya-gaya horizontal (Hx) diperoleh dari gaya searah dengan arah sumbu x, diantaranya :

Tabel 5. 20 Gaya-gaya Horizontal Searah Sumbu X pada Beban Sementara

Beban (Hx)	Gaya (kN)
Beban Rem	52.3855
Beban 100% akibat Gempa (Struktur Atas + Abutment)	7091.045
Tekanan Tanah Dinamis Gempa	4878.747
Total	12022.18

b. Gaya-gaya horizontal (Hy) diperoleh dari gaya searah dengan arah sumbu y, diantaranya :

Tabel 5. 21 Gaya-gaya Horizontal Searah Sumbu Y pada Beban Sementara

Beban (Hy)	Gaya (kN)
30% Beban Gempa struktur atas	1049.578
30% Beban Gempa abutment	1077.736
Beban Angin	36.161
Total	2163.475

Kontrol Daya Dukung Horizontal

Total beban Horizontal yang bekerja :

$$\begin{aligned}
 H &= (H_x^2 + H_y^2)^{0.5} \\
 &= ((12022.177 \text{ kN})^2 + (2163.474 \text{ kN})^2)^{0.5} \\
 &= 12215.292 \text{ kN}
 \end{aligned}$$

Beban Horizontal yang diterima per tiang :

$$H_{\text{tiang}} = \frac{12215,292 \text{ kN}}{18} = 678,627 \text{ kN}$$

Daya dukung tiang untuk menahan gaya horizontal yang diijinkan adanya pergeseran ujung tiang sebesar d .

$$k = 0,2 \times E_o \times D^{-3/4} \times y^{-1/2}$$

$$\beta = \left(\frac{k \times D}{4 \times E \times I} \right)^{0,25}$$

$$H_a = \frac{k \times D}{\beta} \times \delta a$$

Dimana ,

H_a = Daya Dukung horizontal yang diijinkan (kg)

K = Koefisien reaksi lapisan tanah di bawah permukaan(kg)

D = Diameter tiang (cm)

EI = Kekakuan lentur tiang (kg/cm-1)

δa = Besarnya pergeseran tiang normal (1cm)

y = Besarnya pergeseran yang akan dicari (1cm)

E_o = Modulus deformasi tanah

= 28 N-SPT rata-rata pada kedalaman tiang pancang

Mencari Koefisien Reaksi Tanah Dasar (k)

$$k = 0,2 \times E_o \times D^{-3/4} \times y^{-1/2}$$

E_o = 28 N-SPT rata-rata

= 28. 18,590

= 520,525 kg/cm²

$$D^{-0,75} = 100^{-0,75}$$

$$\begin{aligned}\delta^{-0.5} &= 0,0316 \text{ cm} \\ &= 1^{-0.5} \\ &= 1 \text{ cm}\end{aligned}$$

$$\begin{aligned}k &= 0,2 \times E_o \times D^{-3/4} \times y^{-1/2} \\ &= 0,2 \times 520,525 \text{ kg/cm}^2 \times 0,0316 \text{ cm} \times 1 \text{ cm} \\ &= 3,292 \text{ kg/cm}^3\end{aligned}$$

Mencari Nilai Karakteristik Tiang

$$\beta = \left(\frac{k \times D}{4 \times E \times I} \right)^{0,25}$$

$$k = 3,292 \text{ kg/cm}^3$$

$$D = 100 \text{ cm}$$

$$\begin{aligned}E &= 4700 \times f_c^{0.5} \times 10 \\ &= 4700 \times \sqrt{25} \times 10 \\ &= 235000 \text{ kg/cm}^2\end{aligned}$$

$$\begin{aligned}I &= \pi/64 \times D^4 \\ &= \pi/64 \times (100 \text{ cm})^4 \\ &= 4908739 \text{ cm}^4\end{aligned}$$

$$\begin{aligned}\beta &= \left(\frac{k \times D}{4 \times E \times I} \right)^{0,25} \\ &= \left(\frac{3,292 \frac{\text{kg}}{\text{cm}^3} \times 100 \text{ cm}}{4 \times 235000 \frac{\text{kg}}{\text{cm}^3} \times 4908739 \text{ cm}^4} \right)^{0,25} \\ &= 0,00291\end{aligned}$$

Mencari Daya Dukung Mendatar yang Dijijinkan

$$Ha = \frac{k \times D}{\beta} \times \delta a$$

$$= \frac{3,291 \frac{\text{kg}}{\text{cm}^3} \times 100\text{cm}}{0,00291} \times 1 \text{ cm}$$

$$= 113273,4 \text{ kg} = 1132,734 \text{ kN}$$

H_{pertiang}	$<$	H_a	OK
$678,627 \text{ kN}$	$<$	$1132,734 \text{ kN}$	

5.2.5.3 Kontrol Daya Dukung Tiang Miring

Daya dukung vertikal yang diijinkan sebesar

Tabel 5.22 Daya dukung ijin vertikal

Data Tanah	P ijin beban SF : 2 (kN)	P ijin beban SF:3 (kN)	Kedalaman (m)
B1	2932.48	1953.15	16.5
B2	2989.03	1990.85	16.5

Gaya horizontal yang terjadi pada abutment sebesar 678,862 kN. Tiang pancang direncanakan sebanyak 18 buah dengan perincian PM (Pancang Miring) sebanyak 6 titik pancang dan PT (Pancang Tegak) sebanyak 12 titik pancang.

Jadi untuk menahan gaya horizontal yang terjadi sebesar $H = 67,862 \text{ ton}$, digunakan tiang pancang miring dengan perbandingan 1:10 dengan perhitungan :

$$\begin{aligned} PM_2 &= 293,248 \text{ ton} \times \tan 5,71^\circ \\ &= 29,321 \text{ ton} \times 6 \text{ titik pancang} \\ &= 175,930 \text{ ton} > 67,863 \text{ ton} \end{aligned}$$

$$\begin{aligned} PM_3 &= 195,315 \text{ ton} \times \tan 5,71^\circ \\ &= 19,529 \text{ ton} \times 6 \text{ titik pancang} \\ &= 117,177 \text{ ton} > 67,863 \text{ ton} \end{aligned}$$

5.2.6 Kontrol Stabilitas Abutment

Pada kontrol stabilitas abutment terdiri dari kontrol stabilitas guling dan kontrol stabilitas geser.

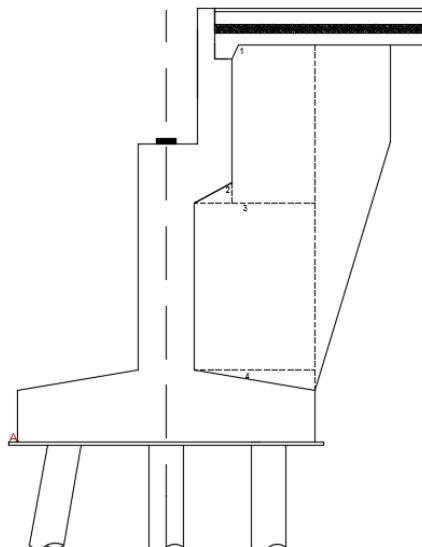
5.2.6.1 Kontrol Stabilitas Guling

Kontrol guling untuk mengetahui perbandingan besarnya gaya yang menahan abutment dibanding mendorong/menggulingkan abutment. Titik guling berada di ujung pilecap.

$$\frac{\Sigma \text{ Momen Penahan}}{\Sigma \text{ Momen Guling}} > 1,1$$

1. Momen Penahan Guling

Momen penahan merupakan jumlah total dari gaya bekerja untuk menahan abutmen agar tidak terjadi guling dan dikalikan dengan faktor ultimit dari gaya.



Gambar 5.6 Titik Guling A pada Abutment

Tabel 5. 23 Berat timbunan tanah diatas pilecap

Segmen	H	B	L	Vol	Berat	x	Momen
	m	m	m	m ³	Kn	m	kN.m
1	3.680	0.470	14.000	24.214	435.859	1.782	776.701
2	0.500	0.450	14.000	3.150	56.700	1.467	83.160
3	3.930	1.350	14.000	74.277	1336.986	1.325	1771.506
4	0.500	0.440	14.000	3.080	55.440	1.633	90.552
					Total		2721.920

Tabel 5. 24 Rekapitulasi momen penahan abutment

Gaya Penahan	V	Lengan	Faktor Ultimit	Momen
	kN	m		kN.m
Beban Bangunan Atas	3389.01	9.00	1.30	39651.36
Beban Abutmen	6524.86	0.61	1.30	5208.164
Beban tanah poer 1	435.86	1.78	1.25	970.8764
Beban tanah poer 2	56.70	1.47	1.25	103.95
Beban tanah poer 3	1336.99	1.33	1.25	2214.383
Beban tanah poer 4	55.44	1.63	1.25	113.19
			Total	48261.92

2. Momen penyebab guling

Momen penyebab guling diambil dari beban tekanan tanah akibat beban rencana kendaraan (tanah timbunan setinggi 0,7 m) dan tekanan tanah aktif akibat timbunan.

Tabel 5. 25 Rekapitulasi momen guling abutment

Gaya Guling	V	Lengan	Faktor Ultimit	Momen
	kN	m		kN.m
Tekanan tanah aktif 1	582.961	4.50	1.25	3279.157
Tekanan tanah aktif 2	3747.609	3.00	1.25	14053.53
				Total 17332.69

$$\begin{array}{rcl}
 \frac{\sum \text{Momen Penahan}}{\sum \text{Momen Guling}} & > & 1,1 \\
 \frac{48261,922}{17332,689} & > & 1,1 \\
 2,784 & > & 1,1 \quad \textbf{OK}
 \end{array}$$

5.2.6.2 Kontrol Stabilitas Geser

Kontrol geser abutment dengan cara membandingkan besarnya gaya tahanan lateral ultimit dengan gaya lateral ultimit pada dinding abutment.

$$\frac{\sum \text{Penahan Lateral}}{\sum \text{Gaya Lateral}} > 1,1$$

1. Tahanan lateral ultimit

$$\text{Berat sendiri abutment (P)} = 6524,86 \text{ kN}$$

$$\text{Sudut geser tanah } (\phi) = 26,11^\circ$$

$$\text{Nilai kohesi tanah (Cu)} = 5 \text{ kPa}$$

$$\begin{aligned}
 \text{Nilai kohesi tanah direduksi (Cu')} &= K_{rc} \times Cu \\
 &= 0,7 \times 5 \text{ kPa} \\
 &= 3,5 \text{ kPa} = 3,5 \text{ kN/m}^2
 \end{aligned}$$

$$\begin{aligned}
 \text{Luas bidang kontak efektif} & \\
 (\text{Aef}) &
 \end{aligned}$$

$$= B_{eff} \times L_{eff}$$

$$= 14 \text{ m} \times 7 \text{ m}$$

$$= 98 \text{ m}^2$$

- Kondisi tanah timbunan di belakang abutment merupakan tanah non kohesif

$$\begin{aligned}
 R_s &= P \times \tan \phi \\
 &= 6524,86 \text{ kN} \times 0,490 \\
 &= 3197,909 \text{ kN}
 \end{aligned}$$

- Kondisi tanah timbunan dibelakang abutment merupakan tanah kohesif

$$\begin{aligned}
 R_s &= 0,4 \times A_{eff} \times C_u' \\
 &= 0,4 \times 98 \text{ m}^2 \times 3,5 \text{ kN/m}^3 \\
 &= 137,2 \text{ kN}
 \end{aligned}$$

- Total gaya penahan lateral ultimit

$$\begin{aligned}
 &= 3197,909 \text{ kN} + 137,2 \text{ kN} \\
 &= 3335,109 \text{ kN}
 \end{aligned}$$

2. Gaya Lateral Ultimit

Tinggi timbunan (H)	= 9,0 m
Berat jenis tanah	= 17 kN/m ³
Sudut geser tanah (φ)	= 26,11°
Tan (φ)	= 0,490
Sudut geser yang direduksi	= Tan ⁻¹ (Krc x φ) = Tan ⁻¹ (0,7 x 0,490) = 21,41°
Nilai kohesi tanah (Cu)	= 5 kPa

- Kondisi tanah timbunan di belakang abutment merupakan tanah non kohesif

$$K_a = \frac{1 - \sin \phi'}{1 + \sin \phi'} = \frac{1 - \sin 21,41^\circ}{1 + \sin 21,41^\circ} = 0,465$$

$$\begin{aligned}
 P_a &= \text{Tekanan lateral tanah} \\
 &= 0,5 \times \gamma t \times H^2 \times K_a \\
 &= 0,5 \times 17 \text{ kN/m}^3 \times (9,0 \text{ m})^2 \times 0,465 \\
 &= 320,262 \text{ kN}
 \end{aligned}$$

$$\begin{aligned}
 P_{aT} &= \text{Tekanan tanah akibat lapisan 0,7} \\
 &= \gamma t \times H \times K_a \\
 &= 17 \text{ kN/m}^3 \times 9,0 \text{ m} \times 0,465 \\
 &= 47,702 \text{ kN}
 \end{aligned}$$

$$\begin{aligned}
 \sum \text{Gaya Lateral} &= 320,262 \text{ kN} + 47,702 \text{ kN} \\
 &= 362,964 \text{ kN}
 \end{aligned}$$

- Kondisi tanah timbunan dibelakang abutment merupakan tanah kohesif

$$\begin{aligned} PT &= (yt \times Hp) - (2Cu) \\ &= (17 \text{ kN/m}^3 \times 9,0 \text{ m}) - (7) \\ &= 146,00 \text{ Kn} \end{aligned}$$

$$\frac{\Sigma \text{Penahan Lateral}}{\Sigma \text{Gaya Lateral}} > 1,1$$

$$\frac{3335,109 \text{ kN}}{362,964 \text{ kN}} > 1,1$$

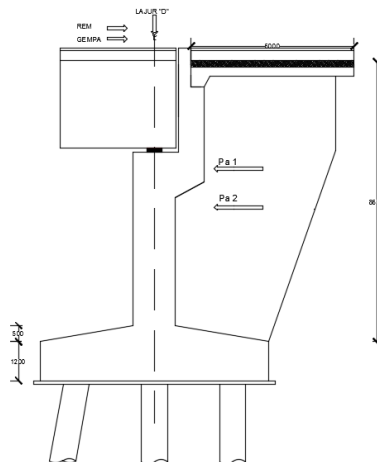
$$9,19 > 1,1$$

OK

5.2.8 Perhitungan Pile Cap (Poer)

Perhitungan analisis pile cap berdasarkan pembebanan dalam keadaan batas (ultimit). Beban yang dihitung dari beban P yang terjadi pada tiang pancang, berikut dibawah ini analisis perencanaan pile cap.

5.2.7.1 Analisis Pembebanan Pile Cap



Gambar 5.7 Beban pada Poer Abutment

Tabel 5. 26 Perhitungan Gaya dan Momen pada Center Poer abutment

URAIAN	V	Hx	Hy	Mx	My
	kN	kN	kN	kN.m	kN.m
Beban Tetap					
Struktur atas	3389.005				
Struktur abutment	6524.86			6524.861	
Tek. Tanah Aktif 1		582.961		2623.326	
Tek. Tanah Aktif 2		3747.609		11242.826	
Pengaruh beban hidup					
BTR +BGT	1047.71				
Pejalan kaki	250				
Beban Rem		52.3855		1016.279	
Beban Angin			36.161		400.058
Aksi Lingkungan					
Eq Struktur Atas		3498.592	3498.592	31487.327	31487.327
Eq Struktur Bawah		3592.453	3592.453	15303.051	15303.051
Eq. Tek.Tanah dinamis		4878.747		14636.240	

Kombinasi yang digunakan untuk kekuatan pondasi adalah :

Kombinasi 1 (1,3MS + 1,8TD + 1,8TB + 1,2 T_{EW} + 1,25Ta)

Tabel 5. 27 Kombinasi 1 ultimit pada pile cap

No	Aksi / Beban	Faktor Beban	Vu	Hx	Hy	Mx	My
			kN	kN	kN	kN.m	kN.m
1	Berat Sendiri	1.30	12888.026			8482.319	
2	Beban lajur	1.80	1885.878				
4	Beban Rem	1.80		94.294		1829.302	
5	Beban Angin	1.20			43.393		480.070
6	Tek. Tanah	1.25		5413.212		17332.689	
		Total	14773.904	5413.212		27644.310	480.070

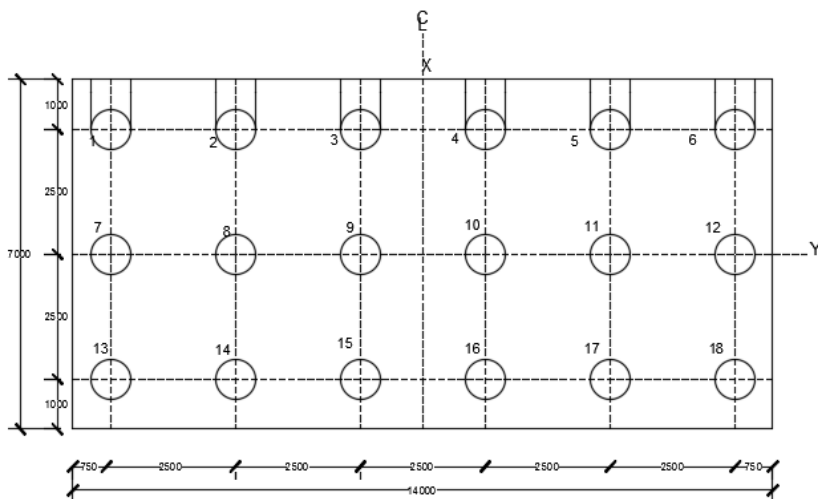
Kombinasi 2 (1,3MS + 30% EQ_x + Taq)

Tabel 5. 28 Kombinasi 2 ultimit pada pile cap

No	Aksi / Beban	Faktor Beban	Vu	Hx	Hy	Mx	My
			kN	kN	kN	kN.m	kN.m
1	Berat Sendiri	1.3	12888.026			8482.319	
2	Beban Gempa	1.0		2127.313	7091.045	14037.113	46790.378
3	Tek.Dinamis Axial Gempa	1.0		4878.747		14636.240	
Total			12888.026	7006.060	7091.045	37155.673	46790.378

Kombinasi 3 (1,3MS + 30% EQ_Y + Taq)**Tabel 5. 29** Kombinasi 3 ultimit pada pile cap

No	Aksi / Beban	Faktor Beban	V _u	H _x	H _y	M _x	M _y
			kN	kN	kN	kN.m	kN.m
1	Berat Sendiri	1.3	12888.026			19893.966	
2	Beban Gempa	1.0		7091.045	2127.313	46790.378	14037.113
3	Tek. Dinamis Axial Gempa	1.0		4878.747		14636.240	
Total			12888.026	11969.791	2127.313	81320.584	14037.113

**Gambar 5. 8** Konfigurasi Tiang Pancang Abutment

Konfigurasi tiang pancang yang digunakan adalah sebagai berikut :

Konfigurasi Tiang Pancang Abutment

X = jarak tiang terhadap sumbu X (m)

= 2,5 m

Y = jarak tiang terhadap sumbu Y (m)

= 2,5 m

n = jumlah tiang pancang

$$= 18$$

Dari kombinasi dan konfigurasi diatas, maka daya dukung per tiang dapat dihitung dengan rumus :

$$P_{max} = \frac{V}{n} + \frac{My \cdot X}{\sum Y^2} + \frac{Mx \cdot Y}{\sum X^2}$$

Dimana,

V = beban vertikal dari kolom

n = banyak tiang dalam 1 group

Mx = Momen terhadap sumbu X

My = Momen terhadap sumbu Y

X = absis terjauh terhadap titik berat kelompok tiang

Y = koordinat terjauh terhadap titik berat kelompok tiang

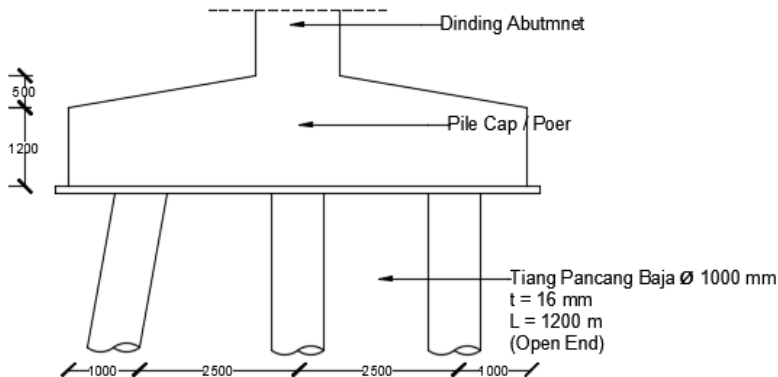
$\sum X$ = jumlah dari kuadrat absis tiap tiang terhadap garis netral group

$\sum X$ = jumlah dari kuadrat koordinat tiap tiang terhadap garis netral group

Tabel 5.30 Beban Ultimit Gaya Aksial Satu Tiang Abutment

No	x	y	x^2	y^2	Komb.1	Komb.2	Komb.3
1	2.50	-6.25	6.25	39.063	-68.800	2772.689	-287.150
2	2.50	-3.75	6.25	14.063	150.600	3067.575	358.252
3	2.50	-1.25	6.25	1.563	369.999	3362.462	1003.653
4	2.50	1.25	6.25	1.563	589.398	3657.348	1649.055
5	2.50	3.75	6.25	14.063	808.798	3952.234	2294.456
6	2.50	6.25	6.25	39.063	1028.197	4247.120	2939.857
7	0.00	-6.25	0.00	39.063	-100.804	-346.669	-1222.957
8	0.00	-3.75	0.00	14.063	118.595	-51.783	-577.556
9	0.00	-1.25	0.00	1.563	337.994	243.103	67.846
10	0.00	1.25	0.00	1.563	557.394	537.989	713.247
11	0.00	3.75	0.00	14.063	776.793	832.876	1358.648
12	0.00	6.25	0.00	39.063	996.192	1127.762	2004.050
13	-2.50	-6.25	6.25	39.063	-132.809	-3466.028	-2158.765
14	-2.50	-3.75	6.25	14.063	86.590	-3171.142	-1513.364
15	-2.50	-1.25	6.25	1.563	305.990	-2876.255	-867.962
16	-2.50	1.25	6.25	1.563	525.389	-2581.369	-222.561
17	-2.50	3.75	6.25	14.063	744.788	-2286.483	422.841
18	-2.50	6.25	6.25	39.063	964.188	-1991.597	1068.242
			75.00	302.4			

Perhitungan Momen



Gambar 5.9 Analisis Gaya dan Momen pada Poer Abutment

Tabel 5.31 Perhitungan reaksi tiang pancang abutment

Tiang Pancang	P Komb 1 (kN)	P Komb 2 (kN)	P Komb 3 (kN)
$\sum P_1$	2878.19	21059.43	7958.12
$\sum P_2$	2686.16	2343.28	2343.28
$\sum P_3$	2494.14	-16372.87	-3271.57

Tabel 5.32 Perhitungan momen Poer abutment

Reaksi Akibat	Jarak thd Center Poer	Momen		
		Komb 1	Komb 2	Komb 3
$\sum P_1$	2.50	3597.74	26324.29	9947.65
$\sum P_2$	0.00	0.00	0.00	0.00
$\sum P_3$	2.50	3117.67	-20466.09	-4089.46

Maka momen dalam keadaan batas (ultimit) yang digunakan dalam merencanakan pile cap adalah hasil dari kombinasi 2 (1,3MS + 30% EQ_X + Taq) yaitu :

$$\begin{aligned} \text{Mu} &= \frac{\text{Momen max pada baris pancang}}{\text{Lebar abutment}} \\ &= \frac{26324,29 \text{ kN}}{14 \text{ m}} \\ &= 1880,306 \text{ kN.m} \end{aligned}$$

5.2.7.2 Perhitungan Penulangan Pile Cap Abutment

1. Tulangan Lentur :

Mutu Beton	fc	= 25 MPa
Mutu Baja Tulangan	fy	= 390 MPa
Tinggi yang ditinjau	h	= 1700 mm
Lebar yang ditinjau	b	= 1000 mm
Selimut Beton	d'	= 50 mm
Tebal Efektif	d	= 1650 mm
Faktor Reduksi Lentur	ϕ	= 0,8

$$\text{Mu} = 1880,306 \text{ kN.m}$$

$$\text{Mn} = \frac{\text{Mu}}{\phi} = \frac{1880,306}{0,8} = 2350,383 \text{ kN.m}$$

$$\text{Rn} = \frac{\text{Mn}}{\text{bd}^2} = \frac{2350,383 \times 10^6}{1000 \times 2722500} = 0,863 \text{ N/mm}^2$$

$$\rho b = \frac{0,85 \text{ fc}'}{\text{fy}} \times \beta_1 \times \frac{600}{600 + \text{fy}}$$

$$= \frac{0,85 \times 25}{390} \times 0,85 \times \frac{600}{600 + 390}$$

$$= 0,028$$

$$\rho_{\min} = \frac{1,4}{f_y} = \frac{1,4}{390} = 0,004$$

$$\rho_{\max} = 0,75 \times \rho_b$$

$$= 0,75 \times 0,028$$

$$= 0,021$$

$$m = \frac{f_y}{0,85 f_c} = \frac{390}{0,85 \times 25} = 18,353$$

$$\begin{aligned}\rho &= \frac{1}{m} x \left(1 - \sqrt{1 - \frac{2 \times m \times Rn}{f_y}} \right) \\ &= \frac{1}{18,353} x \left(1 - \sqrt{1 - \frac{2 \times 18,35 \times 0,863}{390}} \right) \\ &= 0,0022\end{aligned}$$

Cek,

$$\begin{array}{ccccc} \rho_{\min} < & \rho & < & \rho_{\max} & \text{NO OK} \\ 0,004 > & 0,002 & < & 0,021 & \\ \text{Maka diambil } \rho_{\min} & = 0,004 & & & \end{array}$$

Luas tulangan yang diperlukan

$$\begin{aligned}As &= \rho \times b \times d \\ &= 0,004 \times 1000 \times 1650 \\ &= 5923,077 \text{ mm}^2\end{aligned}$$

Direncanakan tulangan lentur D 29

$$\begin{aligned}As &= 0,25 \times \pi \times D^2 \\ &= 0,25 \times \pi \times 29^2 \\ &= 660,520 \text{ mm}^2\end{aligned}$$

Jarak terjauh antar tulangan untuk, $b = 1000 \text{ mm}$

$$\begin{aligned}s &= \frac{\text{As pasang} \times b}{\text{As perlu}} \\ &= \frac{660,520 \times 1000}{5923,077} \\ &= 111,516 \text{ mm}\end{aligned}$$

Dipasang tulangan D29 – 100 ($\text{As} = 6605,20 \text{ mm}^2$)

2. Tulangan Bagi

Luas Tulangan Bagi yang Diperlukan

$$\begin{aligned}\text{As}' &= 20\% \times \text{As} \\ &= 20\% \times 5923,077 \\ &= 1184,615 \text{ mm}^2\end{aligned}$$

Direncanakan tulangan bagi D 16

$$\begin{aligned}\text{As} &= 0,25 \times \pi \times D^2 \\ &= 0,25 \times \pi \times 16^2 \\ &= 201,062 \text{ mm}^2\end{aligned}$$

Jarak terjauh antar tulangan untuk, $b = 1000 \text{ mm}$

$$\begin{aligned}s &= \frac{\text{As pasang} \times b}{\text{As perlu}} \\ &= \frac{201,062 \times 1000}{1184,615} \\ &= 169,728 \text{ mm}\end{aligned}$$

Dipasang tulangan D 16 – 150 ($\text{As} = 1340,413 \text{ mm}^2$)

3. Tulangan Tekan

Luas tulangan yang diperlukan

$$\begin{aligned}\text{As} &= \rho \times b \times d \\ &= 0,004 \times 1000 \times 1650 \\ &= 5923,077 \text{ mm}^2\end{aligned}$$

Direncanakan Tulangan Utama D 29

$$\text{As} = 0,25 \times \pi \times D^2$$

$$= 0,25 \times \pi \times 29^2 \\ = 660,519 \text{ mm}^2$$

Jarak terjauh antar tulangan untuk, $b = 1000 \text{ mm}$

$$s = \frac{\text{As pasang} \times b}{\text{As perlu}} \\ = \frac{660,519 \times 1000}{5923,077} \\ = 111,516 \text{ mm}$$

Dipasang tulangan D29 – 100 ($\text{As} = 6605,20 \text{ mm}^2$)

4. Kontrol Geser Pons

$$Vc = \frac{1}{6} \times \sqrt{fc'} \times b \times d$$

$$\begin{aligned} b &= \text{keliling tiang bor} &+ \text{tebal pilecap (mm)} \\ &= (\pi \times \emptyset \text{ bored pile}) &+ H \\ &= 2513,274 \text{ mm} &+ 1700 \text{ mm} \\ &= 4213,274 \text{ mm} \end{aligned}$$

$$\begin{aligned} d &= \text{Tebal efektif poer} &+ d' \\ &= h \text{ pons} &+ d' \\ &= 1700 &+ 50 \\ &= 1750 \text{ mm} \end{aligned}$$

$$\begin{aligned} Vc &= \frac{1}{6} \times \sqrt{fc'} \times b \times d \\ Vc &= \frac{1}{6} \times \sqrt{25} \times 4213,274 \times 1750 \\ &= 6144358,1 \text{ N} \end{aligned}$$

$$Vu = \frac{P \text{ maks}}{\phi} = \frac{3825698 \text{ N}}{0,7} = 5465283,5 \text{ N}$$

Kontrol,		
Vc	>	Vu
6144358,1 N	>	5465283,5 N
		OK

5. Penulangan Geser

$$\begin{aligned}
 f_{c'} &= 25 \text{ MPa} & d' &= 50 \text{ mm} \\
 f_y &= 390 \text{ MPa} & d &= 1650 \text{ mm} \\
 H &= 1700 \text{ mm} & \phi &= 0,8 \text{ mm} \\
 b &= 1000 \text{ mm} \\
 V_u &= \frac{5465283,5}{14} = 390377,4 \text{ N}
 \end{aligned}$$

$$\begin{aligned}
 V_c &= \frac{1}{6} \times \sqrt{f_{c'}} \times b \times d \\
 V_c &= \frac{1}{6} \times \sqrt{25} \times 1000 \times 1650 \\
 &= 1375000 \text{ N}
 \end{aligned}$$

$$\begin{aligned}
 V_s \min &= \frac{b \times d}{3} \\
 &= \frac{1000 \times 1650}{3} \\
 &= 566666,7 \text{ N}
 \end{aligned}$$

Cek kondisi Geser

1. $V_u < 0,5 \times \phi \times V_c$
 $390377,4 \text{ N} < 550000 \text{ N}$ **(OK)**

2. $0,5 \times \phi \times V_c < V_u < \phi \times V_c$
 $550000 \text{ N} < 390377,4 \text{ N} < 1100000 \text{ N}$ **(NOT OK)**

3. $\phi \times V_c < V_u < \phi (V_c + V_{s\min})$
 $1100000 \text{ N} < 390377,4 \text{ N} < 1553333 \text{ N}$ **(NOT OK)**

4. $\phi (V_c + V_{s\min}) < V_u < \phi (V_c + 1/3 \sqrt{f_{c'}} b w d)$
 $1553333 \text{ N} < 390377,4 \text{ N} < 1101333 \text{ N}$ **(NOT OK)**

$$5. \phi (V_c + 1/3 \sqrt{f'_c} b d) < V_u < \phi (V_c + 2/3 \sqrt{f'_c} b w d)$$

$$1101333 \text{ N} < 390377,4 \text{ N} < 5500000 \text{ (NOT OK)}$$

Didapat perhitungan di atas kondisi 1 memenuhi syarat maka tidak perlu tulangan geser, tetapi untuk kestabilan struktur pakai tulangan geser praktis.

Direncanakan tulangan geser 6 kaki diameter $\emptyset 13$

$$\begin{aligned} A_v &= 6 \times 0,25 \times \pi \times D^2 \\ &= 6 \times 0,25 \times \pi \times 13^2 \\ &= 796,394 \text{ mm}^2 \end{aligned}$$
OK

$$\begin{aligned} A_{v \min} &= D \times 500/3f_y \\ &= 705,13 \text{ mm}^2 \end{aligned}$$

Jarak antar sengkang

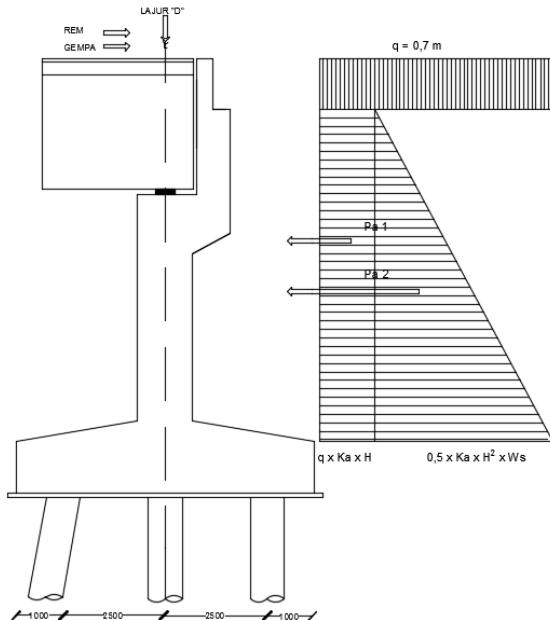
$$\begin{aligned} S &= \frac{A_v \times f_y \times d}{V_{s \min}} \\ &= \frac{796,394 \times 390 \times 1650}{566666,7} \\ &= 904,375 \text{ mm} \end{aligned}$$

$$S_{\min} = d/2 = 825 \text{ mm}$$

Maka dipasang tulangan geser $\emptyset 13 - 500 \text{ mm}$

5.2.9 Perhitungan Dinding Abutment

Perhitungan analisis dinding abutment berdasarkan pembebanan dalam keadaan batas (ultimate). Berikut di bawa ini analisis perencanaan dinding abutment.



Gambar 5.10 Analisa Pembebatan pada Dinding Abutment

5.2.8.1 Analisis Pembebatan Dinding Abutment

a. Beban Sendiri Dinding Abutment

$$\begin{aligned} q &= H \times L \times W_c \\ &= 5,3 \times 1,3 \times 25 \\ &= 172,25 \text{ kN/m} \end{aligned}$$

b. Berat Korbel

$$\begin{aligned} q &= (H_1 + H_2)/2 \times L \times W_c \\ &= 3,17 \times 0,4 \times 25 \\ &= 31,7 \text{ kN/m} \end{aligned}$$

c. Berat Longitudinal Stopper

$$\begin{aligned} q &= H \times L \times W_c \\ &= 3,2 \times 0,4 \times 25 \\ &= 32 \text{ kN/m} \end{aligned}$$

d. Beban Lajur "D"

Panjang bentang jembata (L) = 25 m

Lebar perkerasan (b) = 10 m

- Beban terbagi rata

$$q = 9,0 \text{ kPa} = 9 \text{ kN/m}^2$$

$$\begin{aligned} P_{BTR} &= (5,5 \times q_{BTR}) + [(b - 5,5) \times 0,5 \times q_{BTR}] \times L \\ &= (5,5 \times 9 \text{ kN/m}^2) + [(10m - 5,5m) \times 0,5 \times \\ &\quad 0,9 \text{ kN/m}^2] \times 25 \text{ m} \\ &= 555,750 \text{ kN} \end{aligned}$$

- Beban lajur terpusat

$$P = 49 \text{ kN/m}$$

DLA = 40% untuk $L = 25 \text{ m}$

$$\begin{aligned} P_{BGT} &= 5,5 \times [P_{BGT} \times (1 + FBD) + (b - 5,5 \times (P_{BGT} \\ &\quad \times (1 + DLA)))] \\ &= 5,5 \times [49 \text{ kN/m} \times (1 + 0,4) + (10m - 5,5m \times \\ &\quad (49 \text{ kN/m} \times (1 + 0,4))] \\ &= 491,960 \text{ Kn} \end{aligned}$$

$$q_{BTR} = \frac{V_{BTR}}{b} = \frac{555,750}{10} = 55,575 \text{ kN/m}$$

$$q_{BGT} = \frac{V_{BGT}}{b} = \frac{491,960}{10} = 49,196 \text{ kN/m}$$

e. Beban ½ Struktur Atas

$$q_{Abt} = \frac{V_{Abt}}{By} = \frac{3389,01 \text{ kN}}{14 \text{ m}} = 242,072 \text{ kN/m}$$

f. Beban Tekanan Tanah Aktif

Data teknis :

Berat jenis tanah, γt	= 17 kN/m ³
Tinggi timbunan, H	= 9,0 m
Sudut geser tanah, ϕ	= 26,11°
Koefisien Tanah aktif	= 0,389

Beban merata akibat berat timbunan tanah setinggi 0,7 m, merupakan ekivalen berat kendaraan.

$$\begin{aligned} q &= 0,7m \times \gamma t \\ &= 0,7 \times 17 \text{ kN/m}^3 \\ &= 11,9 \text{ kN/m}^2 \end{aligned}$$

$$\begin{aligned} P_{Ta_1} &= q \times K_a \times H \times x \\ &= 11,9 \text{ kN/m}^2 \times 0,389 \times 9,0 \text{ m} \\ &= 36,251 \text{ kN} \end{aligned}$$

$$\begin{aligned} P_{Ta_2} &= \frac{1}{2} \times K_a \times \gamma t \times H^2 \\ &= \frac{1}{2} \times 0,389 \times 17 \text{ kN/m}^3 \times (9,0\text{m})^2 \\ &= 267,686 \text{ kN} \end{aligned}$$

g. Beban Tekanan Tanah Aktif Akibat Gempa

Data teknis :

Tinggi timbunan (H)	= 9,0 m
Berat jenis tanah (γt)	= 17 kN/m ³
Sudut geser tanah (ϕ)	= 26,11 °
Rencana sudut geser tembok(δ)	= 20°
Koefisien tanah aktif (Ka)	= 0,389
Koefisien gempa horizontal (Kh)	= 0,188
Koefisien Tekanan tanah dinamis	= 0,506

$$\begin{aligned} E_{AE} &= \frac{\gamma t \times H^2}{2} \times (1 - K_v) \times K_{AE} \\ &= \frac{17 \times (9,0)^2}{2} \times (1 - 0) \times 0,506 \\ &= 348,482 \text{ kN/m} \end{aligned}$$

h. Beban Gempa

Csm	= 0,826
R Bangunan Bawah	= 1,5
R Bangunan Atas	= 0,8
Berat ½ Struktur Atas	= 3389,01 kN
Berat Dinding Abutment	= 2411,50 kN
Berat Longitudinal Stopper	= 448,00 kN
Berat Korbel	= 443,80 kN

- Beban Gempa Akibat Bangunan Atas :

$$\begin{aligned} Eq &= \frac{Csm}{R} \times Wt & q &= \frac{Eq}{By} \\ &= \frac{0,826}{0,8} \times 3389,01 & &= \frac{3498,592}{14} \\ &= 3498,592 \text{ kN} & &= 249,899 \text{ kN/m} \end{aligned}$$

- Beban Gempa Akibat Berat Sendiri Dinding Abutment

$$\begin{aligned} Eq &= \frac{Csm}{R} \times Wt & q &= \frac{Eq}{By} \\ &= \frac{0,826}{1,5} \times 2411,50 & &= \frac{1327,722}{14} \\ &= 1327,722 \text{ kN} & &= 94,837 \text{ kN/m} \end{aligned}$$

- Beban Gempa Akibat Longitudinal Stopper

$$\begin{aligned} Eq &= \frac{Csm}{R} \times Wt & q &= \frac{Eq}{By} \\ &= \frac{0,826}{1,5} \times 448,00 & &= \frac{246,659}{14} \\ &= 246,659 \text{ kN} & &= 17,453 \text{ kN/m} \end{aligned}$$

- Beban Gempa Akibat Korbel

$$\begin{aligned} Eq &= \frac{Csm}{R} \times Wt & q &= \frac{Eq}{By} \\ &= \frac{0,826}{1,5} \times 443,80 & &= \frac{246,659}{14} \\ &= 246,659 \text{ kN} & &= 17,619 \text{ kN/m} \end{aligned}$$

5.2.8.2 Perhitungan Gaya dan Momen pada Dinding Abutment

Kombinasi 1 (1,3MS + 1,8TD + 1,8TB + 1,25TA)

Tabel 5.33 Kombinasi 1 ultimit dinding abutment

No	Aksi / Beban	Faktor Beban	Vu	Hx	Lengan	Mx
			kN/m	kN/m	m	kN.m
1	Berat sendiri	1.30	223.93			
2	Berat korbel	1.30	41.21		1.33	54.81
3	Bera Long Stop	1.30	41.60		0.93	38.69
4	BTR + BGT	1.80	188.59			
5	Beban Rem	1.80		13.47	9.00	121.24
6	Tek. Aktif 1	1.25		52.05	4.50	234.23
7	Tek. Aktif 2	1.25		334.61	3.00	1003.82
Total			495.32	400.13		1452.78

Kombinasi 2 (1,3MS + 1Eq + 1Taq)

Tabel 5.34 Kombinasi 2 ultimit dinding abutment

No	Aksi / Beban	Faktor Beban	Vu	Hx	Lengan	Mx
			kN/m	kN/m	m	kN.m
1	Berat sendiri	1.30	223.93			
2	Gempa Bag. Atas	1.00		249.899	5.33	1331.964
3	Gempa breast wall	1.00		94.8373	2.67	252.7413
4	Gempa Korbel	1.00		17.4534	5.77	100.7059
5	Gempa Long Stop	1.00		17.6185	6.93	122.1493
6	Tek. Tanah Dinamis	1.00		348.482	3.75	1306.807
Total			223.93	728.29		3114.37

5.2.8.3 Perhitungan Penulangan Dinding Abutment

1. Penulangan Lentur

Mutu Beton	fc	= 25 MPa
Mutu Baja Tulangan	= 390 MPa	
Tinggi yang ditinjau	h	= 1300 mm
Lebar yang ditinjau	b	= 1000 mm
Selimut Beton	d'	= 50 mm
Tebal Efektif	d	= 1250 mm
Faktor Reduksi Lentur	ϕ	= 0,8

$$\text{Mu} = 3114,37 \text{ kN.m}$$

$$M_n = \frac{Mu}{\phi} = \frac{3114,37}{0,8} = 3892,959 \text{ kN.m}$$

$$R_n = \frac{M_n}{bd^2} = \frac{3892,959 \times 10^6}{1000 \times 1562500} = 2,491 \text{ N/mm}^2$$

$$\begin{aligned} \rho b &= \frac{0,85 f_{c'}}{f_y} \times \beta_1 \times \frac{600}{600+f_y} \\ &= \frac{0,85 \times 25}{390} \times 0,85 \times \frac{600}{600+390} \\ &= 0,028 \end{aligned}$$

$$\rho_{min} = \frac{1,4}{f_y} = \frac{1,4}{390} = 0,004$$

$$\begin{aligned} \rho_{maks} &= 0,75 \times \rho b \\ &= 0,75 \times 0,028 \\ &= 0,021 \end{aligned}$$

$$m = \frac{f_y}{0,85 f_{c'}} = \frac{390}{0,85 \times 25} = 18,353$$

$$\begin{aligned} \rho &= \frac{1}{m} \times \left(1 - \sqrt{1 - \frac{2 \times m \times R_n}{f_y}} \right) \\ &= \frac{1}{18,353} \times \left(1 - \sqrt{1 - \frac{2 \times 18,35 \times 2,491}{390}} \right) \\ &= 0,0068 \end{aligned}$$

Cek,
 $\rho_{min} < \rho < \rho_{maks}$
 $0,004 < 0,007 < 0,021 \quad \text{OK}$

Luas tulangan yang diperlukan

$$\begin{aligned} As &= \rho \times b \times d \\ &= 0,007 \times 1000 \times 1250 \\ &= 8518,236 \text{ mm}^2 \end{aligned}$$

Direncanakan tulangan lentur D 32

$$\begin{aligned} As &= 0,25 \times \pi \times D^2 \\ &= 0,25 \times \pi \times 32^2 \\ &= 804,248 \text{ mm}^2 \end{aligned}$$

Jarak terjauh antar tulangan untuk, $b = 1000 \text{ mm}$

$$\begin{aligned} s &= \frac{As \text{ pasang} \times b}{As \text{ perlu}} \\ &= \frac{804,248 \times 1000}{8518,236} \\ &= 94,415 \text{ mm} \end{aligned}$$

Dipasang tulangan D32 – 90 mm ($As = 8936,09 \text{ mm}^2$)

2. Penulangan Bagi

Luas Tulangan Bagi yang Diperlukan

$$\begin{aligned} As' &= 20\% \times As \\ &= 20 \% \times 8518,24 \text{ mm}^2 \\ &= 1703,647 \text{ mm}^2 \end{aligned}$$

Direncanakan tulangan bagi D 16

$$\begin{aligned} As &= 0,25 \times \pi \times x \times D^2 \\ &= 0,25 \times \pi \times x \times 16^2 \\ &= 201,062 \text{ mm}^2 \end{aligned}$$

Jarak terjauh antar tulangan untuk, $b = 1000 \text{ mm}$

$$\begin{aligned} s &= \frac{As \text{ pasang} \times b}{As \text{ perlu}} \\ &= \frac{201,062 \times 1000}{1703,647} \end{aligned}$$

= 118,019 mm
 Dipasang tulangan D16 – 100 mm (As = 2010,619 mm²)

3. Penulangan Geser

$$\begin{aligned}
 f'_c &= 25 \text{ MPa} & d' &= 50 \text{ mm} \\
 f_y &= 390 \text{ MPa} & d &= 1250 \text{ mm} \\
 H &= 1300 \text{ mm} & \phi &= 0,8 \text{ mm} \\
 b &= 1000 \text{ mm} & V_u &= 495322,8 \text{ N} \\
 V_c &= \frac{1}{6} \times \sqrt{f'_c} \times b \times d \\
 V_c &= \frac{1}{6} \times \sqrt{25} \times 1000 \times 1250 \\
 &= 1041666,67 \text{ N}
 \end{aligned}$$

$$\begin{aligned}
 V_{s \min} &= \frac{b \times d}{3} \\
 &= \frac{1000 \times 1250}{3} \\
 &= 433333,33 \text{ N}
 \end{aligned}$$

Cek kondisi Geser

$$\begin{aligned}
 1. \quad V_u &< 0,5 \times \phi \times V_c \\
 495322,8 \text{ N} &< 416666,7 \text{ N} \quad (\text{NOT OK})
 \end{aligned}$$

$$\begin{aligned}
 2. \quad 0,5 \times \phi \times V_c &< V_u &< \phi \times V_c \\
 416666,7 \text{ N} &< 495322,8 \text{ N} &< 833333,3 \text{ N} \quad (\text{OK})
 \end{aligned}$$

$$\begin{aligned}
 3. \quad \phi \times V_c &< V_u &< \phi (V_c + V_{s \min}) \\
 833333,3 \text{ N} &< 495322,8 \text{ N} &< 1180000 \text{ N} \quad (\text{NOT OK})
 \end{aligned}$$

$$\begin{aligned}
 4. \quad \phi (V_c + V_{s \min}) &< V_u &< \phi (V_c + 1/3 \sqrt{f'_c} b w d) \\
 1180000 \text{ N} &< 495322,8 \text{ N} &< 834666,7 \text{ N} \quad (\text{NOT OK})
 \end{aligned}$$

$$5. \quad \phi (V_c + 1/3 \sqrt{f'_c} b d) < V_u &< \phi (V_c + 2/3 \sqrt{f'_c} b w d)$$

$$834666,7 \text{ N} < 495322,8 \text{ N} < 4166667 \text{ (NOT OK)}$$

Didapat perhitungan di atas kondisi 1 memenuhi syarat maka tidak perlu tulangan geser, tetapi untuk kestabilan struktur pakai tulangan geser praktis.

Direncanakan tulangan geser 6 kaki diameter $\emptyset 12$

$$\begin{aligned} Av &= 6 \times 0,25 \times \pi \times D^2 \\ &= 6 \times 0,25 \times \pi \times 12^2 \\ &= 678,584 \text{ mm}^2 \end{aligned} \quad \text{OK}$$

$$\begin{aligned} Av_{\min} &= D \times 500/3fy \\ &= 534,188 \text{ mm}^2 \end{aligned}$$

Jarak antar sengkang

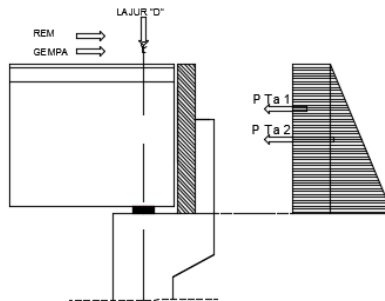
$$\begin{aligned} S &= \frac{Av \times fy \times d}{V_{sm\min}} \\ &= \frac{678,584 \times 390 \times 1250}{433333,33} \\ &= 763,407 \text{ mm} \end{aligned}$$

$$S_{\min} = d/2 = 625 \text{ mm}$$

Maka dipasang tulangan geser $\emptyset 12 - 500 \text{ mm}$

5.2.10 Perhitungan Longitudinal Stopper

5.2.10.1 Analisis pembebanan longitudinal stopper



Gambar 5.11 Pembebanan pada Longitudinal Stopper Abutment

1. Beban Longitudinal Stopper

$$\begin{aligned} q &= H \times L \times W_c \\ &= 3,2 \times 0,4 \times 25 \\ &= 32 \text{ kN/m} \end{aligned}$$

2. Berat Korbel

$$\begin{aligned} q &= (H_1 + H_2)/2 \times L \times W_c \\ &= 3,17 \times 0,4 \times 25 \\ &= 31,7 \text{ kN/m} \end{aligned}$$

3. Beban Tekanan Tanah Aktif

Data teknis :

$$\text{Berat jenis tanah, } \gamma_t = 17 \text{ kN/m}^3$$

$$\text{Tinggi timbunan, } H = 3,2 \text{ m}$$

$$\text{Sudut geser tanah, } \phi = 26,11^\circ$$

$$\text{Koefisien Tanah aktif} = 0,389$$

Beban merata akibat berat timbunan tanah setinggi 0,7 m, merupakan ekivalen berat kendaraan.

$$\begin{aligned} q &= 0,7m \times \gamma_t \\ &= 0,7 \times 17 \text{ kN/m}^3 \\ &= 11,9 \text{ kN/m}^2 \end{aligned}$$

$$\begin{aligned}
 P_{Ta_1} &= q \times K_a \times H \times \\
 &= 11,9 \text{ kN/m}^3 \times 0,389 \times 3,2 \text{ m} \\
 &= 14,805 \text{ kN}
 \end{aligned}$$

$$\begin{aligned}
 P_{Ta_2} &= \frac{1}{2} \times K_a \times \gamma t \times H^2 \\
 &= \frac{1}{2} \times 0,389 \times 17 \text{ kN/m}^3 \times (3,2 \text{ m})^2 \\
 &= 33,841 \text{ kN}
 \end{aligned}$$

4. Beban Tekanan Tanah Aktif Akibat Gempa

Data teknis :

Tinggi timbunan (H)	= 3,2 m
Berat jenis tanah (γt)	= 17 kN/m ³
Sudut geser tanah (ϕ)	= 26,11 °
Rencana sudut geser tembok(δ)	= 20°
Koefisien tanah aktif (K_a)	= 0,389
Koefisien gempa horizontal (K_h)	= 0,188
Koefisien Tekanan tanah dinamis	= 0,506

$$\begin{aligned}
 E_{AE} &= \frac{\gamma t \times H^2}{2} \times (1 - K_v) \times K_{AE} \\
 &= \frac{17 \times 3,2^2}{2} \times (1 - 0) \times 0,506 \\
 &= 44,055 \text{ kN/m}
 \end{aligned}$$

5. Beban Gempa

Csm	= 0,826
R Bangunan Bawah	= 1,5
R Bangunan Atas	= 0,8
Berat $\frac{1}{2}$ Struktur Atas	= 3389,005 kN
Berat Longitudinal Stopper	= 448,00 kN
Berat Korbel	= 443,80 kN

- Beban Gempa Akibat Bangunan Atas :

$$\begin{aligned} Eq &= \frac{Csm}{R} \times Wt \\ &= \frac{0,826}{0,8} \times 3389,005 \\ &= 3498,592 \text{ kN} \end{aligned} \quad \begin{aligned} q &= \frac{Eq}{By} \\ &= \frac{3498,592}{14} \\ &= 249,899 \text{ kN/m} \end{aligned}$$

- Beban Gempa Akibat Longitudinal Stopper

$$\begin{aligned} Eq &= \frac{Csm}{R} \times Wt \\ &= \frac{0,826}{1,5} \times 448,00 \\ &= 246,659 \text{ kN} \end{aligned} \quad \begin{aligned} q &= \frac{Eq}{By} \\ &= \frac{246,659}{14} \\ &= 17,619 \text{ kN/m} \end{aligned}$$

- Beban Gempa Akibat Korbel

$$\begin{aligned} Eq &= \frac{Csm}{R} \times Wt \\ &= \frac{0,826}{1,5} \times 457,80 \\ &= 244,347 \text{ kN} \end{aligned} \quad \begin{aligned} q &= \frac{Eq}{By} \\ &= \frac{244,347}{14} \\ &= 17,453 \text{ kN/m} \end{aligned}$$

6. Beban Rem

$$\begin{aligned} Tb &= 104,771 \text{ kN} \\ q &= \frac{Tb}{By} = \frac{104,771 \text{ kN}}{14 \text{ m}} = 7,484 \text{ kN/m} \end{aligned}$$

5.2.10.2 Perhitungan Gaya dan Momen Long Stopper

1. Kombinasi 1 (1,3MS + 1,8TB + 1,25Ta)

Tabel 5.35 Kombinasi 1 ultimit Long Stopper abutment

No	Aksi / Beban	Faktor Beban	Vu	Hx	Lengan	Mx
			kN/m	kN/m	m	kN.m
1	Berat sendiri	1.3	41.60		1.60	66.56
2	Berat korbel	1.3	41.21		0.40	16.48
3	Tek. Aktif 1	1.25		18.51	1.60	29.61
4	Tek. Aktif 2	1.25		42.30	1.07	45.12
5	Beban Rem	1.8		13.47	1.60	21.55
Total			82.81	74.28		179.33

2. Kombinasi 2 (1,3MS + 1,25Eq+ 1,25 Taq)

Tabel 5.36 Kombinasi 2 ultimit Long Stopper abutment

No	Aksi / Beban	Faktor Beban	Vu	Hx	Lengan	Mx
			kN/m	kN/m	m	kN.m
1	Berat sendiri	1.3	41.60		1.60	66.56
2	Berat korbel	1.3	41.21		0.40	16.48
3	Beban Gempa	1.25		356.21	1.60	569.94
4	Tek. Tanah Dinamis	1.25		55.07	1.07	58.74
Total			82.81	411.28		711.73

5.2.10.3 Perhitungan Penulangan Longitudinal Stopper

1. Penulangan Lentur

Mutu Beton	fc	= 25 MPa
Mutu Baja Tulangan	= 390 MPa	
Tinggi yang ditinjau	h	= 400 mm
Lebar yang ditinjau	b	= 1000 mm
Selimut Beton	d'	= 30 mm
Tebal Efektif	d	= 370 mm
Faktor Reduksi Lentur	ϕ	= 0,8

$$Mu = 711,73 \text{ kN.m}$$

$$M_n = \frac{Mu}{\phi} = \frac{711,73}{0,8} = 889,658 \text{ kN.m}$$

$$R_n = \frac{M_n}{bd^2} = \frac{889,658 \times 10^6}{1000 \times 136900} = 6,499 \text{ N/mm}^2$$

$$\begin{aligned} \rho b &= \frac{0,85 fc'}{f_y} \times \beta_1 \times \frac{600}{600 + f_y} \\ &= \frac{0,85 \times 25}{390} \times 0,85 \times \frac{600}{600 + 390} \\ &= 0,028 \end{aligned}$$

$$\rho_{min} = \frac{1,4}{f_y} = \frac{1,4}{390} = 0,0036$$

$$\begin{aligned} \rho_{max} &= 0,75 \times \rho_b \\ &= 0,75 \times 0,028 \\ &= 0,021 \end{aligned}$$

$$m = \frac{f_y}{0,85 fc'} = \frac{390}{0,85 \times 25} = 18,353$$

$$\begin{aligned} \rho &= \frac{1}{m} \times \left(1 - \sqrt{1 - \frac{2 \times m \times R_n}{f_y}} \right) \\ &= \frac{1}{18,353} \times \left(1 - \sqrt{1 - \frac{2 \times 18,35 \times 5,900}{390}} \right) \\ &= 0,018 \end{aligned}$$

Cek,

$$\rho_{\min} < \rho < \rho_{\max}$$

$$0,004 < 0,021 = 0,021 \quad \text{NO OK}$$

Maka diambil $\rho_{\min} = 0,021$

Luas tulangan yang diperlukan

$$\begin{aligned} As &= \rho \times b \times d \\ &= 0,021 \times 1000 \times 370 \\ &= 7596,565 \text{ mm}^2 \end{aligned}$$

Direncanakan tulangan lentur D 32

$$\begin{aligned} As &= 0,25 \times \pi \times D^2 \\ &= 0,25 \times \pi \times 32^2 \\ &= 804,248 \text{ mm}^2 \end{aligned}$$

Jarak terjauh antar tulangan untuk, $b = 1000 \text{ mm}$

$$\begin{aligned} s &= \frac{As \text{ pasang} \times b}{As \text{ perlu}} \\ &= \frac{804,248 \times 1000}{7596,565} \\ &= 105,869 \text{ mm} \end{aligned}$$

Dipasang tulangan D32 – 100mm ($As = 8042,477 \text{ mm}^2$)

2. Penulangan Bagi

Luas Tulangan Bagi yang Diperlukan

$$\begin{aligned} As' &= 20\% \times As \\ &= 20\% \times 7596,565 \text{ mm}^2 \\ &= 1519,313 \text{ mm}^2 \end{aligned}$$

Direncanakan tulangan bagi D 16

$$\begin{aligned} As &= 0,25 \times \pi \times D^2 \\ &= 0,25 \times \pi \times 16^2 \\ &= 201,062 \text{ mm}^2 \end{aligned}$$

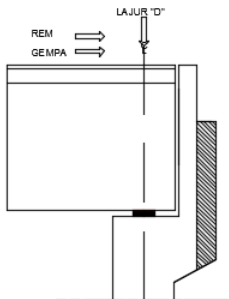
Jarak terjauh antar tulangan untuk, $b = 1000 \text{ mm}$

$$\begin{aligned} s &= \frac{\text{As pasang} \times b}{\text{As perlu}} \\ &= \frac{201,062 \times 1000}{1519,313} \\ &= 132,337 \text{ mm} \end{aligned}$$

Dipasang tulangan D16 – 100mm ($\text{As} = 2010,62 \text{ mm}^2$)

5.2.11 Perhitungan Korbel Belakang

5.2.11.1 Analisa Pembebanan Korbel



Gambar 5.12 Pembebanan pada Korbel Abutment

1. Berat Sendiri Korbel

$$\begin{aligned} q &= (H_1 + H_2)/2 \quad \times \quad L \quad \times \quad W_c \\ &= 3,17 \quad \quad \quad \times 0,4 \quad \quad \times 25 \\ &= 31,7 \text{ kN/m} \end{aligned}$$

2. Berat Pelat Injak

$$\begin{aligned} q_1 &= H \quad \times \quad L \quad \times \quad W_c \\ &= 0,316 \times 5 \quad \times 25 \\ &= 39,5 \text{ kN/m} \\ q_2 &= H \quad \times \quad L \quad \times \quad W_c \\ &= 0,3 \quad \times \quad 0,48 \times 25 \\ &= 7,2 \text{ kN/m} \end{aligned}$$

$$\begin{aligned} q &= q_1 + q_2 \\ &= 39,5 \text{ kN/m} + 7,2 \text{ kN/m} \\ &= 46,7 \text{ kN/m} \end{aligned}$$

3. Beban Aspal + Overlay

$$\begin{aligned} q &= ta \times L \times Wa \\ &= 0,07 \times 5 \times 22 \\ &= 7,7 \text{ kN/m} \end{aligned}$$

4. Beban Genangan Air

$$\begin{aligned} q &= th \times L \times Ww \\ &= 0,1 \times 5 \times 9,8 \\ &= 4,9 \text{ kN/m} \end{aligned}$$

5. Beban BTR

$$\begin{aligned} q &= q \times L \\ &= 9 \times 5 \\ &= 45 \text{ kN/m} \end{aligned}$$

5.2.11.2 Perhitungan Gaya Dan Momen Korbel

Kombinasi 1 (1,3MS + 2MA + 1,8TD)

Tabel 5.37 Kombinasi 1 ultimit korbel abutment

No	Aksi / Beban	Faktor Beban	Vu	Lengan	Mx
			kN/m	m	kN.m/m'
1	Berat sendiri	1.30	41.21	1.55	63.88
2	Berat Pelat injak	1.30	60.71	1.55	94.10
3	Berat Aspal	2.00	15.40	0.20	3.08
4	Beban Air Hujan	2.00	9.80	0.20	1.96
5	Beban BTR	1.80	81.00	3.42	277.02
Total			208.12		440.04

5.2.11.3 Perhitungan Penulangan Korbel

1. Penulangan Lentur

Mutu Beton	fc	= 25 MPa
Mutu Baja Tulangan	fy	= 390 MPa
Tinggi yang ditinjau	h	= 400 mm
Lebar yang ditinjau	b	= 1000 mm
Selimut Beton	d'	= 30 mm
Tebal Efektif	d	= 370 mm
Faktor Reduksi Lentur	ϕ	= 0,8

$$Mu = 440,04 \text{ kN.m}$$

$$Mn = \frac{Mu}{\phi} = \frac{440,04}{0,8} = 550,045 \text{ kN.m}$$

$$Rn = \frac{Mn}{bd^2} = \frac{550,045 \times 10^6}{1000 \times 136900} = 4,018 \text{ N/mm}^2$$

$$\begin{aligned} \rho b &= \frac{0,85 fc'}{fy} \times \beta_1 \times \frac{600}{600+fy} \\ &= \frac{0,85 \times 25}{390} \times 0,85 \times \frac{600}{600+390} \\ &= 0,028 \end{aligned}$$

$$\rho_{min} = \frac{1,4}{fy} = \frac{1,4}{390} = 0,0036$$

$$\rho_{maks} = 0,75 \times \rho b$$

$$= 0,75 \times 0,028$$

$$= 0,021$$

$$m = \frac{fy}{0,85 fc'} = \frac{390}{0,85 \times 25} = 18,353$$

$$\begin{aligned}
 \rho &= \frac{1}{m} x \left(1 - \sqrt{1 - \frac{2 \times m \times R_n}{f_y}} \right) \\
 &= \frac{1}{18,353} x \left(1 - \sqrt{1 - \frac{2 \times 18,35 \times 4,018}{390}} \right) \\
 &= 0,012
 \end{aligned}$$

Cek,

$$\begin{array}{lll}
 \rho_{\min} < \rho & < \rho_{\max} & \\
 0,004 < 0,012 & < 0,021 & \text{OK} \\
 \text{Maka diambil } \rho_{\min} = 0,012
 \end{array}$$

Luas tulangan yang diperlukan

$$\begin{aligned}
 As &= \rho \times b \times d \\
 &= 0,012 \times 1000 \times 370 \\
 &= 4262,408 \text{ mm}^2
 \end{aligned}$$

Direncanakan tulangan lentur D 25

$$\begin{aligned}
 As &= 0,25 \times \pi \times D^2 \\
 &= 0,25 \times \pi \times 25^2 \\
 &= 490,874 \text{ mm}^2
 \end{aligned}$$

Jarak terjauh antar tulangan untuk, $b = 1000 \text{ mm}$

$$\begin{aligned}
 s &= \frac{As \text{ pasang} \times b}{As \text{ perlu}} \\
 &= \frac{490,874 \times 1000}{4262,408} \\
 &= 100 \text{ mm}
 \end{aligned}$$

Dipasang tulangan D25 – 100 mm ($As = 4908,739 \text{ mm}^2$)

2. Penulangan Bagi

Luas Tulangan Bagi yang Diperlukan

$$\begin{aligned} As' &= 20\% \times As \\ &= 20\% \times 4262,408 \text{ mm}^2 \\ &= 852,482 \text{ mm}^2 \end{aligned}$$

$$\begin{array}{llll} \text{Direncanakan tulangan bagi} & D 13 & & \\ As & = 0,25 \times \pi \times D^2 & & \\ & = 0,25 \times \pi \times 13^2 & & \\ & = 132,732 \text{ mm}^2 & & \end{array}$$

Jarak terjauh antar tulangan untuk, $b = 1000 \text{ mm}$

$$\begin{aligned} s &= \frac{\text{As pasang} \times b}{\text{As perlu}} \\ &= \frac{132,732 \times 1000}{852,482} \\ &= 155,701 \text{ mm} \end{aligned}$$

Dipasang tulangan D13 – 150mm ($As = 884,882 \text{ mm}^2$)

3. Penulangan Geser

$$\begin{array}{llll} fc' & = 25 \text{ MPa} & d' = 30 \text{ mm} & \\ fy & = 390 \text{ MPa} & d = 1250 \text{ mm} & \\ H & = 1200 \text{ mm} & \phi = 0,8 \text{ mm} & \\ b & = 1000 \text{ mm} & Vu = 208120 \text{ N} & \end{array}$$

$$\begin{aligned} Vc &= \frac{1}{6} \times \sqrt{fc'} \times b \times d \\ &= \frac{1}{6} \times \sqrt{25} \times 1000 \times 1170 \\ &= 1068059 \text{ N} \end{aligned}$$

$$V_s \text{ min} = \frac{b \times d}{3}$$

$$= \frac{1000 \times 1200}{3}$$

$$= 400000 \text{ N}$$

Cek kondisi Geser

1. $\frac{V_u}{208120 \text{ N}} < \frac{0.5 \times \phi \times V_c}{427223,59 \text{ N}}$ (OK)
2. $\frac{0.5 \times \phi \times V_c}{427223,59 \text{ N}} < \frac{V_u}{208120 \text{ N}} < \frac{\phi \times V_c}{854447,189 \text{ N}}$ (NOT OK)
3. $\frac{\phi \times V_c}{854447,189 \text{ N}} < \frac{V_u}{2208120 \text{ N}} < \frac{\phi (V_c + V_{smin})}{1174447,19 \text{ N}}$ (NOT OK)
4. $\frac{\phi (V_c + V_{smin})}{1174447,19 \text{ N}} < \frac{V_u}{208120 \text{ N}} < \frac{\phi (V_c + 1/3 \sqrt{f_c} b w d)}{855907,783}$ (NOT OK)
5. $\frac{\phi (V_c + 1/3 \sqrt{f_c} b d)}{855907,783} < \frac{V_u}{208120 \text{ N}} < \frac{\phi (V_c + 2/3 \sqrt{f_c} b w d)}{4272235,949}$ (NOT OK)

Didapat perhitungan di atas kondisi 1 memenuhi syarat maka tidak perlu tulangan geser, tetapi untuk kestabilan struktur pakai tulangan geser praktis.

Direncanakan tulangan geser 4 kaki diameter $\phi 13$

$$\begin{aligned} A_v &= 4 \times 0,25 \times \pi \times D^2 \\ &= 4 \times 0,25 \times \pi \times 13^2 \\ &= 530,929 \text{ mm}^2 \end{aligned} \quad \text{OK}$$

$$\begin{aligned} A_v \text{ min} &= D \times 500/3f_y \\ &= 479,167 \text{ mm}^2 \end{aligned}$$

Jarak antar sengkang

$$\begin{aligned} S &= \frac{Av \times fy \times d}{V_{smin}} \\ &= \frac{530,929 \times 390 \times 1150}{400000} \\ &= 610,569 \text{ mm} \end{aligned}$$

$$S_{min} = d/2 = 575 \text{ mm}$$

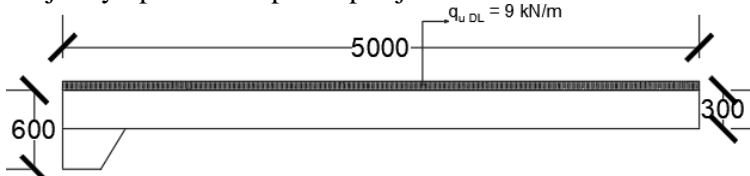
Maka dipasang tulangan geser $\emptyset 13 - 500$ mm

BAB VI

PERHITUNGAN BANGUNAN LENGKAP

6.1 Perhitungan Pelat Injak

Plat injak merupakan konstruksi yang terletak menempel pada abutment dengan ditumpu pada satu sisi oleh korbel belakang abutment. Fungsi pelat adalah mencegah terjadinya penurunan pada oprit jembatan.



Gambar 6.1 Analisa pembebanan pada pelat injak

6.1.1 Analisa Pembebanan Pelat Injak

1. Berat Sendiri Pelat Injak

$$\begin{aligned} q_1 &= H \times L \times W_c \\ &= 0,316 \times 5 \times 25 \\ &= 39,5 \text{ kN/m} \end{aligned}$$

$$\begin{aligned} q_2 &= H \times L \times W_c \\ &= 0,3 \times 0,3 \times 25 \\ &= 7,2 \text{ kN/m} \end{aligned}$$

$$\begin{aligned} q &= q_1 + q_2 \\ &= 39,5 \text{ kN/m} + 7,2 \text{ kN/m} \\ &= 46,7 \text{ kN/m} \end{aligned}$$

2. Berat Aspal + Overlay

$$\begin{aligned} q &= t_a \times L \times W_a \\ &= 0,07 \times 5 \times 22 \\ &= 7,7 \text{ kN/m} \end{aligned}$$

3. Berat Genangan Air Hujan

$$\begin{aligned} q &= th \times L \times Ww \\ &= 0,1 \times 5 \times 9,8 \\ &= 4,9 \text{ kN/m} \end{aligned}$$

4. Beban Btr

$$\begin{aligned} q &= q \times L \\ &= 9 \times 5 \\ &= 45 \text{ kN/m} \end{aligned}$$

6.1.2 Perhitungan Gaya dan Momen Pelat Injak

Kombinasi 1 (1,3MS + 2MA + 1,8TD)

Tabel 6.1 Kombinasi ultimit pelat injak

No	Aksi/Beban	Faktor Beban	Vu	Bentang	Mu
			kN/m	m	kN.m
1	Berat Sendiri	1.30	60.710	5.0	189.719
2	Beban BTR	1.30	58.500	5.0	182.813
3	Beban Aspal	2.00	15.400	5.0	48.125
4	Beban Air Hujan	2.00	9.800	5.0	30.625
Total			144.41		451.281

6.1.3 Perhitungan Penulangan Pelat Injak

1. Penulangan Lentur

$$\begin{aligned} \text{Mutu Beton} &\quad f_c &= 25 \text{ MPa} \\ \text{Mutu Baja Tulangan} &\quad f_y &= 390 \text{ MPa} \\ \text{Tinggi yang ditinjau} &\quad h &= 350 \text{ mm} \\ \text{Lebar yang ditinjau} &\quad b &= 5000 \text{ mm} \\ \text{Selimut Beton} &\quad d' &= 30 \text{ mm} \\ \text{Tebal Efektif} &\quad d &= 320 \text{ mm} \\ \text{Faktor Reduksi Lentur} &\quad \phi &= 0,8 \end{aligned}$$

$$\text{Mu} = 451,28 \text{ kN.m}$$

$$\text{Mn} = \frac{\text{Mu}}{\phi} = \frac{451,28}{0,8} = 564,102 \text{ kN.m}$$

$$R_n = \frac{Mn}{bd^2} = \frac{564,102 \times 10^6}{1000 \times 102400} = 1,101 \text{ N/mm}^2$$

$$\begin{aligned}\rho_b &= \frac{0,85 f_{c'}}{f_y} \times \beta_1 \times \frac{600}{600+f_y} \\ &= \frac{0,85 \times 25}{390} \times 0,85 \times \frac{600}{600+390} \\ &= 0,028\end{aligned}$$

$$\rho_{min} = \frac{1,4}{f_y} = \frac{1,4}{390} = 0,0036$$

$$\begin{aligned}\rho_{max} &= 0,75 \times \rho_b \\ &= 0,75 \times 0,028 \\ &= 0,021\end{aligned}$$

$$m = \frac{f_y}{0,85 f_{c'}} = \frac{390}{0,85 \times 25} = 18,353$$

$$\begin{aligned}\rho &= \frac{1}{m} \times \left(1 - \sqrt{1 - \frac{2 \times m \times R_n}{f_y}} \right) \\ &= \frac{1}{18,353} \times \left(1 - \sqrt{1 - \frac{2 \times 18,35 \times 1,101}{390}} \right) \\ &= 0,003\end{aligned}$$

Cek,

$$\begin{array}{ccccc} \rho_{min} & < & \rho & < & \rho_{max} \\ 0,004 & > & 0,003 & < & 0,021 \end{array} \quad \text{NO OK}$$

Maka diambil $\rho_{min} = 0,004$

Luas tulangan yang diperlukan
 $As = \rho \times b \times d$

$$= 0,004 \times \frac{1000}{\pi} \times 320 \\ = 5743,590 \text{ mm}^2$$

Direncanakan tulangan lentur		D 16	
As	= 0,25	$\times \pi$	$\times D^2$
	= 0,25	$\times \pi$	$\times 16^2$
	$= 201,062 \text{ mm}^2$		

Jarak tulangan yang diperlukan

$$s = \frac{\text{As pasang} \times b}{\text{As perlu}} \\ = \frac{201,062 \times 1000}{5743,590} \\ = 175,031 \text{ mm}$$

Dipasang tulangan D16 – 150mm (As = 6702,064 mm²)

4. Penulangan Bagi

Luas Tulangan Bagi yang Diperlukan

$$\text{As}' = 20\% \times \text{As} \\ = 20\% \times 5743,590 \text{ mm}^2 \\ = 1148,718 \text{ mm}^2$$

Direncanakan tulangan bagi

D 13			
As	= 0,25	$\times \pi$	$\times D^2$
	= 0,25	$\times \pi$	$\times 13^2$
	$= 132,732 \text{ mm}^2$		

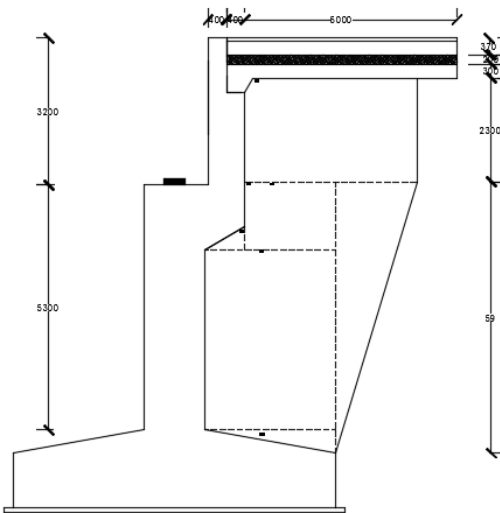
Jarak terjauh antar tulangan untuk, b = 1000 mm

$$s = \frac{\text{As pasang} \times b}{\text{As perlu}} \\ = \frac{132,732 \times 1000}{1148,718} \\ = 145,363 \text{ mm}$$

Dipasang tulangan D13 – 100mm (As = 1327,323 mm²)

6.2 Perhitungan Wing Wall

Wing wall menahan berat sendiri dan tekanan aktif sebagai beban ultimate.



Gambar 6.2 Analisa Pembebanan pada Wing Wall

6.2.1 Analisa Pembebanan Wing Wall

1. Berat Sendiri Wing Wall

Tabel 6.2 Berat Sendiri Wing Wall

Bidang	Volume	Berat	L	Faktor Beban	Mu
	m ³	kN	m		kN.m
1	4.28	106.99	4.10	1.3	570.231
2	4.82	120.58	1.78	1.3	278.502
3	0.35	8.64	0.74	1.3	8.252
4	0.11	2.81	0.17	1.3	0.609
5	2.63	65.81	0.68	1.3	57.750
6	0.17	4.22	0.17	1.3	0.914
	309.05			Total	916.2597

2. Beban Tekanan Tanah Aktif

Data teknis :

$$\text{Berat jenis tanah, } \gamma_t = 17 \text{ kN/m}^3$$

$$\text{Tinggi timbunan, } H = 9,0 \text{ m}$$

$$\text{Lebar wing wall, } B_x = 4 \text{ m}$$

$$\text{Sudut geser tanah, } \phi = 26,11^\circ$$

Beban merata akibat berat timbunan tanah setinggi 0,7 m, merupakan ekivalen berat kendaraan.

$$\begin{aligned} q &= 0,7 \text{ m} \times \gamma_t \\ &= 0,7 \times 17 \text{ kN/m}^3 \\ &= 11,9 \text{ kN/m}^2 \end{aligned}$$

$$\begin{aligned} K_a &= \tan^2(45^\circ - \phi/2) \\ &= \tan^2(45^\circ - 26,11^\circ/2) \\ &= 0,389 \end{aligned}$$

$$\begin{aligned} P_{Ta_1} &= q \times K_a \times H \times B \\ &= 11,9 \text{ kN/m}^2 \times 0,389 \times 9,0 \text{ m} \times 4 \text{ m} \\ &= 166,560 \text{ kN} \end{aligned}$$

$$\begin{aligned} P_{Ta_2} &= \frac{1}{2} \times K_a \times \gamma_t \times H^2 \times B \\ &= \frac{1}{2} \times 0,389 \times 17 \text{ kN/m}^3 \times (9,0 \text{ m})^2 \times 4 \text{ m} \\ &= 1070,745 \text{ kN} \end{aligned}$$

Tabel 5.38 Tekanan dan Momen akibat tekanan tanah aktif wing wall

Bagian	Gaya	L	Faktor Beban	Mu
	kN	m		kN.m
P Ta 1	166.560	4.500	1.25	936.902
P Ta 1	1070.745	3.000	1.25	4015.295
Total				4952.197

6.2.2 Perhitungan Penulangan Wing Wall

1. Penulangan Lentur

Mutu Beton	f_c'	= 25 MPa
Mutu Baja Tulangan	f_y	= 390 MPa
Tinggi yang ditinjau	h	= 400 mm
Lebar yang ditinjau	b	= 9000 mm
Selimut Beton	d'	= 30 mm
Tebal Efektif	d	= 370 mm
Faktor Reduksi Lentur	ϕ	= 0,8

$$M_u = 5868,46 \text{ kN.m}$$

$$M_n = \frac{M_u}{\phi} = \frac{5868,46}{0,8} = 7335,6 \text{ kN.m}$$

$$R_n = \frac{M_n}{bd^2} = \frac{7335,6 \times 10^6}{1000 \times 136900} = 5,954 \text{ N/mm}^2$$

$$\begin{aligned} \rho_b &= \frac{0,85 f_{c'}}{f_y} \times \beta_1 \times \frac{600}{600+f_y} \\ &= \frac{0,85 \times 25}{390} \times 0,85 \times \frac{600}{600+390} \end{aligned}$$

$$= 0,028$$

$$\rho_{min} = \frac{1,4}{f_y} = \frac{1,4}{390} = 0,0036$$

$$\rho_{maks} = 0,75 \times \rho_b$$

$$= 0,75 \times 0,028$$

$$= 0,021$$

$$m = \frac{f_y}{0,85 f_{c'}} = \frac{390}{0,85 \times 25} = 18,353$$

$$\begin{aligned}\rho &= \frac{1}{m} x \left(1 - \sqrt{1 - \frac{2 x m x R_n}{f_y}} \right) \\ &= \frac{1}{18,353} x \left(1 - \sqrt{1 - \frac{2 x 18,35 x 5,954}{390}} \right) \\ &= 0,014\end{aligned}$$

Cek,

$$\begin{array}{ccccc} \rho_{\min} & < & \rho & < & \rho_{\max} \\ 0,004 & > & 0,018 & < & 0,021 \end{array} \quad \text{OK}$$

Maka diambil $\rho = 0,018$

Luas tulangan yang diperlukan

$$\begin{aligned}As &= \rho x b x d \\ &= 0,018 x 1000 x 370 \\ &= 61134,9 \text{ mm}^2\end{aligned}$$

Direncanakan tulangan lentur D 32

$$\begin{aligned}As &= 0,25 x \pi x D^2 \\ &= 0,25 x \pi x 32^2 \\ &= 804,248 \text{ mm}^2\end{aligned}$$

Jarak tulangan yang diperlukan

$$\begin{aligned}s &= \frac{\text{As pasang} x b}{\text{As perlu}} \\ &= \frac{804,248 x 1000}{61134,9} \\ &= 118,398 \text{ mm}\end{aligned}$$

Dipasang tulangan D32 – 100mm ($As = 72381,3 \text{ mm}^2$)

2. Penulangan Bagi

Luas Tulangan Bagi yang Diperlukan

$$\begin{aligned} As' &= 50\% \times As \\ &= 50\% \times 61134,9 \text{ mm}^2 \\ &= 30567,5 \text{ mm}^2 \end{aligned}$$

Direncanakan tulangan bagi D 22

$$\begin{aligned} As &= 0,25 \times \pi \times D^2 \\ &= 0,25 \times \pi \times 22^2 \\ &= 380,133 \text{ mm}^2 \end{aligned}$$

Jarak terjauh antar tulangan untuk, b = 1000 mm

$$\begin{aligned} s &= \frac{As \text{ pasang} \times b}{As \text{ perlu}} \\ &= \frac{380,133 \times 1000}{30567,5} \\ &= 111,92 \text{ mm} \end{aligned}$$

Dipasang tulangan D22 – 100 mm (As = 34211,9 mm²)

“Halaman ini sengaja dikosongkan”

BAB VII

PENUTUP

7.1 Kesimpulan

Dari hasil perhitungan yang telah kami lakukan didapat desain modifikasi struktur Jembatan Plapar dengan bentang 50 m sebagai berikut :

Desain modifikasi struktur bangunan atas jembatan sebagai berikut :

2. Tiang sandaran

Dimensi	: 150 x 200 mm
Tulangan pokok	: 4 D 12
Tulangan geser	: Ø10 – 100 mm

3. Trotoar

Tebal trotoar	: 200 mm
Tulangan pokok	: D 12 – 150 mm
Tulangan geser	: 4 Ø 8

4. Kerb

Tebal kerb	: 200 mm
Tulangan pokok	: D 12 – 150 mm
Tulangan geser	: 4 Ø 8

5. Pelat Lantai

Tebal pelat	: 300 mm
Tulangan pokok	: D 16 – 200 mm
Tulangan geser	: D 13 - 150 mm

6. Gelagar

Profil W	: 2700 x 800 x 40 x 80
----------	------------------------

7. Diafragma

Profil L	: 120 x 120 x 13
----------	------------------

Desain modifikasi struktur bangunan bawah jembatan sebagai berikut :

1. Abutment

Dimensi breast wall	: 1300 mm x 3930 m
Tulangan pokok	: D 32 – 90 mm
Tulangan bagi	: D 16 – 100 mm

	Tulangan geser	: Ø 12 – 500 mm
2.	Pilecap abutment	
	Dimensi	: 1200 x 2650 mm
	Tulangan pokok	: D 32 – 100 mm
	Tulangan bagi	: D 13 – 150 mm
	Tulangan geser	: Ø 13 – 500 mm
3.	Tiang pancang	
	Jenis	: Bored pile
	Diameter	: 800 mm
	Tulangan pokok	: 30 D 29
	Tulangan geser	: D 16 - 150 mm

Desain modifikasi struktur bangunan pelengkap jembatan sebagai berikut :

1. Pelat injak
 2. Wingwall
- | | |
|----------------|-----------------|
| Tulangan pokok | : D 32 – 100 mm |
| Tulangan bagi | : D 22 – 100 mm |
- Dengan gambar dan detail terlampir.

DAFTAR PUSTAKA

- x **Standar Nasional Indonesia (SNI) 1725-2016.** Standar Pembebaran Untuk Jembatan. Departemen Pekerjaan Umum.
- x **Standar Nasional Indonesia (SNI) T-02-2005.** Standar Pembebaran Untuk Jembatan. Departemen Pekerjaan Umum.
- x **Standar Nasional Indonesia (SNI) T-03-2005.** Perencanaan Struktur Baja Untuk Jembatan. Departemen Pekerjaan Umum.
- x **Standar Nasional Indonesia (SNI) T-12-2004.** Perencanaan Struktur Beton Untuk Jembatan. Departemen Pekerjaan Umum.
- x **Standar Nasional Indonesia (SNI) 2833:201X.** Perancangan Jembatan terhadap beban gempa. Departemen Pekerjaan Umum.
- x Nasution, Thamrin. 2011. Struktur Baja 1 Modul 6. Malang: Departement Teknik Sipil ITM.
- x Taulu, L (Penterjemah). dkk. 2000. *Mekanika Tanah & Teknik Pondasi*. Jakarta: PT Pradya Paramita.

“Halaman ini sengaja dikosongkan”

LAMPIRAN

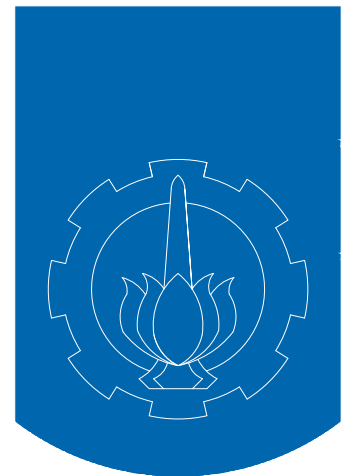
DIMENSIONS

The figures provided in this table relate to Type B and Type C bearings in accordance with EN 1337-3. The different values shown below may be changed as a function of the actual stresses on the bearing involved.

Plan dimensions of bearing	Compensation load under zero displacement	Layer thickness	Number of layers	Number of interleaving plates (TYPE B)	Interleaving plates thickness	TYPE B						TYPE C						Allowable rotation
						Total sleeve thickness	Total thickness of bearing	Allowable displacement	Thickness of thicker steel plates	Total sleeve thickness	Total thickness of bearing	Allowable displacement						
						mm	mm	mm	mm	mm	mm	mm	mm	mm	mm	mm	mm	
width, D	F	t	n	m	b	fr	T	w	T _b	T _c	w	W	T	w	n	in rad		
mm	in	mm			mm	mm	mm	mm	mm	mm	mm	mm	mm	mm	mm	mm	mm	
100x150	120	8	2	3	3	20	30	20	15	36	48	36	48	21	21	21	21	
100x200	170	8	3	3	3	20	30	20	15	36	48	36	48	21	21	21	21	
120x200	198	8	2	3	3	20	30	20	15	36	48	36	48	30	30	30	30	
120x250	218	8	3	3	3	20	30	20	15	36	48	36	48	21	21	21	20	
130x200	215	8	3	3	3	20	30	20	15	36	48	36	48	21	21	21	20	
200x250	300	8	3	3	3	20	30	20	15	36	48	36	48	21	21	21	8	
200x300	310	8	4	3	3	20	30	20	15	36	48	36	48	20	20	20	8	
200x350	320	8	4	3	3	20	30	20	15	36	48	36	48	20	20	20	8	
200x400	330	8	4	3	3	20	30	20	15	36	48	36	48	20	20	20	8	
200x450	340	8	4	3	3	20	30	20	15	36	48	36	48	20	20	20	8	
200x500	350	8	4	3	3	20	30	20	15	36	48	36	48	20	20	20	8	
200x550	360	8	4	3	3	20	30	20	15	36	48	36	48	20	20	20	8	
200x600	370	8	4	3	3	20	30	20	15	36	48	36	48	20	20	20	8	
200x650	380	8	4	3	3	20	30	20	15	36	48	36	48	20	20	20	8	
200x700	390	8	4	3	3	20	30	20	15	36	48	36	48	20	20	20	8	
200x750	400	8	4	3	3	20	30	20	15	36	48	36	48	20	20	20	8	
200x800	410	8	4	3	3	20	30	20	15	36	48	36	48	20	20	20	8	
200x850	420	8	4	3	3	20	30	20	15	36	48	36	48	20	20	20	8	
200x900	430	8	4	3	3	20	30	20	15	36	48	36	48	20	20	20	8	
200x950	440	8	4	3	3	20	30	20	15	36	48	36	48	20	20	20	8	
200x1000	450	8	4	3	3	20	30	20	15	36	48	36	48	20	20	20	8	
200x1050	460	8	4	3	3	20	30	20	15	36	48	36	48	20	20	20	8	
200x1100	470	8	4	3	3	20	30	20	15	36	48	36	48	20	20	20	8	
200x1150	480	8	4	3	3	20	30	20	15	36	48	36	48	20	20	20	8	
200x1200	490	8	4	3	3	20	30	20	15	36	48	36	48	20	20	20	8	
200x1250	500	8	4	3	3	20	30	20	15	36	48	36	48	20	20	20	8	
200x1300	510	8	4	3	3	20	30	20	15	36	48	36	48	20	20	20	8	
200x1350	520	8	4	3	3	20	30	20	15	36	48	36	48	20	20	20	8	
200x1400	530	8	4	3	3	20	30	20	15	36	48	36	48	20	20	20	8	
200x1450	540	8	4	3	3	20	30	20	15	36	48	36	48	20	20	20	8	
200x1500	550	8	4	3	3	20	30	20	15	36	48	36	48	20	20	20	8	
200x1550	560	8	4	3	3	20	30	20	15	36	48	36	48	20	20	20	8	
200x1600	570	8	4	3	3	20	30	20	15	36	48	36	48	20	20	20	8	
200x1650	580	8	4	3	3	20	30	20	15	36	48	36	48	20	20	20	8	
200x1700	590	8	4	3	3	20	30	20	15	36	48	36	48	20	20	20	8	
200x1750	600	8	4	3	3	20	30	20	15	36	48	36	48	20	20	20	8	
200x1800	610	8	4	3	3	20	30	20	15	36	48	36	48	20	20	20	8	
200x1850	620	8	4	3	3	20	30	20	15	36	48	36	48	20	20	20	8	
200x1900	630	8	4	3	3	20	30	20	15	36	48	36	48	20	20	20	8	
200x1950	640	8	4	3	3	20	30	20	15	36	48	36	48	20	20	20	8	
200x2000	650	8	4	3	3	20	30	20	15	36	48	36	48	20	20	20	8	
200x2050	660	8	4	3	3	20	30	20	15	36	48	36	48	20	20	20	8	
200x2100	670	8	4	3	3	20	30	20	15	36	48	36	48	20	20	20	8	
200x2150	680	8	4	3	3	20	30	20	15	36	48	36	48	20	20	20	8	
200x2200	690	8	4	3	3	20	30	20	15	36	48	36	48	20	20	20	8	
200x2250	700	8	4	3	3	20	30	20	15	36	48	36	48	20	20	20	8	
200x2300	710	8	4	3	3	20	30	20	15	36	48	36	48	20	20	20	8	
200x2350	720	8	4	3	3	20	30	20	15	36	48	36	48	20	20	20	8	
200x2400	730	8	4	3	3	20	30	20	15	36	48	36	48	20	20	20	8	
200x2450	740	8	4	3	3	20	30	20	15	36	48	36	48	20	20	20	8	
200x2500	750	8	4	3	3	20	30	20	15	36	48	36	48	20	20	20	8	
200x2550	760	8	4	3	3	20	30	20	15	36	48	36	48	20	20	20	8	
200x2600	770	8	4	3	3	20	30	20	15	36	48	36	48	20	20	20	8	
200x2650	780	8	4	3	3	20	30	20	15	36	48	36	48	20	20	20	8	
200x2700	790	8	4	3	3	20	30	20	15	36	48	36	48	20	20	20	8	
200x2750	800	8	4	3	3	20	30	20	15	36	48	36	48	20	20	20	8	
200x2800	810	8	4	3	3	20	30	20	15	36	48	36	48	20	20	20	8	
200x2850	820	8	4	3	3	20	30	20	15	36	48	36	48	20	20	20	8	
200x2900	830	8	4	3	3	20	30	20	15	36	48	36	48	20	20	20	8	
200x2950	840	8	4	3	3	20	30	20	15	36	48	36	48	20	20	20	8	
200x3000	850	8	4	3	3	20	30	20	15	36	48	36	48	20	20	20	8	
200x3050	860	8	4	3	3	20	30	20	15	36	48	36	48	20	20	20	8	
200x3100	870	8	4	3	3	20	30	20	15	36	48	36	48	20	20	20	8	
200x3150	880	8	4	3	3	20	30	20	15	36	48	36	48	20	20	20	8	
200x3200	890	8	4	3	3	20	30	20	15	36	48	36	48	20	20	20	8	
200x3250	900	8	4	3	3	20	30	20	15	36	48	36	48	20	20	20	8	
200x3300	910	8	4	3	3	20	30	20	15	36	48	36	48	20	20	20	8	
200x3350	920	8	4	3	3	20	30	20	15	36	48	36	48	20	20	20	8	
200x3400	930	8	4	3	3	20	30	20	15	36	48	36	48	20	20	20	8	
200x3450	940	8	4	3	3	20	30	20	15	36	48	36	48	20	20	20	8	
200x3500	950	8	4	3	3	20	30	20	15	36	48	36	48	20	20	20	8	
200x3550	960	8	4	3	3	20	30	20	15	36	48	36	48	20	20	20	8	
200x3600	970	8	4	3	3	20	30	20	15	36	48	36	48	20	20	20	8	
200x3650	980	8	4	3	3	20	30	20	15	36	48	36	48	20	20	20	8	
200x3700	990	8	4	3	3	20	30	20	15	36	48	36	48	20	20	20	8	
200x3750	1000	8	4	3	3	20	30	20	15	36	48	36	48	20	20	20	8	
200x3800	1010	8	4	3	3	20	30	20	15	36	48	36	48	20	20	20	8	
200x3850	1020	8	4	3	3	20	30	20	15	36	48	36	48	20	20	20	8	
200x3900	1030	8	4	3	3	20	30	20	15	36	48	36	48	20	20	20	8	
200x3950	1040	8	4	3	3	20	30	20	15	36	48	36	48	20	20	20	8	
200x4000	1050	8	4	3	3	20	30	20	15	36	48	36	48	20	20	20	8	
200x4050	1060	8	4	3	3	20	30	20	15	36	48	36	48	20	20	20	8	
200x4100	1070	8	4	3	3	20	30	20	15	36	48	36	48	20	20	20	8	
200x4150	1080	8	4	3														

STANDARD SIZE AND WEIGHT
ASTM A 252 / JIS A 5525 - STEEL PIPE PILE

OUTSIDE DIAMETER		THICKNESS	WEIGHT	CROSS SECTIONAL WALL AREA <i>A</i> (cm ²)	MODULUS OF INERTIA <i>I</i> (cm ⁴)	MODULUS OF SECTION <i>Z</i> (cm ³)	RADIUS OF GYRATION <i>r</i> (cm)
Inch	mm	mm	Kg/m				
	318,5	6,0	46,24	58,9	715 x 10 ⁶	452	3,1
		9,0	68,69	87,5	105 x 10 ⁶	669	10,9
32 5/8	323,9	7,1	55,47	70,6	887 x 10 ⁶	54,8 x 10	11,2
		9,0	69,89	89,0	130 x 10 ⁶	88,2 x 10	11,1
34	355,6	6,0	51,73	69,1	105 x 10 ⁶	593	12,4
		9,0	76,92	98,0	147 x 10 ⁶	828	12,3
40	400	9,0	86,70	110,6	211 x 10 ⁶	105,7 x 10	13,8
		12,0	114,82	146,3	276 x 10 ⁶	137,8 x 10	13,7
16	406,4	9,0	88,20	112,4	222 x 10 ⁶	109,2 x 10	14,1
		12,0	116,71	148,7	289 x 10 ⁶	142,4 x 10	14,0
20	508,0	9,0	110,75	141,1	439 x 10 ⁶	173 x 10	17,6
		12,0	146,78	187,0	575 x 10 ⁶	227 x 10	17,5
		14,0	170,35	217,3	860 x 10 ⁶	361 x 10	17,5
24	603,5	9,0	133,30	169,5	760 x 10 ⁶	251 x 10	21,2
		12,0	176,84	225,3	101 x 10 ⁶	330 x 10	21,1
		14,0	205,62	262,0	156 x 10 ⁶	381 x 10	21,1
		16,0	234,21	298,4	212 x 10 ⁶	431 x 10	21,0
28	711,2	9,0	150,85	198,5	122 x 10 ⁶	344 x 10	24,8
		12,0	206,91	263,6	161 x 10 ⁶	453 x 10	24,7
		14,0	240,70	306,6	186 x 10 ⁶	504 x 10	24,7
		16,0	274,50	349,4	211 x 10 ⁶	594 x 10	24,6
32	812,8	9,0	178,40	227,1	184 x 10 ⁶	452 x 10	28,4
		12,0	236,97	301,9	242 x 10 ⁶	596 x 10	28,3
		14,0	275,78	351,1	280 x 10 ⁶	680 x 10	28,2
		16,0	314,39	400,5	318 x 10 ⁶	762 x 10	28,2
36	914,4	12,0	267,64	340,7	346 x 10 ⁶	758 x 10	31,9
		14,0	310,87	396,0	401 x 10 ⁶	870 x 10	31,8
		16,0	354,47	451,6	456 x 10 ⁶	997 x 10	31,8
		19,0	419,33	534,3	536 x 10 ⁶	117 x 10 ⁷	31,7
40	1018,0	12,0	297,30	378,5	477 x 10 ⁶	959 x 10	35,5
		14,0	345,93	440,7	553 x 10 ⁶	109 x 10 ⁷	35,4
		16,0	394,56	503,7	628 x 10 ⁶	124 x 10 ⁷	35,4
		19,0	467,15	595,1	740 x 10 ⁶	146 x 10 ⁷	35,3
44	1117,6	12,0	327,17	416,8	637 x 10 ⁶	114 x 10 ⁷	39,1
		14,0	381,01	485,4	739 x 10 ⁶	132 x 10 ⁷	39,0
		16,0	434,65	553,7	840 x 10 ⁶	150 x 10 ⁷	39,0
		19,0	514,74	655,8	990 x 10 ⁶	177 x 10 ⁷	38,8
	1200	14,0	409,45	521,6	917 x 10 ⁶	153 x 10 ⁷	41,9
		16,0	467,16	595,1	104 x 10 ⁷	174 x 10 ⁷	41,9
		19,0	553,35	704,9	123 x 10 ⁷	205 x 10 ⁷	41,8
		22,0	639,09	814,2	141 x 10 ⁷	235 x 10 ⁷	41,7
48	1239,2	14,0	416,08	530,1	963 x 10 ⁶	158 x 10 ⁷	42,6
		16,0	474,73	604,8	109 x 10 ⁷	180 x 10 ⁷	42,5
		19,0	562,34	716,4	129 x 10 ⁷	212 x 10 ⁷	42,4
		22,0	649,30	827,4	148 x 10 ⁷	243 x 10 ⁷	42,3
	1300	14,0	443,98	565,6	117 x 10 ⁷	180 x 10 ⁷	45,5
		16,0	506,62	645,4	133 x 10 ⁷	205 x 10 ⁷	45,4
		19,0	600,20	704,6	157 x 10 ⁷	241 x 10 ⁷	45,3
		22,0	692,34	922,2	180 x 10 ⁷	270 x 10 ⁷	45,2



LAMPIRAN GAMBAR TUGAS AKHIR TERAPAN - RC 145501

**MODIFIKASI DESAIN STRUKTUR JEMBATAN PLAPAR
KAB. PONOROGO**

ERWIN HAIDY PRASOJO
NRP. 10111500000064

DITA ROSALINA ANGGRAENI HIMAWAN
NRP. 10111500000092

DOSEN PEMBIMBING
Ir. SUNGKONO, CES
NIP.19591130 198601 1 001

PROGRAM STUDI DIPLOMA III
DEPARTEMEN TEKNIK INFRASTRUKTUR SIPIL
FAKULTAS VOKASI
INSTITUT TEKNOLOGI SEPULUH NOPEMBER
SURABAYA 2018

DAFTAR GAMBAR

NO	NAMA GAMBAR	KODE
1.	SITE PLAN	ARS 1
2.	TAMPAK ATAS JEMBATAN	ARS 2
3.	POTONGAN MEMANJANG JEMBATAN	ARS 2
4.	POTONGAN MELINTANG JEMBATAN	ARS 3
5.	DENAH BALOK GIRDER	STR 1
6.	POTONGAN A-A	STR 1
7.	DENAH ABUTMENT	STR 2
8.	POTONGAN 1-1(A1&2)	STR 2
9.	POTONGAN 2-2(A1&A2)	STR 2
10.	DENAH TIANG PANCANG	STR 3
11.	DETAIL TULANGAN PONDASI TIANG PANCANG	STR 3
12.	POTONGAN 3-3	STR 3
13.	DETAIL PENULANGAN PLAT LANTAI	STR 4
14.	POTONGAN 4-4	STR 4
15.	DETAIL SAMBUNGAN ANTAR GELAGAR	STR 5
16.	KEYPLAN	STR 6
17.	DETAIL SAMBUNGAN DIAFRAGMA	STR 6
18.	DETAIL PENULANGAN ABUTMENT	STR 7
19.	DETAIL PENULANGAN WINGWALL	STR 7
20.	DETAIL PENULANGAN PLAT INJAK	STR 8
21.	TAMPAK ATAS ELASTOMER	STR 8
22.	POTONGAN 4-4	STR 8
23.	TAMPAK ATAS STIFFENER	STR 9
24.	DENAH STIFFENER	STR 9
25.	DETAIL 1	STR 9
26.	DETAIL 2	STR 9



INSTITUT TEKNOLOGI
SEPULUH NOPEMBER
FAK.VOKASI
DEPARTEMEN TEKNIK
INFRASTRUKTUR SIPIL

TUGAS AKHIR

MODIFIKASI DESAIN STRUKTUR
JEMBATAN PLAPAR MENGGUNAKAN
GELAGAR BAJA KOMPOSIT DI KAB.
PONOROGO

DOSEN PEBIMBING

Ir. Sungkono, CES

MAHASISWA

ERWIN HAIDY P. (10111500000064)
DITA ROSALINA A.H (10111500000066)

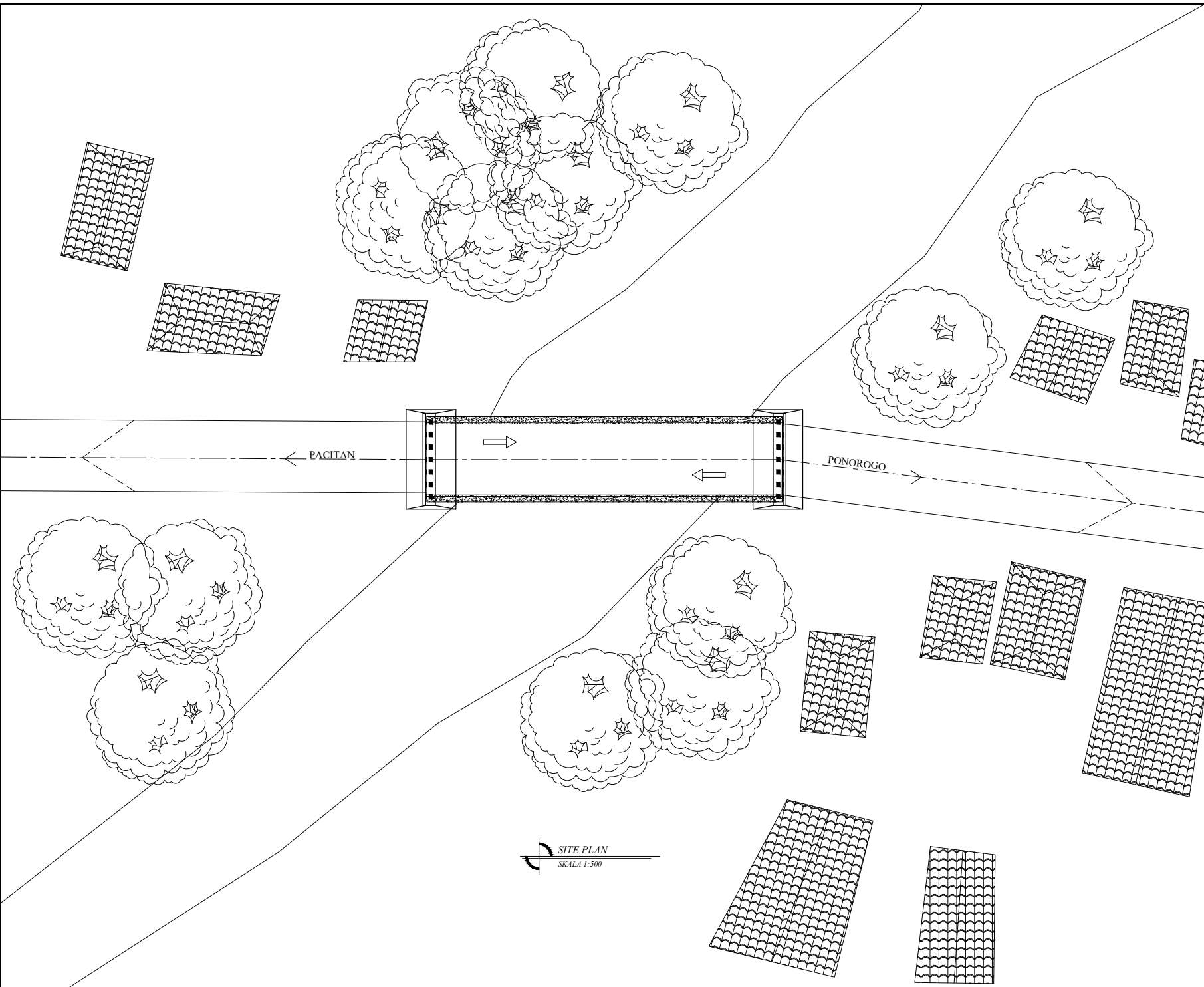
JUDUL GAMBAR SKALA

I. SITE PLAN 1:500

REVISI TANGGAL

KODE GAMBAR NO. GAMBAR

ARS 1





INSTITUT TEKNOLOGI
SEPULUH NOPEMBER
FAK. VOKASI
DEPARTEMEN TEKNIK
INFRASTRUKTUR SIPIL

TUGAS AKHIR

MODIFIKASI DESAIN STRUKTUR
JEMBATAN PLAPAR MENGGUNAKAN
GELAGAR BAJA KOMPOSIT DI KAB.
PONOROGO

DOSEN PEBIMBING

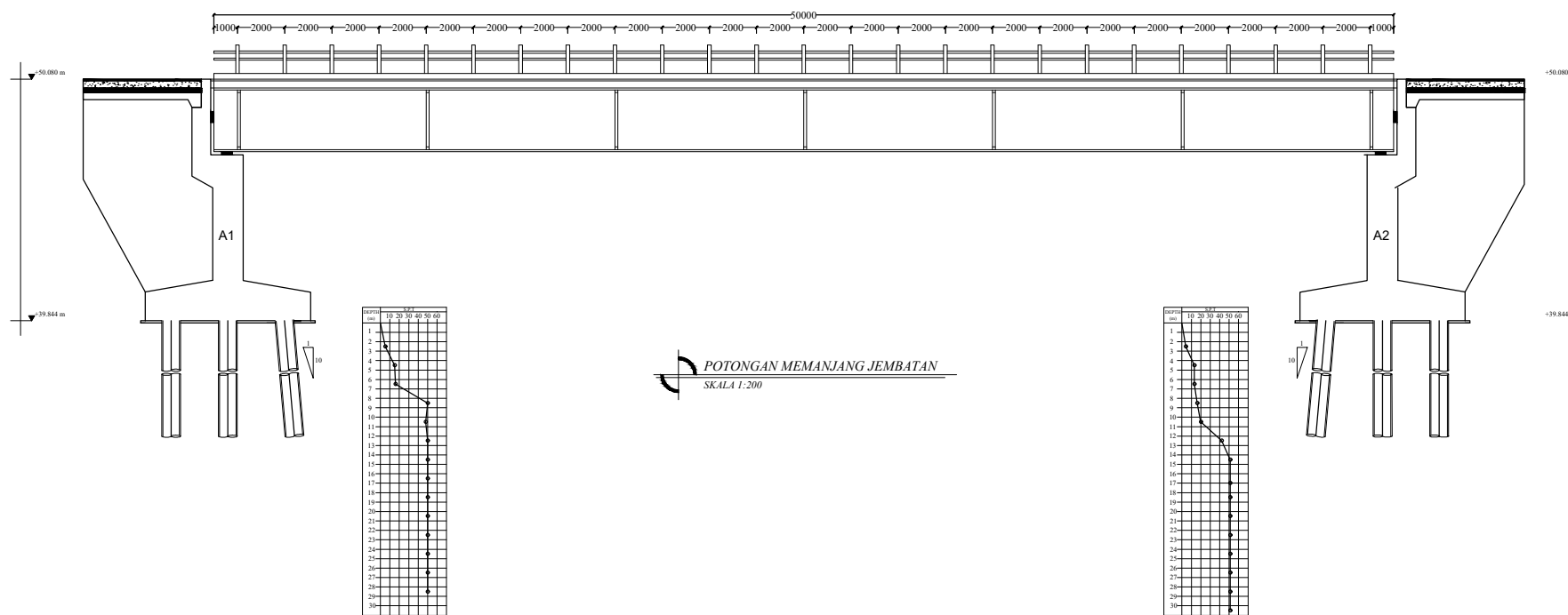
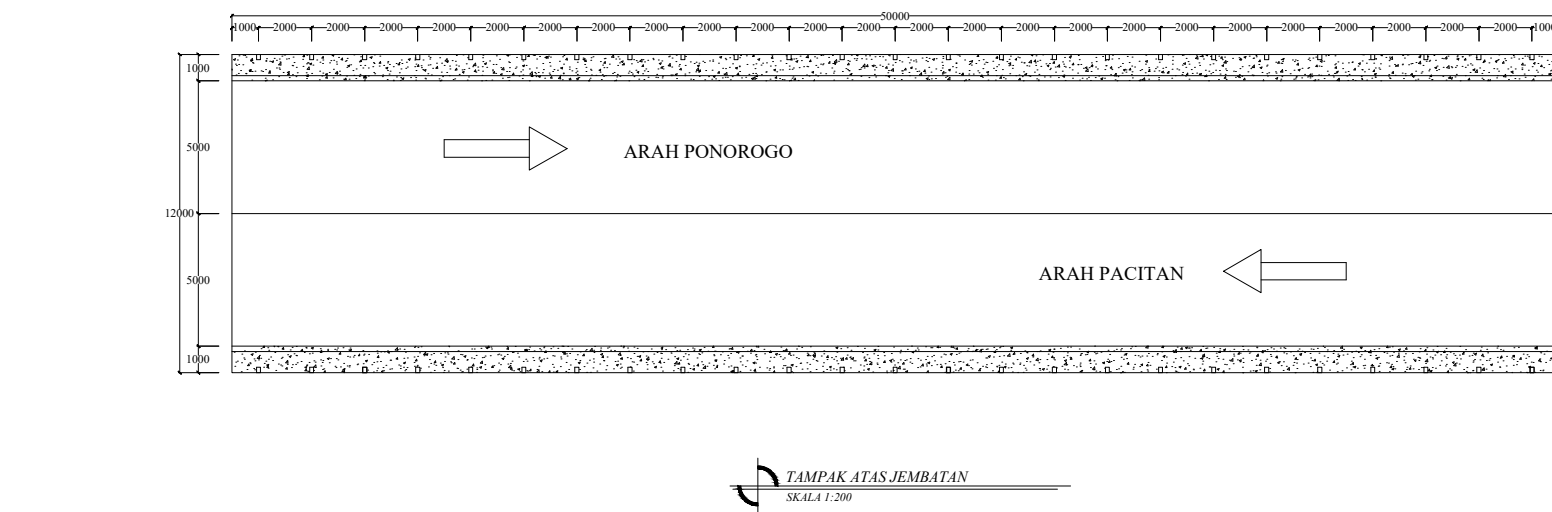
Ir. Sungkono, CES

MAHASISWA

ERWIN HAIDY P. (10111500000064)
DITA ROSALINA A.H (10111500000066)

JUDUL GAMBAR SKALA

1. TAMPAK ATAS JEMBATAN
2. POTONGAN MEMANJANG JEMBATAN 1:200
1:200



KODE GAMBAR NO. GAMBAR

ARS 2



INSTITUT TEKNOLOGI
SEPULUH NOPEMBER

FAK. VOKASI
DEPARTEMEN TEKNIK
INFRASTRUKTUR SIPIL

TUGAS AKHIR

MODIFIKASI DESAIN STRUKTUR
JEMBATAN PLAPAR MENGGUNAKAN
GELAGAR BAJA KOMPOSIT DI KAB.
PONOROGO

DOSEN PEBIMBING

Ir. Sungkono, CES

MAHASISWA

ERWIN HAIDY P. (10111500000064)

DITA ROSALINA A.H (10111500000066)

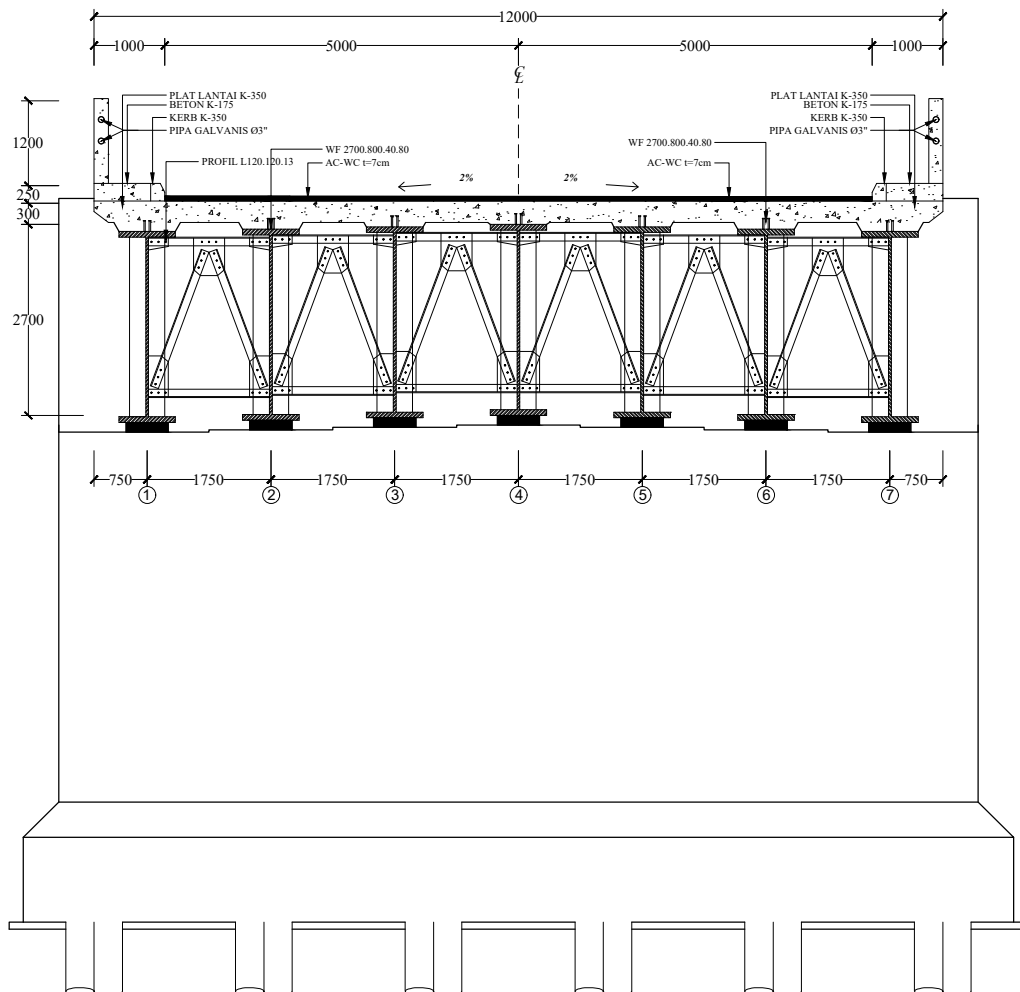
JUDUL GAMBAR SKALA

I. POTONGAN MELINTANG JEMBATAN 1:75

REVISI TANGGAL

KODE GAMBAR NO. GAMBAR

ARS 3





**INSTITUT TEKNOLOGI
SEPULUH NOPEMBER**

FAK.VOKASI
DEPARTEMEN TEKNIK
INFRASTRUKTUR SIPIL

TUGAS AKHIR

MODIFIKASI DESAIN STRUKTUR
JEMBATAN PLAPAR MENGGUNAKAN
GELAGAR BAJA KOMPOSIT DI KAB.
PONOROGO

DOSEN PEBIMBING

Ir. Sungkono, CES

MAHASISWA

ERWIN HAIDY P. (10111500000064)

DITA ROSALINA A.H (10111500000066)

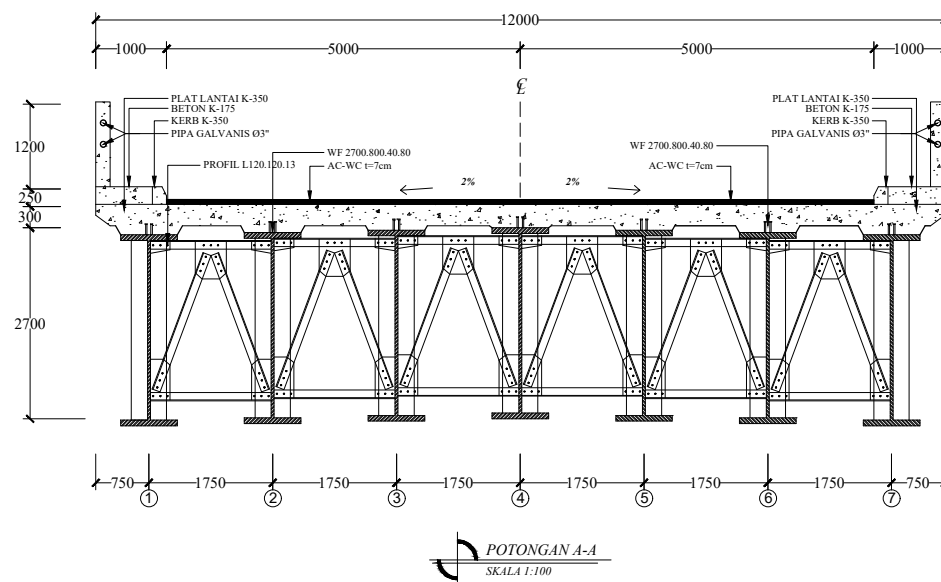
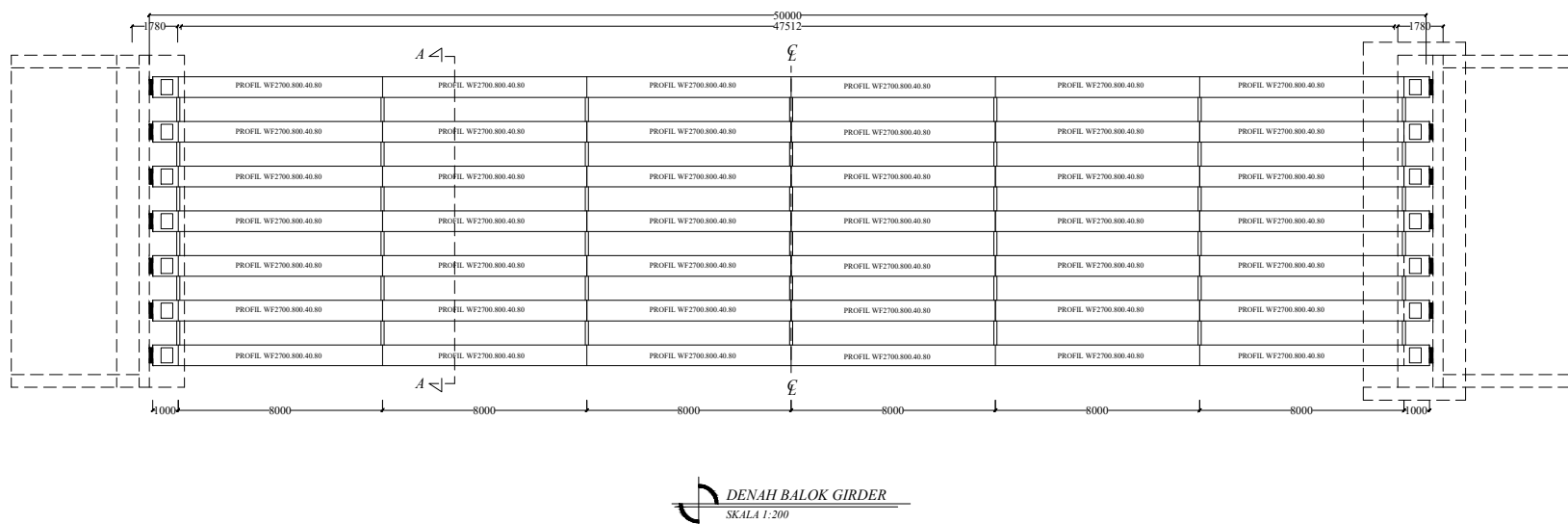
JUDUL GAMBAR **SKALA**

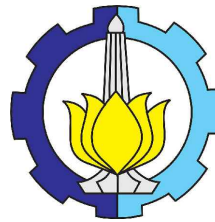
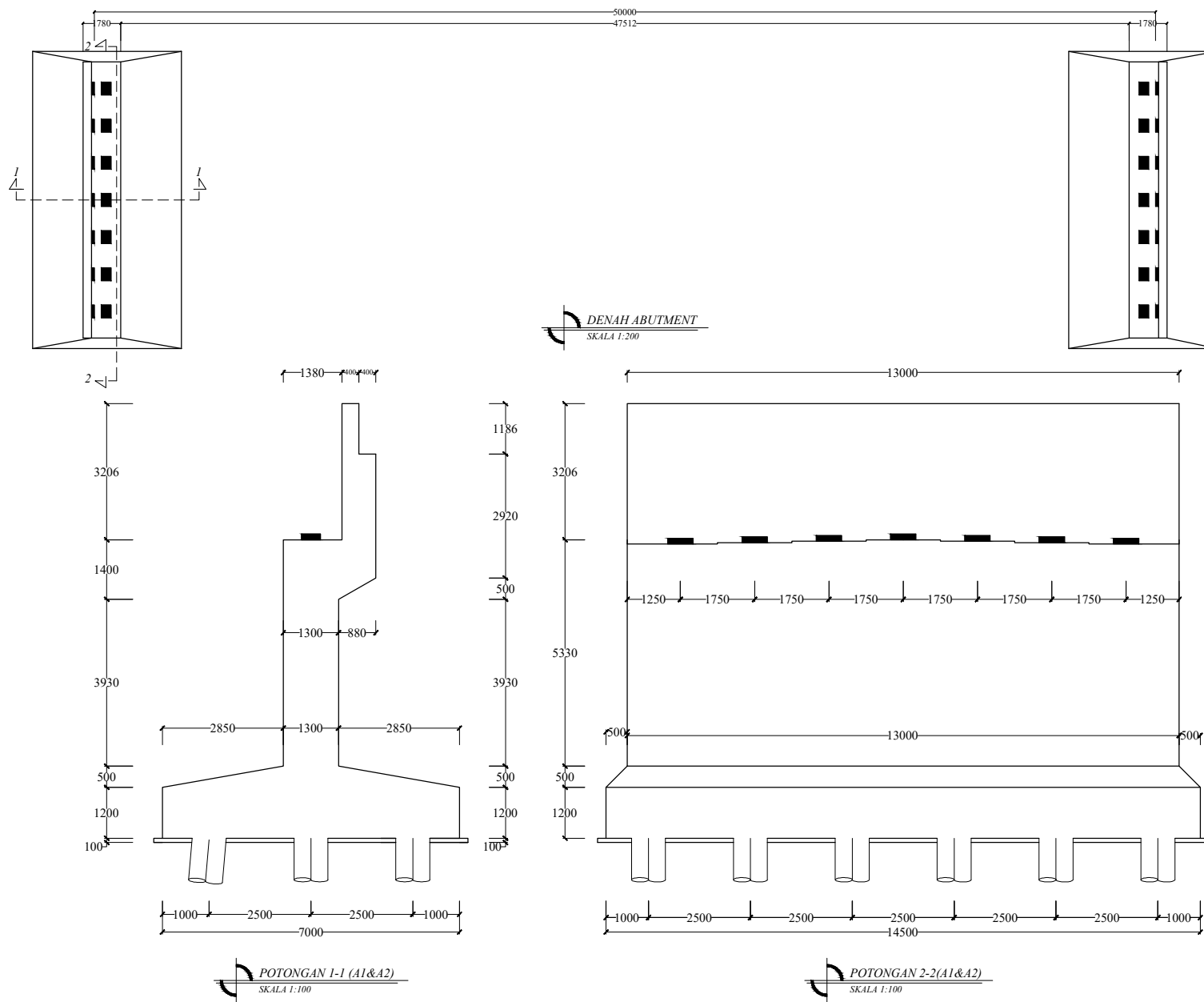
- | | |
|-----------------------|-------|
| 1. DENAH BALOK GIRDER | 1:200 |
| 2. POTONGAN A-A | 1:75 |

REVISI **TANGGAL**

KODE GAMBAR NO. GAMBAR

STR **1**





INSTITUT TEKNOLOGI
SEPULUH NOPEMBER

FAK.VOKASI
DEPARTEMEN TEKNIK
INFRASTRUKTUR SIPIL

TUGAS AKHIR

MODIFIKASI DESAIN STRUKTUR
JEMBATAN PLAPAR MENGGUNAKAN
GELAGAR BAJA KOMPOSIT DI KAB.
PONOROGO

DOSEN PEBIMBING

Ir. Sungkono, CES

MAHASISWA

ERWIN HAIDY P. (10111500000064)

DITA ROSALINA A.H (10111500000066)

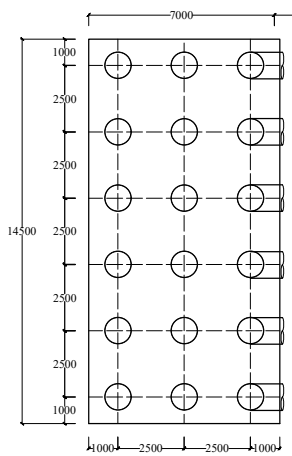
JUDUL GAMBAR SKALA

1. DENAH ABUTMENT	1:200
2. POTONGAN 1-1(A1&A2)	1:100
3. POTONGAN 2-2(A1&A2)	1:100

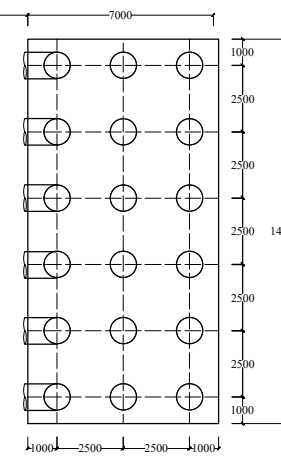
REVISI	TANGGAL
--------	---------

KODE GAMBAR	NO. GAMBAR
-------------	------------

STR	2
-----	---



DENAH TIANG PANCANG



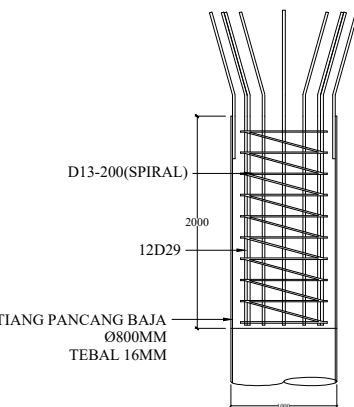
D13-200 (SPIRAL)

12D29

TEBAL PLAT BAJA 16MM

1000

DETAIL TULANGAN PONDASI TIANG PANCANG
SKALA 1:20



POTONGAN 3-3
SKALA 1:40



INSTITUT TEKNOLOGI
SEPULUH NOPEMBER

FAK.VOKASI
DEPARTEMEN TEKNIK
INFRASTRUKTUR SIPIL

TUGAS AKHIR

MODIFIKASI DESAIN STRUKTUR JEMBATAN PLAPAR MENGGUNAKAN GELAGAR BAJA KOMPOSIT DI KAB. PONOROGO

DOSEN PEBIMBING

Ir. Sungkono, CES

MAHASISWA

ERWIN HAIDY P. (101115000000064)

DITA ROSALINA A.H (10111500000066)

JUDUL GAMBAR	SKALA
1. DENAH TIANG PANCANG	1:200
2. DETAIL TULINGAN PONDASI TIANG PANCANG	1:20
3. POTONGAN 3-3	1:40

<i>REVISI</i>	<i>TANGGAL</i>
---------------	----------------

KODE G4MB4R *NO. G4MB4R*

STR | 3



INSTITUT TEKNOLOGI
SEPULUH NOPEMBER

FAK. VOKASI
DEPARTEMEN TEKNIK
INFRASTRUKTUR SIPIL

TUGAS AKHIR

MODIFIKASI DESAIN STRUKTUR
JEMBATAN PLAPAR MENGGUNAKAN
GELAGAR BAJA KOMPOSIT DI KAB.
PONOROGO

DOSEN PEBIMBING

Ir. Sungkono, CES

MAHASISWA

ERWIN HAIDY P. (10111500000064)

DITA ROSALINA A.H (10111500000066)

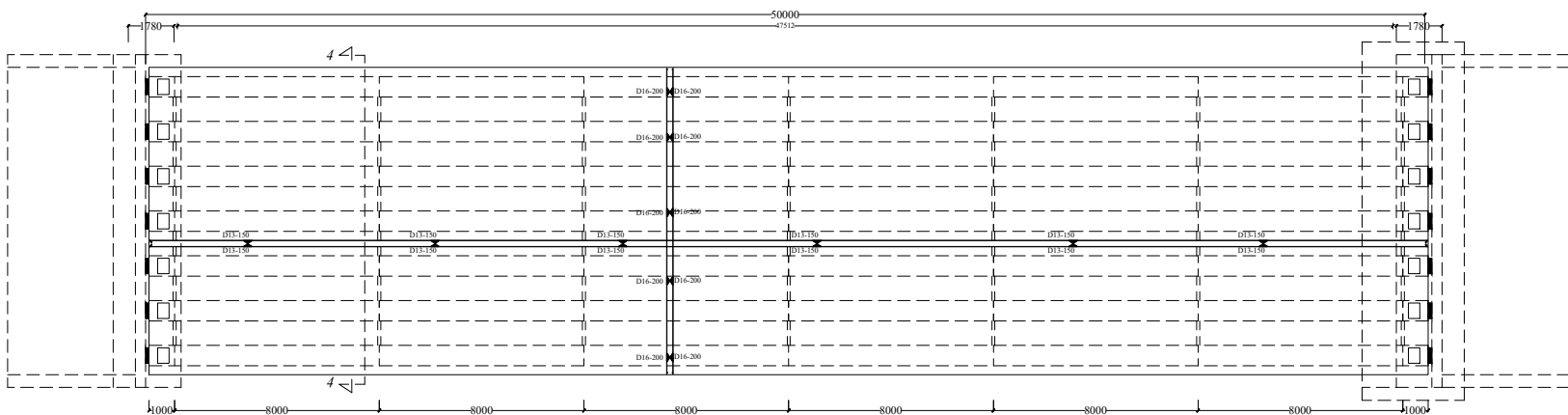
JUDUL GAMBAR SKALA

1. DETAIL TULANGAN PLAT LANTAI 1:200
2. POTONGAN 4-4 1:40

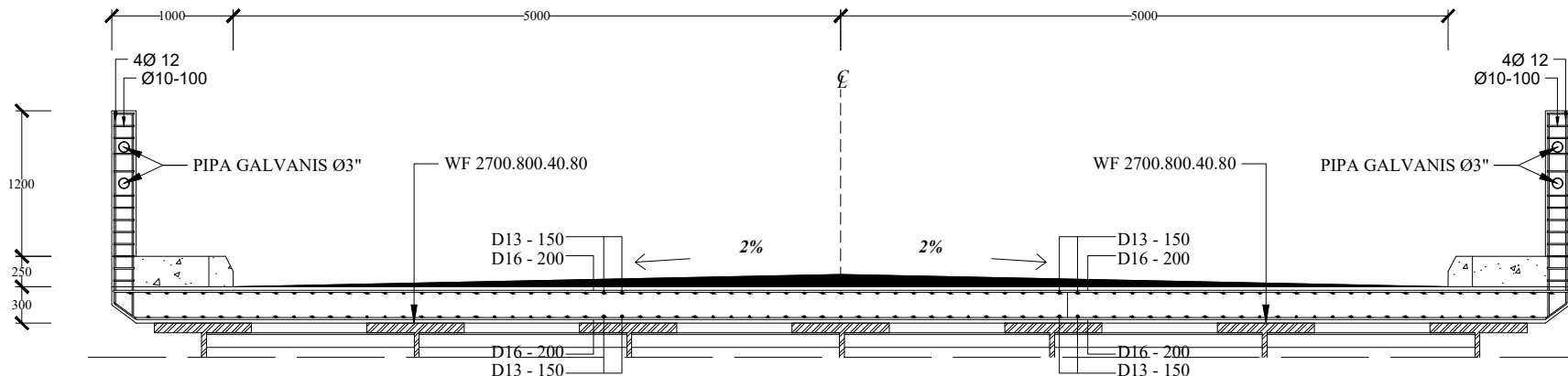
REVISI TANGGAL

KODE GAMBAR NO. GAMBAR

STR 4



DETAIL TULANGAN PLAT LANTAI
SKALA 1:200



POTONGAN 4-4
SKALA 1:40



INSTITUT TEKNOLOGI
SEPULUH NOPEMBER
FAK.VOKASI
DEPARTEMEN TEKNIK
INFRASTRUKTUR SIPIL

TUGAS AKHIR

MODIFIKASI DESAIN STRUKTUR
JEMBATAN PLAPAR MENGGUNAKAN
GELAGAR BAJA KOMPOSIT DI KAB.
PONOROGO

DOSEN PEBIMBING

Ir. Sungkono, CES

MAHASISWA

ERWIN HAIDY P. (10111500000064)
DITA ROSALINA A.H (10111500000066)

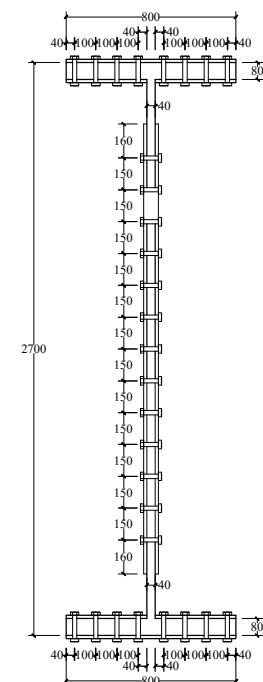
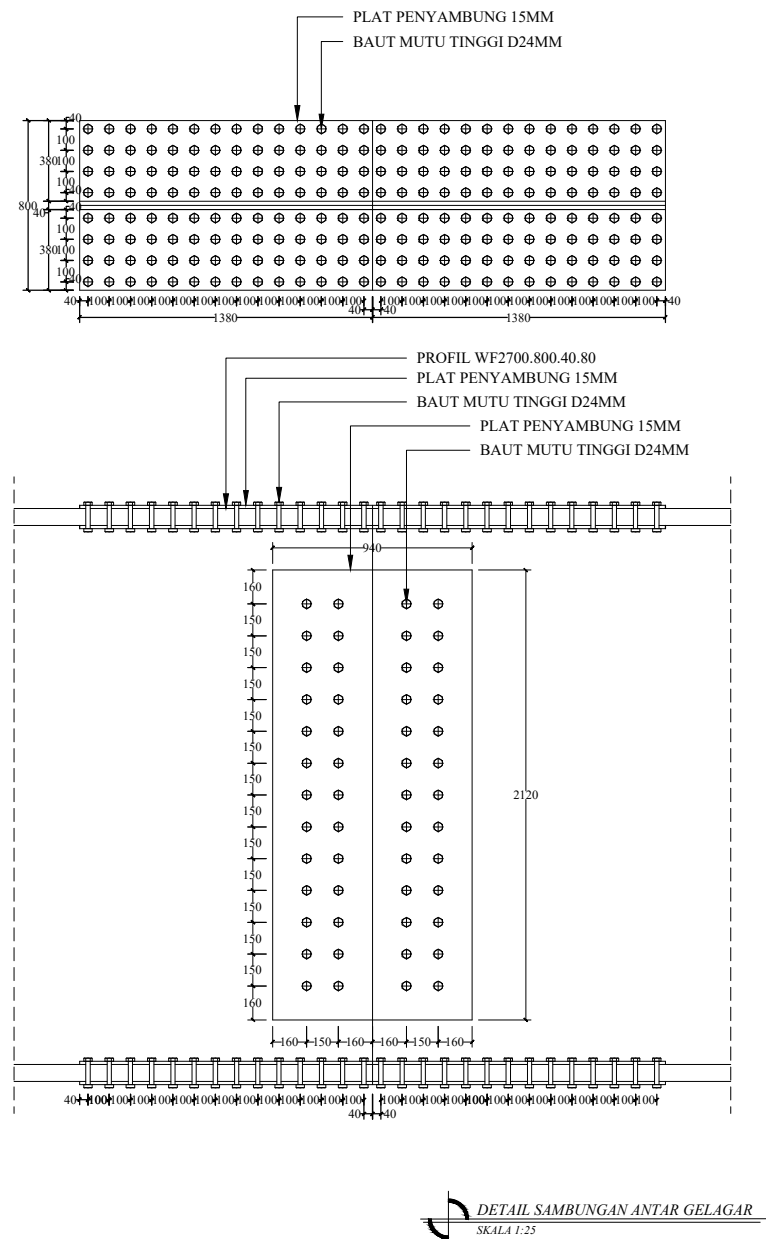
JUDUL GAMBAR SKALA

I. DETAIL SAMBUNGAN 1:25

REVISI TANGGAL

KODE GAMBAR NO. GAMBAR

STR 5





INSTITUT TEKNOLOGI
SEPULUH NOPEMBER

FAK.VOKASI
DEPARTEMEN TEKNIK
INFRASTRUKTUR SIPIL

TUGAS AKHIR

MODIFIKASI DESAIN STRUKTUR JEMBATAN PLAPAR MENGGUNAKAN GELAGAR BAJA KOMPOSIT DI KAB. PONOROGO

DOSEN PEBIMBING

Ir. Sungkono, CES

MAHASISWA

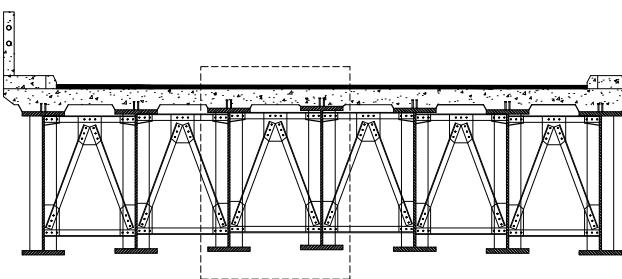
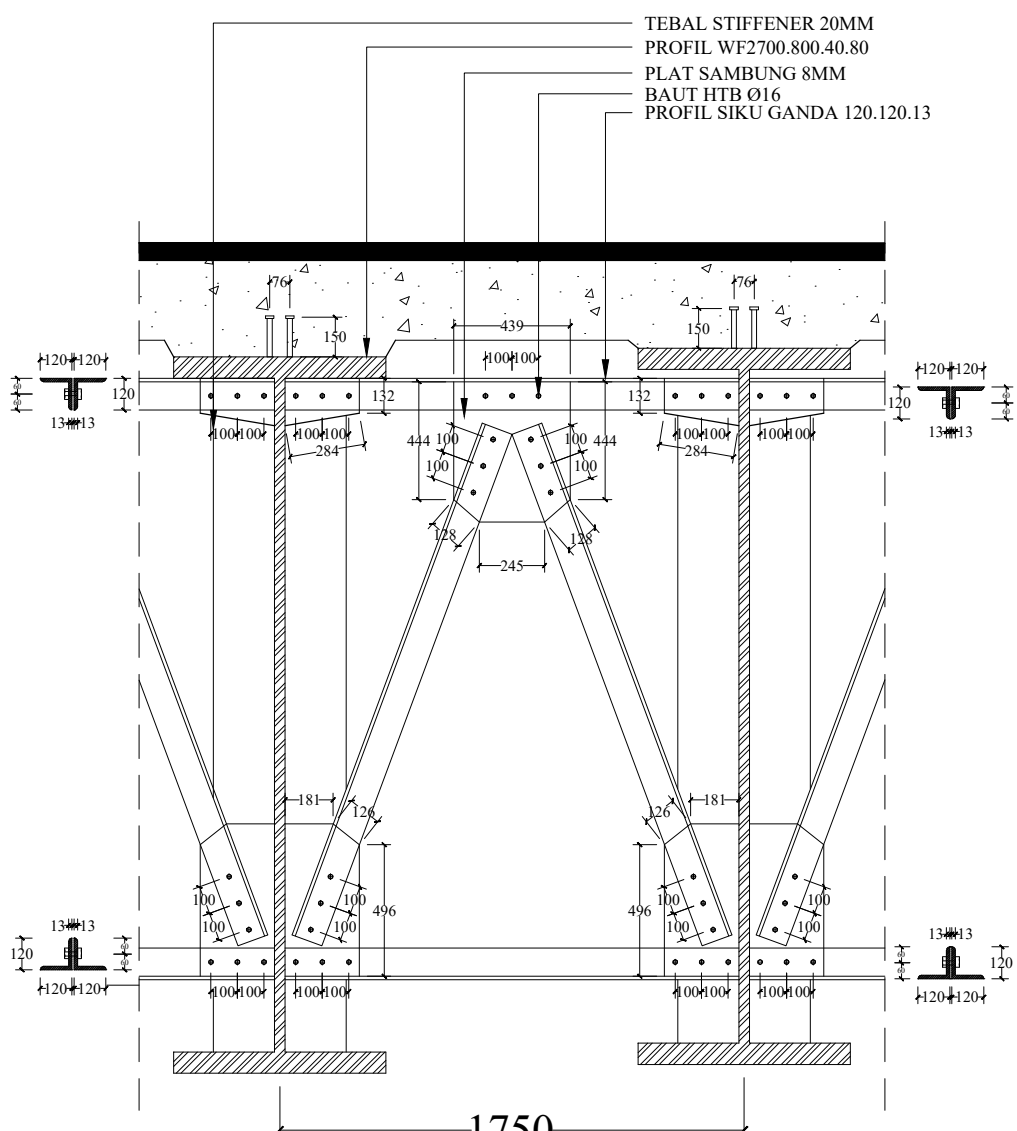
ERWIN HAIDY P. (10111500000064)

DITA ROSALINA A.H (1011150000066)

JUDUL GAMBAR | *SKALA*

<ol style="list-style-type: none"> <i>1. KEYPLAN</i> <i>2. DETAIL SAMBUNGAN DIAFRAGMA</i> 	<i>1:100</i> <i>1:20</i>
---	-----------------------------

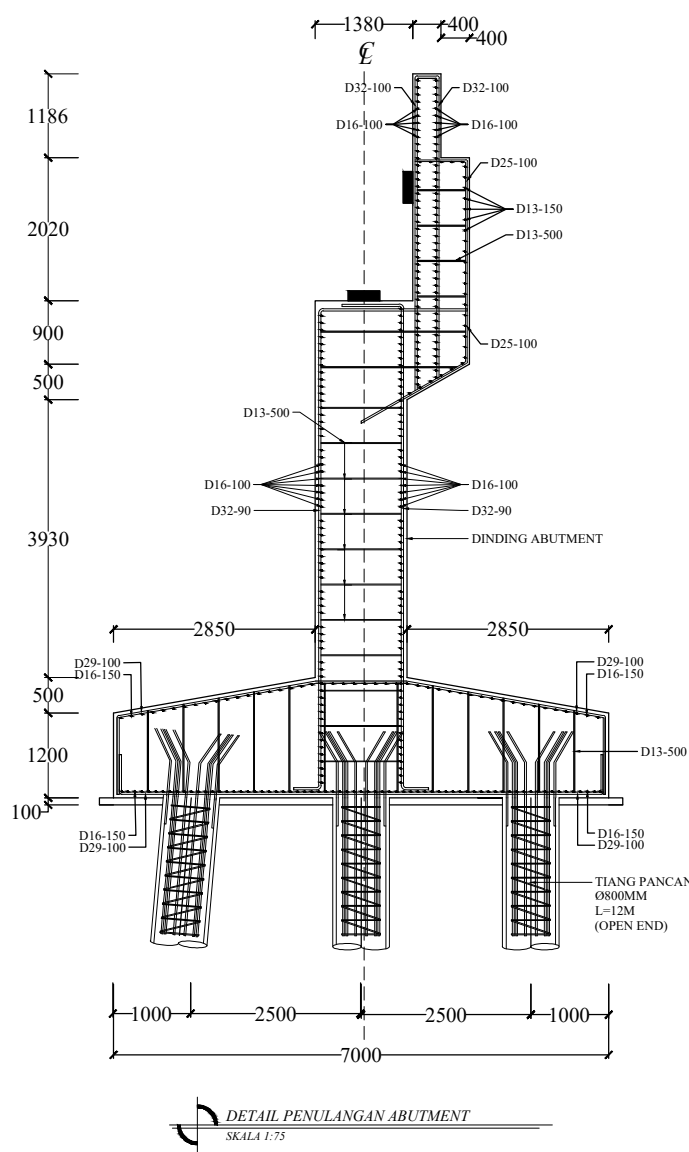
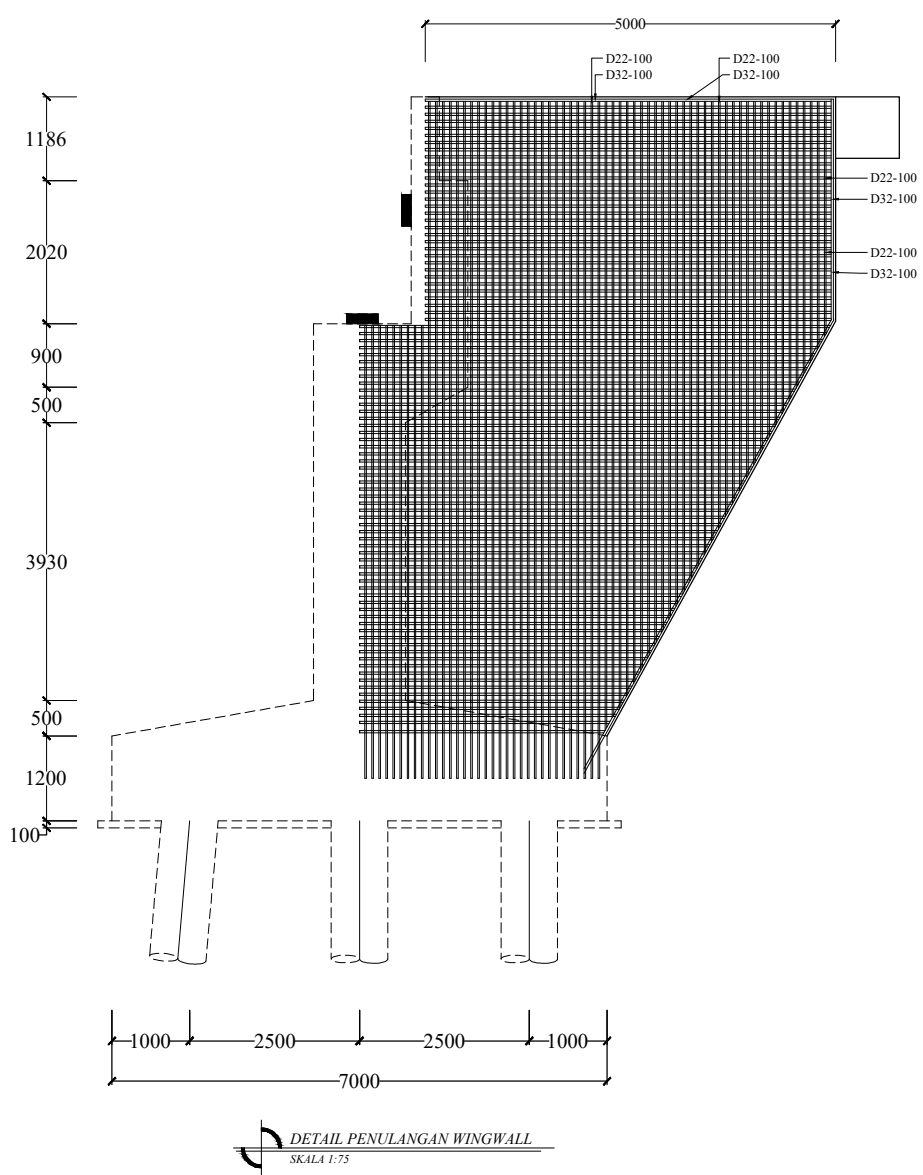
REVISEI TANCCAI



KEYPLAN
SKALA 1:100

DETAIL SAMBUNGAN DIAFRAGMA
SKALA 1:20

STR | 6



INSTITUT TEKNOLOGI
SEPULUH NOPEMBER
FAK.VOKASI
DEPARTEMEN TEKNIK
INFRASTRUKTUR SIPIL

TUGAS AKHIR

MODIFIKASI DESAIN STRUKTUR JEMBATAN PLAPAR MENGGUNAKAN GELAGAR BAJA KOMPOSIT DI KAB. PONOROGO

DOSEN PEBIMBIN

Ir. Sungkono, CES

MAHASISWA

ERWIN HAIDY P. (10111500000064)
DITA ROSALINA A.H (10111500000066)

JUDUL GAMBAR SK

GAN PILE CAMP

REVISI TANGGAL

KODE G4MB4R

STR

7



INSTITUT TEKNOLOGI
SEPULUH NOPEMBER

FAK. VOKASI
DEPARTEMEN TEKNIK
INFRASTRUKTUR SIPIL

TUGAS AKHIR

MODIFIKASI DESAIN STRUKTUR
JEMBATAN PLAPAR MENGGUNAKAN
GELAGAR BAJA KOMPOSIT DI KAB.
PONOROGO

DOSEN PEBIMBING

Ir. Sungkono, CES

MAHASISWA

ERWIN HAIDY P. (10111500000064)

DITA ROSALINA A.H (10111500000066)

JUDUL GAMBAR SKALA

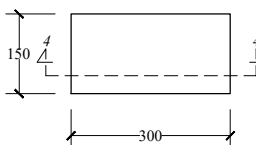
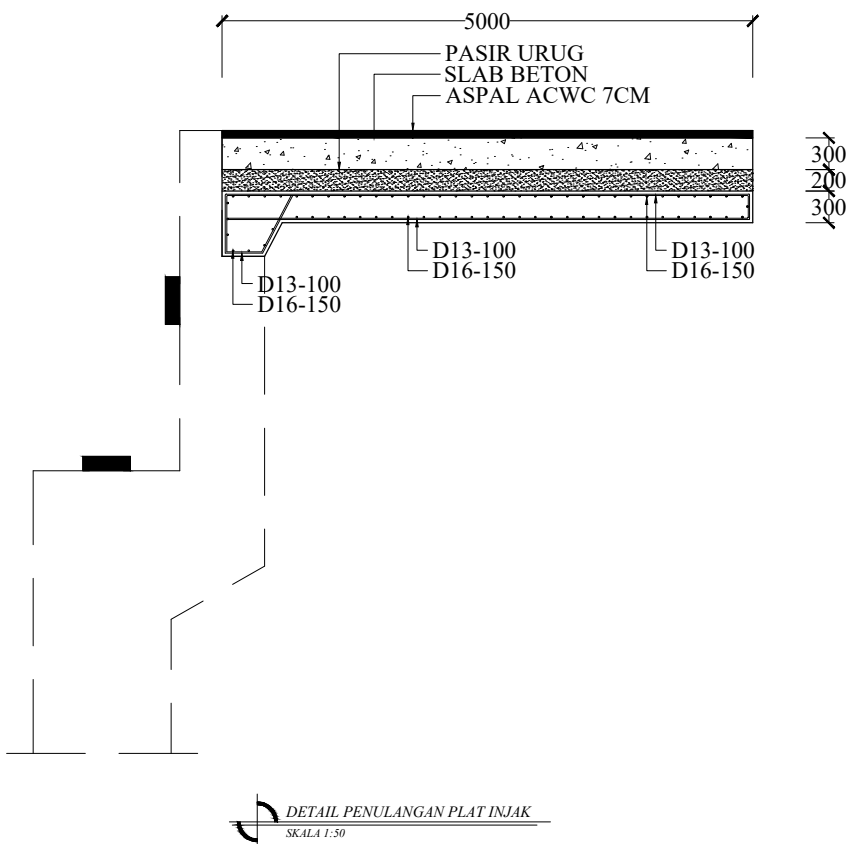
1. DETAIL PENULANGAN PLAT
INJAK
2. TAMPAK ATAS ELASTOMER
POTONGAN 4-4

1:50
1:10
1:10

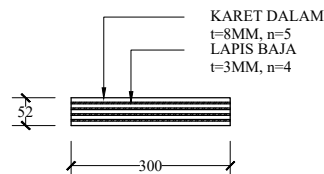
REVISI TANGGAL

KODE GAMBAR NO. GAMBAR

STR 8



TAMPAK ATAS ELASTOMER
SKALA 1:10



POTONGAN 4-4
SKALA 1:10



INSTITUT TEKNOLOGI
SEPULUH NOPEMBER
FAK. VOKASI
DEPARTEMEN TEKNIK
INFRASTRUKTUR SIPIL

TUGAS AKHIR

MODIFIKASI DESAIN STRUKTUR
JEMBATAN PLAPAR MENGGUNAKAN
GELAGAR BAJA KOMPOSIT DI KAB.
PONOROGO

DOSEN PEBIMBING

Ir. Sungkono, CES

MAHASISWA

ERWIN HAIDY P. (10111500000064)

DITA ROSALINA A.H (10111500000066)

JUDUL GAMBAR SKALA

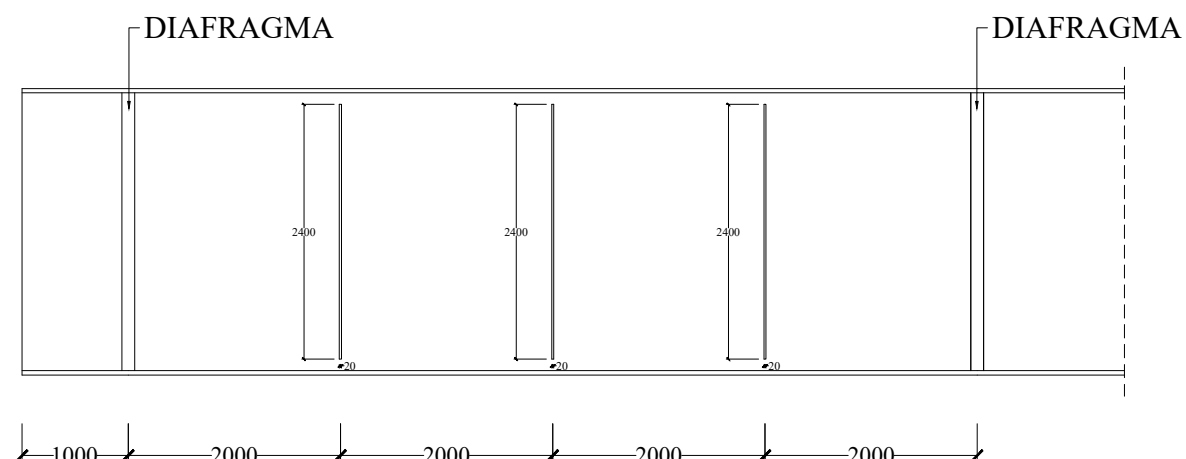
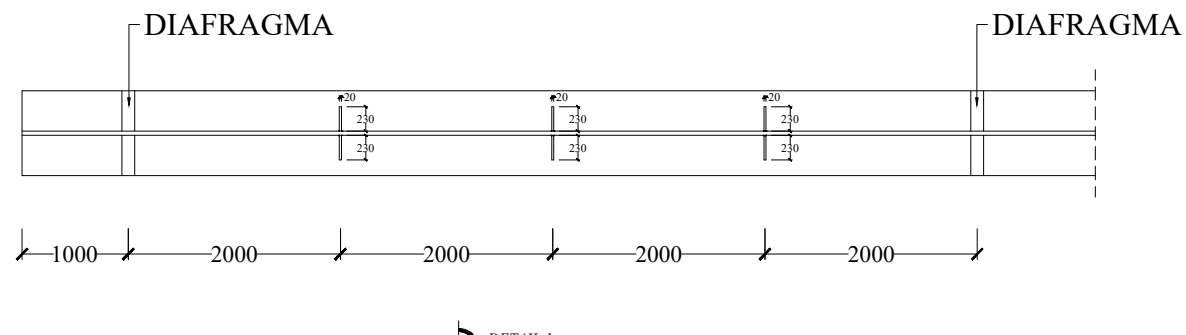
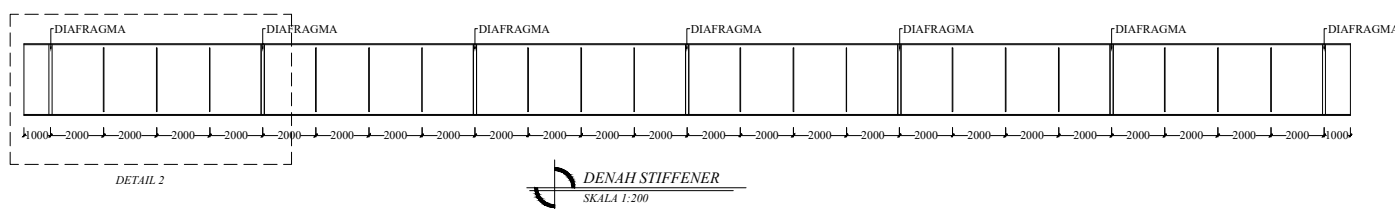
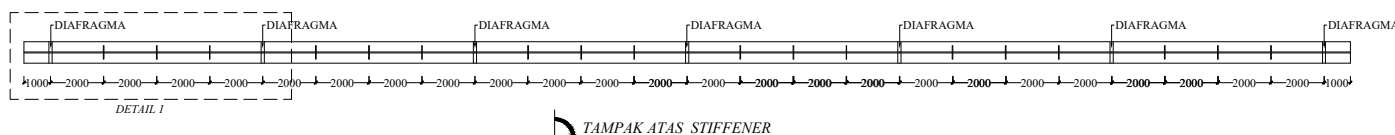
1. TAMPAK ATAS STIFFENER
2. DENAH STIFFENER
3. DETAIL 1
4. DETAIL 2

1:200
1:200
1:50
1:50

REVISI TANGGAL

KODE GAMBAR NO. GAMBAR

STR 9



DETAIL 2
SKALA 1:200